

кол. 34 (1960)
+16124
АКАДЕМИЯ НАУК СССР

ЖУРНАЛ ФИЗИЧЕСКОЙ ХИМИИ

PTI
ТОМ
XXXIV

ВЫПУСК I

ЯНВАРЬ

ИЗДАТЕЛЬСТВО АКАДЕМИИ НАУК СССР
МОСКВА · 1960

ЖУРНАЛ ФИЗИЧЕСКОЙ ХИМИИ

Редакционная коллегия:

В. Я. АНОСОВ, К. В. АСТАХОВ, А. И. БРОДСКИЙ, Г. К. БОРЕСКОВ,
Я. И. ГЕРАСИМОВ, С. В. ГОРБАЧЕВ, Г. С. ЖДАНОВ,
Л. А. НИКОЛАЕВ, Н. Н. СЕМЕНОВ, А. Н. ТЕРЕНИН, А. Н. ФРУМКИН,
К. В. ЧМУТОВ

Главный редактор Я. И. ГЕРАСИМОВ

Заместители главного редактора: С. В. ГОРБАЧЕВ, К. В. ЧМУТОВ

Отв. секретарь Л. А. НИКОЛАЕВ

ЖУРНАЛ ФИЗИЧЕСКОЙ ХИМИИ

Редакционная коллегия

В. Я. АНОСОВ, К. В. АСТАХОВ, А. И. БРОДСКИЙ, Г. К. БОРЕСКОВ,
Я. И. ГЕРАСИМОВ, С. В. ГОРБАЧЕВ, Г. С. ЖДАНОВ,
Л. А. НИКОЛАЕВ, Н. Н. СЕМЕНОВ, А. Н. ТЕРЕНИН, А. Н. ФРУМКИН,
К. В. ЧМУТОВ

Главный редактор Я. И. ГЕРАСИМОВ

Заместители главного редактора С. В. ГОРБАЧЕВ, К. В. ЧМУТОВ

Отв. секретарь Л. А. НИКОЛАЕВ

У, 34

Том XXXIV, 1960 г.

ТЕРМОДИНАМИКА ДИСПЕРСНЫХ СИСТЕМ

(Обобщение теории Гиббса — Кюри — Вульфа)

О. М. Полторак

Основные задачи термодинамики дисперсных систем были поставлены и частично решены еще в прошлом веке Гиббсом [1], Кюри [2] и Вульфом [3]. Современное изложение этих вопросов приведено у В. К. Семенченко [4] (см. также [5, 6]). В дальнейшем результаты теории Гиббса — Кюри — Вульфа были широко использованы в работах по возникновению и росту новых фаз [7—14]. Однако здесь были найдены только многочисленные аспекты применения термодинамики дисперсных систем без существенного развития собственно термодинамической части теории. Та же картина повторилась и при развитии молекулярной теории кристаллов [15—19], так как и этот анализ был приближенным, а в термодинамическом аспекте он ограничивался разбором простейших соотношений.

Между тем в теории Гиббса — Кюри — Вульфа не было разработано какого-либо специального метода решения относящихся сюда задач, а в каждом случае заново использовались общие приемы термодинамики. Это привело не только к тому, что каждая задача ставилась и решалась независимо от других, но и к тому, что часто приближенные решения находились даже там, где столь же просто можно было бы дать точные.

При попытке обобщить теорию форм ограничения кристаллов автором [20—23] было найдено, что в термодинамике дисперсных систем можно разработать единый метод решения относящихся сюда проблем. При этом с общих позиций можно рассмотреть как существующие результаты, которые оказались приближенными, так и получить ряд новых.

Изложение термодинамики дисперсных систем на основе этого метода и составляет предмет настоящей статьи.

Система обозначений

В работе используются следующие обозначения.

Функции размерности энергии: U — внутренняя энергия, $H \equiv U + pV$ — энтальпия, $F \equiv U - TS$ — свободная энергия, $Z \equiv H - TS$ — термодинамический потенциал.

Обобщенные силы: T — температура, p — давление, μ — химический потенциал, σ — удельное (на единицу поверхности) значение избытка F или Z^* , τ — удельное (на единицу длины ребер кристаллов) значение избытка F или Z^* .

Обобщенные координаты: S — энтропия, v — объем, n — число молей, Ω — площадь поверхности, l — длина ребер кристаллов, x — общее обозначение.

Система индексов. В связи с тем, что в термодинамике дисперсных систем учитывается различие значений параметров для объема системы и поверхности раздела фаз, здесь принята следующая система индексов, показывающая, к чему относится заданная величина A : к объему фазы A^v , площади поверхности раздела фаз A^Ω

* Свободная энергия поверхности F^Ω и термодинамический потенциал Z^Ω совпадают, ибо они определены как «избытки» (см. ниже) соответствующих величин, отнесенные к единице площади Ω или длины ребер l кристаллов, а не к объему тонкого поверхностного слоя, в котором они фактически сосредоточены. По этой причине различие на pV не существенно.

или ребрам кристаллов A^l . Через A^δ обозначена величина A , рассчитанная для объема приповерхностного слоя раздела фаз, эффективная толщина которого обозначена δ ; A^r или $A(r)$ — значение A для отдельно взятого кристалла или капли, размер которой определяется параметром длины r . Соответственно A^∞ — значение A для «бесконечно протяженных» (практически $r > 10^{-4} - 10^{-5}$ см) фаз, A_m^r означает, что величина A отнесена к одному молю кристаллов или капель размера r .

Знаки суммирования. Для сокращения записи формул при суммировании по числу компонент всегда используется Σ_j , при суммировании по всем граням кристалла Σ_i , а для суммирования по всем ребрам Σ_k .

Остальные обозначения приведены в тексте.

Модель системы. Метод размерностей

На рис. 1 схематически изображены частицы дисперсной фазы. Они представляют собой капли или кристаллы с определенной формой ограничения. Условие постоянства формы ограничения частиц существенно изменяет математический аппарат термодинамики, так как в основном уравнении:

$$dU = TdS - pdv + \Sigma_j \mu_j dn_j + \Sigma_i \sigma_i d\Omega_i + \Sigma_k \tau_k dl_k, \quad (1)$$

координаты v , n_j , Ω_i и l_k не являются больше независимыми переменными, ибо, в отличие от протяженных фаз, мы не можем изменить

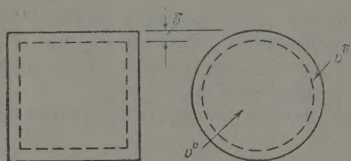


Рис. 1. Частицы дисперсной фазы. δ — толщина приповерхностного слоя, v_δ — его объем, $v = v_\delta + v^v$ — общий объем частицы

поверхность равновесной частицы, не меняя ее объема и массы. Дифференциалы dv , $d\Omega_i$ и dl_k оказываются взаимно связанными условием постоянства формы ограничения. В свою очередь, это приводит к изменению ряда обычных соотношений (см. ниже) химической термодинамики.

Математическая задача состоит в том, чтобы в явной форме выразить зависимость термодинамических параметров системы от размера и формы ограничения частиц дисперсной фазы.

Для этой цели в теории Гиббса — Кюри — Вульфа использован метод, который, не являясь ни единственным, ни самым простым, оказался очень громоздким при попытке использовать его в общем случае, так как он связан с необходимостью детального рассмотрения задачи о форме ограничения частиц. Между тем полученные результаты должны быть применимы к кристаллам любой формы ограничения. Это наводит на мысль о возможности построения аппарата, не связанного с необходимостью детального рассмотрения геометрических задач. Им является метод размерностей, позволяющий в общем виде выразить взаимную зависимость координат в уравнении (1), не обращаясь к деталям строения моделей.

При вычислении «параметров» содержание этого метода состоит в том, чтобы для каждой из термодинамических величин не рассматривать отдельно характера ее изменения с изменением размера или формы ограничения частиц, а искомые величины представить в виде однотипных функций от соответствующих свойств для единиц объема и площади поверхности раздела фаз и величин типа $\partial\Omega_i/\partial v$ и $\partial l_k/\partial v$, которые определяют относительные изменения «вкладов» объемных и поверхностных свойств и зависят только от формы ограничения и массы частиц, но не от природы изучае-

мой величины, т. е. для величины A^r необходимо найти

$$A^r = A \left(A^v, A^\Omega, \frac{\partial \Omega_i}{\partial v}, \frac{\partial l_k}{\partial v} \right). \quad (2)$$

В свою очередь, вид функций $\partial \Omega_i / \partial v$ и $\partial l_k / \partial v$ легко может быть найден из соотношений размерностей.

Для кристалла или капли с определенной формой ограничения всегда имеют место соотношения:

$$v = g^v r^3; \Omega_i = g_i^\Omega r^2; l_k = g_k^l r, \quad (3)$$

где r — некоторый линейный параметр, выбор которого определяется соображениями удобства, а набор констант g^v , g^Ω и g^l однозначно определяет форму ограничения.

Из (3) следует, что

$$\frac{\partial \Omega_i}{\partial v} = \frac{2}{3} \frac{g_i^\Omega}{g^v} \frac{1}{r}, \quad \frac{\partial l_k}{\partial v} = \frac{1}{3} \frac{g_k^l}{g^v} \frac{1}{r^2}, \quad (4)$$

где коэффициенты 3, 2 и 1 возникли за счет дифференцирования величин, пропорциональных r^3 , r^2 и r , так что дроби $2/3$ и $1/3$ выражают отношения числа измерений единицы поверхности, длины и объема частицы.

Из (4) следует, что (2) можно представить в общем виде

$$A^r = A(A^v, A^\Omega, A^l, r), \quad (5)$$

где единственной переменной окажется размер частицы r , так как величины A^v , A^Ω и A^l входят в (5) параметрически.

Применение метода размерностей, конечно, не сводится только к подсчету аддитивных свойств системы или их производных по массе, объему и прочее. С его помощью для дисперсных систем в общем виде могут быть проведены все обычные преобразования термодинамических соотношений.

Конкретные примеры использования этого метода даны ниже.

Парциальные молярные величины. Парциальный объем

Среди парциальных величин парциальный молярный объем компонента в дисперсной фазе \bar{V}_j играет особую роль. Определением величин \bar{V}_j служит уравнение

$$dv = \sum_j \frac{\partial v}{\partial n_j} dn_j \equiv \sum_j \bar{V}_j dn_j, \quad (6)$$

где dv — изменение объема частицы за счет изменения ее массы на $\sum_j dn_j$.

В связи с тем, что плотность вещества в приповерхностном слое и в объеме фазы различна, \bar{V}_j зависит от размера частицы. Чтобы не рассматривать непрерывное изменение величин при переходе через межфазовую границу, следуя Гиббсу, выделим условно приповерхностный слой толщины δ , с объемом v^δ (рис. 1), для которого все свойства примем постоянными. Толщина слоя δ определяется из условия баланса общих значений экстенсивных свойств фазы. «Объемная» часть системы составляет v^v . По определению

$$v = v^v + v^\delta. \quad (7)$$

Для каждой из этих частей парциальные величины определяются по обычным правилам, если учесть, что для каждого из компонентов dn_j молей распределяются между внутренней частью фазы dn^v и приповерх-

ностным слоем dn_j^δ :

$$dv^v = \Sigma_j \frac{\partial v^v}{\partial n_j} dn_j^v \equiv \Sigma_j \bar{V}_j^v dn_j^v; \quad (8)$$

$$dv^\delta = \Sigma_j \frac{\partial v^\delta}{\partial n_j} dn_j^\delta \equiv \Sigma_j \bar{V}_j^\delta dn_j^\delta. \quad (9)$$

Здесь $\bar{V}^v = \partial v^v / \partial n_j$ соответствует «обычной» величине парциального объема, если не учитывать его зависимости от скачка давления в приповерхностном слое. Из (6), (7), (8) и (9) следует, что

$$dv = \Sigma_j \bar{V}_j dn_j = \Sigma_j \{ \bar{V}_j^v dn_j^v + \bar{V}_j^\delta dn_j^\delta \}.$$

Отсюда для искомой величины парциального молярного объема j -го компонента в дисперсной фазе (это величина «средняя» между \bar{V}^v и \bar{V}^δ) получим

$$\bar{V}_j = \frac{\partial v}{\partial n_j} = \bar{V}_j^v \frac{\partial n_j^v}{\partial n_j} + \bar{V}_j^\delta \frac{\partial n_j^\delta}{\partial n_j}. \quad (10)$$

Из величин $\partial n_j^\delta / \partial n_j$ или $\partial n_j^v / \partial n_j$ достаточно определить одну, так как

$$n_j = n_j^\delta + n_j^v \text{ или } \partial n_j^v / \partial n_j + \partial n_j^\delta / \partial n_j = 1.$$

Пусть концентрация j -го компонента в объемной части фазы равна c_j^v , а в приповерхностном слое $c_j^\delta = c_j^v + \Gamma_j / \delta$. Здесь Γ_j — адсорбция j -го компонента.

Из соотношений:

$$n_j = n_j^\delta + n_j^v; \quad n_j^\delta = c_j^\delta v^\delta \text{ и } n_j^v = c_j^v v^v,$$

следует, что

$$\frac{\partial n_j^\delta}{\partial n_j} = \frac{1}{1 + \frac{c_j^v}{c_j^\delta} \frac{\partial v^v}{\partial v^\delta}} \equiv f_j^\delta, \quad \frac{\partial n_j^v}{\partial n_j} = \frac{1}{1 + \frac{c_j^\delta}{c_j^v} \frac{\partial v^\delta}{\partial v^v}} \equiv f_j^v = 1 - f_j^\delta.$$

Производная $\partial v^v / \partial v^\delta$ находится из соотношений размерности

$$v = g^v r^3; \quad v^v = g^v (r - \delta)^3; \quad v^\delta = g^v \{ r^3 - (r - \delta)^3 \}.$$

Отсюда мы получим

$$\frac{\partial v^v}{\partial v^\delta} = \frac{(r - \delta)^2}{\delta (2r - \delta)},$$

а для искомых величин

$$f_j^\delta = \frac{1}{1 + \frac{c_j^v}{c_j^\delta} \frac{(r - \delta)^2}{\delta (2r - \delta)}}, \quad f_j^v = \frac{1}{1 + \frac{c_j^\delta}{c_j^v} \frac{\delta (2r - \delta)}{(r - \delta)^2}}, \quad (11)$$

где при $r \rightarrow \infty$, $f_j^\delta \rightarrow 0$, при $r \rightarrow \delta$, $f_j^\delta \rightarrow 1$, $f_j^v \rightarrow 0$. Из (10) и (11) следует, что искомая величина \bar{V}_j равна

$$\bar{V}_j = \bar{V}_j^v \frac{1}{1 + \frac{c_j^v}{c_j^\delta} \frac{(r - \delta)^2}{\delta (2r - \delta)}} + \bar{V}_j^\delta \frac{1}{1 + \frac{c_j^\delta}{c_j^v} \frac{\delta (2r - \delta)}{(r - \delta)^2}} = \bar{V}_j^v \frac{\frac{\bar{V}_j^\delta}{\bar{V}_j^v} + \frac{c_j^v}{c_j^\delta} \frac{(r - \delta)^2}{\delta (2r - \delta)}}{1 + \frac{c_j^v}{c_j^\delta} \frac{(r - \delta)^2}{\delta (2r - \delta)}}. \quad (12)$$

ия однокомпонентных систем

$$dn^{\delta} = \frac{1}{\bar{V}^{\delta}} dv^{\delta}; \quad dn^v = \frac{1}{\bar{V}^v} dv^v,$$

величина \bar{V} получается из (12), если заменить соответствующие концентрации обратными значениями \bar{V}^{δ} и \bar{V}^v . После несложных преобразований получаем

$$\bar{V} = \bar{V}^{\delta} \frac{1 + \frac{(r - \delta)^2}{\delta(2r - \delta)}}{1 + \frac{\bar{V}^{\delta}}{\bar{V}^v} \frac{(r - \delta)^2}{\delta(2r - \delta)}} = \bar{V}^{\delta} \bar{V}^v \frac{r^2}{\bar{V}^v \delta(2r - \delta) + \bar{V}^{\delta}(r - \delta)^2}. \quad (13)$$

е по-прежнему $\bar{V} \rightarrow \bar{V}^v$ при $r \rightarrow \infty$ и $\bar{V} \rightarrow \bar{V}^{\delta}$ при $r \rightarrow \delta$ ($r > \delta$).

Для дисперсных систем существует и другой способ подсчета экстенсивных параметров, которому отвечает иное выражение для парциальных величин. Это — так называемый метод «избытков». Величина экстенсивного параметра для частиц размера r , A_r по определению здесь принимается равной

$$A_r = a^{\infty} n(r) + a^{\Omega} \Omega (+ a^l l),$$

где a^{∞} , a^{Ω} , a^l — соответствующие удельные значения A . Этому отвечает следующая физическая картина: свойства системы как бы предполагаются измененными вплоть до геометрической поверхности раздела фаз $\{a^{\infty} n(r)\}$, фактическое изменение A в приповерхностном слое корректируется величиной $a^{\Omega} \cdot \Omega$, т. е. «избыток» относится непосредственно к площади поверхности раздела фаз без учета строения приповерхностного слоя. Как, например, принято определять функции размерности энергии.

Однако не следует думать, что на этом пути обходится решение вопроса о строении переходного слоя. Действительно, для парциальной величины \bar{A}_j мы найдем

$$\bar{A}_j(r) = \frac{\partial A_r}{\partial n_j} = a_j^{\infty} + a_j^{\Omega} \frac{\partial \Omega}{\partial n_j} = a_j^{\infty} + a_j^{\Omega} \frac{\partial \Omega}{\partial v} \bar{V}_j. \quad (14)$$

Отсюда видно, что использование метода «избытков» дает только то преимущество, что мы можем не рассматривать для каждого отдельного случая характера изменения A в приповерхностном слое и все сложности, связанные с учетом строения этого слоя, перенести в вычисление парциального молярного объема \bar{V}_j , который неизбежно входит в окончательный результат расчета.

Этим и объясняется особая роль \bar{V}_j среди прочих парциальных величин.

В теории Гиббса — Кюри — Вульфа изменение \bar{V}_j со степенью дисперсности системы не учитывалось.

Полный потенциал вещества в дисперсной фазе

Химический потенциал j -го компонента по определению равен

$$\mu_j = \left(\frac{\partial U}{\partial n_j} \right)_{S, v, x_{in}} = \dots = \left(\frac{\partial Z}{\partial n_j} \right)_{T, p, x_{in}}.$$

Очевидно, что для дисперсной фазы эту производную взять нельзя, так как нельзя изменить число молей равновесного кристалла, не меняя площадь его поверхности Ω , которая входит в число x_{in} . Соответствующая величина μ_j^{∞} может быть найдена лишь для протяженных фаз, где относительный вклад «поверхностных» свойств пренебрежимо мал, и условие постоянства формы ограничения не соблюдается.

В случае зависимых координат роль обобщенных сил в термодинамике играют полные потенциалы. Из уравнения (при $T, p = \text{const}$)

$$dZ = \sum_j \mu_j dn_j + \sum_i \sigma_i d\Omega_i + \sum_k \tau_k dl_k = \sum_j \left\{ \mu_j + \sum_i \sigma_i \frac{\partial \Omega_i}{\partial n_j} + \sum_k \tau_k \frac{\partial l_k}{\partial n_j} \right\} dn_j$$

следует, что для дисперсных систем роль полного потенциала выполняет величина:

$$\mu_j^r = \mu_j^\infty + \sum_i \sigma_i \frac{\partial \Omega_i}{\partial n_j} + \sum_k \tau_k \frac{\partial l_k}{\partial n_j}, \quad (15)$$

где μ_j^∞ находится по обычным правилам термодинамики, определяется температурой, давлением и составом фазы и является химическим потенциалом j -го компонента в бесконечно протяженной (практически $r > 10^{-4} - 10^{-5}$ см) фазе. Подробнее эти вопросы изложены в [22, 23].

Легко заметить, что если μ_j^∞ — парциальное молярное значение Z для вещества в протяженной фазе, то μ_j^r — это такая же величина для дисперсной фазы, если Z определено по способу «избытков». Уравнение (15) является аналогом общего соотношения (14), т. е.

$$\mu_j^r = \mu_j^\infty + \sum_i \sigma_i \frac{\partial \Omega_i}{\partial v} \bar{V}_j + \sum_k \tau_k \frac{\partial l_k}{\partial v} \bar{V}_j, \quad (16)$$

где произвольные $\partial \Omega_i / \partial v$ и $\partial l_k / \partial v$ находятся из уравнений (4). Подставляя значения этих производных, после несложных преобразований получим

$$\begin{aligned} \Delta \mu_j^r &= \mu_j^r - \mu_j^\infty = \frac{\bar{V}_j}{g^v r^3} \left\{ \frac{2}{3} \sum_i \sigma_i g_i^\Omega r^2 + \frac{1}{3} \sum_k \tau_k g_k^l r \right\} = \\ &= \frac{\bar{V}_j}{v} \left\{ \frac{2}{3} Z^\Omega(r) + \frac{1}{3} Z^l(r) \right\}, \end{aligned} \quad (17a)$$

а для капель

$$\Delta \mu_j^r = \frac{\bar{V}_j}{v} \frac{2}{3} Z^\Omega = \frac{2}{3} \bar{V}_j \sigma \frac{\Omega}{v}, \quad (17b)$$

где v — объем, а Ω — площадь поверхности одной капли.

Если в явном виде учесть зависимость $\bar{V}_j(r)$ при помощи (12), то вместо (17) мы получим

$$\Delta \mu_j^r = \left\{ \frac{2}{3} Z^\Omega(r) + \frac{1}{3} Z^l(r) \right\} \frac{\bar{V}_j^v}{v} \frac{\frac{\bar{V}_j^{\delta}}{\bar{V}_j^v} + \frac{c_j^\sigma}{c_j^\delta} \frac{(r-\delta)^2}{\delta(2r-\delta)}}{1 + \frac{c_j^v}{c_j^\delta} \frac{(r-\delta)^2}{\delta(2r-\delta)}}. \quad (18)$$

Следует подчеркнуть, что здесь v , Z^Ω и Z^l относятся к свойствам одного кристалла или капли с размером, определяющимся параметром длины r . В связи с тем, что

$$\frac{Z^\Omega}{v} \sim \frac{\text{const}}{r}, \quad \frac{Z^l}{v} \sim \frac{\text{const}}{r^2},$$

а $\bar{V}_j(r)$ плавно изменяется в пределах от \bar{V}_j^v до \bar{V}_j^δ , график функции $\Delta \mu_j(r)$ имеет вид, указанный на рис. 2. Естественно, что термодинамические уравнения имеет смысл применять только в области $r > 2\delta$, если r определено аналогично радиусу шара.

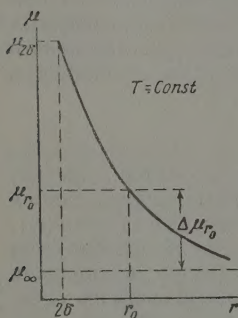


Рис. 2. Зависимость полного потенциала от размера частиц дисперсной фазы. График не является точным для $r \sim 2\delta$;

Для однокомпонентных систем удобно оперировать с величинами, отнесенными к одному молю вещества, взятого в виде дисперсной фазы с определенным размером частиц. Если приближенно принять, что

$$\bar{V}^{\delta} \approx \bar{V}^v, \text{ то } \frac{\bar{V}}{v} = \frac{1}{n}.$$

Здесь n — число молей в кристалле объема v . Из (17а) мы теперь получим

$$\mu_r - \mu_{\infty} \approx \frac{2}{3} Z_M^{\Omega} + \frac{1}{3} Z_M^I, \quad (17в)$$

а для капель

$$\mu_r - \mu_{\infty} \approx \frac{2}{3} Z_M^{\Omega}, \quad (17г)$$

где Z_M^{Ω} , Z_M^I — соответствующие мольные величины $\{Z_M^{\Omega, I} / n(r)\}$.

Приближенное уравнение (17г) было впервые получено Гиббсом, который считал его точным. В действительности оно становится тем точнее, чем больше r . Однако при этом одновременно

$$\mu_r - \mu_{\infty} \rightarrow 0,$$

когда сами соотношения (17) теряют свое значение. В той области степеней дисперсности, где имеет смысл находить $\Delta\mu_r$ (линейные размеры частиц $2 \cdot 10^{-7} - 5 \cdot 10^{-6}$ см), зависимость \bar{V} от размера частиц пренебрегать нельзя.

Чтобы перейти к рассмотрению мольных величин, для однокомпонентных систем введем величину эффективного мольного объема $\bar{\bar{V}}$ по уравнению:

$$v = \int_0^{n(r)} \bar{V} dn \equiv \bar{\bar{V}} n(r), \quad (19)$$

откуда $n = v / \bar{\bar{V}}$.

Вместо (17а) мы теперь можем записать, используя «мольные» величины:

$$\Delta\mu^r = \left\{ \frac{2}{3} Z_M^{\Omega}(r) + \frac{1}{3} Z_M^I(r) \right\} \frac{\bar{V}}{\bar{\bar{V}}}. \quad (20а)$$

Так как $\bar{\bar{V}}$ — это среднее значение \bar{V} в интервале изменения r от δ до r , примем приближенно

$$\bar{\bar{V}} \approx \frac{\bar{V}^{\delta} + \bar{V}}{2}.$$

В этом случае из (20а) мы получим уравнение:

$$\Delta\mu^r \approx \left\{ \frac{2}{3} Z_M^{\Omega}(r) + \frac{1}{3} Z_M^I \right\} \frac{2\bar{V}}{\bar{V}^{\delta} + \bar{V}}, \quad (20б)$$

все же более точное, чем (17в). Так как плотность вещества в приповерхностном слое повышена ($\bar{V}^{\delta} < \bar{V}^v$), то всегда

$$\frac{\bar{V}}{\bar{\bar{V}}} > 1, \quad (21)$$

и полный потенциал вещества при заданной степени дисперсности всегда оказывается более высоким, чем рассчитанный по уравнению Гиббса.

Для однокомпонентных дисперсных систем (в отличие от протяженных

фаз) полный потенциал вещества всегда меньше удельного (на моль) термодинамического потенциала. Из общего соотношения:

$$Z = Z^v + Z^\Omega + Z^l = C_1 n + C_2 n^{2/3} + C_3 n^{1/3},$$

следует, что всегда

$$\frac{Z}{n} = C_1 + C_2 n^{-1/3} + C_3 n^{-2/3} > \frac{\partial Z}{\partial n} = C_1 + \frac{2}{3} C_2 n^{-4/3} + \frac{1}{3} C_3 n^{-5/3}.$$

В различных формулах для μ^r фигурируют множители $2/3$ перед Z^v и $1/3$ перед Z^l . Дробь $2/3$ и $1/3$ не являются случайными величинами. Числа 3, 2 и 1 в этих выражениях появляются за счет дифференцирования величин, пропорциональных r^3 , r^2 и $r(n, \Omega, l)$, а $2/3$ и $1/3$ — это отношения числа изменений элементов поверхности и длины к числу измерений элемента объема.

Химический потенциал j -го компонента в бесконечно протяженной фазе определяется объемными свойствами этой фазы и равен

$$\mu_j^\infty = \left(\frac{\partial Z}{\partial n} \right)_{p, T, x_{in}}.$$

Однако это не означает, что всегда можно отождествить μ^∞ и μ^v . Дело в том что при равновесии для дисперсных фаз полные потенциалы в точках, расположенных на поверхности и в объеме частицы должны быть равны. Это достигается за счет возникновения в приповерхностном слое скачка давления Δp^r , по величине равного

$$\Delta p^r = \frac{\Delta \mu_j^r}{\bar{V}_j} = \frac{1}{v} \left\{ \frac{2}{3} Z^\Omega(r) + \frac{1}{3} Z^l(r) \right\}; \quad (22)$$

поэтому равенство потенциалов в указанных точках можно записать в виде

$$\mu_j^\infty + \frac{\bar{V}_j}{v} \left(\frac{2}{3} Z^\Omega + \frac{1}{3} Z^l \right) = \mu_j^\infty + \Delta p^r \bar{V}_j (= \mu_j^r).$$

Отсюда ясно, что в общем случае нельзя отождествлять объемную часть полного потенциала для дисперсных систем (она просто равна μ_j^r) с химическим потенциалом для протяженных фаз μ_j^∞ .

В связи с тем, что скачок давления Δp^r , так же как и величина $\{2/3 Z^\Omega + 1/3 Z^l\}$, являются общим свойством дисперсной фазы, которое не распределяется «по компонентам», величины $\Delta \mu_j^r$ для всех компонентов изменяются симбатно и независимо от μ_j^∞ , а численные значения $\Delta \mu_j^r$ отличаются лишь множителями \bar{V}_j .

Полный потенциал для частиц с изменяющейся формой ограничения

Уравнения, приведенные выше, определяют полный потенциал вещества для частиц с постоянной формой ограничения. Это означает, что для любой массы кристалла или капли их внешний облик может отличаться только за счет преобразования подобия.

Однако в общем случае приходится рассматривать кристаллы с неплоскими гранями и капли несферической формы, для которых равновесная форма ограничения может оказаться зависящей от массы. В этом случае совокупность величин g^v , g_i^Ω , g_k^l , однозначно определяющих форму ограничения, не является больше набором констант.

Математическая сторона проблемы решается просто. В общем случае следует учесть, что величины g являются функциями безразмерных параметров, в качестве которых наиболее естественно выбрать r/δ . Совокуп-

ость функций:

$$g^v\left(\frac{r}{\delta}\right), \quad g_i^\Omega\left(\frac{r}{\delta}\right) \text{ и } g_k^l\left(\frac{r}{\delta}\right) \quad (23)$$

однозначно описывает изменение формы ограничения с изменением массы частиц, причем набор (23) выбирается так, чтобы всегда удовлетворялись условия

$$v = g^v r^3, \quad \Omega_i = g_i^\Omega r^2, \quad l_k = g_k^l r. \quad (24)$$

Так как при изменении формы ограничения линейные частицы не остаются взаимно пропорциональными, выбор «параметра длины» r уже не является безразличным. Вероятно, наиболее просто определить r из условия

$$g^v \equiv 1 \quad \text{или} \quad v = r^3.$$

В общем случае величина r теперь не соответствует ни одному из линейных параметров кристалла или капли; r — это длина ребра некоторого «эквивалентного куба», объем которого совпадает с объемом частицы произвольной формы ограничения.

Из общего уравнения для полного потенциала

$$\mu_j^r = \mu_j^\infty + \left\{ \Sigma_i \sigma_i \frac{\partial \Omega_i}{\partial v} + \Sigma_k \tau_k \frac{\partial l_k}{\partial v} \right\}$$

и соотношений (24) следует, что для кристаллов с параметром длины $r = r_0$ и изменяющейся с массой формой ограничения

$$\begin{aligned} \mu_j^{r_0} &= \mu_j^\infty + \frac{\bar{V}_j}{v} \left\{ \frac{2}{3} Z^\Omega(r_0) + \frac{1}{3} Z^l(r_0) \right\} + \\ &+ \bar{V}_j \left\{ r_0^2 \Sigma_i \sigma_i \left(\frac{\partial g_i^\Omega}{\partial r^3} \right)_{r=r_0} + r_0 \Sigma_k \tau_k \left(\frac{\partial g_k^l}{\partial r^3} \right)_{r=r_0} \right\} = \\ &= \mu_j^\infty + \Delta \mu_j^r (\text{пост. форм. огр.}) + \bar{V}_j \left\{ \frac{1}{3} \Sigma_i \sigma_i \left(\frac{\partial g_i^\Omega}{\partial r} \right)_{r=r_0} + \frac{1}{3 r_0} \Sigma_k \tau_k \left(\frac{\partial g_k^l}{\partial r} \right)_{r=r_0} \right\}. \end{aligned} \quad (25)$$

Сравнивая выражения (17а) и (25), легко заметить, что их различие обусловлено лишь последним слагаемым в (25), эту величину можно назвать «потенциалом изменяющейся формы ограничения» или, короче, — «потенциалом формы». Возникновение подобных величин не предусматривалось в теории Гиббса — Кюри — Вульфа.

С точки зрения анализа размерностей появление «потенциала формы» является вполне естественным, так как он отображает возникновение новых функциональных соотношений между геометрическими параметрами частиц с изменяющейся формой ограничения. При этом понятен также аддитивный, а не мультипликативный характер поправки к величинам, описывающим свойства частиц с постоянной формой ограничения. Изменение формы ограничения с массой частицы не должно сказаться на множителях, стоящих перед Z^Ω и Z^l , так как $2/3$ и $1/3$ — это отношения числа измерений элементов площади, длины и объема, одинаковые для любой из форм ограничения, в том числе и для изменяющейся. Вместе с тем поправку необходимо вносить. Следовательно, она должна иметь аддитивный характер.

Работа образования кристалла из расплава или пара

Для простоты ограничимся рассмотрением однокомпонентных систем и частиц с постоянной формой ограничения.

Разность значений Z для кристалла и расплава в расчете на n молей составляет

$$\Delta Z_{\text{обр}} = Z_{\text{крист}}(n) - Z_{\text{жидк}}(n) = \mu^\infty n + Z^\Omega(n) + Z^l(n) - \mu_{\text{жидк}} n, \quad (26)$$

так как для протяженной жидкой фазы $\mu_{\text{жидк}}$ — это удельное значение $Z_{\text{жидк}}$.

Если переохлажденная жидкость находится в равновесии с кристаллами размера $r = r_0$, то условием этого является

$$\mu_{\text{жидк}} = \mu_{\text{крист}}(r_0).$$

Из этого уравнения и (26) видно, что на 1 моль кристаллов размера r_0 работа образования равна разности между удельным значением Z для кристаллов и их полным потенциалом

$$\Delta Z_{\text{обр}}^M(r_0) = \frac{Z(r_0)}{n(r_0)} - \mu(r_0). \quad (27)$$

Используя (17а), получим (в расчете на любое, но для всех Z даваемых одинаковое число молей)

$$\Delta Z_{\text{обр}}(r_0) = Z^{\Omega}(r_0) + Z^I(r_0) - n \frac{\bar{V}}{v} \left\{ \frac{2}{3} Z^{\Omega}(r_0) + \frac{1}{3} Z^I(r_0) \right\}. \quad (28a)$$

Если ввести в рассмотрение эффективный молярный объем \bar{V} , то из определения этой величины (19) следует, что

$$\Delta Z_{\text{обр}} = Z^{\Omega}(r_0) \left\{ 1 - \frac{2}{3} \frac{\bar{V}}{V} \right\} + Z^I(r_0) \left\{ 1 - \frac{1}{3} \frac{V}{\bar{V}} \right\}. \quad (28б)$$

Если воспользоваться приближенным соотношением

$$\bar{V} \approx \frac{\bar{V}^{\delta} + \bar{V}}{2},$$

то мы найдем, для $\Delta Z_{\text{обр}}$ капель

$$\Delta Z_{\text{обр}}(r_0) = Z^{\Omega}(r_0) \left\{ 1 - \frac{2}{3} \frac{2\bar{V}(r_0)}{\bar{V}^{\delta} + \bar{V}(r_0)} \right\}. \quad (29)$$

В связи с тем, что плотность вещества в приповерхностном слое повышена, всегда имеет место неравенство (21)

$$\frac{\bar{V}}{\bar{V}^{\delta}} > 1.$$

В связи с этим для кристаллов всегда можно записать, что

$$\Delta Z_{\text{обр}} < \frac{1}{3} Z^{\Omega} + \frac{2}{3} Z^I, \quad (30a)$$

а для капель

$$\Delta Z_{\text{обр}} < \frac{1}{3} Z^{\Omega}. \quad (30б)$$

В теории Гиббса не учитывалась зависимость от дисперсности молярного объема, в связи с чем для капель было получено уравнение

$$\Delta Z_{\text{обр}} = \frac{1}{3} Z^{\Omega}, \quad (31)$$

применение которого к скорости возникновения новых фаз привело к хорошо известным затруднениям теории, так как оказалось, что при достигаемых на опыте пересыщениях скорость кристаллизации должна быть пренебрежимо мала (фактически это не так).

Неравенства (30) по крайней мере частично устраняют это несоответствие. Вместе с тем следует подчеркнуть, что для частиц, находящихся в равновесии с переохлажденной жидкостью, $\Delta Z_{\text{обр}}$ никогда не

может быть меньше

$$\frac{1}{3} Z^{\Omega}(2\delta) + \frac{2}{3} Z^I(2\delta) > 0,$$

так как при линейных размерах частиц, приближающихся к 2δ ,

$$\bar{V} \rightarrow \bar{V}^{\delta} \text{ и } \frac{\bar{V}}{\bar{V}^{\delta}} \rightarrow 1.$$

Поэтому для равновесных частиц размера r_0

$$\Delta Z_{\text{обр}}(r_0) > \frac{1}{3} Z^{\Omega}(2\delta) + \frac{1}{3} Z^I(2\delta) > 0,$$

где $r_0 > 2\delta$ и r имеет смысл параметра, аналогичного длине ребра кристалла.

Для частиц, не находящихся в равновесии с расплавом, возможен и другой знак неравенства.

Если необходимо выразить $\Delta Z_{\text{обр}}$ через параметры длины кристалла, то можно воспользоваться соотношениями:

$$v = g^v r^3; \quad \Omega_i = g_i^{\Omega} r^2, \quad l_k = g_k^l r,$$

откуда

$$\Delta Z_{\text{обр}}(r_0) = r_0^2 \sum_i \sigma_i g_i^{\Omega} \left\{ 1 - \frac{2}{3} \frac{n(r_0) \bar{V}}{g^v r_0^3} \right\} + r_0 \sum_k \tau_k g_k^l \left\{ 1 - \frac{1}{3} \frac{n(r_0) \bar{V}}{g^v r_0^3} \right\}.$$

Это уравнение, как и (28), может быть упрощено если сделать соответствующие предположения о величине \bar{V} .

Рассмотрим теперь вопрос об изменении термодинамического потенциала для системы, состоящей из одного моля переохлажденной жидкости, когда в ней происходит рост одного кристалла. На рис. 3 приведен график зависимости $Z_{\text{сист}}$ от размера образующегося кристалла r .

Аналитически кривая $Z(r)$ при $r > 2\delta$ описывается уравнением

$$\begin{aligned} Z_{\text{сист}}(r) &= \mu_{\text{жидк}} \{1 - n(r)\} + n(r) \mu^{\infty} + Z^{\Omega}(r) + Z^I(r) = \\ &= \mu_{\text{жидк}} - n(r) \Delta \mu(r_0) + r^2 \sum_i \sigma_i g_i^{\Omega} + r \sum_k \tau_k g_k^l, \end{aligned} \quad (32)$$

где r_0 — параметр длины для кристаллов, находящихся в равновесии с переохлажденной жидкостью $\mu_{\text{жидк}} = \mu^0$, а $n(r)$ — число молей в кристалле произвольного размера. Это уравнение удовлетворяет граничным условиям:

$$\text{при } r \rightarrow 0 \quad Z_{\text{сист}} = \mu_{\text{жидк}} (= \mu^0), \quad \left(\frac{\partial Z}{\partial r} \right)_{r=0} = \sum_k \tau_k g_k^l > 0.$$

Здесь уравнение не является точным, так как при $r < 2\delta$ кристалл не представляет собой новой фазы, а является структурной флуктуацией в жидкости.

$$\text{При } r \rightarrow \infty \quad Z_{\text{сист}} = \mu^{\infty} < \mu_{\text{жидк}},$$

так как для $n=1$ с любой степенью точности, имеющей физический смысл, относительной величиной Z^{Ω} можно пренебречь.

$$\begin{aligned} \text{При } r = r_0 \quad Z_{\text{сист}}(r_0) &> Z_{\text{сист}}(0) = \mu_{\text{жидк}}, \quad \left(\frac{\partial Z}{\partial r} \right)_{r=r_0} = 0, \quad Z_{\text{сист}}(r_0) = Z_{\text{сист}}(0) = \\ &= \Delta Z_{\text{обр}}(r_0); \end{aligned}$$

$$\text{при } r > r^* \quad Z(r^*) < Z(0)$$

и кристаллизация не требует затраты свободной энергии. Привычка к свойствам протяженных фаз, когда химические потенциалы равны соответствующим удельным (на 1 моль) значениям Z может вызвать вопрос:

почему при $r = r_0$ $Z_{\text{сист}}(r_0) > Z(0)$, несмотря на то, что в этих условиях $\mu(r_0) = \mu_{\text{жидк}}$. Из содержания этого раздела ясно, что это неравенство как раз и вызвано отличием удельного значения Z для дисперсных систем от их полного потенциала.

Отметим также условность построения рис. 3, так как отрезок AB фактически несоизмерим с BC . AB — это работа образования одного кристалла размером r_0 . Из (32) и (28a) следует, что

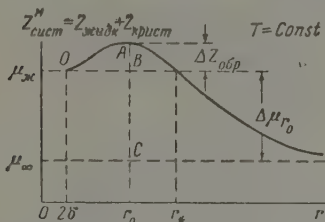


Рис. 3. Изменение термодинамического потенциала системы при изотермической кристаллизации одного моля переохлажденной жидкости. График не является точным для $r \sim 2\delta$; $T = \text{const}$

$$AB = Z_{\text{сист}}(r_0) - Z_{\text{сист}}(0) = Z^{\Omega}(r_0) + Z^I(r_0) - n(r_0)\Delta\mu(r_0) \ll BC,$$

так как BC определяется «мольной» величиной

$$BC = \mu_{\text{жидк}} - \mu^{\infty} = \Delta\mu(r_0),$$

а число молей $n(r_0)$ при всех имеющих физический смысл степенях пресыщения удовлетворяет условию $n(r_0) \ll 1$.

Условия устойчивости формы ограничения кристалла

Форма ограничения кристалла определяет закон относительного развития граней различного вида. Чтобы найти этот закон, нужно условия равновесия кристалла в явном виде выразить через параметры, определяющие форму ограничения. Приведенные выше соотношения применимы к кристаллам с любой формой ограничения, в связи с чем наиболее удобным было оперировать с одним линейным параметром r и набором констант g^v , g^{Ω} и g_k^I , которые хотя и определяют форму ограничения, но детальнее не рассматриваются.

Здесь, следуя Кюри и Вульффу, удобнее перейти от этого способа к описанию формы ограничения при помощи N параметров r_i , равных расстоянию по нормали от некоторой точки в объеме кристалла (например, центра тяжести) до каждой из N граней.

Математическая сторона вопроса теперь состоит в том, чтобы выразить все Ω_i и l_k через набор величин r_i . Для этого опять удобно пользоваться соотношениями размерности

$$\Omega_i = b_i r_i^2, \quad (33a)$$

$$l_k = c_{ki} r_i, \quad (33б)$$

$$i = 1, \dots, N, k = 1, \dots, M_i.$$

Двойной индекс при постоянной c_{ki} связан с тем, что i -ая грань может иметь ребра различного типа; M_i — это число ребер i -й грани. Объем кристалла v можно представить как сумму объемов пирамид, основаниями которых служат N граней кристалла, а все вершины лежат в центре тяжести:

$$v = \sum_{i=1}^N a_i r_i^3. \quad (33в)$$

Если все грани кристалла плоские, то константы a_i и b_i связаны соотношением

$$a_i = \frac{b_i}{3}, \quad (33г)$$

так как объем пирамиды $a_i r_i^3$ равен произведению $1/3$ высоты r_i на площадь основания $b_i r_i^2$.

Для устойчивой формы ограничения термодинамический потенциал кристалла должен иметь абсолютный или относительный минимум по отношению к вариации параметров r_i при $p, T = \text{const}$.

Соотношения:

$$\delta Z_{\text{крист}} = 0 \text{ и } \delta(Z^{\Omega} + Z^I) = 0 \text{ при } n = \text{const}$$

эквивалентны, так как при $n, v = \text{const}$ объемная часть Z остается неизменной.

Теперь условия устойчивости формы ограничения можно записать в виде

$$\delta \left\{ \sum_i (\sigma_i b_i r_i^2 + \frac{1}{2} \sum_{k=1}^{k=M_i} \tau_k c_{ki} r_i) \right\} = 0, \quad (34)$$

где допустимы только такие вариации r_i , при которых

$$\delta n = \frac{\delta v}{V} = \frac{1}{V} \delta \sum_i a_i r_i^3 = 0. \quad (35)$$

В (34) множитель $1/2$ перед \sum_k возникает за счет того, что каждое ребро принадлежит двум граням. Умножая (35) на постоянную W_{Φ} и складывая (34) и (35), получим, проведя варьирование,

$$\sum_i \left\{ 2\sigma_i b_i r_i + \frac{1}{2} \sum_{k=1}^{k=M_i} \tau_k c_{ki} - \frac{W_{\Phi}}{V} 3a_i r_i^2 \right\} \delta r_i = 0,$$

где все δr_i теперь можно считать независимыми. Отсюда следует, что для любой из граней устойчивой формы ограничения

$$\frac{2\sigma_i \bar{V}}{r_i} \frac{b_i}{3a_i} + \frac{\bar{V}}{6a_i r_i^2} \sum_{k=1}^{k=M_i} \tau_k c_{ki} = W_{\Phi}, \quad i = 1, 2, \dots, N, \quad (36)$$

а для кристаллов с плоскими гранями

$$\frac{2\sigma_i \bar{V}}{r_i} + \frac{\bar{V} \epsilon_i}{3a_i r_i^2} = W_{\Phi}, \quad i = 1, 2, \dots, N. \quad (37)$$

Здесь для сокращения записи свободная энергия ребер, приходящаяся на i -ю грань, обозначена через ϵ_i

$$\epsilon_i = \frac{1}{2} \sum_{k=1}^{k=M_i} \tau_k c_{ki} r_i.$$

В заключение отметим, что приведенный здесь вывод в равной мере относится как к одно-, так и к многокомпонентным кристаллам. Различия возникают только при интерпретации величины v . Стоит также подчеркнуть, что для вывода соотношений (36) и (37) не используется предположение о том, что поверхностная свободная энергия кристалла имеет абсолютный минимум. Эти вопросы подробнее рассмотрены ниже.

Равновесные и квазиравновесные формы ограничения. Роль реберной энергии

Условия устойчивости формы ограничения кристалла выражаются уравнением (36). Они могут быть осуществлены множеством способов, так как общее число видов граней для данного вещества всегда превышает необходимое для построения некоторого N -гранника. Этой возможности отвечает набор допустимых форм ограничения кристалла, каждая из которых при $n = \text{const}$ характеризуется своим значением W_{Φ} . Однако сказанное не означает, что все эти формы ограничения являются в равной мере устойчивыми, так как (36) определяет только закон взаимного развития гра-

ней, принадлежащих к одной форме огранения, но сама форма огранения может оказаться неустойчивой за счет возникновения и роста новых граней, принадлежащих к более устойчивой форме.

Возникает естественный вопрос: как среди всех мыслимых форм огранения выделить те, которые отвечают абсолютной или относительной устойчивости кристаллов.

Задача о множестве форм огранения не была поставлена в теории Кюри — Вульфа, несмотря на то, что в ней было получено соотношение:

$$\frac{\sigma_i}{r_i} = W, \quad (38)$$

по форме близкое к (36). Существенное отличие уравнений (36) и (38) состоит в том, что (38) относится к единственной — абсолютно устойчивой форме огранения, которой отвечает абсолютный минимум Z^Ω , тогда как (36) описывает некоторое множество форм огранения.

Чем вызвано такое различие?

Теория многообразия форм огранения не могла быть развита раньше, так как не была достаточно осознана специфическая роль реберной энергии кристаллов, а без одновременного учета энергии граней и ребер кристаллов построение такой теории принципиально невозможно.

При рассмотрении вопроса о формах огранения кристаллов особое значение реберной энергии вовсе не сводится к тому, что в соответствующих уравнениях появляется некая — часто небольшая — поправка на свободную энергию ребер. Дело в том, что она играет роль «термодинамического барьера, разделяющего формы огранения. Поэтому, если при общем анализе вопроса заранее опустить соответствующую ей поправку, то, как и в теории Гиббса — Кюри — Вульфа, окажется, что все формы огранения, кроме одной, являются абсолютно неустойчивыми.

Рис. 4. График, поясняющий условия образования новых форм огранения и затрату «реберной» энергии при этом процессе. I — ф-ой форма огранения; II — зародышевая грань (ф-1)-ой формы огранения

так как для кристалла здесь может быть найден лишь один минимум Z , соответствующий абсолютному минимуму Z^Ω при $n = \text{const}$, $T = \text{const}$, $p = \text{const}$. По этой причине (38) описывает единственную форму огранения.

Другая картина наблюдается при учете реберной энергии. Переход от одной формы огранения к другой начинается с образования зародышевой грани необходимого типа. Если грани, отвечающие новой, (ф — 1)-ой, форме огранения, возникают вдоль ребер исходной ф-ой формы, то, даже для «бесконечно малой» грани, вместо одного ребра образуется двоянное (рис. 4), образование которого требует затраты свободной энергии

$$(2\tau_k^{(\phi-1)} - \tau_k^\phi) l_k > 0.$$

С точки зрения молекулярных представлений, конечно, нельзя говорить о бесконечно малой грани, но упомянутой затрате энергии можно сопоставить энергию отрыва цепочки атомов вдоль ребра кристалла (рис. 4).

Таким образом переход от одной формы огранения к другой начинается с затраты свободной энергии реберного типа

$$\Delta Z_{\phi-\phi-1} = \sum_k (2\tau_k^{\phi-1} - \tau_k^\phi) l_k > 0,$$

где суммирование проведено по всем ребрам ф-ой формы, вдоль которых зарождаются грани (ф-1)-ой формы.

Сказанное можно проиллюстрировать построением, приведенным на рис. 5. Если порядок нумерации форм ограничения выбрать таким, чтобы возрастающим значением ϕ отвечал ряд возрастающих значений W_ϕ (при $n = \text{const}$), то без учета реберной энергии зависимость $Z(\phi)$ при $n = \text{const}$ имеет вид плавно возрастающей кривой (рис. 5, а). Этому отвечает устойчивость единственной формы ограничения для которой Z^Ω имеет абсолютный минимум. Эта картина отвечает теории Кюри — Вульфа. С учетом реберной энергии эта «кривая» становится полиэкстремальной (рис. 5), т. е. кроме абсолютного минимума Z^Ω появляется еще некоторое множество относительных минимумов Z^Ω , которым отвечает набор «квазиравновесных» форм ограничения. (На рис. 5 нецелочисленные значения ϕ отвечают неустойчивым состояниям смешанных форм ограничения.)

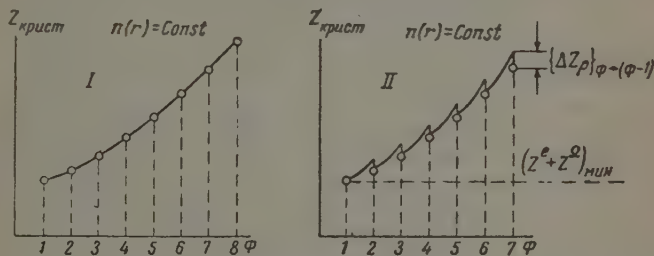


Рис. 5. Термодинамический потенциал кристаллов с различной формой ограничения при $n = \text{const}$, $T = \text{const}$. I — без учета «реберной» энергии; II — с учетом «реберной» энергии. Величина $\{\Delta Z_p\}_{\phi \rightarrow \phi-1}$ играет роль термодинамического барьера при изменении формы ограничения

Теперь мы в состоянии дать ответ на вопрос, поставленный в начале этого раздела.

Абсолютно устойчивой является та форма ограничения, для которой при $n = \text{const}$ величина W_ϕ для системы уравнений (36) имеет минимальное значение. Этому отвечает состояние с абсолютным минимумом Z^Ω .

Относительно устойчивыми или квазиравновесными являются такие формы ограничения, для которых комплекс отвечающих им граней не содержит граней, общих с гранями другой формы ограничения, а зарождение граней в вершинах многогранника ($\Delta Z_{\phi \rightarrow \phi-1} = 0$) не приводит к снижению Z^Ω . В этом случае изменение формы ограничения должно сопровождаться первоначальной затратой свободной энергии, в связи с чем каждой из квазиравновесных форм ограничения должен соответствовать относительный минимум Z^Ω при постоянной массе кристалла.

До тех пор, пока рассматриваются кристаллы одинаковой массы, ряду величин

$$W_1 < W_2 < W_3 < \dots$$

отвечает ряд односторонних переходов, которые становятся возможными после преодоления барьера $\Delta Z_{\phi \rightarrow \phi-1}$

$$\phi_1 \leftarrow \phi_2 \leftarrow \phi_3 \leftarrow \dots$$

Однако кристаллы с различными формами ограничения могут находиться в равновесии, если взять кристаллы с определенным соотношением масс.

Наиболее просто эта задача решается графически при помощи построения, аналогичного рис. 3. Этот рисунок относится к случаю роста

кристалла с заданной формой ограничения ($\phi = \text{const}$), а полная картина передается поверхностью $Z(r, \phi)$. На рис. 6 приведена проекция на плоскость двух сечений этой поверхности, соответствующих $\phi = 1$ и $\phi = 2$. Взаимное расположение кривых $Z_1(r)$ и $Z_2(r)$ определяется условием равновесия с переохлажденной жидкостью кристаллов с размером r_a^I для первой формы ограничения и r_0^{II} — для второй

$$\mu_{\text{жидк}} = \mu(r_a^I) = \mu(r_0^{II}),$$

так как этим определяется взаимное расположение максимумов на кривых $Z(r)$. Здесь A_1B_1 и A_2B_2 по-прежнему определяют работу образования кристаллов, находящихся в метастабильном равновесии друг с другом и с переохлажденной жидкостью. При заданной степени пересыщения более устойчивой форме ограничения отвечают кристаллы меньшей массы, так как

$$r_a^I < r_0^{II}, \text{ т. е. } n(r_a^I) < n(r_0^{II}) \text{ и } Z(r_a^I) < Z(r_0^{II}).$$

Эти неравенства имеют место в связи с тем, что повышение химического потенциала для дисперсной фазы при $n = \text{const}$ пропорционально константам W_ϕ в (36). Благодаря этому кривая $\mu^{II}(r)$ лежит везде выше кривой $\mu^I(r)$, а $Z_{\text{сист}}^{II}(r)$ — выше $Z_{\text{сист}}^I(r)$.

Концентрация минимума поверхностной свободной энергии и строение поверхности реальных кристаллов. Кристаллы с дислокациями

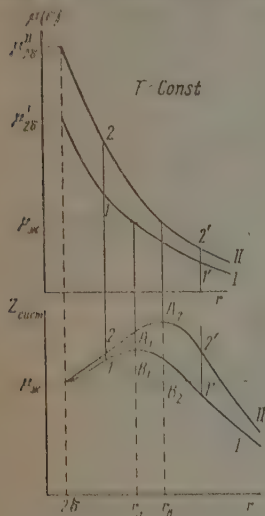


Рис. 6. Равновесие кристаллов с различными формами ограничения (I и II). При $n = \text{const}$ кристаллы с формой ограничения II всегда неустойчивы (переход $2 \rightarrow 1$), но кристаллы формы I с размером $r = r_a$ равновесны с кристаллами II формы ограничения при $r = r_0$

сокращен изложенными выше представлениями об относительном, а не абсолютном минимуме Z^0 для форм ограничения, доступным термодинамическому анализу. Взаимные понятия абсолютного и относительного минимума свободной энергии отвечают существенно различному физическому смыслу задачи, так как теоретически ожидаемой является уже не единственная форма идеального кристалла, а некоторое множество квазиравновесных форм ограничения, которому можно сопоставить наблюдаемое на опыте разнообразие форм ограничения реальных кристаллов. Из сказанного ясно, что аналогия между поведением кристалла и капли является значительно более отдаленной, чем принято думать.

Эти результаты можно дополнить еще в одном отношении. Выше предполагалось, что грани, относящиеся к каждой из квазиравновесных форм, являются совершенными. Между тем и кристаллографически несовершенные грани могут рассматриваться в термодинамике, если их превращение в «идеальные» грани происходит с первоначальной затратой свободной энергии.

Примером неравновесных граней такого типа могут служить грани дислокациями [6, 24—26].

Основным для нас свойством таких граней является то, что их рост не приводит к уничтожению дислокаций, а переход к идеальной структуре кристалла не может протекать как термодинамически самопроизвольный процесс (требуется первоначальная затрата свободной энергии).

Условия устойчивости формы ограничения здесь имеют вид, аналогичный (36):

$$\frac{2\sigma_i(D)}{r_i} \frac{b_i}{3a_i} + \frac{\dot{a}_i \bar{V}}{3a_i r_i^3} = W_\Phi, \quad \Phi = 1, 2, \dots, \quad (39)$$

тем лишь отличием, что для граней с дислокациями соответствующие $\sigma_i(D)$ параметрически зависят от числа и взаимного расположения дислокаций на грани. Поэтому наличие дислокаций изменяет не только строение грани, но и внешний облик квазиравновесного кристалла.

Вместе с тем следует учитывать, что на этом пути можно только анализировать следствия, вызванные наличием в кристалле граней с дислокациями, но что само число дислокаций не может быть найдено в пределах чисто термодинамической теории. Более того, формы спиралей роста на гранях кристаллов часто определяются кинетикой роста кристаллов, а не требованиями термодинамики. В этом случае изложенные представления не применимы. Квазиравновесная форма грани с дислокациями может быть найдена обычным путем: равновесную форму спирали (или их набора) можно найти из условия относительного минимума Z^a , совместимого существованием на грани заданного числа дислокаций, взаимное расположение которых можно считать начальным условием задачи.

Адсорбция в дисперсных системах

Для многокомпонентных систем состав объемной части фазы и поверхностного слоя не совпадают. Адсорбцией j -го компонента называется величина

$$\Gamma_j = \left(\frac{\partial n_j}{\partial \Omega} \right) c_{in}^v = \left(\frac{\partial n_j^s}{\partial \Omega} \right) c_{in}^s, \quad (40)$$

где символ $()_{c_{in}^v}$ означает «при постоянном составе внутренней части фазы». Физический смысл Γ_j состоит в том, что это число молей j -го компонента, которое необходимо внести в систему на единицу площади вновь образующейся поверхности раздела фаз, чтобы состав внутренней части фазы не изменился. Поэтому в (40) dn_j заменено на dn_j^s . Из определения также ясно, что величина Γ_j определена по методу «избытков» (см. выше), для единицы площади приповерхностного слоя концентрация

$$c_j^s = c_j^v + \frac{\Gamma_j}{\sigma} = c_j^v + \frac{n_j^s}{\sigma}.$$

Величина Γ_j входит в уравнение Гиббса, которое можно записать одной из двух форм (для капель)

$$\Gamma_j = - \left(\frac{\partial \sigma}{\partial \mu_j} \right)_{p, T, \mu_{in}}, \quad (41a)$$

$$\Gamma_j = - \left(\frac{\partial \sigma}{\partial \mu_j} \right)_{p, T, c_{in}^v}; \quad (41b)$$

(41a) следует из рассмотрения свойств функции состояния

$$\varphi_1 = Z - \sum \mu_i n_i$$

и эквивалентно

$$\frac{d^2 \varphi_1}{d\mu_j d\Omega} = \frac{d^2 \mu_1}{d\Omega d\mu_j},$$

а (416) может быть получено из аналогичного соотношения для

$$\varphi_2 \quad \text{и} \quad \varphi\Omega.$$

Однако эти соотношения являются точными лишь для протяженных фаз, так как метод перекрестного дифференцирования можно применить только для независимых переменных, а для дисперсных фаз дифференциалы $d\Omega$ и $d\mu$ не являются независимыми.

Для решения вопроса об изменении адсорбции компонент при изменении степени дисперсности фазы, найдем величину

$$\left(\frac{\partial \Gamma_j}{\partial v} \right)_{p, T},$$

где v — объем частицы дисперсной фазы. Очевидно, что

$$\left(\frac{\partial \Gamma_j}{\partial v} \right) = \frac{\partial}{\partial v} \left(\frac{\partial n_j^\delta}{\partial \Omega} \right) = \frac{\partial}{\partial v} \left(\frac{\partial n_j^\delta}{\partial v^\delta} \right) \frac{dv^\delta}{d\Omega}.$$

Здесь v^δ — объем приповерхностного слоя для частицы с объемом v и площадью поверхности раздела фаз Ω . По определению (см. выше)

$$\frac{\partial v^\delta}{\partial n^\delta} = V_j^\delta$$

представляет собой парциальный молярный объем j -го компонента в приповерхностном слое, а производную $dv^\delta/d\Omega$ можно найти методом размерностей. Из $v = g^v r^3$, $v^\delta = g^v (r - \delta)^3$ и $\Omega = g^\Omega r^2$ следует

$$\frac{dv^\delta}{d\Omega} = \frac{d(v - v^\delta)}{d\Omega} = \frac{3g^v}{g^\Omega} \delta = \frac{3}{2} \frac{g^v}{g^\Omega} \frac{\delta^2}{r}.$$

Поэтому для изменения адсорбции j -го компонента, $\Delta \Gamma_j = \Gamma_j^v - \Gamma_j^\infty$, при переходе от протяженной к дисперсной фазе получим

$$\Delta \Gamma_j = \Gamma_j^v - \Gamma_j^\infty = \int_0^v \frac{\partial}{\partial v} \left(\frac{1}{V_j^\delta} \frac{dv^\delta}{d\Omega} \right) dv = \frac{3g^v}{g^\Omega} \left\{ \left(\frac{\delta}{V_j^\delta} \right)_r - \left(\frac{\delta}{V_j^\delta} \right)_\infty \right\} - \left\{ \frac{3g^v \delta^2}{2g^\Omega r V_j^\delta} \right\}_v. \quad (42)$$

Адсорбционное уравнение Гиббса для дисперсных систем теперь можно представить в обобщенном виде

$$\Gamma_j(v) = - \left(\frac{\partial \sigma}{\partial \mu_j} \right)_{p, T, c_{ik}^v} + \Delta \Gamma_j(v), \quad (43)$$

где в правой части (43) первое слагаемое определяется для бесконечно протяженных фаз, а поправка, связанная с диспергированием системы, вычисляется по уравнению (42). В правой части уравнения (42) первый член отличен от нуля в том случае, если изменение степени дисперсности сопровождается изменением строения приповерхностного слоя (что изменяет δ или V_j^δ). Этот эффект невелик, так как он может иметь место лишь в той области r , где изменяется δ , а последний эффект даже для очень малых частиц не превышает 20% [17]. Последний член в (42) обусловлен уменьшением объема приповерхностного слоя, приходящегося на единицу площади геометрической поверхности фаз. Он может иметь значение только для наиболее мелких частиц и равен нулю при

$$r^\delta = \Omega \delta.$$

Большее значение в дисперсных системах должен иметь другой эффект. Так как при диспергировании фазы полные химические потенциалы всех компонентов растут, то в среде, где один из потенциалов поддерживается постоянным (например, за счет контакта с протяженной фазой), абсолютное количество этого компонента, захваченного единицей массы дисперсной фазы, пройдет через максимум при увеличении степени дисперсности. Первоначальный рост абсолютной адсорбции связан с увеличением площади поверхности раздела фаз, а дальнейший спад — за счет быстрого роста потенциалов всех компонентов для частиц, линейные размеры которых станут меньше 100 Å.

Выводы

В работе рассмотрены общие вопросы термодинамики дисперсных систем. Изложение проведено на основе развитого автором метода размерностей. Применение этого метода позволило обобщить основные результаты теории Гиббса — Кюри — Вульфа.

В области теории кристаллов основным отличием от взглядов Кюри — Вульфа является рассмотрение многообразия форм ограничения, а не только той единственной формы ограничения, которой отвечает абсолютный минимум свободной энергии кристалла. Это оказывалось возможным сделать за счет одновременного рассмотрения энергии граней и ребер кристаллов, так как именно реберная энергия позволяет выделить из множества мыслимых форм ограничения термодинамически возможные.

В работе получены общие уравнения для полного химического потенциала вещества в дисперсной фазе, а также рассмотрены традиционные вопросы о работе образования кристаллов из переохлажденной жидкости. Показано, что известные уравнения Гиббса для повышения химического потенциала

$$\Delta\mu^r = \frac{2}{3} Z_m^\Omega$$

и для работы образования

$$\Delta Z_{\text{обр}} = \frac{1}{3} Z_m^\Omega$$

(обозначения см. в тексте) даже для капель являются существенно неточными, так как в них не учитывается изменение мольного объема со степенью дисперсности частиц.

В работе обсуждена концепция минимума поверхностной свободной энергии и показано, что фактически речь должна идти о некотором множестве значений относительных минимумов Z^Ω , а не об абсолютном минимуме Z^Ω , как это принято полагать. Это позволяет в рамках термодинамики рассматривать даже кристаллы с дислокациями.

В работе рассмотрен вопрос об изменении адсорбции компонентов в приповерхностном слое за счет изменения степени дисперсности частиц. Получено уравнение, являющееся обобщением адсорбционного уравнения Гиббса.

Московский государственный
университет им. М. В. Ломоносова

Поступила
26.VI.1959

ЛИТЕРАТУРА

1. Дж. В. Г и б б с, Термодинамические работы, Гостехтеоретиздат, 1950.
2. P. Curie, Z. Kristallogr., 12, 651, 1887; Bull. Soc. franç. minéral. et crystallogr., 8, 145, 1885.
3. Ю. В. В у л ь ф, К вопросу о скорости роста и растворения граней, Варшава, 1895; Z. Kristallogr., 14, 449, 1901.
4. В. К. Семенченко, Ж. физ. химии, 19, 298, 1945; Поверхностные явления в металлах и сплавах, Гос. хим. изд., 1957.
5. M. Laue, Z. Kristallogr., 105, 124, 1943.
6. W. Burton, N. Cabrera, F. Frank, Nature, 163, 398, 1949.

7. M. Volmer, Kinetik der Phasenbildung, Dresden, 1939.
 8. H. Brandes, M. Volmer, Z. phys. Chem., 155, 466, 1931.
 9. H. Brandes, Z. phys. Chem., 126, 196, 1927.
 10. W. L. Bragg, Proc. Roy. Soc., A 106, 346, 1924.
 11. F. Frank, Advances Phys. (Phil. Mag. Suppl.), 1, 91, 1952.
 12. N. Mott, Nature, 165, 295, 1950.
 13. A. Wells, Chem. Soc. Ann. Rep., 43, 62, 1946.
 14. Я. И. Френкель, Кинетическая теория жидкостей, Изд-во АН СССР, 1946.
 15. W. Kossel, Nachr. Ges. wiss. Pott., Photogr., 135, 1927; in Falkenhagen, Quantentheorie und Chemie, Leipzig, стр. 46, 1928.
 16. I. Stranski, Disc. Faraday Soc., 5, Crystal Growth, 13, 1949; И. Странский, Р. Каишев, Успехи физ. наук, 21, 408, 1939.
 17. Д. Холлмон и Д. Тарнбалл, Успехи физ. металлов, 1, 304, Металлургиздат, 1958.
 18. R. Becker, Disc. Faraday Soc., 5, Crystall Growth, 55, 1949.
 19. R. Becker, W. Döring, Ann. Physik, 24, 719, 1935.
 20. О. М. Полтора́к, Ж. физ. химии, 31, 2477, 1957.
 21. О. М. Полтора́к, Ж. физ. химии, 31, 722, 1958.
 22. О. М. Полтора́к, Вестн. МГУ, № 5, 1958.
 23. О. М. Полтора́к, Диссертация, МГУ, 1958.
 24. W. Burton, N. Sabreга, F. Frank, Nature, 163, 398, 1949.
 25. В. Рид, Теория дислокаций, Металлургиздат, 1957.
 26. А. Варма. Рост кристаллов и дислокации, ИИЛ, 1958.
-

ДИФфуЗИЯ ЭЛЕКТРОЛИТИЧЕСКОГО ВОДОРОДА ЧЕРЕЗ ЖЕЛЕЗНЫЕ ПЛАСТИНКИ И МЕХАНИЗМ ПЕРЕНАПРЯЖЕНИЯ ВОДОРОДА НА ЖЕЛЕЗЕ

Л. И. Фрейман и В. А. Титов

За последнее время исследованию диффузии электролитического водорода был посвящен ряд работ [1—3], в которых те или иные соображения о механизме перенапряжения высказывались на основании изучения передачи перенапряжения диффундирующим водородом. Ввиду сложности явления при его теоретическом анализе приходится делать ряд допущений, несмотря на которые получаемые уравнения не имеют простого вида [4]. В связи с этим, по нашему мнению, следует вновь обратить внимание на уравнения зависимости скорости диффузии электролитического водорода v от плотности тока i и перенапряжения η , впервые полученные Боденштейном [5]:

$$v = k' \sqrt{i}, \quad (1)$$

$$\lg v = \frac{\eta}{m} + \text{const} \quad (2)$$

(здесь k' и m — постоянные). Существование таких зависимостей позволяет утверждать, что любая теория перенапряжения водорода на железе не может быть полной без истолкования этих закономерностей. Боденштейн при объяснении своих результатов исходил из рекомбинационной теории перенапряжения, пытаясь показать, что постоянная m в уравнении (2) равна постоянной b в уравнении Тафеля:

$$\eta = a + b \lg i. \quad (3)$$

Но поскольку в эти расчеты вводилось неправильное значение константы b и, кроме того, величина m была плохо воспроизводимой, Боденштейну не удалось подтвердить рекомбинационную теорию. Легко видеть, что эмпирическое уравнение (2) может быть выведено также из уравнений (1) — (3), причем получаем:

$$[m = 2b. \quad (4)$$

Очевидно, что при проверке уравнения (4) величину b следует рассчитывать по данным тех же опытов, в которых определялась скорость диффузии. Для такой проверки достаточно двух значений скоростей диффузии при известных соответствующих значениях перенапряжений. Такой расчет по данным работы И. А. Багоцкой и А. Н. Фрумкина [2] дает величины

$$m = \frac{\eta_2 - \eta_1}{\lg(v_2/v_1)} = 0,36; \quad 2b = 0,40.$$

Как видно, согласие с уравнением (4) неплохое, причем тот факт, что полученная величина m несколько меньше, чем $2b$, объясняется неточностью уравнения (1), использованного при выводе уравнения (4). Действительно, Борелиус и Линдблом [6] позднее вместо уравнения (1) получили более точное уравнение

$$v = k' (\sqrt{i} - \sqrt{i_0}), \quad (5)$$

где i_t — зависящая от температуры постоянная. Из уравнений (3) и (5) следует

$$\lg(v + k' \sqrt{i_t}) = \frac{\eta}{m'} + \text{const}' \quad (6)$$

$$m' = 2b. \quad (7)$$

При сравнении уравнений (2) и (6) видно, почему при расчете по уравнению (2) величина m получается заниженной. Отметим также, что прямая пропорциональность между v и \sqrt{i} и между $\lg v$ и η была получена в работе Н. И. Тугова и Г. В. Цыганова [7].

При не очень малых плотностях тока ($i \ll i_t$) уравнение (5) переходит в уравнение (1), заслуживающее особого внимания ввиду упрощения интерпретации. Боденштейн без доказательства принимал отнюдь не очевидное существование прямой пропорциональной зависимости между поверхностной концентрацией Н-атомов (ниже используется степень заполнения θ) и скоростью диффузии:

$$v = k''\theta. \quad (8)$$

Уравнение (8) можно доказать, исходя из известных по работам [6—8] уравнений связи между скоростью диффузии электролитического водорода, толщиной пластинки δ и температурой:

$$v \sim \frac{1}{\delta}; \quad (9)$$

$$v \sim e^{-B/T}. \quad (10)$$

Как видно из уравнения (9), диффузия внутри железной пластинки является лимитирующей стадией процесса, что подтверждается также данными Дэвиса и Батлера [9]. Существование зависимостей (9) и (10) при использовании известных уравнений Смителлса и Бэртнера [10] для кинетики перехода атомов газа с поверхности внутрь металла, и обратно, а также первого закона Фика позволяет дать полуэмпирическое доказательство уравнения (8) (см. Приложение) и тем подтвердить предположение Боденштейна. Из уравнений (1) и (8) следует

$$\theta = k \sqrt{i}. \quad (11)$$

Уравнение (11) и вытекающий из него вывод о существовании на железе адсорбционного перенапряжения

$$\eta_a = \text{const}_1 + \frac{RT}{2F} \ln i \quad (12)$$

получаются, таким образом, без использования предварительной гипотезы о замедленной рекомбинации Н-атомов и основаны на эмпирических уравнениях (1), (9), (10). Естественно, что уравнения (11) и (12) относятся лишь к тому интервалу плотностей тока и температур, в котором выполняются уравнения (1) и (10), причем уравнение (11), согласно выводу, справедливо лишь для тех толщин железной пластинки, при которых выполняется уравнение (9).

Принимая для константы b в уравнении Тафеля величину $2RT/F$, получим из уравнения (12), что адсорбционное перенапряжение на железе составляет 25% от величины полного перенапряжения.

А. Н. Фрумкин и Н. А. Аладжалова [11] показали, что для палладия перенапряжение водорода состоит из двух слагаемых: адсорбционного и «разрядного». Ряд авторов [12] допускает возможность такого явления, как общего, для катодов с невысоким перенапряжением водорода. Поэтому можно предположить, что оставшаяся за вычетом адсорбционного перенапряже-

ия (12) величина перенапряжения $\frac{3RT}{2F} \ln i$ является по своему происхождению разрядной. При этом предположении получаем, что для железа константа теории замедленного разряда $\alpha = 0,66$.

Интересно отметить, что вычисленная таким образом с учетом закономерностей диффузии водорода величина α весьма близка к величине $= 0,7$, полученной Н. Е. Хомутовым [13] совершенно другим способом.

ПРИЛОЖЕНИЕ

Ниже приняты следующие обозначения:

θ_1 и θ_2 — степени заполнения Н-атомами соответственно поляризационной и диффузионной поверхностей пластинки; c_1 и c_2 — концентрации растворенного в металле водорода соответственно у поляризационной и диффузионной поверхностей пластинки; c_0 — концентрация насыщения металла растворенным водородом; D — коэффициент диффузии, k_1 и k_2 — постоянные.

Переход водорода через пластинку состоит из трех стадий:

1. Переход адсорбированных Н-атомов с поляризационной поверхности внутрь пластинки. Скорость прямого процесса

$$v_{a,p_1} = k_1 \theta_1 (1 - c_1/c_0);$$

скорость обратного процесса

$$v_{p,a_1} = k_2 c_1 (1 - \theta_1);$$

результатирующая скорость процесса

$$v_1 = v_{a,p_1} - v_{p,a_1} = k_1 \theta_1 (1 - c_1/c_0) - k_2 c_1 (1 - \theta_1) \quad (13)$$

2. Диффузия внутри пластинки со скоростью (при стационарном процессе):

$$v_2 = \frac{D}{\delta} (c_1 - c_2). \quad (14)$$

3. Переход Н-атомов из металла на диффузионную поверхность со скоростью

$$v_3 = v_{p,a_2} - v_{a,p_2} = k_2 c_2 (1 - \theta_2) - k_1 \theta_2 (1 - c_2/c_0). \quad (15)$$

Для стационарного процесса $v_1 = v_2 = v_3 = v$ и решение системы уравнений (13) — (15) имеет вид:

$$v = \frac{D [k_1 k_2 (\theta_1 - \theta_2) + \theta_1 \theta_2 (k_2 - k_1)]}{\left[\left(k_2 - \frac{k_1}{c_0} \right) - k_2 \right] \left[\left(k_1 - \frac{k_1}{c_0} \right) \theta_2 - k_2 \right] + D \left[\left(-k_1 + \frac{k_1}{c_0} \right) \theta_2 - \left(k_2 - \frac{k_1}{c_0} \right) \theta_1 \right]}. \quad (16)$$

Для согласования с эмпирическим уравнением (9) в знаменателе правой части уравнения (16) следует пренебречь членом, не содержащим δ . Принимая, что константы скоростей k_1 и k_2 зависят от температуры экспоненциально, получим, что для согласования с уравнением (10) в оставшейся части знаменателя следует пренебречь членами, содержащими степени заполнения, по сравнению с членом δk_2^2 , а в числителе — членом с произведением степеней заполнения. Допуская, что $\theta_2 \ll \theta_1$ и принимая $\theta_1 = \theta$, получим

$$v = \frac{D k_1}{\delta k_2} \theta. \quad (17)$$

Полагая $D k_1 / \delta k_2 = k''$, приходим к уравнению (8).

Авторы выражают благодарность Н. А. Аладжаловой, Н. П. Жуку и Г. М. Флорианович за полезное обсуждение данной работы.

Выводы

1. Показано, что между константой m' в уравнении зависимости скорости диффузии электролитического водорода через Fe-пластинки от перенапряжения и константой b в уравнении Тафеля должна существовать зависимость $m' = 2b$.

2. Предложено полуэмпирическое доказательство прямой пропорциональности между скоростью диффузии водорода и поверхностной концентрацией H атомов на Fe-катоде. Такая зависимость может существовать лишь для определенного интервала толщин Fe-пластинок.

3. Показано, что в пределах выполнимости этой зависимости и уравнения Боденштейна адсорбционное перенапряжение водорода на Fe-катоде должно составлять $\approx 25\%$ от полной величины перенапряжения и что рассчитываемая отсюда константа α теории замедленного разряда весьма близка к величине α , рассчитанной по способу Н. Е. Хомутова.

Поступила
3.1.1957 г.

ЛИТЕРАТУРА

1. H. Fischer, H. Heiling, Z. Elektrochem., 54, 184, 1950.
2. И. А. Багодкая, А. Н. Фрумкин, Докл. АН СССР, 92, 979, 1955.
3. И. А. Багодкая, Докл. АН СССР, 107, 843, 1956.
4. А. Н. Фрумкин, Ж. физ. химии, 32, 1875, 1957.
5. M. Bodenstein, Z. Elektrochem., 23, 517, 1922.
6. G. Borelius, S. Lindblom, Ann. Phys., 82, 201, 1927.
7. Н. И. Тугов, Г. В. Цыганов, Докл. АН УзССР, № 4, 1954.
8. G. Lewkonja, V. Baukloh, Z. Metallkund., 29, 309, 1933.
9. R. T. Davis, T. J. Butler, J. Elektrochem. Soc., 105, 563, 1958.
10. Р. Бэррер, Диффузия в твердых телах, ИИЛ, 1948, стр. 206.
11. А. Н. Фрумкин, Н. А. Аладжалова, Ж. физ. химии, 18, 493, 1944.
12. А. Н. Фрумкин и др., Кинетика электродных процессов, Изд-во МГУ, 1955, стр. 186.
13. Н. Е. Хомутов, Тр. Совещания по электрохимии, Изд-во АН СССР, 1955, стр. 97.

DIFFUSION OF ELECTROLYTIC HYDROGEN THROUGH IRON PLATES AND THE MECHANISM OF HYDROGEN OVERVOLTAGE ON IRON

L. I. Freiman and V. A. Titov (Moscow)

Summary

The relation $m' = 2b$ between the constant m' in the equation for the rate of electrodiffusion of hydrogen through a Fe-plate and the b constant in the Tafel equation has been shown to hold. A semi-empirical proof has been presented of the direct proportionality between the diffusion rate and the surface concentration of hydrogen atoms on the Fe cathode. The correlation is valid only for a definite range of iron plate thicknesses. Within the limits of validity of this correlation and of the Bodenstein equation the adsorption overvoltage of hydrogen on a Fe cathode has been shown to constitute $\approx 25\%$ of the overall overvoltage and the constant α of the slow charge theory, calculated on this basis, to closely approach the value of α calculated by the method of Khomutov.

ЭЛЕКТРОВОССТАНОВЛЕНИЕ АКРИЛОВОЙ КИСЛОТЫ

М. Е. Манжелей и Л. В. Войтенко

Большое число работ по исследованию процесса электровосстановления α , β -ненасыщенных кислот посвящено производным акриловой кислоты, как, например, коричной и винилакриловой. В то же время сама акриловая кислота наименее изучена в данном направлении.

Впервые исследование процесса катодного восстановления акриловой кислоты было проведено Уилсоном [1] с применением ртутного электрода в сернокислом растворе. Указанные авторы нашли, что в результате восстановления получается пропионовая кислота и процесс сопровождается образованием большого количества твердого полимера.

В работе [2] была снята полярограмма акриловой кислоты.

В настоящей работе была поставлена задача исследовать процесс электровосстановления акриловой кислоты на катодах из чистой платинированной платины, а также при последовательно увеличивающихся покрытиях ее ртутью. Возможность восстановления акриловой кислоты на платинированной платине следовало ожидать, однако, представляло интерес выяснить влияние добавок ртути, а также сопоставить течение процесса на этих двух металлах с резко отличающимися свойствами.

Экспериментальная часть

Методика работы заключалась в измерении потенциала катода (с капилляром Лuggина) при увеличении силы поляризующего тока с одновременным определением объема выделяющегося водорода. Кроме того, снимались кривые заряджения [3, 4], и изучалась реакция гидрирования в слое адсорбированного водорода [5].

Подготовка электрода, а также снятие кривых заряджения и расчет истинной поверхности производились по методике, разработанной А. И. Шлыгиным и А. Н. Фрумкиным [3, 4]. Электролитом служил раствор 0,1 N H_2SO_4 , очищенный путем предварительного электролиза.

Ртуть вводилась в катодную часть ячейки в виде $HgCl_2$ при потенциале обратимого водородного электрода в данном растворе в количестве, рассчитанном для покрытия определенной части истинной поверхности платинового электрода (3000 см²), и переводилась на электрод при пропускании очищенного электролитического водорода в течение 3 час. Затем ячейка заполнялась в токе водорода свежим раствором электролита.

Для наблюдения процесса восстановления в слое адсорбированного водорода после снятия прямого и обратного хода кривой заряджения ($I = 0,2$ mA) вводился раствор акриловой кислоты в 0,1 N H_2SO_4 , очищенный от кислорода. Изменения потенциала фиксировались до тех пор, пока скорость гидрирования становилась очень малой. Затем включалась анодная поляризация ($I = 0,2$ mA) для удаления непрореагировавшего водорода, после чего электрод поляризовался катодно в интервале плотностей тока от $6 \cdot 10^{-4}$ до $6 \cdot 10^{-6}$ A/см². Потенциалы отмечались после того, как они принимали постоянное значение. Количество акриловой кислоты в растворе соответствовало $0,2$ моль/л.

Значения потенциалов как в тексте, так и на рисунках даны по отношению к потенциалу обратимого водородного электрода в данном растворе.

Кривые заряджения показали, в согласии с данными А. И. Шлыгина, Э. Разумовской и К. Розенталя [6], что по мере увеличения покрытия электрода ртутью количество адсорбированного на нем водорода уменьшает-

ся, и при $\sim 35\%$ покрытия поверхности адсорбция водорода прекращается. Исчезающе малая адсорбция водорода на ртутной поверхности показана и другими методами [7].

Из рис. 1, где приведены результаты гидрирования в адсорбционном слое водорода, видно, что акриловая кислота реагирует с адсорбированным водородом как на чистой платинированной платине, так и на частично покрытой ртутью, причем в последнем случае с меньшей скоростью.

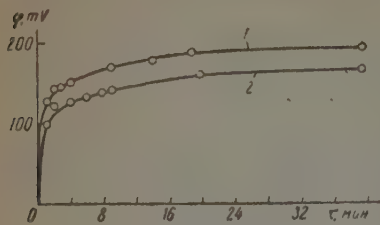


Рис. 1

платина является активным катодом. Об этом свидетельствует то, что процесс восстановления в этом случае происходит при потенциалах, более положительных, чем обратимое значение потенциала водородного электрода в данном растворе (рис. 2, кривая 1), и не сопровождается побочным процессом выделения водорода.

При этом обращают на себя внимание два обстоятельства. Во-первых, электровосстановление и гидрирование в слое адсорбированного водорода осуществляются в одной и той же области потенциалов, и, во-вторых, потенциалы восстановления близки к потенциалу нулевого заряда платины, когда, согласно исследованиям А. Н. Фрумкина [8, 9], на поверхности металла может происходить адсорбция нейтральных молекул акриловой кислоты.

По мере увеличения покрытия катода ртутью, несмотря на рост его потенциалов, скорость процесса падает. Об этом свидетельствуют кривые 2 и 3 рис. 2, а также выходы по току реакции восстановления, приведенные в таблице.

Если поверхность электрода занята ртутью примерно на 35 %, то процесс электровосстановления прекращается.

В такой же последовательности, согласно кривым заряжения, изменяется и способность электрода адсорбировать водород.

Таким образом, кривая 4 рис. 2 представляет собой процесс выделения водорода в присутствии акриловой кислоты. При больших покрытиях в 200, 400% можно считать, что исследуемый электрод ведет себя, как ртутный, так как значения потенциалов, полученные при поляризационных измерениях в отсутствие акриловой кислоты (точки на рис. 3), оказались близкими к потенциалам (при соответствующих плотностях тока) приведенным в работе З. А. Иофа и А. Н. Фрумкина [12], по изучению перенапряжения водорода на ртутном катоде (прямая линия на рис. 3).

На этих электродах процесс электровосстановления не происходил

При больших добавках ртути (35 %) устанавливается потенциал, отличный от обратимого водородного потенциала, и введение акриловой кислоты в ячейку не вызывает его изменения.

Данные по электровосстановлению показали, что платинированная

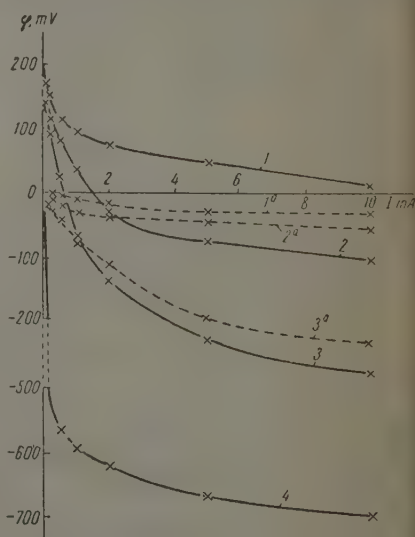


Рис. 2

Hg. %	$I=5\text{ mA}, \quad i=1,5 \cdot 10^{-8} \text{ A/cm}^2$		$I=10 \text{ mA}, \quad i=3 \cdot 10^{-8} \text{ A/cm}^2$	
	$\varphi, \text{ mV}$	%	$\varphi, \text{ mV}$	%
0	47	100	10	100
7	-75	42	-101	42
12	-225	14	-295	14
35	-670	0	-700	0

Мы предположили, что причиной этого являлись большая поверхность катода и соответственно низкие катодные потенциалы, не обеспечивающие восстановления.

В связи с этим дальнейшие опыты проводились с катодом из гладкой латуни, покрытой несколькими слоями ртути. В этих условиях удалось получить более отрицательные потенциалы и наблюдать наличие процесса электровосстановления акриловой кислоты с большой скоростью. Например, выход по току составлял 60 и 70% при потенциалах 1,09 и 120 В ($i = 0,01$ и $0,025 \text{ A/cm}^2$). Потенциалы катода, измеренные при указанных плотностях тока в отсутствие акриловой кислоты, приведены на рис. 3 (верхние две точки). Значения их говорят о близости свойств данного электрода к свойствам ртутного.

Найденные потенциалы восстановления далеко удалены от точки нулевого заряда ртути, т. е. находятся в области потенциалов, где адсорбция нейтральных органических молекул исключается. Этот факт дает право предположить, что процесс электровосстановления проходит на ртутном катоде без предварительной адсорбции молекул акриловой кислоты.

Приведенные данные показали, что электровосстановление акриловой кислоты может осуществляться как на платинированной платине, так и на ртути — металлах с резко отличающимися свойствами, но при потенциалах далеко удаленных друг от друга (более чем на 1 В).

Несомненно, что резко отличающиеся заряды поверхности этих катодов оказывают различное влияние на состояние молекул акриловой кислоты, которые благодаря наличию сопряжения π -электронов карбонильной группы и этиленовой связи способны поляризоваться. Поляризация, как известно, приводит к уменьшению электронной плотности у β -углеродного атома.

Под влиянием большого отрицательного заряда ртутного катода молекулы акриловой кислоты поляризуются гораздо сильнее, чем под действием катода из платинированной платины. И, очевидно, вблизи ртутного катода, в результате кулоновского взаимодействия, концентрация поляризованных и определенным образом ориентированных молекул может быть значительно увеличена.

Дополнительные опыты по исследованию влияния добавок атомарного мышьяка (выделенного при восстановлении HAsO_2) показали следующее.

На катоде из платинированной платины они вызвали резкое снижение скорости процесса восстановления и при $\sim 2\%$ покрытия полное его отравление.

При применении катодов из гладкой платины чистой, а также с добавками мышьяка, восстановление молекул акриловой кислоты в исследованной области потенциалов не происходило в обоих случаях, по-видимому, только из-за низких катодных потенциалов, не обеспечивающих восстановления. Образование полимера не наблюдалось ни в одном из проведен-

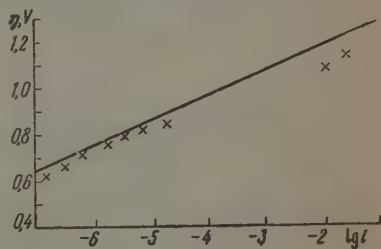


Рис. 3

ных опытов. Следовательно, все факторы (платинирование, добавки Hg и As), которые изменяют каталитическую активность платины, симбатно сказываются и на процессе катодного восстановления акриловой кислоты.

Установленное влияние добавок ртути и мышьяка к катоду из платинированной платины на течение процесса электровосстановления акриловой кислоты было также обнаружено при исследовании восстановления малеиновой кислоты [11].

Приведенные результаты с учетом литературных данных позволяют сделать вывод в отношении механизма процесса электровосстановления акриловой кислоты и ей подобных α, β -ненасыщенных карбонильных соединений.

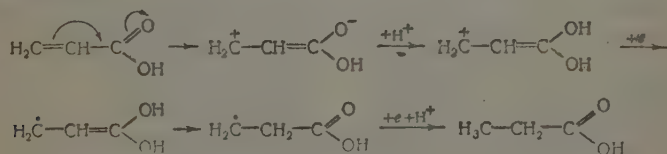
На катоде из платинированной платины восстановление осуществляет адсорбированными атомами водорода при каталитическом воздействии поверхности катода на адсорбированные молекулы акриловой кислоты.

Для ртутного катода, на котором процесс электровосстановления протекает при условиях, отличных от условий восстановления на катоде из платинированной платины, такой механизм, по-видимому, следует исключить.

Возможность восстановления атомами водорода, испаряющимися с поверхности катода в объем раствора [11], также мало вероятно, если принять во внимание, во-первых, соображения, приведенные А. Н. Фрумкинским [13], и, во-вторых, тот факт, что в таких условиях невозможна активация обоих участников реакции.

Высказанные соображения дают право принять для ртутного катода другой возможный путь восстановления, а именно — за счет непосредственного присоединения электронов катода к сильно поляризованной молекуле, в которой β -углеродный атом может быть акцептором электронов.

На основании вышесказанного можно представить следующую схему восстановления:



Выводы

1. Изучены процессы гидрирования в слое адсорбированного водорода и электровосстановления акриловой кислоты на электродах из платинированной платины, чистой и отравленной последовательно увеличивающимися количествами ртути и мышьяка.
2. Найдено, что акриловая кислота реагирует с адсорбированным водородом, также восстанавливается при катодной поляризации электрода.
3. Мышьяк является ядом для процесса электровосстановления акриловой кислоты на платинированной платине.
4. Осадки ртути снижают скорость процесса и примерно при 50%-ном покрытии восстановление прекращается, но при наличии нескольких слоев ртути возобновляется.
5. Высказано предположение о механизме процесса электровосстановления α, β -ненасыщенных кислот.

ЛИТЕРАТУРА

- E. Dineen, Th. C. Schwann, Chr. Wilson, J. Electrochem. Soc., 96, 286, 1949.
Осахара, Харан, РЖХ, 64618, 1956.
А. Н. Фрумкин, и А. И. Шлыгин, Докл. АН СССР, 2, 173, 1934.
А. И. Шлыгин и А. Н. Фрумкин, Acta phys. chim. URSS, 3, 701, 1935.
А. И. Шлыгин, Тр. Конференции по электрохимии, 1955, стр. 322.
А. И. Шлыгин, Э. Разумовская и К. И. Розенталь, Ж. физ. химии, 8, 88, 1938.
А. Н. Фрумкин, Disc. Faraday Soc., № 1, 57, 1947.
А. Н. Фрумкин, Успехи химии, 24, 933, 1955.
А. Н. Фрумкин, Сб. работ Физ.-химич. ин-та им. Л. Я. Карпова, в. 5, 3, 1926.
М. Е. Манжелей, Уч. зап. Кишиневск. гос. ун-та, 27, 178, 1957.
Н. И. Кобозев, В. В. Монбланова, Н. Кириллова, Ж. физ. химии, 20, 613, 1946.
З. А. Иофа и А. Н. Фрумкин, Ж. физ. химии, 18, 1944.
А. Н. Фрумкин, Тр. Совещания по электрохимии, 1953, стр. 34.
-

ELECTROREDUCTION OF ACRYLIC ACID

M. E. Manzhelei and L. V. Vottenko (Kishinev)

Summary

A study has been made of the process of hydrogenation in a layer of adsorbed hydro- and of the electroreduction of acrylic acid on platinized platinum cathodes with pure surfaces or surfaces covered with gradually increasing amounts of arsenic and mercury. The presence of arsenic on the electrode surface has been found to lower the rate of the electroreduction and to stop it altogether when the surface is covered to the extent of 2—3%. When mercury is deposited on the surface the rate of electroreduction diminishes, the process ceasing when about half the surface atoms of platinum are covered by mercury, to proceed again with considerable velocity in the presence of a number of mercury layers. On the basis of the results obtained it has been concluded that the mechanism of reduction of saturated α , β -acids differs for platinized platinum and for mercury. In the first case the reduction is accomplished by means of adsorbed hydrogen; in the second, the electrons supplied by the electrode without preliminary adsorption of the acid molecules.

КИНЕТИКА И МЕХАНИЗМ ВОССТАНОВЛЕНИЯ ОКИСЛОВ НИКЕЛЯ ВОДОРОДОМ

А. Н. Кузнецов

Путем всестороннего изучения удалось установить закономерности процессов восстановления окислов железа [1—4] и окислов кобальта [5, 6].

В случае восстановления окислов железа [1] удалось расчленить процесс восстановления Fe_2O_3 на две стадии: $\text{Fe}_2\text{O}_3 \rightarrow \text{Fe}_3\text{O}_4$ и $\text{Fe}_3\text{O}_4 \rightarrow \text{Fe}$, и вскрыть причины, почему одни исследователи, например [7, 8], наблюдали его происходящим по стадиям, а другие [9—11] наблюдали стадийность только в пространстве. При 572°C и выше эти авторы в объеме частично восстановленного куска окисла наблюдали аналогичные зоны $\text{Fe}_2\text{O}_3 \rightarrow \text{Fe}_3\text{O}_4 \rightarrow \text{FeO} \rightarrow \text{Fe}$ (ниже 572°C — зоны: $\text{Fe}_2\text{O}_3 \rightarrow \text{Fe}_3\text{O}_4 \rightarrow \text{Fe}$), но во времени при восстановлении в их экспериментах эти зоны накладывались друг на друга и на кинетических кривых не обнаруживались. Полученные экспериментальные данные [1] в основном, подтверждены работами С. Т. Ростовцева с сотрудниками [12] и Г. И. Чуфрова с сотрудниками [13].

В работах [3, 6] однозначно был решен вопрос о восстановительной активности окиси углерода и водорода по отношению к окислам железа и кобальта, а также вскрыт ряд других закономерностей.

На основании полученных результатов была предложена схема механизма восстановления окислов железа [1, 4] и окислов кобальта [5, 6].

В отличие от существовавших точек зрения по этому вопросу (см. [9, 11]), нами [1, 5] было уделено большое внимание роли диффузии элементарных частичек кристаллических решеток окислов при их восстановлении. Детали механизма восстановления Fe_2O_3 [4] были подвергнуты критике [12], однако основы его являются правильными.

В данной работе мы поставили перед собой задачу сравнить особенности кинетики и кристаллохимических превращений окислов никеля в процессе их восстановления с аналогичными закономерностями, полученными при изучении окислов железа и кобальта. Экспериментальный материал может быть использован в технике извлечения никеля из полиметаллических руд [14, 15].

Исследованием различных соединений никеля занимались В. И. Архаров [16], Г. Г. Уразов, Д. П. Богацкий с сотрудниками [14, 15, 17, 18], Е. Я. Роде [19], Г. И. Чуфаров с сотрудниками [20], Н. Г. Ключников [21] и другие исследователи.

В. И. Архаров [16] показал, что при окислении никеля кислородом реакционная диффузия ионов металла в кристаллических решетках окислов практически не имеет места. В отличие от окисления железа, при окислении никеля происходит диффузия кислорода через решетку окисла, и поэтому в случае окисления никеля слой окисла, в основном, растет в сторону перемещения фронта ее в глубь металла. Такая особенность механизма окисления никеля по сравнению с окислением железа, по мнению В. И. Архарова [16], объясняется ничтожной концентрацией вакантных узлов для ионов никеля в решетке NiO и закономерным уменьшением расстояний между узлами решеток соответствующих окислов Me_xO_y по ряду: Fe_xO_y , Co_xO_y и Ni_xO_y и незначительным уменьшением радиусов атомов и соответствующих ионов этих металлов в указанном направлении.

Диффузия элементарных частиц металла больших диаметров в решетку окисла с малыми расстояниями между узлами решетки, по мнению В. И. Архарова, происходит с высокими значениями энергии разрыхления решетки и поэтому мало вероятна.

Г. Г. Уразовым и Д. П. Богацким [14, 17], Е. Я. Роде [19], Н. Г. Ключниковым [21] и другими было показано, что окислы никеля весьма склонны к образованию самых разнообразных твердых растворов переменного состава.

Из многочисленных предполагаемых окислов никеля более полно изучены только NiO , Ni_2O_3 и Ni_3O_4 [19, 21], но и эти окислы весьма склонны образовывать друг с другом твердые растворы переменного состава в широкой области гомогенности. Все три окисла кристаллизуются в сходных кубических кристаллических решетках, постоянных которых очень близки по своим значениям [17]: $4,620 \text{ \AA}$ для NiO_2 ; $4,186 \text{ \AA}$ для Ni_2O_3 и $4,172 \text{ \AA}$ для NiO .

Сходство кристаллических решеток этих окислов, по нашему мнению, и обеспечивает их склонность к образованию растворов.

Эти же исследователи [17, 18, 19, 21] показали, что в отличие от железа и кобальта, для никеля безводный окисел Ni_3O_4 как самостоятельная кристаллическая фаза с определенной областью гомогенности, по всей вероятности, не существует.

Критическое рассмотрение литературных данных приводит к мысли о том, что, поскольку окислы никеля при получении образуют различные твердые растворы переменного состава, то, естественно, каждая фаза при восстановлении будет иметь свои, только ей присущие кинетические закономерности. Эти свойства окислов никеля в значительной степени осложняют исследование кинетики их восстановления в той части, что возможно изготовление практически неограниченного количества фаз того или другого состава, которые охватить исследованием не представится возможным. Наряду с исследованием готового препарата Ni_2O_3 марки «ч. д. а.», нами были использованы методики, описанные в [19, 22—24], для приготовления других фаз. Термическое разложение $\text{Ni}(\text{NO}_3)_2$ при 250°C не идет до конца; при более высокой температуре получается фаза состава $\text{NiO}_{1,32}$, детально исследованная Е. Я. Роде [19] и названная бунзенитовой. Причем, чем выше температура разложения, тем беднее кислородом получаемая фаза.

Готовый препарат Ni_2O_3 марки «ч. д. а.» является также бунзенитовой фазой. По сходным методикам [22 и 23] получается препарат состава $\text{NiO}_2 \times x\text{H}_2\text{O}$, который очень трудно отмывается от иона хлора. При длительном хранении в эксикаторе с P_2O_5 и последующем доведении до постоянного веса при 130°C из него получается окисел состава $\text{Ni}_2\text{O}_3 \cdot \text{H}_2\text{O}$ или NiOOH [24]. Дальнейшее удаление влаги при более высоких температурах идет с одновременным удалением кислорода и с потерей восстановительной активности.

Проведенные исследования показали, что не удается получить Ni_2O_3 стехиометрического состава термическим разложением $\text{Ni}(\text{NO}_3)_2$, а также полностью обезводить высшие гидратированные окислы никеля без перепада их в низшие.

Гидратная вода, наряду с термической неустойчивостью высших окислов никеля, несомненно искажает кинетическую картину процесса восстановления этих фаз.

Экспериментальная часть

В настоящей работе нами исследованы процессы восстановления водородом окислов никеля следующего состава: $\text{Ni}_2\text{O}_3 \cdot \text{H}_2\text{O}$, $\text{NiO}_{1,32}$ и NiO . Окислы никеля получались из готового препарата Ni_2O_3 марки «ч. д. а.» путем прокаливании в атмосфере азота при 1100° до постоянного веса.

Исследование проводилось в герметичной установке циркуляционного типа по методике, описанной в [1, 5]. Из тонкого порошка соответствующего окисла прессовались таблетки весом 0,5 г и восстанавливались химически чистым водородом при постоянном давлении около одной атмосферы при 82, 105, 157, 198, 225, 246, 272, 296 и 346°C .

Результаты опытов наносились на графики в виде кинетических и дифференциальных кинетических кривых. Построение кривых описано в [1].

На рис. 1—3 представлены примеры кинетических кривых процессов восстановления описанных окислов.

На рис. 4—7 аналогичные данные представлены в виде дифференциальных кинетических кривых.

Из рисунков видно, что все три окисла восстанавливаются в одну стадию. Кристаллохимические превращения фаз: $\text{Ni}_2\text{O}_3 \rightarrow \text{Ni}_3\text{O}_4 \rightarrow \text{NiO} \rightarrow \text{Ni}$ в случае восстановления $\text{Ni}_2\text{O}_3 \cdot \text{H}_2\text{O}$ и $\text{NiO}_{1,32}$ на кинетических кривых заметно не обнаруживаются.

Кривые восстановления $\text{NiO}_{1,32}$ имеют вполне плавный ход. При восстановлении $\text{Ni}_2\text{O}_3 \cdot \text{H}_2\text{O}$ особенно легко удаляются наиболее активные первые порции кислорода с выделением значительного количества тепла за счет экзотермичности процесса, что приводит к саморазогреванию образца и способствует вовлечению в процесс менее активного кислорода. Саморазогревание образца, наряду с термической неустойчивостью $\text{Ni}_2\text{O}_3 \cdot \text{H}_2\text{O}$,

способностью образовывать твердые растворы с меньшим содержанием кислорода, обеспечивает начало течения процесса восстановления сразу же с максимальной скоростью без периода индукции. Нисходящая ветвь кривых восстановления $\text{Ni}_2\text{O}_3 \cdot \text{H}_2\text{O}$ при низких температурах 150°C на разных степенях восстановления переходит в плавную ветвь кривых и поэтому не связана с фазовым превращением: чем выше температура, тем на более глубокой степени восстановления осуществляется этот переход, кривые же, снятые при температурах выше 150°C , во всем интервале одинаково быстро понижаются вплоть до полного восстановления.

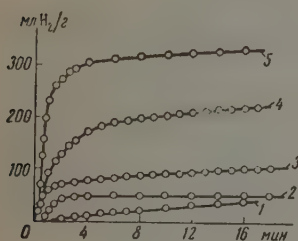


Рис. 1

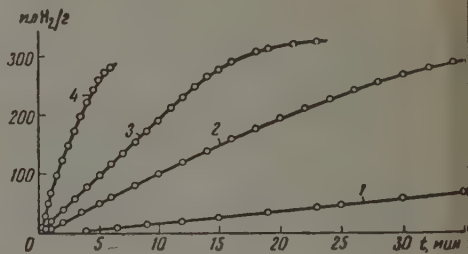


Рис. 2

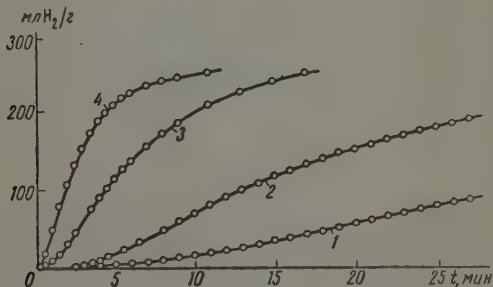


Рис. 3

Следовательно, процессы восстановления высших окислов никеля, содержащих кислорода больше, чем NiO , протекают неавтокаталитически: период индукции отсутствует. Восстановление начинается с максимальной скоростью, которая понижается до нуля при полном восстановлении.

При восстановлении водородом $\text{Ni}_2\text{O}_3 \cdot \text{H}_2\text{O}$, так же как и при термическом обезвоживании его, последние порции гидратной воды удаляются трудно, проходя через образование примерно $\text{H}-\text{O}-\text{Ni}-\text{O}-\text{Ni}-\text{O}-\text{H}$, и полное удаление достигается после восстановления $\text{Ni}_2\text{O}_3 \cdot \text{H}_2\text{O}$ более чем на 50%.

Процесс восстановления закиси никеля NiO развивается автокаталитически с наличием периода индукции, и после максимума скорость резко понижается, т. е. последние порции кислорода от окисла отнимаются трудно.

Определены значения кажущейся энергии активации процессов восстановления этих окислов водородом: 33,0 ккал для $\text{Ni}_2\text{O}_3 \cdot \text{H}_2\text{O}$, 24,0 ккал для $\text{NiO}_{1,32}$ и 10,4 ккал для NiO . Значения констант скорости были взяты на степени восстановления в 25% для соответствующего окисла. На рис. помещены рентгенограммы образцов.

Обсуждение результатов

Кинетические данные и рентгеноструктурные исследования вполне убедительно говорят о том, что высшие окислы никеля, содержащие кислорода больше, чем NiO , в процессе восстановления ведут себя, как твердые растворы, из которых кислород удаляется постепенно с монотонно ожидающейся скоростью. Это удаление осуществляется так, что оно не приводит к образованию устойчивых промежуточных фаз с ограниченной

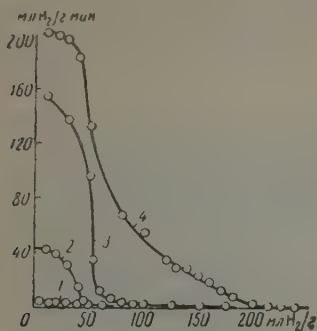


Рис. 4

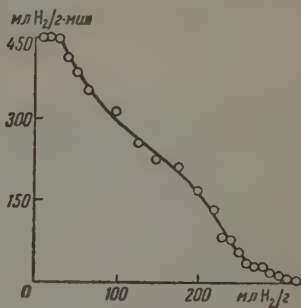


Рис. 5

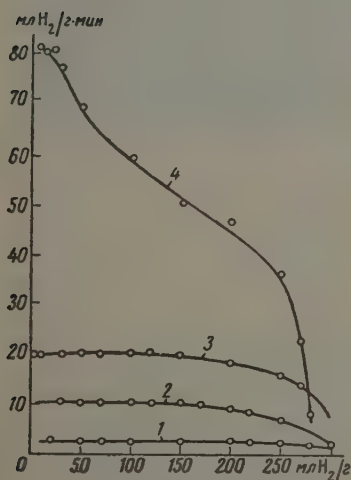


Рис. 6

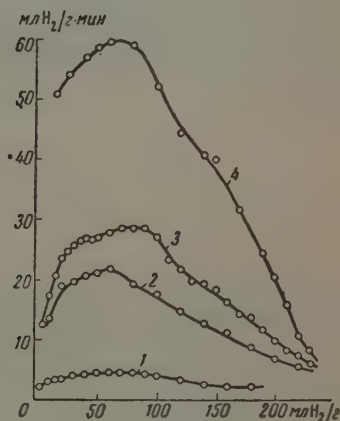
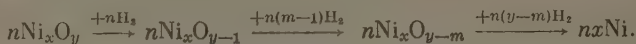


Рис. 7

областью гомогенности. На определенных степенях восстановления $\text{Ni}_2\text{O}_3 \rightarrow \text{Ni}_3\text{O}_4 \rightarrow \text{NiO} \rightarrow \text{Ni}$ не происходят скачкообразные перестройки исходной кристаллической решетки в решетку промежуточной фазы, а имеет место непрерывное искажение ее с последующей перестройкой в решетку металлического никеля по мере обеднения кислородом. Причем еще до достижения состава NiO при наличии в окисле избыточного кислорода, против NiO , возникают зародышевые центры кристаллизации металлического никеля, и по мере приближения к составу NiO происходит непрерывное накопление этой фазы за счет развития реакционной зоны NiO/Ni . В результате этого при восстановлении высших окислов, в точках ожидаемого превращения Ni_xO_y в NiO и NiO в Ni , энергетические затруднения, которые могли бы быть связаны с возникновением центров кристаллизации,

новой фазы, отсутствуют и на кинетических кривых практически не обнаруживаются.

Механизм восстановления безводных высших окислов никеля может быть представлен следующей схемой:



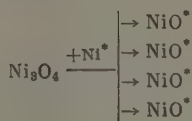
В результате начального элементарного акта реакции не происходит образование центров кристаллизации новой кристаллической фазы, связанное с энергетическими затруднениями, порождающими период индукции, а происходит обеднение кислородом твердого раствора с сохранением исходной решетки.

По этим причинам процесс начинается сразу с максимальной скоростью, которая по мере восстановления плавно понижается вплоть до нуля ко времени полного восстановления. Иная картина наблюдается при восстановлении закиси никеля, полученной при высокой температуре и имеющей поэтому полностью сформировавшуюся кристаллическую структуру.

Начало восстановления кристаллической фазы NiO связано с появлением металлического никеля, а не раствора, обедненного кислородом.

Образование активных зародышевых центров кристаллизации металлического никеля происходит во времени, что порождает период индукции. Таким образом, в отличие от восстановления $\text{Ni}_2\text{O}_3 \cdot \text{H}_2\text{O}$ и $\text{NiO}_{1.32}$ в случае восстановления NiO процесс развивается по типу автокаталитических реакций.

Полученные данные не только хорошо согласуются с предложенной схемой механизма восстановления Ni_xO_y , но они убедительно подтверждают основы предложенных нами механизмов восстановления Fe_2O_3 [1, 4] и $\text{Co}_3\text{O}_4\text{O}_y$ [5, 6]. В самом деле, поскольку никель не образует самостоятельной кристаллической фазы Ni_3O_4 , то при восстановлении высших окислов его звено



отсутствует; поэтому восстановление $\text{Ni}_2\text{O}_3 \cdot \text{H}_2\text{O}$ идет в одну стадию, излом дифференциальной кривой, соответствующий переходу $\text{Ni}_2\text{O}_3 \cdot \text{H}_2\text{O}$ в Ni_3O_4 , не имеет места. Следовательно, при восстановлении $\text{Ni}_2\text{O}_3 \cdot \text{H}_2\text{O}$ отсутствует вторая ветвь кривой, восходящий участок которой в случае восстановления Fe_2O_3 и $\text{Co}_3\text{O}_4\text{O}_y$ [1, 4, 5] связан не только с зарождением центров кристаллизации новой фазы — металла, но и с цепным характером протекания его, приводящим к резкому развитию реакционной зоны.

Вполне понятно, что характер протекания этих цепных процессов резко отличается от характера протекания таковых в газах или растворах, где реагирующие частицы свободно и с относительно большой скоростью перемещаются в объеме.

Реагирующие частицы кристаллических решеток имеют крайне ограниченное перемещение с весьма низкой скоростью. Поэтому в схему цепного механизма процесса в данном понимании мы вкладываем только утверждение, что в разрушении прочной решетки Fe_3O_4 и Co_3O_4 участвуют более или менее восстановленные частички металла и что это разрушение сопровождается расширенным воспроизводством реакционно-способных центров.

Проведенные исследования [1, 5, 25] позволяют сделать вывод о том, что склонность к образованию промежуточных индивидуальных окислов с узкой областью гомогенности, а следовательно, и четкость расчленения

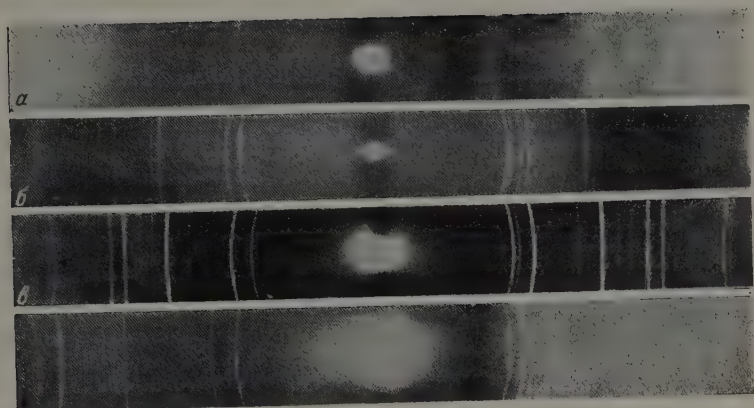


Рис. 8

на стадии процессов восстановления соответствующих высших окислов по ряду: Fe_xO_y , Co_xO_y и Ni_xO_y , закономерно понижаются.

В этом же направлении понижается влияние реакционной диффузии элементарных частиц металла в кристаллических решетках окислов на кинетику процесса восстановления.

Выводы

1. Исследована кинетика восстановления $\text{Ni}_2\text{O}_3 \cdot \text{H}_2\text{O}$, $\text{NiO}_{1,32}$ и NiO водородом.

2. Восстановление $\text{Ni}_2\text{O}_3 \cdot \text{H}_2\text{O}$ и $\text{NiO}_{1,32}$ водородом не сопровождается автокаталитическим развитием процесса. Период индукции отсутствует, и процесс сразу же начинается с максимальной скоростью.

3. Установлено, что $\text{Ni}_2\text{O}_3 \cdot \text{H}_2\text{O}$ и $\text{NiO}_{1,32}$ восстанавливаются в одну стадию; кристаллохимические превращения $\text{Ni}_2\text{O}_3 \cdot \text{H}_2\text{O} \rightarrow \text{Ni}_3\text{O}_4 \rightarrow \text{NiO} \rightarrow \text{Ni}$ в случае восстановления $\text{Ni}_2\text{O}_3 \cdot \text{H}_2\text{O}$ и $\text{NiO}_{1,32} \rightarrow \text{NiO} \rightarrow \text{Ni}$ в случае восстановления $\text{NiO}_{1,32}$ на кинетических кривых заметно не обнаруживаются. Кривые восстановления $\text{NiO}_{1,32}$ имеют вполне плавный ход. Нисходящая ветвь кривых восстановления $\text{Ni}_2\text{O}_3 \cdot \text{H}_2\text{O}$ при разных температурах меняет свое положение в зависимости от степени восстановления; поэтому она не связана с фазовыми превращениями.

4. Процесс восстановления NiO развивается автокаталитически с наличием периода индукции.

5. Предложена схема механизма процесса восстановления безводных высших окислов никеля, согласующаяся с наблюдаемыми явлениями и подтверждающая особенности механизмов восстановления Fe_2O_3 и $\text{Co}_3\text{O}_4\text{O}_y$, предложенных нами [1, 4—6].

6. Определены значения кажущейся энергии активации процессов восстановления водородом исследованных окислов 33,0 ккал для $\text{Ni}_2\text{O}_3 \cdot \text{H}_2\text{O}$, 24 ккал для $\text{NiO}_{1,32}$ и 10,4 ккал для NiO .

Химико-технологический институт
им. Ф. Э. Дзержинского
Днепропетровск

Поступила
10.X.1957

ЛИТЕРАТУРА

1. В. А. Ройтер, В. А. Юза и А. Н. Кузнецов, Ж. физ. химии, 25, 960, 1951.
2. В. А. Ройтер, В. И. Кармазин, В. А. Юза и А. Н. Кузнецов, Ж. физ. химии, 27, 125, 1953.
3. А. Н. Кузнецов, Ж. физ. химии, 27, 1808, 1953.
4. А. Н. Кузнецов, Физико-химические основы производства чугуна, Металлургиздат, 1956, стр. 80.
5. А. Н. Кузнецов, А. А. Шестопалова и Н. Ф. Кулиш, Ж. физ. химии, 32, 73, 1958.
6. А. Н. Кузнецов и Н. Ф. Кулиш, Укр. хим. ж., 24, 674, 1958.
7. A. F. Benton, R. H. Emmett, J. Amer. Chem. Soc., 46, 2728, 1924.
8. G. V. Taylor, H. W. Strickweather, J. Amer. Chem. Soc., 52, 2314, 1930.
9. Г. И. Чуфаров и А. П. Лохвицкая, Ж. физ. химии, 5, 1103, 1934.
10. Г. И. Чуфаров и Е. П. Татиевская, Теория и практика металлургии, № 4, 10, 1936.
11. О. А. Есин, П. В. Гельд, Физ. химия пирометаллургических процессов, ч. 1, Металлургиздат, 1950, стр. 465.
12. С. Т. Ростовцев, М. Р. Мойсик и А. П. Ем, Сталь, 1, 7, 1953.
13. А. Г. Москвичева, Г. И. Чуфаров, Докл. АН СССР, 105, 510, 1955.
14. Г. Г. Уразов и Д. П. Богацкий, Изв. АН СССР, Отд. хим. н., 2, 194, 1948.
15. Д. П. Богацкий и А. С. Семенова, Ж. прикл. химии, 20, 89, 1947.
16. В. И. Архаров, Окисление металлов, Металлургиздат, 1945, стр. 168.
17. Д. П. Богацкий, Ж. общ. химии, 21, 3, 1951.
18. Д. П. Богацкий, Сб. научн. тр. Московского института цветных металлов и золота, вып. 6, ГОНТИ, 1938.
19. Е. Я. Роде, Ж. неорг. химии, 1, 1430, 1956.

20. Г. И. Чуфаров, М. Г. Журавлева и Е. П. Татиевская, Докл. АН СССР, 73, 1209, 1950.
21. Н. Г. Ключников, Руководство по неорганическому синтезу, Госхимиздат, 1953, стр. 117.
22. М. А. Лошкарёв, А. И. Левин, Г. Б. Лапп, Тр. Уральск. индустр. ин-та (УИИ), Гос. научн.-техн. изд. лит. по черной и цветной металлургии, Свердловск, 1947, Москва, МВО, сб. 24, стр. 74.
23. Ю. В. Карякин, И. И. Ангелов, Чистые химические реактивы, Москва, Госхимиздат, 1955, стр. 428.
24. Руководство по препаративной неорганической химии, под редакцией Г. Брауера, ИИЛ, 1956, стр. 79.
25. А. Н. Кузнецов и Н. Ф. Кулиш, VIII Менделеевский съезд по общей и прикладной химии, секция физической химии, изд-во АН СССР, стр. 112.

THE KINETICS AND MECHANISM OF REDUCTION OF NICKEL OXIDE BY HYDROGEN

A. N. Kuznetsov (Dniepropetrovsk)

Summary

The reduction of $\text{Ni}_2\text{O}_3 \cdot \text{H}_2\text{O}$ and $\text{NiO}_{1.32}$ by hydrogen is not an autocatalytic process; no induction period is observed and the reactions start immediately at maximum rate. The reaction takes place in a single stage. The crystallochemical phase transitions $\text{Ni}_2\text{O}_3 \cdot \text{H}_2\text{O} \rightarrow \text{Ni}_3\text{O}_4 \rightarrow \text{NiO} \rightarrow \text{Ni}$ are not manifested on the rate curves.

The reduction of NiO takes place autocatalytically with an induction period.

The mechanism outlined for the reduction of anhydrous higher nickel oxides by hydrogen is in agreement with the experimental facts and is supported by the specific features of the reduction mechanisms of Fe_2O_3 and $\text{CO}_3\text{O}_4\text{O}_V$ [1—5].

The apparent activation energies of the reaction have been determined. For $\text{Ni}_2\text{O}_3 \cdot \text{H}_2\text{O}$, $E=33 \text{ kcal/mole}$; for $\text{NiO}_{1.32}$ $E=24 \text{ kcal/mole}$; and for NiO, $E=10.4 \text{ kcal/mole}$.

ИССЛЕДОВАНИЕ ЗАВИСИМОСТИ ЛИНЕЙНОЙ СКОРОСТИ
КРИСТАЛЛИЗАЦИИ ОТ ТОЛЩИНЫ СЛОЯ

Л. О. Мелешко

Основными параметрами, при помощи которых может быть количественно охарактеризован процесс кристаллизации, являются: линейная скорость кристаллизации (л.с.к.), определяемая скоростью изменения линейных размеров кристалла с течением времени, и число центров кристаллизации (ч.ц.к.), характеризующих скорость возникновения зародышей новой фазы в единицу времени в единице объема. Оба параметра являются функциями температуры.

Однако вид этих функций, а также абсолютные значения л.с.к. и ч.ц.к. в связи с экспериментальными затруднениями до настоящего времени изучены слабо. Трудность получения температурной зависимости этих параметров связана прежде всего с тем, что на процесс кристаллизации, кроме природы вещества и температуры, влияет ряд других факторов, а именно: посторонние примеси в расплаве данного вещества, теплообмен, неоднородности маточной фазы, конвекционные токи, предвзятый перегрев и другие. В связи с тем, что влияние этих факторов не поддается точному учету, при исследованиях температурной зависимости л.с.к. и ч.ц.к. их не принимают во внимание. Поэтому вполне очевидно, что полученные экспериментальные результаты имеют лишь приближенный характер.

До последнего времени существовало принципиальное различие между экспериментальными кривыми температурной зависимости л.с.к. и ч.ц.к. Это различие заключалось в том, что кривые температурной зависимости числа центров имеют всегда резко выраженный максимум, тогда как кривые зависимости линейной скорости от ΔT во многих случаях имеют область, в которой максимальная скорость не зависит от температуры. В общем, кривые температурной зависимости ч.ц.к. не встречали особых возражений, тогда как относительно кривых температурной зависимости л.с.к. не раз высказывались сомнения прежде всего по поводу самой методики ее определения.

Так, например, Б. В. Старк, А. Н. Миркин и А. Н. Ромацкий [1] указывают: Ввиду того, что точный вид кривых линейной скорости кристаллизации не может считаться достаточно изученным, а «падающий» вид кривой является весьма вероятным, в виде упрощения принимаем графическое выражение л.с.к. в виде прямой».

Я. С. Уманский [2] считает, что получение полных кривых зависимости линейной скорости кристаллизации от переохлаждения — задача очень трудная и до сих пор не решенная, и что нельзя еще сказать, какой вид имеют кривые $v = f(\Delta T)$: имеют ли они четко выраженный максимум или «плато». Такие высказывания различных авторов обуславливались тем, что имевшиеся экспериментальные результаты изменений линейной скорости никак не подтверждались теорией.

Нами [3] было показано, что противоречивые экспериментальные данные различных авторов объясняются неправильной методикой измерения линейной скорости кристаллизации по продвижению фронта кристаллизации в трубках со слабым отводомкрытой теплоты, за счет чего температура на границе кристалл — расплав может значительно отличаться от температуры термостата.

Вместо обычного способа мы предложили новый метод измерения линейной скорости по росту единичного зерна в тонких слоях. Применением данного метода на пяти различных органических веществах — бетоле, алоле, антипирине, бензофеноне и кодеине — показано, что, несмотря на значительную величину максимального значения л.с.к. (до 40 мм/мин),

на кривой зависимости ее от температуры отсутствует «плато» и области нестационарных значений, которые отмечались В. И. Даниловым и Г. Тамманом.

Предложенный нами метод измерения л. с. к. по росту единичного зерна в тонких слоях дает возможность получить в основном правильный ход температурной зависимости линейной скорости. Однако и в этом случае в результате влияния посторонних факторов истинный ход кривой может быть несколько искажен. Поэтому, чтобы получить наиболее точные значения, необходимо дальнейшее усовершенствование методики с целью устранения влияния посторонних факторов на рост кристаллов.

Г. Тамман [4], затем Ф. К. Горский и Р. Я. Берлага [5] показали, что линейная скорость кристаллизации в сильной степени зависит от величины внутреннего диаметра трубки, в которой происходит кристаллизация. Расхождения в значении скорости для трубок разных диаметров объясняются условиями теплоотвода и влиянием поверхностных слоев стекла.

Можно было полагать, что в плоских препаратах существует аналогичная зависимость л. с. к. от толщины слоя. Поэтому в целях сравнения экспериментальных данных для различных веществ целесообразно проводить исследования в образцах определенной толщины.

При этом для получения наиболее правильной кривой температурной зависимости линейной скорости толщина слоя должна быть такой, при которой обеспечивается максимальный отвод теплоты при минимальном влиянии на процесс кристаллизации поверхностных слоев стекла. В целях изучения условий, обеспечивающих наибольшую гарантию точных измерений, в настоящей работе нами исследовалась л. с. к. салол и салипина. При этом салол изучался в стеклянных трубках разных диаметров и в плоских препаратах разной толщины, а салипин только в плоских препаратах различной толщины. Результаты измерений л. с. к. салол, приведенные нами в широком интервале его переохлаждения, изображены на рис. 1.

Из приведенных экспериментальных данных видно, что температурная кривая л. с. к. салол при условиях плохого теплоотвода в стеклянных трубках имеет область, в которой максимальная скорость не зависит от переохлаждения («плато»). С уменьшением диаметра трубки «плато» не исчезает: незначительно уменьшается лишь значение линейной скорости в области «плато» и более низких температур, при этом максимум температурной кривой л. с. к. незначительно смещается в сторону более высоких температур.

Совершенно другая картина получается при исследовании линейной скорости кристаллизации в тонких слоях по росту единичных зерен. В этом случае, вследствие усиленного отвода теплоты плавления от фронта кристаллизации, последняя не оказывает существенного влияния на рост зародышей, и кривая температурной зависимости имеет резко выраженный максимум. В работе (3) показано, что такой вид температурных кривых характерен для всех веществ, независимо от величины их максимальной скорости кристаллизации. Анализ полученных экспериментальных данных показывает, что с уменьшением диаметра трубки или толщины слоя в плоских образцах линейная скорость при значительных переохлаждениях уменьшается.

Это явление объясняется влиянием на процесс кристаллизации поверхности стекла. Дело в том, что степень порядка молекул, находящихся вблизи поверхности стекла, выше, чем молекул в более глубоких слоях, вследствие их ориентации поверхностью стенки. В связи с этим вязкость расплава в пограничном слое большая, чем во внутренних слоях, что затрудняет флуктуацию молекул и агрегацию их к поверхности растущего кристалла. С этим связано замедление роста кристаллов в тонких слоях и узких капиллярах при значительных переохлаждениях расплава.

При температурах, выше температуры, соответствующей максимальной скорости, в тонких капиллярах и тонких слоях линейная скорость кристаллизации оказывается большей, чем в толстых. Очевидно, в этом случае основное влияние на процесс роста кристаллов оказывает выделяющаяся при кристаллизации скрытая теплота, которая, накапливаясь у фронта

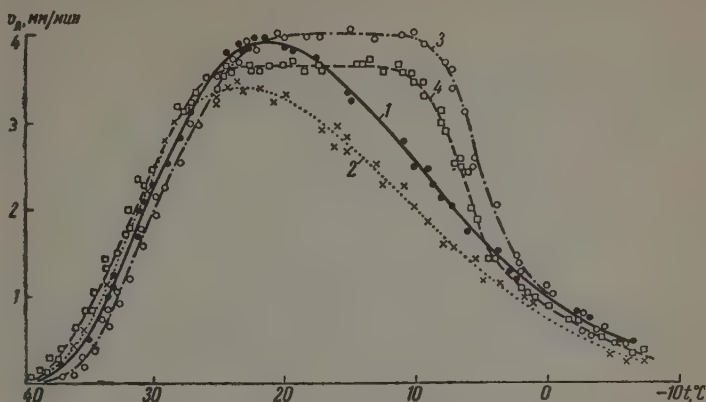


Рис. 1. Температурная зависимость линейной скорости кристаллизации салола: 1 — в плоском препарате толщиной 0,27 мм; 2 — 0,05 мм; 3 — в капилляре диаметром 1,2 мм; 4 — 0,7 мм

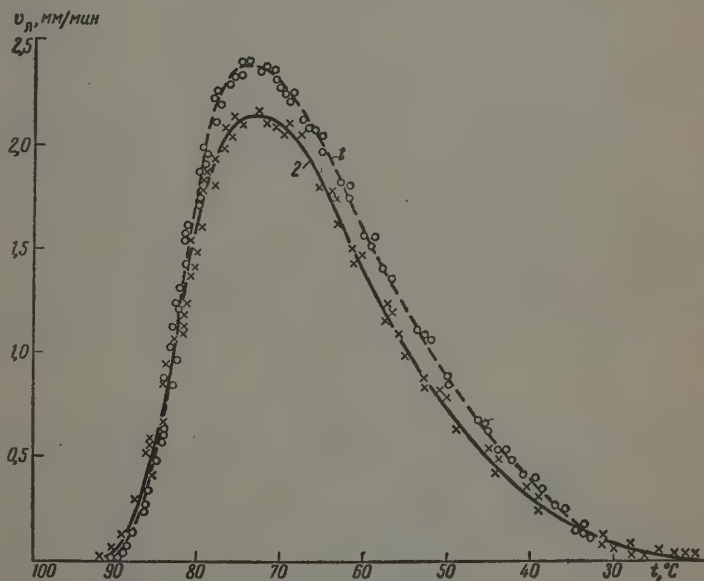


Рис. 2. Температурная зависимость линейной скорости кристаллизации салицирина: 1 — толщина препарата 0,27 мм; 2 — 0,05 мм

кристаллизации, тормозит рост кристаллов. Ее влияние особенно четко сказывается в толстых трубках, где имеется слабый отвод теплоты. Из приведенных данных видно, что влияние скрытой теплоты на скорость роста кристаллов почти не обнаруживается в плоских препаратах. Влияние поверхностных слоев стекла, особенно при значительных переохлаждениях, наблюдается.

Кроме салола, который характеризуется большим значением максимальной л. с. к., нами исследовалась температурная зависимость линейной скорости медленно кристаллизующегося салипирина в плоских слоях. Полученные экспериментальные результаты приведены на рис. 2. Из приведенных опытных данных видно, что и в случае медленно растущих кристаллов салипирина л. с. к. единичного зерна при температурах, равных и низших, чем температура, соответствующая максимальному значению линейной скорости кристаллизации, с уменьшением толщины образца уменьшается. Таким образом правильный ход кривой температурной зависимости л. с. к. можно получить только путем измерения скорости роста единичных зерен в плоских слоях, а не по продвижению границы раздела в стеклянных трубках, как это делалось раньше. Но и в плоских слоях для получения наиболее точных значений л. с. к. необходимо в области спадения кривой с увеличением переохлаждения соответственно увеличивать толщину препарата.

Выводы

1. Получены опытные кривые температурной зависимости линейной скорости кристаллизации салола путем измерения скорости продвижения границы раздела кристалл — расплав в стеклянных трубках разных диаметров, а также салола и салипирина путем измерения скорости роста единичных зерен в плоских препаратах.

2. Установлено, что при кристаллизации в стеклянных трубках вследствие плохого теплоотвода температурная кривая линейной скорости кристаллизации имеет «плато», т. е. область температур, где линейная скорость кристаллизации не зависит от переохлаждения. С уменьшением диаметра трубки, благодаря влиянию поверхностных слоев стекла, «плато» понижается, и максимум кривой л. с. к. смещается в сторону более высоких температур.

3. Измерения л. с. к. по росту единичного зерна в плоских препаратах дает температурную кривую с резко выраженным максимумом, наличие которого обусловливается хорошими условиями теплоотвода. Уменьшение толщины слоя ведет к замедлению линейной скорости кристаллизации в области больших переохлаждений, что связано с влиянием поверхностных слоев стекла.

4. Показано, что наиболее правильную температурную зависимость л. с. к. можно получить путем измерения скорости роста единичного зерна в плоских препаратах с переменной толщиной слоя.

Полоцкий педагогический
институт

Поступила
22.XI.1956

ЛИТЕРАТУРА

1. Б. В. Старк, И. Л. Миркин, А. В. Романский, Сб. трудов Московского ин-та стали им. И. В. Сталина, вып. 7, 1935.
2. Я. С. Уманский, Б. Н. Фянкельштейн, М. Е. Блантер, С. Т. Кишкин, Н. С. Фастов, С. С. Горелик, Физическое металловедение, Металлургиздат, 1955.
3. Л. О. Мелешко, Кандидатская диссертация, Минск, 1954.
4. Густав Тамман, Стеклообразное состояние, М.—Л., 1935.
5. Р. Я. Берлага, Ф. К. Горский, Ж. эксперим. и теор. физ., 1, 1934.

A STUDY OF THE LINEAR RATE OF CRYSTALLIZATION AS FUNCTION OF LAYER THICKNESS

L. O. Meleshko (Polock)

Summary

An experimental study has been made of the linear rate of crystallization (l. r. c.) of salol in tubes of varying diameters and of the linear rate of growth of a single grain of salol and salipyrene in tablets of varying thicknesses.

It has been found that the «plateau» on the temperature curve of l. r. c. present in measurements with the tubes is absent in the case of the tablets. The effect of the surface layers of glass on the l. r. c. has been determined.

ВЛИЯНИЕ ПРИМЕСИ НЕКОТОРЫХ ОКИСЛОВ К ОКСИД АЛЮМИНИЯ НА КАТАЛИТИЧЕСКУЮ АКТИВНОСТЬ ПОСЛЕДНЕЙ В РЕАКЦИИ РАЗЛОЖЕНИЯ ИЗОПРОПИЛОВОГО СПИРТА

*В. А. Комаров, Е. А. Черникова, Г. Р. Квятковская
и Е. А. Пиганова*

По вопросу о влиянии окисных добавок на каталитические свойства оксидов металлов в литературе имеется значительный и в то же время противоречивый экспериментальный материал, как это следует, например, из обзорной статьи Г. М. Жабровой [1]. Поэтому получение новых надежных результатов в указанном направлении может представить определенный интерес.

Экспериментальная часть

Исследованные образцы препаратов готовились осаждением гидроокиси раствором щелочи из раствора алюмокалиевых квасцов с добавкой нитратов магния, тория, хрома или циркония в количествах, обеспечивающих содержание 1 мол. % соответствующих оксидов в окиси алюминия. Примеси оксидов и их концентрация были выбраны таким образом, чтобы введение их могло вызвать расширение решетки основного оксида.

Все препараты окиси алюминия характеризовались насыпным весом в г/мл, удельной поверхностью, определенной по изотермам адсорбции азота при температуре жидкого кислорода и вычисленной по уравнению БЭТ [2], а также данными по рентгенографическому фазовому анализу, произведенному благодаря любезной помощи коллектива лаборатории рентгенографии ЛГУ.

Изопропиловый спирт применялся предварительно осушенный и разогнанный, содержащий 0,7—0,9% воды и имеющий следующие константы, почти совпадающие литературными: $t_{\text{кип.}} 82,5^\circ$, $n_D^{20} 1,3773$.

Испытание препаратов оксидов в качестве катализаторов реакции каталитического разложения изопрпилового спирта заключалось в определении температуры начала реакции [3] по началу газообразования и проведении опытов при четырех температурах и различных объемных скоростях. Течение процесса контролировалось количеством образовавшегося газа и конденсата, анализом конденсата на содержание воды агнийнитридным [4] и ацетона гидроксиламинным методом и анализом газа на приборе ВТИ на содержание CO_2 , CO , C_2H_6 , O_2 и H_2 .

Полученные результаты приводятся в табл. 1 и 2. Следует указать, что процент разложенного спирта вычисляется по количеству полученного пропилена, содержание которого в газе во всех случаях было 97—98%; сумма же учетных продуктов является суммой весовых количеств конденсата и пропилена, отнесенной к весу пропущенного спирта и выраженной в процентах. Продуктом реакции во всех случаях являются вода и пропилен; только при 206° для катализатора с примесью ZrO_2 было обнаружено в конденсате весьма незначительное количество ацетона.

Из рассмотрения указанных таблиц следует, что

1) Температура начала реакции почти не зависит от наличия примесей. В связи с изменениями самих оксидов, происходящими в результате работы в качестве катализаторов, отдельные определения температуры начала реакции для одного и того же препарата оксида могут отличаться от первоначальных на $20\text{—}35^\circ$ в сторону возрастания с увеличением времени работы оксида; влияние примеси других оксидов к Al_2O_3 имеет в связи с этим второстепенное значение и, кроме того, почти не сказывается на температуре начала реакции. Необходимо указать, что при проведении

опытов были приняты меры к возможно точному и объективному определению температуры начала реакции; опыты проводились на трех сериях препаратов, приготовленных в идентичных условиях в разное время и исследованных на различных установках различными экспериментаторами.

2) Скорость реакции разложения изопропилового спирта несколько зависит от наличия 1 мол. % примесей других окислов к окиси алюминия, повышаясь в различной степени в зависимости от природы примеси и температуры опыта.

Из данных табл. 1 и 2 следует, что влияние, оказываемое примесями к окиси алюминия, на каталитическое разложение изопропилового спирта зависит, кроме характера примеси, и от температуры.

По-видимому, здесь имеет место явление, обнаруженное С. З. Рогинским и сотрудниками [5] и названное модифицированием второго рода. Примеси несколько повышают степень превращения спирта в степени, зависящей от природы добавки, а также от температуры.

Таблица 1

Результаты каталитического разложения изопропилового спирта на различных препаратах окиси алюминия

Состав (уд. поверхность, m^2/g)	Начало реакции t , °C	$t_{\text{опыта}}$, °C	$\frac{C_2H_5}{H_2O}$	Превращ. спирт, %	Сумма учтенных продуктов, %
Al_2O_3 (173)	160— —198	206 230 260	0,63 1,1 1,2	45 67 96	103 91 101
Al_2O_3 с ThO_2 (71)	162— —185	206 230 260	0,95 1,2 1,1	52 57 96	95 87 100
Al_2O_3 с Cr_2O_3 (83)	160— —185	206 230 260	0,7 1,17 0,98	42 90 100	97 100 100
Al_2O_3 с MgO (61)	168— —195	206 230 260	0,7 1,07 0,98	29 61 98	87 90 97
Al_2O_3 с ZnO_2 (111)	166— —184	206 230 260	1,2 1,04 1,25	65 78 90	97 90 102

Таблица 2

Кинетическая характеристика реакции каталитического разложения изопропилового спирта

Состав по		$t_{\text{опыта}}$, °C	$\frac{dc R}{d\tau} \cdot 10^3$	$k_0 \cdot 10^4$, мин. ⁻¹	E_A ккал/моль	A
приготовле- нию	рентгеноанализу					
Al_2O_3	$\gamma-Al_2O_3$	206 230 260	0,81 1,25 1,75	0,44 0,63 0,92	6,9	0,091
Al_2O_3 с Cr_2O_3	Al_2O_3 , аморфный	206 230 260	0,85 1,23 2,05	0,84 1,59 2,01		
Al_2O_3 с MgO	$\gamma-Al_2O_3$	206 230 260	0,45 1,22 2,03	0,79 1,67 2,69	11,7	19,5
Al_2O_3 с ThO_2	Al_2O_3 , аморфный	206 230 260	0,98 1,13 1,85	1,12 1,23 2,05		
Al_2O_3 с ZnO_2 (111)	Al_2O_3 , аморфный	206 230 260	1,05 1,28 1,47	0,98 1,18 1,35	3,0	$2 \cdot 10^{-3}$

Из сопоставления данных табл. 1 и 2 следует, что нет ясно выраженной зависимости между величиной удельной поверхности, рентгеноаморфностью или наличием рентгенографически определяемой γ -структуры, с одной стороны, и каталитической активностью — с другой. При этом следует иметь в виду, что рентгеноаморфность может, как известно [6], вызываться малыми размерами участков упорядоченной структуры.

В табл. 2 находятся величины, характеризующие кинетику каталитической дегидратации изопропилового спирта на различных препаратах окиси алюминия, отличающихся природой содержащейся примеси, скорость реакции в молях превращенного спирта в минуту, константы скорости, отнесенные к единице поверхности, а также энергия активации E_A в ккал/моль и предэкспоненциальный множитель A в уравнении Аррениуса.

Из рассмотрения табл. 2 следует, что добавка примесей к окиси алюминия в большинстве случаев увеличивает энергию активации реакции каталитической дегидратации изопропилового спирта. Повышение величины энергии активации, при неизменности температуры начала реакции, как и в других случаях, компенсируется в значительной степени увеличением предэкспоненциального множителя A .

Полученные нами данные находятся в соответствии со взглядами, раздвигаемыми С. З. Рогинским в отношении модифицирующего действия добавок [5].

Выводы

1. Показано, что примеси некоторых окислов в количестве 1 мол. % окиси алюминия не вызывают изменения избирательной способности окиси алюминия и несколько повышают ее активность в реакции каталитической дегидратации изопропилового спирта.

2. Влияние исследованных примесей к Al_2O_3 на ее каталитическую активность не находится в заметной связи со структурой соответствующих препаратов.

3. Сопоставление кинетической характеристики дегидратации изопропилового спирта на препаратах окиси алюминия, отличающихся содержанием примесей, показывает, что примеси или вызывают увеличение энергии активации указанной реакции при одновременном увеличении величины предэкспоненциального множителя или, напротив, уменьшение энергии активации при одновременном уменьшении предэкспоненциального множителя.

Поступила
23.IV.1958

ЛИТЕРАТУРА

1. Г. М. Жаброва, Успехи химии, 20, 450, 1951.
2. С. Брунауер, Адсорбция газов и паров, т. 1, 234, 1948.
3. В. А. Комаров, Ж. физ. химии, 27, 1748, 1953.
4. C. Diletrich, C. Conrad, Angewan. Chem., 44, 532, 1931.
5. С. З. Рогинский, Проблемы кинетики и катализа, 6, 41, 1949.
6. R. Fricke, Handb. d. Katalyse, 4, 36, 1943.

THE EFFECT OF SOME OXIDE ADMIXTURES TO ALUMINUM OXIDE ON ITS CATALYTIC ACTIVITY IN THE DECOMPOSITION OF ISOPROPYL ALCOHOL

V. A. Komarov, E. A. Chernikova, G. P. Kvyatkovskaya and
E. A. Piganova (Leningrad)

Summary

The admixture of some oxides to aluminum oxide in the amount of 1% has been shown not to cause any change in the selectivity of the latter and to somewhat raise its activity in the catalytic dehydration of isopropyl alcohol. The effect of the admixtures is not manifestly related to the corresponding structure of the preparations. Comparison of the kinetic characteristics of the dehydration of isopropyl alcohol on aluminum oxide specimens differing in their admixtures showed that the latter either are the cause of an increase in the activation energy of this reaction with simultaneous increase in the pre-exponential factor or, on the contrary, of a decrease in the activation energy with simultaneous decrease in value of the preexponential factor.

ФИЗИКО-ХИМИЯ КОНЦЕНТРИРОВАННОГО ОЗОНА

VIII. О ТЕПЛОВОМ РАСПРОСТРАНЕНИИ ПЛАМЕНИ В ГАЗОВЫХ СМЕСЯХ ОЗОНА

В. В. Ястребов

В предыдущей статье [1] были изложены результаты экспериментального исследования условий распространения пламени в газовых смесях озона. Простой вид найденных концентрационных границ взрываемости и малые различия их для разных разбавителей указывают на их чисто тепловую природу. В настоящей статье делается попытка объяснить обнаруженные закономерности с точки зрения тепловой теории.

Различают тепловой и цепной механизмы распространения пламени в газах. При тепловом механизме продвижение фронта пламени обуславливается предшествующим распространением тепловой волны. В случае цепного механизма причиной продвижения взрывной волны является диффузия активных промежуточных продуктов, участвующих в образовании реакционных цепей; тепловая волна при этом следует за потоком активных частиц.

Цепное распространение взрыва всегда связано с большой спецификой действия различных разбавителей. При ярко выраженном цепном характере процесса могут существовать оптимальные концентрации разбавителя, при которых распространение пламени является особенно легким или, наоборот, наиболее затруднено.

Влияние примесей на границы распространения пламени при цепном механизме было подробно изучено Д. В. Алексеевым на примере ацетилена [2]. Им было показано, что предельное давление ацетилена, необходимое для распространения взрыва, резко увеличивается или уменьшается при добавлении уже небольших количеств посторонних газов или паров и при дальнейшем увеличении количества примеси проходит через максимальные и минимальные значения. Изучение этих явлений дало возможность Д. В. Алексееву впервые применить простейшие представления о цепных процессах к теории распространения взрыва.

Согласно тепловой теории, основные положения которой общеизвестны (см., например, [3]), пламя в газе распространяется от слоя к слою в результате того, что предыдущие слои уже сгоревшего газа поставляют за счет теплопроводности необходимую энергию для воспламенения последующих слоев. При этом на подогрев ближайшего слоя газа тратится только часть тепла, часть же рассеивается бесполезно. Можно предположить таким образом, что возможность продвижения фронта пламени определяется следующими величинами:

1) количеством тепла q , выделяющимся при сгорании озона, пропорциональным его парциальному давлению в газовой смеси;

2) количеством тепла q_1 , необходимым для нагрева впереди лежащего слоя газа до некоторой постоянной температуры, пропорциональным теплоемкости смеси C_p ;

3) потерями тепла q_2 , пропорциональными теплопроводности смеси λ .

Для границы взрываемости тепловой баланс запишется следующим образом:

$$q = q_1 + q_2 \quad (1)$$

или

$$p_{O_3} = aC_p + b\lambda. \quad (2)$$

Для количественных сопоставлений необходимо сделать дополнительное предположение относительно величины коэффициентов a и b ,

Будем считать их постоянными и одинаковыми для всех газов. Величины C_p и λ считаем для смеси газов аддитивными, тогда

$$p_{O_2} = a(p_x C_x + p_{O_2} C_{O_2}) + b \left(\frac{p_x}{p_{O_2} + p_x} \lambda_x + \frac{p_{O_2}}{p_x + p_{O_2}} \lambda_{O_2} \right). \quad (3)$$

Введем обозначения:

$$l = \frac{aC_x}{1 - aC_{O_2}}; \quad m = \frac{b\lambda_x}{1 - aC_{O_2}}; \quad n = \frac{b\lambda_{O_2}}{1 - aC_{O_2}}. \quad (4)$$

Пользуясь ими, можно переписать уравнение (3) в более удобной форме:

$$p_{O_2} = lp_x + n + (m - n) \frac{p_x}{p_{O_2} + p_x}. \quad (5)$$

Уравнение (5) в координатах p_{O_2} — p_x представляется кривой гиперболического вида; не приводя подробностей математического анализа, укажем только на ее свойства, которые понадобятся в дальнейшем. Кривая пересекает ось ординат в точке $p_{O_2} = n$, соответствующей граничному давлению взрываемости чистого озона. При $p_x \rightarrow \infty$ она асимптотически приближается к прямой

$$p_{O_2} = lp_x + k, \quad (6)$$

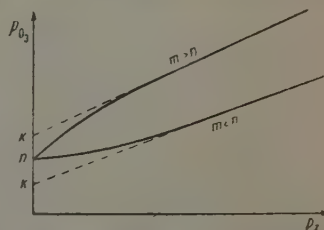
где

$$k = \frac{ln + m}{1 + l}. \quad (7)$$

При $m > n$, т. е. при $\lambda_x > \lambda_{O_2}$, асимптота проходит выше кривой, при $m < n$ — ниже (рисунок). При $m = n$ уравнение (5) переходит в уравнение прямой; то, как видно из условия (4), осуществляется в том случае, когда теплопроводность разбавителя равна теплопроводности озона.

Пользуясь выведенными соотношениями, рассмотрим концентрационные границы, полученные в предыдущей работе [1]. Для исследованных смесей озона коэффициенты уравнения (5) находились из опытов при больших давлениях, в которых граница взрываемости не искажалась действием поджигающей искры, а также из опытов с неразбавленным озоном при оджигании газа нагретой проволокой; равно тангенсу угла наклона прямолинейной части графика; n равно граничному давлению взрываемости чистого озона (при тепловом способе воспламенения), т. е. 9 мм рт. ст.; m определяется из условия (7), после того как определены l , n и k (величина k выражается отрезком, отсекаемым при продолжении прямолинейной части графика до пересечения с осью p_{O_2}).

Согласно условию (4) коэффициенты l для разных смесей должны находиться в том же отношении друг к другу, как теплоемкости разбавителей. В табл. 1 приведены величины l , полученные из опытных кривых [1], ниже — их относительные величины при $l(O_2 + O_2)$, принятом за единицу. В следующих строках таблицы даны относительные величины для теплоемкостей C_p соответствующих разбавителей при разных температурах. Из таблицы видно, что для кислорода и аргона соответствие между относительными значениями l и C_p приблизительно имеется, однако для углекислого газа это не выполняется — CO_2 в качестве разбавителя почти не отличается от O_2 .



Форма кривых, представляющих уравнение (5), при $m > n$ и $m < n$ (пунктиром показаны асимптоты)

Ввиду того что константа l определяется с достаточной точностью, сходство CO_2 с O_2 не может быть объяснено ошибками опыта.

Таблица 1

	$\text{O}_2 + \text{O}_2$	$\text{O}_2 + \text{CO}_2$	$\text{O}_2 + \text{Ar}$
l	0,100	0,105	0,072
Относит. значения l	1	1,05	0,72
Относит. знач. C_p {	при 20°	1	0,74
	» 100°	1,3	0,72
	» 300°	1,4	0,70
	1	1,5	

Объяснение можно пайти в том, что в процессе быстрого нагрева поджигаемого слоя колебательные степени свободы молекул CO_2 не успевают возбуждаться и не вносят, таким образом, своей доли в величину теплоемкости, хотя после прохождения взрывной волны тепловая энергия распределяется, конечно, по всем степеням свободы.

Аналогичные явления наблюдаются при распространении звука в газах; при достаточно высокой частоте звука колебательные степени свободы не успевают возбуждаться, что сказывается на скорости распространения звуковой волны, зависящей от теплоемкости газа. Дисперсия звука в CO_2 [4], т. е. выпадение колебательных степеней свободы, начинается при частотах $3 \cdot 10^4$ гц. При $3 \cdot 10^5$ гц и выше в распространении звука принимают участие уже только поступательные и вращательные степени свободы. Таким образом колебательные степени свободы не успевают возбуждаться в том случае, если изменение состояния газа происходит за время $3 \cdot 10^{-5}$ — $3 \cdot 10^{-6}$ сек.

Время, за которое происходит нагрев газа во взрывной волне в наших опытах, имеет приблизительно ту же величину. Действительно, толщина фронта пламени для смесей озона с кислородом по Льюису и Эльбе [5] имеет порядок $\Delta = 10^{-3}$ — 10^{-4} см. Если принять скорость распространения пламени на границе взрываемости $u = 20$ см/сек (меньшие скорости наблюдаются только при ярко выраженном цепном механизме распространения), то время нагрева газа, равное Δ/u , составит $5 \cdot 10^{-5}$ — $5 \cdot 10^{-6}$ сек, т. е. величину того же порядка. Молекула CO_2 линейна и, подобно двухатомным молекулам, имеет только две вращательные степени свободы, чем и объясняется близость границ взрываемости смесей с CO_2 и с O_2 .

Кривая для смесей $\text{O}_3 + \text{N}_2$ не имеет достаточно определенной формы: опыты этой серии давали плохую сходимость. Однако, несмотря на некоторый разброс опытных точек, можно видеть, что азот как разбавитель в пределах возможных ошибок опыта не отличается от кислорода.

Хлор в качестве разбавителя, при условии 85%-ного разложения озона, также сходен с двухатомными газами; таким образом, истинная граница распространения пламени и в этом случае определяется чисто тепловыми факторами. При более низких концентрациях озона, при которых пламя угасает на некотором расстоянии от источника воспламенения, определенную роль, по-видимому, играют и цепные процессы, обнаруженные Боденштейном [6] при изучении кинетики не взрывного термического разложения озона в присутствии хлора.

Опыты с CCl_4 были проведены только при низких давлениях, поэтому количественное обсуждение их не представляется возможным. Однако из них все же видно, что истинная граница взрываемости должна проходить заметно выше, чем для остальных смесей, очевидно, за счет лишней вращательной степени свободы молекулы CCl_4 .

Теплопроводность газов, согласно уравнению (5), гораздо меньше влияет на положение границы взрываемости в области больших давлений, чем теплоемкость, поэтому определение коэффициентов m из имеющихся

пытных данных не может быть выполнено с такой точностью, как коэффициентов k , учитывая некоторый разброс опытных точек и необходимость экстраполяции прямолинейной части кривых в область низких давлений. Согласно условию (4), коэффициенты m для разных смесей должны находиться в том же отношении друг к другу, как теплопроводности разбавителей. В табл. 2 приведены полученные из опытных кривых (1) значения k , вычисленные при их помощи значения m , относительные значения m при $m_{O_2-O_2}$, принятом за единицу, и, наконец, относительные величины теплопроводности. Учитывая, что в данном случае точность экстраполяции мала, согласие можно считать удовлетворительным.

Предложенная интерпретация концентрационных границ взрываемости позволяет попутно сделать оценку теплопроводности озона, например, из данных для озono-кислородных смесей, изученных наиболее тщательно. Из (4) следует, что $k_{O_3} = (n m_{O_2})' k_{O_2}$, откуда получаем, что при комнатной температуре коэффициент теплопроводности для газообразного озона должен составлять около $\frac{3}{4}$ коэффициента для кислорода, т. е. около $5 \cdot 10^{-5}$ кал/см·сек·град.

Таблица 2

	O ₂ -O ₂	O ₂ -CO ₂	O ₂ -Ar
k	12,0	7,0	7,5
m	12,3	6,8	7,4
Относит. знач. m	1	0,55	0,60
Относит. знач. k_{O_3} при 20°	1	0,63	0,68

Выводы

Результаты экспериментального исследования концентрационных границ взрываемости для газовых смесей озона, изложенные в предыдущей статье [1], обсуждены с точки зрения теплового механизма распространения пламени, учитывающего потери тепла из взрывной волны за счет теплопроводности и неравновесное распределение энергии по степеням свободы молекул во взрывной волне. Предложена формула (5), описывающая влияние парциального давления разбавителя на границу взрываемости озона, которая при сделанных допущениях описывает положение границ взрываемости при давлениях, близких к атмосферному.

Из данных по взрываемости сделана оценка коэффициента теплопроводности газообразного озона, который равен приблизительно $5 \cdot 10^{-5}$ кал/см·сек·град при комнатной температуре.

Московский государственный
университет им. М. В. Ломоносова

Поступила
17.XII.1957

ЛИТЕРАТУРА

- В. В. Ястребов, Н. И. Кобозев, 33, 1701, 1959.
Д. В. Алексеев, О взрывном разложении ацетилен, 1915.
Я. Б. Зельдович, Теория горения и детонации газов, 1944; Б. Л. Жукис, Г. Эльбе, Горение, пламя и взрывы в газах, 1948; В. Ност, Взрывы и горение в газах, 1952.
Н. О. Kneser, Ann. Physik, 11, 761, 777, 1931.
B. Lewis, G. Elbe, J. Chem. Phys., 2, 537, 194.
M. Bodenstein, Padellet, Schumacher, Z. phys. Chem., 125, 206, 1929.

THE PHYSICAL CHEMISTRY OF CONCENTRATED OZONE

VIII. ON THE THERMAL PROPAGATION OF FLAME IN GASEOUS MIXTURES OF OZONE

V. V. Yastrebov (Moscow)

S u m m a r y

The results of experimental study on the concentration boundaries of explosibility for gaseous mixtures of ozone described in the previous report [1] have been discussed from the standpoint of the thermal mechanism of flame propagation. The main assumption is that the heat (q) from the already burned gas layers is partially (q_1) consumed in heating subsequent layers and partially (q_2) lost as the result of thermal conductivity. It is postulated that q , q_1 and q_2 are proportional respectively to (1) the ozone content of the mixture, (2) to the heat capacity and (3) to the thermal conductivity of the mixture. Equation (5) derived on the basis of these assumptions describes the position of the boundaries of explosibility for pressures close to atmospheric if it be also assumed that non-equilibrium distribution of energy takes place among the degrees of freedom of the molecules (the vibrational degrees of freedom are not excited).

The relations derived make it possible to estimate the value of the thermal conductivity coefficient for gaseous ozone (ca. 4.5×10^{-5} cal/cm·sec·deg) from the boundaries of explosibility.

ИЗУЧЕНИЕ РАСТВОРОВ СОЛЕЙ УРАНИЛА В ОРГАНИЧЕСКИХ РАСТВОРИТЕЛЯХ ПРИ ПОМОЩИ ИНФРАКРАСНЫХ СПЕКТРОВ ПОГЛОЩЕНИЯ

СПЕКТРЫ КООРДИНАЦИОННО СВЯЗАННОЙ ВОДЫ В ГИДРАТАХ
УРАНИЛНИТРАТА В ОБЛАСТИ ЧАСТОТ ВАЛЕНТНЫХ КОЛЕБАНИЙ

В. М. Вдовенко и Д. Н. Суглобов

При изучении экстракции и растворимости уранилнитрата в органических растворителях значительное внимание уделялось выяснению роли гидратной воды, которая частично переходит вместе с солью в фазу органического растворителя.

Катцин и Салливэн [1] рассматривали гидратную воду лишь с точки зрения конкуренции молекул воды и органического растворителя за место в координационнойфере шестивалентного урана. С другой стороны, Глюкауф и Маккей [2], полагая координационное число уранила равным шести и учитывая, что при экстракции в этиловый эфир уранилнитрат переходит в слой эфира в форме недиссоциированных молекул, указали на возможность образования водородной связи между гидратной водой и растворителем. Однако в их последующих работах это соображение не было развито и подтверждено.

В. М. Вдовенко и И. Г. Суглобова [3], отмечая чрезвычайно низкую растворимость безводного диэфирата уранилнитрата в простых эфирах по сравнению с хорошей растворимостью тригидрата и, особенно, дигидрата-диэфирата уранилнитрата, предположили, что это различие в значительной мере определяется неодинаковостью характера сольватации указанных соединений при растворении. Молекулы гидратной воды в $\text{UO}_2(\text{NO}_3)_2 \cdot 2\text{H}_2\text{O}$ поляризуются вследствие отталкивания протона от положительно заряженного иона урана, связь между кислородом и водородом ослабляется, и молекула воды приобретает «кислотные» свойства. Вследствие этого является возможность образования связи между «кислой» координированной водой и молекулами основного растворителя, которая способствует появлению растворимых комплексов. Молекулы эфира, координированные непосредственно к урану в $\text{UO}_2(\text{NO}_3)_2 \cdot 2(\text{C}_2\text{H}_5)_2\text{O}$, поляризуются слабо и не в состоянии образовать аналогичные прочные связи, что отрицательно влияет на растворимость этого сольвата в эфире.

С целью проверки предположений о поляризации координированной уранилнитрату воды и об образовании связи кислотно-основного характера между координированной водой и растворителем, в настоящей работе были изучены инфракрасные спектры поглощения растворов гидратов уранилнитрата с разными изотопными модификациями воды в этиловом эфире, $\beta\beta'$ -дихлордиэтиловом эфире, дипропилсульфиде, ацетонитриле и нитрометане в области частот валентных колебаний $\text{OH}(\text{OD})$.

Экспериментальная часть

В работе были использованы тщательно очищенные и высушенные растворители, плотность и показатель преломления которых совпадали с табличными. Гидраты уранилнитрата и безводный уранилнитрат были приготовлены способами, описанными ранее [3]. Раствор $\text{UO}_2(\text{NO}_3)_2 \cdot 2\text{D}_2\text{O}$ в эфире был получен путем добавления небольших количеств D_2O в сосуд с эфиром, на дне которого находился практически нерастворимый $\text{UO}_2(\text{NO}_3)_2 \cdot 2(\text{C}_2\text{H}_5)_2\text{O}$. При этом происходило растворение части осадка в эфире. Отношение числа молекул уранилнитрата и воды в полученном растворе в точности

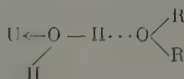
равнялось 1 : 2. Аналогичным образом был получен раствор $\text{UO}_2(\text{NO}_3)_2 \cdot 2\text{H}_2\text{O}$. В смеси D_2O и H_2O всегда существуют три изотонические формы: D_2O , HDO и H_2O , относительное содержание которых определяется исходным количеством легкой и тяжелой воды [4]. Чтобы свести к минимуму содержание легкой воды и тем самым исключить появление в области частот валентных колебаний ОН ее полос поглощения, в добавляемой к $\text{UO}_2(\text{NO}_3)_2 \cdot 2(\text{C}_2\text{H}_5)_2\text{O}$ изотонической смеси тяжелая и легкая вода брались в соотношении 10 : 1.

Инфракрасные спектры поглощения растворов воды и гидратов уранилнитрата в различных органических растворителях в области $2000-4000 \text{ см}^{-1}$ были получены на инфракрасном спектрометре фирмы Perkin — Elmer, модель 12В с призмой из фтористого лития с автоматической записью спектра пером. Часть спектров была получена также на инфракрасном спектрометре ИКС-6. Градуировка приборов производилась по колебательно-вращательным спектрам газов HCl , HBr , NH_3 и H_2O . Растворы помещались в кюветы постоянной толщины с вкладышами и окнами из флуорита. Толщина слоя варьировалась от 50 до 500 μ .

Обсуждение результатов

Как известно, спектр жидкой воды, а также спектр воды, растворенной в органических растворителях в области $3200-3800 \text{ см}^{-1}$, состоит из двух полос, соответствующих симметричному ν_1 и антисимметричному ν_3 валентным колебаниям [4, 5]. По мере увеличения протонакцепторных свойств растворителя происходит закономерное смещение обеих полос в длинноволновую часть спектра [5].

Координация молекул воды у уранилнитрата, приводя к протонизации водорода воды в результате отталкивания его от положительно заряженного иона урана, должна способствовать образованию более прочной связи между таким водородом и протонакцепторной группой основного растворителя, по сравнению с прочностью обычной водородной связи между свободно растворенной водой и молекулами растворителя. Это обстоятельство в соответствии с [5, 6] должно привести к смещению полос валентных колебаний координированной воды в длинноволновую часть спектра относительно положения полос свободно растворенной воды. В системе связей (в данном случае раствор гидрата уранилнитрата в эфире):



колебания ОН воды должны быть весьма чувствительны к прочности межатомной связи $\text{H} \cdots \text{O}$, и поэтому можно ожидать, что изменение основности растворителя заметным образом скажется на смещении полос. На рис. 1 представлены инфракрасные спектры поглощения растворов $\text{UO}_2(\text{NO}_3)_2 \cdot 2\text{H}_2\text{O}$ в этиловом эфире, β, β' -дихлордиэтиловом эфире, дипропиласульфиде, ацетонитриле и нитрометане в области $3000-3800 \text{ см}^{-1}$. Протонакцепторные свойства указанных жидкостей [за исключением $(\text{C}_6\text{H}_5)_2\text{S}$, константа основности которого нам неизвестна] последовательно уменьшаются [6]. Известно, что при растворении $\text{UO}_2(\text{NO}_3)_2 \cdot 2\text{H}_2\text{O}$ в таких растворителях, как простые эфиры, обе молекулы гидратной воды остаются координированными к уранилнитрату [1, 7]. Поэтому следует считать, что полосы в спектрах растворов $\text{UO}_2(\text{NO}_3)_2 \cdot 2\text{H}_2\text{O}$ принадлежат координированной воде. Из рис. 1 видно, что ожидаемое смещение в длинноволновую часть спектра полос связанной воды, по сравнению с положением полос свободно растворенной воды, действительно имеет место. Оно увеличивается по мере возрастания основности растворителя и достигает весьма значительной величины ($\sim 400 \text{ см}^{-1}$) в случае этилового эфира. Полосы ОД в спектре эфирного раствора $\text{UO}_2(\text{NO}_3)_2 \cdot 2\text{D}_2\text{O}$ также смещены в сторону меньших частот относительно положения полос поглощения свободно растворенной D_2O (рис. 2).

Отметим ряд деталей в спектрах поглощения координированной воды изображенных на рис. 1.

Длинноволновая часть полосы поглощения H_2O не могла быть прослежена до конца, поскольку в области $2800\text{--}3000\text{ см}^{-1}$ расположены интенсивные полосы, соответствующие С—Н валентным колебаниям растворителя, которые затемняют картину. Полосы поглощения координированной воды имеют отчетливо выраженную дублетную структуру. С целью

объяснения, соответствуют ли максимумы поглощения симметричному и антисимметричному колебаниям координированной воды, или их происхождение имеет иную природу, был получен спектр эфирного раствора $\text{UO}_2(\text{NO}_3)_2 \cdot 2\text{H}_2\text{O}$ (рис. 3, а, кривая 1). Как известно, в области частот валентных О—Н колебаний молекула легчайшей воды имеет одну простую полосу [4]. Согласно рис. 3, а в спектре координированной полутяжелой воды, так же как и в спектре H_2O , свободно растворенной в эфире, имеется одна полоса. Сохранение структуры полос при переходе от свободно растворенной к координированной воде указывает, что длиннокоротковолновый максимумы поглощения в спектре координированной легкой воды следует, по-видимому, приписать соответственно симметричному и антисимметричному валентным колебаниям воды. Этот результат может служить указанием на то, что при координации молекулы воды, сильно деформируясь, все же не теряют своей индивидуальности,

подтверждают результаты изучения изотопного обмена в солях уранила их спектров комбинационного рассеивания [8, 9], из которых вытекает, что в гидратах солей уранила уранил-ион имеет форму UO_2^{2+} , а не $\text{U}(\text{OH})_4^{2+}$, как предлагалось в [10].

Ранее отмечалось [5], что параллельно увеличению протонакцепторных свойств растворителя происходит уменьшение относительной интен-

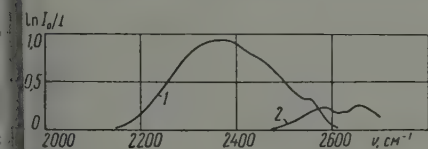


рис. 2. Спектры поглощения растворов: 1 — $\text{UO}_2(\text{NO}_3)_2 \cdot 2\text{D}_2\text{O}$; 2 — D_2O в этиловом эфире. Эффективная толщина слоя воды одинакова

сивности в эфире воды интенсивность больше интенсивности полосы симметричного колебания, то в спектре координированной воды наблюдается обратная картина (рис. 1, кривые 1, 2).

Наконец, следует указать, что полосы связанной воды, особенно в случае этилового эфира, значительно шире и интенсивнее полос свободно растворенной воды. Подобные эффекты уширения полос и увеличения их интенсивности обычно наблюдаются в системах с сильной водородной связью.

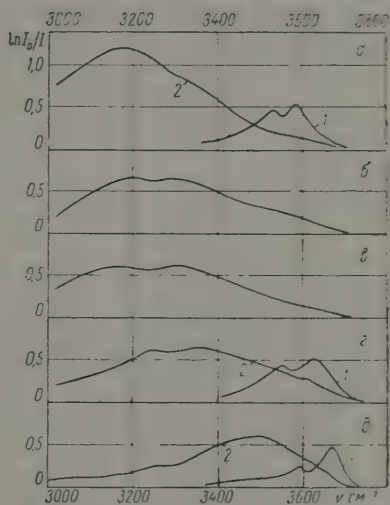


рис. 1. Спектры поглощения растворов. 1 — воды и 2 — $\text{UO}_2(\text{NO}_3)_2 \cdot 2\text{H}_2\text{O}$ в: а — этиловом эфире; б — β,β'-дихлордиэтиловом эфире; в — дипропилсульфиде; г — ацетонитриле; д — нитрометане. Эффективная толщина слоя воды во всех случаях одинакова

На рис. 4 прослежено изменение формы полос поглощения в области $3000\text{—}3880\text{ см}^{-1}$ при добавлении воды к эфирному раствору $\text{UO}_2(\text{NO}_3)_2 \cdot 2\text{H}_2\text{O}$ в стехиометрическом отношении воды к соли 4 : 1, 6 : 1 и 8 : 1. Уже в растворе, где на молекулу соли приходится четыре молекулы воды, можно наблюдать появление полосы 3580 см^{-1} , отвечающей свободно растворенной воде. Дальнейшее добавление воды приводит к увеличению интенсивности этой полосы. Параллельно появляется и растет поглощение в области $3300\text{—}3500\text{ см}^{-1}$ в промежутке между полосами воды, связанной

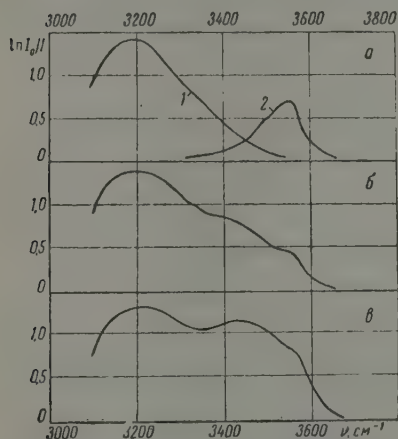


Рис. 3. Спектры поглощения растворов $\text{UO}_2(\text{NO}_3)_2 \cdot 2\text{H}_2\text{O}$ в этиловом эфире, в которые добавляется H_2O . Отношение $\text{UO}_2(\text{NO}_3)_2$ к H_2O : а — 1 : 2; б — 1 : 4; в — 1 : 6. Концентрация $\text{UO}_2(\text{NO}_3)_2$ во всех случаях одинакова

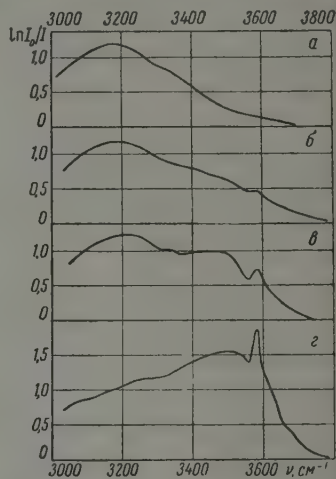


Рис. 4. Спектры поглощения растворов $\text{UO}_2(\text{NO}_3)_2 \cdot 2\text{H}_2\text{O}$ в этиловом эфире, в которые добавляется вода. Отношение $\text{UO}_2(\text{NO}_3)_2$ к H_2O : а — 1 : 2; б — 1 : 4; в — 1 : 6; г — 1 : 8. Концентрация $\text{UO}_2(\text{NO}_3)_2$ во всех случаях одинакова

в дигидрате уранилнитрата и свободно растворенной [концентрация $\text{UO}_2(\text{NO}_3)_2$ в растворах, спектры которых изображены на рис. 4, везде одинакова]. Здесь следует отметить, что интенсивность полосы связанной воды у 3170 см^{-1} при этом изменяется мало.

Разделение полос в спектре раствора, где на молекулу соли приходится шесть молекул воды, выявляет широкую полосу с максимумом у 3440 см^{-1} . Появление такой полосы, по-видимому, пужно трактовать как следствие существования в растворе молекул воды, находящихся в промежуточном состоянии между состоянием воды в $\text{UO}_2(\text{NO}_3)_2 \cdot 2\text{H}_2\text{O}$, с одной стороны, и свободно растворенной — с другой. Иными словами, следует предположить, что добавляемая к раствору дигидрата уранилнитрата вода частично связывается с дигидратом уранилнитрата, но не занимает положения в координационной сфере урана, эквивалентные положению первых двух молекул воды (об этом можно судить на основании незначительного изменения интенсивности полосы 3170 см^{-1}), а располагается на более далеких расстояниях от центрального иона. Учитывая наличие связи между координированной водой и растворителем, можно думать, что часть добавляемой воды, вытесняя эфир из второго сольватного слоя, сама связывается с водой первого сольватного слоя более прочно, чем свободно растворенная вода с эфиром. Таким образом конкуренция между водой и эфиром за место в координационной сфере U(VI) существует, но она протекает в пределах второго сольватного слоя.

С целью более четкого выявления полосы, лежащей между полосами связанной и свободно растворенной воды, аналогичные опыты были проведены с использованием полутяжелой воды. Как говорилось выше, картина должна упроститься вследствие уменьшения числа полос воды в растворяемой области валентных ОН колебаний с двух (ν_1 и ν_3) до одной. На рис. 3, на котором помещены полученные спектры, видно, что по мере добавления HDO к эфирному раствору $\text{UO}_2(\text{NO}_3)_2 \cdot 2\text{H}_2\text{O}$ наряду с полосой, соответствующей свободно растворенной воде, появляется совершенно отчетливая полоса, отвечающая воде, располагающейся во втором сольватном слое.

На основе представлений о слоистой структуре координационной сферы урана (VI) в органических растворах уранилнитрата простое объяснение получает возрастание интенсивности поглощения у 3200 см^{-1} в спектре раствора гексагидрата уранилнитрата в нитрометане по сравнению с поглощением дигидрата уранилнитрата (рис. 5). Действительно, частичная замена молекул нитрометана во втором сольватном слое на более протонакцепторную воду должна привести к смещению полос воды, непосредственно координированной к урану, в длинноволновую часть спектра, что и наблюдается на опыте.

То обстоятельство, что замена молекул эфира на молекулы воды во втором сольватном слое не оказывает значительного влияния на положение полос воды первого слоя, указывает на их сравнительно близкие протонакцепторные свойства (рис. 3).

Кислотность координированной к уранилнитрату воды подтверждает возможность сопоставления механизма экстракции в простые эфиры, с одной стороны, гидратов уранилнитрата, а с другой, — кислот и металлокислотных комплексов, которое было проведено в [3]. Как известно, кислоты и металлокислотные комплексы экстрагируются в органические растворители основного типа в результате образования растворимых оксониевых соединений [11]. При экстракции уранилнитрата в известной мере функции кислоты выполняет координированная вода.

Слоистое строение координационной сферы урана предполагает две функции гидратной воды в процессе экстракции и растворения уранилнитрата в простых эфирах. Вода первого сольватного слоя, образуя прочные связи кислотно-основного характера с растворителем, является необходимой для перехода уранилнитрата в эфирный слой. Напротив, вода второго сольватного слоя препятствует растворению, конкурируя с молекулами растворителя за место в координационной сфере урана в пределах второго сольватного слоя.

Авторы благодарны акад. А. Н. Теренину и проф. С. А. Щукареву за детальное обсуждение результатов работы. Работа была выполнена в лаборатории проф. В. М. Чулановского, которому авторы выражают признательность за внимание.

Выводы

1. Измерены спектры поглощения растворов дигидрата уранилнитрата в этиловом эфире, $\beta\beta'$ -дихлордиэтиловом эфире, дипропилсульфиде, ацетонитриле и нитрометане, а также растворов $\text{UO}_2(\text{NO}_3)_2 \cdot 2\text{D}_2\text{O}$ и $\text{UO}_2(\text{NO}_3)_2 \cdot 2\text{HDO}$ в этиловом эфире в области частот валентных Н(OD) колебаний.

Полосы координированной к уранилнитрату воды смещены в длинноволновую часть спектра и более интенсивны по сравнению с полосами сво-

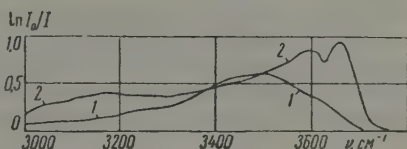


Рис. 5. Спектры поглощения растворов: 1— $\text{UO}_2(\text{NO}_3)_2 \cdot 2\text{H}_2\text{O}$ и 2— $\text{UO}_2(\text{NO}_3)_2 \cdot 6\text{H}_2\text{O}$ в нитрометане

бодно растворенной воды. Смещение возрастает по мере увеличения протонакцепторных свойств растворителя.

2. В спектре растворов $\text{UO}_2(\text{NO}_3)_2 \cdot 2\text{H}_2\text{O}$ и $\text{UO}_2(\text{NO}_3)_2 \cdot 2\text{HDO}$, в которые добавляется вода или (HDO), дополнительно появляются полосы свободно растворенной воды и новые полосы, лежащие между полосами свободно растворенной воды и связанной воды в растворе дигидрата уранилнитрата.

3. Сделан вывод о поляризации воды в координационной сфере шести валентного урана и об образовании связи кислотно-основного характера между гидратной водой и молекулами растворителя. При координации к дигидрату уранилнитрата дополнительного числа молекул воды последние связаны с ураном менее прочно, чем первые две.

Поступила
20.I.1958

ЛИТЕРАТУРА

1. L. I. Katzin, J. C. Sullivan. J. Phys. and Colloid Chem., 55, 346, 1951.
2. E. Glueckauf, H. A. C. McKay. Nature, 165, 594, 1950.
3. В. М. Вдовенко, И. Г. Суглобова, Ж. неорган. химии, 3, 1403, 1958.
4. М. О. Буланин, Оптика и спектроскопия, 2, 557, 1957.
5. E. Greinacher, W. Luttkie, R. Mekke, Z. Elektrochem., 59, 23, 1955.
6. W. Gordy, S. C. Stenford, J. Chem. Soc., 9, 204, 1941.
7. В. М. Вдовенко, И. Г. Суглобова. Ж. неорган. химии, 3, 1573, 1958.
8. H. W. Crandall, J. Chem. Phys., 17, 602, 1949.
9. J. Sutton, Nature, 169, 235, 1952.
10. L. V. Coulter, K. S. Pitzer, W. M. Latimer, J. Amer. Chem. Soc., 62, 2845, 1940.
11. Кузнецов, Успехи химии, 23, 654, 1954.

INFRARED ABSORPTION STUDY OF URANYL SALT SOLUTIONS IN ORGANIC SOLVENTS

THE SPECTRA OF COORDINATION BOUND WATER IN HYDRATED URANYL NITRATE IN THE REGION OF VALENCE VIBRATION FREQUENCIES

V. M. Vdovenko and D. N. Suglobov (Leningrad)

Summary

With the purpose of studying the forms of existence of uranyl salts in organic solvents measurements were made of the infrared absorption spectra of solutions of hydrated uranyl nitrates (with various isotope modifications of water) in ethyl ether, β, β' -dichlorodiethyl ether, dipropyl sulphide, acetonitrile and nitromethane in the region of the OH (OD) valence vibrations. Based on the results obtained the conclusion has been drawn that the water in the coordination sphere of hexa-valent uranium is polarized and that acid-base types of linkages are formed between the hydrate water and the solvent molecules. When an additional number of water molecules is coordinated with the dihydrate of uranyl nitrate they are less firmly bound to uranium than the first two molecules. The acidity of the water coordinated with uranyl nitrate confirms the comparability of the mechanism of ether extraction for the hydrates of uranyl nitrate, on the one hand, and for acids and metal acid complexes on the other.

О МЕХАНИЗМЕ ЭЛЕКТРООКИСЛЕНИЯ СПИРТОВ
И АДЕЛЬГИДОВ НА ПЛАТИНЕIII. О ФОРМЕ ПОЛЯРИЗАЦИОННЫХ КРИВЫХ ОКИСЛЕНИЯ
ЭТИЛОВОГО СПИРТА*Г. А. Богдановский и А. И. Шлыгин*

Несмотря на многочисленные экспериментальные исследования, в литературе содержатся весьма противоречивые данные относительно формы поляризационных кривых окисления этилового спирта на платине. Так, например, некоторыми авторами получены поляризационные кривые, характеризующиеся двумя максимумами в кислой среде и одним — в щелочной [1], другими получены кривые с одним максимумом в кислой среде и двумя в щелочной [2]. Отмечены также случаи, когда поляризационные кривые окисления этилового спирта характеризуются одним максимумом как в щелочном, так и в кислом растворах.

Вскрытие причины такого несоответствия, а также выяснение условий, при которых получаются кривые той или иной формы, представляет немалый интерес.

Полученный нами экспериментальный материал позволяет высказать в настоящей статье некоторые соображения по данному вопросу.

Экспериментальная часть

На рис. 1 и 2 приведены поляризационные кривые, полученные на большом платинированном платиновом электроде в отсутствие перемешивания, а также на вращающемся платинированном диске *. Как видно из рисунков, кривые имеют два максимума, один при потенциале 0,9 В, а второй ** при 1,25 В, сопровождающиеся значительными спадами силы тока.

В литературе подобные спады связывают, как правило, с пассивацией электрода кислородом [3] либо с тормозящим действием специфически сорбирующихся анионов [4].

Эти два положения объясняют некоторые экспериментальные данные, но, по нашему мнению, они недостаточны в общем случае, и, особенно, когда поляризационная кривая имеет сложный характер. Так, например, если процесс протекает в зоне потенциала, предшествующей выделению молекулярного кислорода (как это имеет место в наших опытах), то наличие двух максимумов на поляризационной кривой не может быть объяснено только появлением адсорбированного кислорода, так как при данных потенциалах платинированная платина не покрыта даже монослоем кислорода [5].

Мы предполагаем, что два спада силы тока, наблюдающиеся на приведенных выше поляризационных кривых, вызваны различными причинами. Первый спад при потенциале 0,9 В вызван тормозящим действием промежуточного продукта — ацетальдегида, образующегося в процессе

* Большой электрод имел видимую поверхность в 20 см², а вращающийся диск — 2 см².

** Значения потенциала везде даны по обратимому водородному электроду в том растворе.

электроокисления этилового спирта, а второй спад при потенциале 1,3 V обусловлен появлением на электроде адсорбированного кислорода. Доказательством этого предположения является целый ряд экспериментальных фактов.

Так, если в процессе электроокисления этилового спирта потенциал электрода поддерживать постоянным (например, при 0,6 V, когда нет адсорбированного кислорода), то сила тока непрерывно падает во времени, что может быть только следствием накопления на поверхности электрода промежуточного продукта, мало реакционноспособного при данном потенциале. Малая реакционная способность ацетальдегида, по сравнению со спиртом, следует из того, что максимальный ток для него в несколько раз меньше, и непосредственное прибавление ацетальдегида в систему,

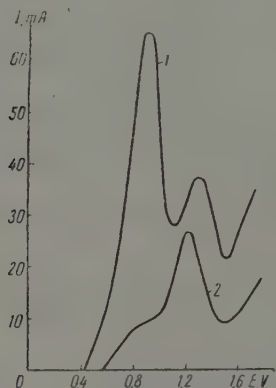


Рис. 1. Поляризационные кривые окисления в 1 N H_2SO_4 в отсутствие перемешивания: 1 — C_2H_5OH ; 2 — CH_3CHO

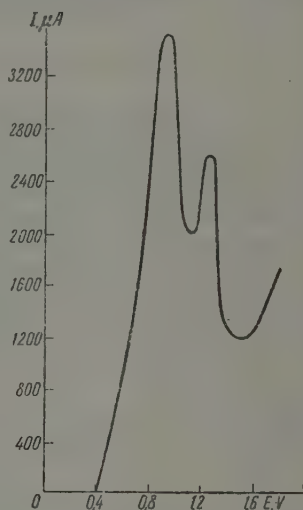


Рис. 2. Поляризационные кривые окисления этилового спирта в 1 N H_2SO_4 на вращающемся платинированном диске при концентрации спирта 1 моль/л

содержащую спирт, приводит к замедлению скорости электроокисления. В связи с этим нами были проведены следующие опыты.

К растворам одной и той же концентрации спирта добавлялись различные количества ацетальдегида, и каждый раз подбиралась такая сила тока, которая поддерживала постоянным потенциал электрода около его значения в точке первого максимума. Эта зависимость максимального тока от количества содержащегося в системе ацетальдегида отражена на рис. 3.

Как следует из рисунка, наличие в системе уже 5% ацетальдегида приводит к резкому снижению максимального тока.

Аналогичный эффект наблюдался и при окислении этилового спирта молекулярным кислородом в присутствии платиновой черни. В специальную ячейку, заполненную 1 N H_2SO_4 , вносилась навеска платиновой черни. После насыщения системы молекулярным кислородом вводился этиловый спирт, содержащий в качестве добавки ацетальдегид, и при интенсивном встряхивании системы (1000 качаний в минуту) определялось количество потребляемого кислорода. Полученная указанным образом зависимость скорости окисления спирта от количества содержащегося в системе ацетальдегида * отражена на рис. 4.

* Данные для каждой концентрации добавленного альдегида получены с новой навеской катализатора одного и того же образца.

Как видно из рассмотрения рисунка, и в данном случае уже 5% альдегида приводит к сильному снижению каталитической активности.

Существенным является также и то, что первый максимум может сместиться по оси потенциала либо в анодную, либо в катодную сторону. Это в значительной степени зависит от первоначальной концентрации спирта.

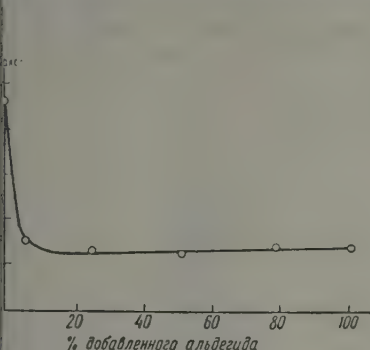


Рис. 3. Кривая зависимости максимального тока электроокисления этилового спирта в 1N H_2SO_4 от количества ацетальдегида, содержащегося в системе

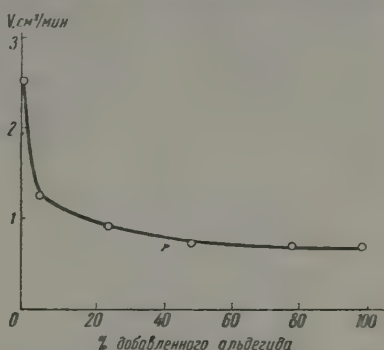


Рис. 4. Кривая зависимости скорости каталитического окисления этилового спирта в 1N H_2SO_4 от количества ацетальдегида, содержащегося в системе

Как уже указывалось [6], большая исходная концентрация спирта приводит к смещению максимума в анодную сторону.

На рис. 7 приведена поляризационная кривая, полученная на ацетирующемся дисковом электроде, когда концентрация спирта мала — 0,3 моль/л. В этом случае первый максимум наблюдается уже при потенциале 0,6 В.

Убедительным и наглядным доказательством того, что второй спад тока (при потенциале 1,3 В) вызван кислородом, служат опыты с электродом, предварительно отравленным ртутью. Если на таком электроде проводить электроокисление этилового спирта, то видимое почернение поверхности, связанное с окислением ртути, наблюдается при потенциале 1,3 В, т. е. в точности соответствует началу второго спада силы тока. Наконец, при отключении тока на второй нисходящей ветви поляризационной кривой потенциал электрода сохраняет значение, характерное для окисленной платины.

Таким образом два спада силы тока, наблюдающиеся на поляризационной кривой окисления этилового спирта, вызваны как пассивацией электрода адсорбированным кислородом, так и тормозящим действием промежуточного продукта.

Наряду с кривыми, характеризующимися двумя максимумами, нами были получены также и поляризационные кривые с одним максимумом

Наличие на поляризационных кривых окисления этилового спирта одного или двух максимумов, по нашему мнению, является вполне закономерным явлением и отражает частные случаи сложного процесса электроокисления.

Опыт показывает, что форма поляризационной кривой окисления этилового спирта определяется промежуточным продуктом — ацетальдегид-

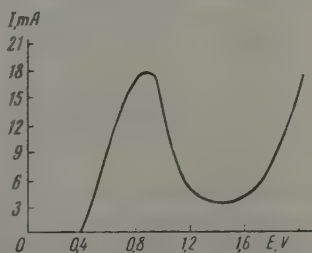


Рис. 5. Поляризационные кривые окисления этилового спирта в 1N H_2SO_4 в отсутствие перемешивания на малоактивном электроде

дом, скорость электроокисления которого зависит от состояния поверхности.

Если электроокисление ацетальдегида протекает на данной поверхности с незначительной скоростью, то поляризационная кривая этилового спирта, полученная на этом электроде, имеет один максимум, при потенциале 0,9 В (рис. 5).

Если же электроокисление ацетальдегида протекает с заметной скоростью, но меньшей чем электроокисление спирта до ацетальдегида, то поляризационная кривая этилового спирта имеет два максимума: один при потенциале 0,9 В, а второй при 1,3 (рис. 1).

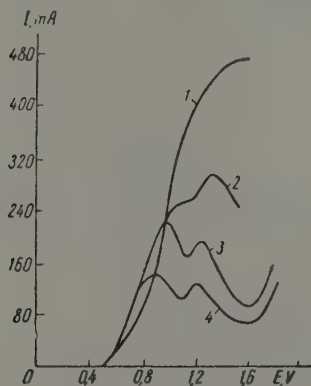


Рис. 6

Рис. 6. Поляризационные кривые окисления этилового спирта в 1 N H_2SO_4 в отсутствие перемешивания на предварительно активированном электроде

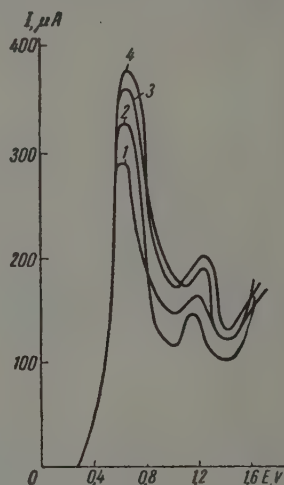


Рис. 7

Рис. 7. Поляризационные кривые окисления этилового спирта в 1 N H_2SO_4 на вращающемся платинированном диске при: 1 — 240 об/мин., 2 — 780 об/мин.; 3 — 3200 об/мин.; 4 — 5000 об/мин.

Наконец, если электроокисление ацетальдегида происходит со скоростью, не меньшей чем скорость электроокисления спирта, то в этом случае максимум при потенциале 0,9 В отсутствует, и получающаяся поляризационная кривая характеризуется лишь одним максимумом при потенциале 1,3 В. Такого типа поляризационную кривую можно реализовать путем предварительной активации электрода при интенсивной анодной и катодной обработке. Указанные кривые изображены на рис. 6.

Необходимо отметить, что последовательное снятие ряда поляризационных кривых приводит к постепенному появлению двух максимумов (рис. 6), что указывает на временный характер активации.

Все эти факты мы объясняем на основе представлений об электронно-радикальном механизме электроокисления этилового спирта и ацетальдегида.

Как уже отмечалось, электроокисление ацетальдегида протекает с участием радикалов [ОН].

Активация электрода снижает перенапряжение разряда молекул воды, в результате чего образование радикалов [ОН] происходит с большей скоростью и при более близком к катодному потенциале. Увеличение скорости образования [ОН] приводит к возрастанию скорости электроокисления ацетальдегида. В этом случае электроокисление этилового спирта не тормозится промежуточным продуктом, и поляризационная кривая

казывает лишь спад тока, вызванный адсорбированным кислородом при потенциале 1,3 В).

На менее активном электроде скорость образования радикалов $[OH]$, вместе с тем и скорость электроокисления ацетальдегида меньше. В этом случае начинает сказываться тормозящее действие промежуточного продукта, и поляризационная кривая окисления спирта может иметь два спада: один, вызванный альдегидом (при 0,9 В), другой — кислородом

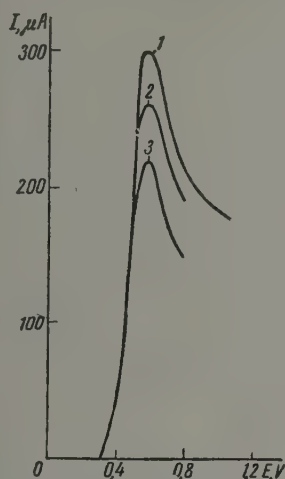


Рис. 8. Поляризационные кривые окисления этилового спирта в 0,5 N H_2SO_4 при последовательном увеличении числа оборотов. Концентрация спирта $5 \cdot 10^{-3}$ моль/л: 1 — 240 об/мин.; 2 — 780 об/мин.; 3 — 3200 об/мин.

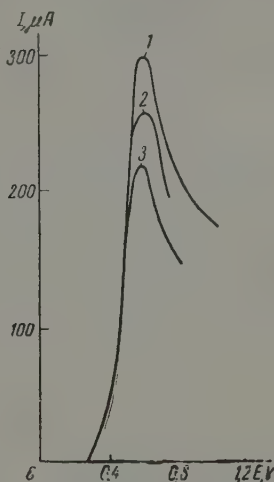


Рис. 9. Поляризационные кривые окисления этилового спирта в 0,5 N H_2SO_4 при последовательном уменьшении числа оборотов. Концентрация спирта $5 \cdot 10^{-3}$ моль/л: 1 — 3200 об/мин.; 2 — 780 об/мин.; 3 — 240 об/мин.

3 В). На малоактивном электроде, на котором окисление ацетальдегида протекает с очень малой скоростью, будет наблюдаться лишь один максимум при 0,9 В.

Необходимо отметить, что спады тока, вызванные блокировкой поверхности промежуточными продуктами, наблюдаются не всегда. Так, например, такие спады не будут наблюдаться при снятии полярограмм на кающем ртутном электроде, поскольку в данном случае происходит непрерывное обновление поверхности.

Наиболее выгодными условиями для установления спадов, вызванных продуктами реакции, являются: малая реакционная способность промежуточного вещества по отношению к исходному, большая или во всяком случае достаточная его адсорбируемость, малый объем раствора и наличие большого электрода, малая концентрация исходного вещества.

Опыты по влиянию перемешивания на скорость электроокисления этилового спирта проводились нами на вращающемся платинированном дисковом электроде в 1 N H_2SO_4 при малых концентрациях спирта (10^{-3} моль/л) при вращении диска в пределах 100—5000 об/мин. Результаты изображены на рис. 7. Как следует из рисунка, увеличение скорости вращения приводит лишь к незначительному возрастанию максимального тока.

Необходимо отметить, что в определенных условиях максимальный ток (при вращении) может снижаться, однако это уменьшение не связано с влиянием вращения. Так, если, не подвергая электрод предварительной очистке, в том же растворе снимать подряд серию поляризационных кри-

вых, непрерывно увеличивая скорость вращения диска, то можно наблюдать снижение максимального тока, и на этом основании прийти к (неправильному) выводу об отрицательном влиянии вращения на скорость процесса (рис. 8). Однако если в аналогичных условиях проводить опыты при непрерывном уменьшении скорости вращения, то и в этом случае максимальный ток падает (рис. 9). Следовательно, независимо от скорости вращения, максимальный ток при электроокислении этилового спирта может снижаться, по-видимому, вследствие пассивации электрода промежуточным продуктом.

Обобщая полученный опытный материал, мы приходим к заключению, что при рассмотрении процесса электроокисления этилового спирта на платинированной платине в кислых растворах обычно приходится различать три зоны потенциала. Первая зона 0,5—1 V, вторая 1—1,6 V, третья выше 1,6 V. В зоне потенциала до 1 V происходит только превращение этилового спирта в ацетальдегид. В зоне 1—1,6 V включается новая стадия — стадия окисления ацетальдегида в уксусную кислоту. Здесь процесс лимитируется скоростью превращения альдегида, и переход в эту зону, как правило, сопровождается спадом силы тока.

Начиная от потенциала 1,6—1,7 V, включается еще одна стадия, стадия дальнейшего превращения уксусной кислоты.

Однако это обобщение не является строгим, так как границы указанных областей могут значительно смещаться в зависимости от активности электрода.

Выводы

1. Форма поляризационной кривой окисления этилового спирта на платинированной платине в серной кислоте определяется состоянием поверхности электрода.
2. На активных электродах поляризационная кривая имеет лишь один спад тока, связанный с появлением адсорбированного кислорода.
3. На малоактивных электродах поляризационная кривая окисления спирта имеет также один спад тока, вызванный тормозящим действием промежуточного продукта — ацетальдегида, и продуктами его полимеризации.
4. На электродах со средней активностью поляризационная кривая имеет два спада тока, вызванные как промежуточным продуктом, так адсорбированным кислородом.

Московский государственный
университет им. М. В. Ломоносова

Поступила
26. I. 1959

ЛИТЕРАТУРА

1. С. Marie, G. Lejeune, J. Chim. phys., 26, 237, 1929.
2. В. Н. Модестова, Диссертация, 1952.
3. К. Н. Розенталь и В. Н. Веселовский, Ж. физ. химии, 27, 116, 1953.
4. А. Н. Фрумкин, Э. А. Айказян, Докл. АН СССР, 100, 315, 1955.
5. А. Д. Обручева, Ж. физ. химии, 26, 1952.
6. Г. А. Богдановский и А. И. Шлыгин, Ж. физ. химии, 31, 1957.

MECHANISM OF THE ELECTROOXIDATION OF ALCOHOLS AND ALDEHYDES ON PLATINUM

III. ON THE SHAPE OF THE POLARIZATION CURVES FOR THE OXIDATION OF ETHYL ALCOHOL

G. A. Bogdanovskii and A. I. Shlygin (Moscow)

Summary

The shape of the polarization curves for the oxidation of ethyl alcohol on platinum in sulphuric acid is determined by the condition of the electrode surface. In the case of active electrodes the polarization curve exhibits only a single depression in current associated with the appearance of adsorbed oxygen. A single depression is also exhibited by electrodes of low activity, caused by the inhibiting action of the intermediate, acetaldehyde. In the case of moderate activity electrodes two current depressions are exhibited, caused both by the intermediate and by adsorbed oxygen.

ОБ АССОЦИАЦИИ ИОНОВ В РАСТВОРАХ

IV. ЧИСЛА ПЕРЕНОСА И ВОПРОС О ИОННЫХ ТРОЙНИКАХ

А. М. Сухотин

Предположение об образовании ионных тройников в растворах было высказано Фуоссом и Краусом [1] с целью объяснения появления минимумов на изотермах проводимости 1-1-валентных электролитов в растворах с низкой диэлектрической проницаемостью. Однако это объяснение не является единственным. Аномальную концентрационную зависимость электропроводности можно объяснить быстрым уменьшением коэффициентов активности ионов, не прибегая к представлениям о ионных тройниках [2—6].

Никаких иных экспериментальных или теоретических подтверждений существования ионных тройников, кроме указанной теории аномальной электропроводности, в литературе не приводится.

Нам кажется, что плодотворным методом изучения состава и строения связанных ионных группировок могло бы быть измерение чисел переноса. Эффективность этого метода при исследовании водных растворов хорошо известна. Измерение чисел переноса в растворах с низкой диэлектрической проницаемостью затрудняется ввиду неприменимости существующих методов к системам с высоким удельным сопротивлением. Это исследование посвящено разработке методики и измерению чисел переноса ионов некоторых щелочно-галоидных солей в бутиловом спирте и его смесях с гексаном.

Экспериментальная часть

Методика. Бутанол и гексан очищались перегонкой. Их плотность и вязкость при 25° были соответственно равны 0,8057; 0,6545 г/см³ и 2,77; 0,320 сП. Соли NaI и LiBr дважды перекристаллизовывались и сушились. Сушка бромистого лития производилась в токе сухого азота, содержавшего бромистый водород. Все операции с солями производились в сухой камере.

Определение чисел переноса производилось по изменению концентрации раствора в анодном пространстве электролизера при прохождении известного количества электричества.

Схема измерительной ячейки изображена на рис. 1. Анодное пространство 1 отделено от основной массы раствора шлифом. Объем пространства 1, составлявший в наших приборах 0,015—0,030 мл, точно определялся калиброванием ртутью. Об изменении концентрации в анодном пространстве судили по изменению электрического сопротивления раствора между электродами 2 и 3, которые представляли тонкие платиновые диски диаметром 1,2—1,5 мм, одной стороной непосредственно приваренные к стеклу. Один из них или оба одновременно служили анодом при электролизе. В этом случае они покрывались серебром, о чем будет сказано ниже. Платиновый катод 4 находился в наружном растворе. Зависимость электропроводности раствора от его концентрации предварительно необходимо измерить в ячейке обычного типа. Эти измерения трудно выполнить с большой точностью тем более, что нет необходимости определять значения удельных сопротивлений, достаточно найти

отношения сопротивлений, отвечающих определенным разбавлениям к сопротивлению исходного раствора. Ячейка погружалась в водяной термостат, температура которого поддерживалась равной 25°C . Для предотвращения испарения летучего компонента растворителя во время опыта ввод электрода 3 герметизировался ртутным затвором 5, а илиф 6 снаружи заливался парафином. Шлиф, разделяющий анодное и катодное пространства, устраняя практически полностью диффузию электролита, не затруднял электролиза, так как сопротивление раствора в нем превышало сопротивление между электродами 2 и 3 всего примерно в 10 раз. Источником

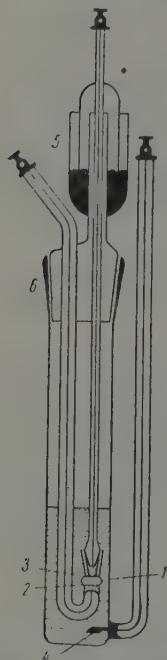


Рис. 1. Схема ячейки для измерения чисел переноса кондуктометрическим методом

тока при электролизе служил стабилизированный выпрямитель типа ВС-9, позволявший плавно регулировать напряжение от 500 до 4000 V. Сила тока измерялась при помощи микроамперметров М-194 и М-91. Когда сопротивление ячеек было не слишком велико, последовательно с ними включалось достаточно высокое сопротивление, чем обеспечивалось постоянство тока. В других случаях ток регулировался вручную путем изменения напряжения. Это не представляло затруднений, так как колебания тока были незначительными. Время электролиза, близкое в наших случаях к 1000 сек, измерялось секундомером типа 1СО. Для измерения сопротивлений до $100\text{ к}\Omega$ применялся мост переменного тока, работавший на частотах 1 и 10 кГц. В измерительную диагональ моста включался усилитель, выпрямитель и стрелочный индикатор. Более высокие сопротивления измерялись на постоянном токе при помощи градуированного зеркального гальванометра типа М 107/1, имевшего чувствительность 10^{-11} A . Измерительное напряжение подавалось от потенциометра ПШТВ.

Вначале для опробования методики было измерено число переноса катиона в $0,1N$ растворе КJ в воде. Оно оказалось равным $0,488 \pm 0,013$, что хорошо согласуется с наиболее надежным из известных значений, равным 0,4883 [7].

При изучении водных растворов и других систем имеющих высокую проводимость, следует иметь в виду, что электроды 2 и 3 (рис. 1) должны иметь развитую поверхность. В противном случае на результатах сильно сказывается реактивное сопротивление, связанное с наличием электрического двойного слоя на электродах.

В наших опытах электрод 3, служивший анодом, покрывался пористым слоем серебра путем прокаливания нанесенного на электрод влажной окиси серебра. Нижний электрод 2 платинировался.

При исследовании $0,1N$ растворов NaJ и LiBr в смеси бутанола с гексаном анод приготавливался таким же образом, электрод 2 не платинировался. В случае растворов LiBr в бутаноле оказалось, что точность измерений повышается, когда анодом служит электрод 2.

Применение пористых серебряных электродов недопустимо при работе с очень разбавленными растворами ($0,002N$ LiBr в смеси бутанола с гексаном) из-за значительного влияния адсорбции на концентрацию раствора. В этом случае тонкий слой серебра ($\sim 20\text{ мк}$) наносился гальванически из железисто-синеродистого электролита [8]. Измерение сопротивления проводилось на постоянном токе при напряжении, равном $\sim 0,1$ В. При этом очень сильно сказывается неучитываемая собственная ЭД электродов 2 и 3. Для снижения ее необходимо серебрить оба электрода и перед опытом покрывать их поверхность тончайшим слоем соответствующего металла.

ющего галогенида серебра путем анодной поляризации в изучаемом растворе.

В случае $0,002 N LiBr$ электролиз производился током в $1 \mu A$ при изучении $0,1 N$ растворов током в $40 \mu A$.

Измерение сопротивлений водных растворов KJ производилось на частоте 10 кгц , остальных растворов — на частоте 1 кгц .

Попытка измерения описанным способом чисел переноса в $0,1 N$ растворе NaJ в 40%-ной смеси бутанола с гексаном не увенчалась успехом.

Сопротивление этого раствора в анодном пространстве непрерывно возрастало как до, так и после электролиза. Причиной этого, вероятно, была необычайно сильная адсорбция NaJ на серебряных электродах. Этого эффекта не наблюдалось, когда оба электрода были платиновые.

В связи с этим была разработана новая методика, предусматривающая измерение концентрации раствора в одном пространстве при помощи радиоактивных изотопов. Схема ячейки изображена на рис. 2. Анодным пространством являлась дужка, впаиваемая во втулку крана. Анодом служила платиновая проволока 1 мм диаметром $0,14 \text{ мм}$, гальванически покрытая серебром. Объем анодного пространства был близок к $0,02 \text{ мл}$; он точно измерялся калиброванием пипеткой. Катод 2 изготавливался из платиновой проволоки. После окончания электролиза втулка крана поворачивалась в правое положение, и раствор из анодного пространства порциями сливался на бумагу, служившую для определения активности. Затем дужка промывалась растворителем, находившимся в сосуде 3 . При изучении растворов в смеси бутанола с гексаном промывка производилась этиловым спиртом, так как бутанол очень вязок и плохо стекает со стенок дужки. Первые порции промывной жидкости сливались на ту же бумажку, последующие — на другую, служившую для контроля полноты промывания.

Зная концентрацию и удельную активность исходного раствора и активность анолита после опыта, легко рассчитать изменение концентрации в анодном пространстве. Как в этих, так и в ранее описанных опытах концентрация изменялась на 10—15%.

Очень важным вопросом является подбор смазки крана. Смазка должна быть нерастворима в применяемых органических растворителях и не должна растворять в себе электролит. Удовлетворительной оказалась консистентная фторуглеродная смазка типа КС. Она очень густа, поэтому наносить ее следует тонким слоем на сухую нагретую поверхность крана.

Электрическая схема не отличалась от описанной выше. Измерение активности производилось при помощи цилиндрических счетчиков типа ИФ-1 обычным образом. Во время опыта ячейка находилась в воздушном термостате, облицованном свинцом.

Этим методом были измерены числа переноса NaJ в бутаноле и смеси его с гексаном. Йодистый натрий содержал изотоп J^{131} . Найденное число переноса катиона в бутаноле почти точно совпало со значением, полученным первым методом (см. таблицу).

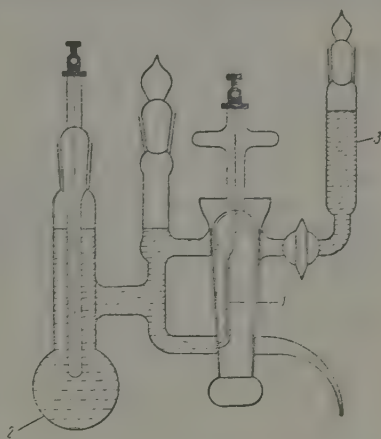


Рис. 2. Схема ячейки для определения чисел переноса при помощи радиоактивных изотопов

Обсуждение результатов

Полученные результаты приведены в таблице.

Числа переноса катионов при 25 °С

Растворитель	Электролит	Число опытов	n_+	Метод
Вода	0,1 N KJ	12	$0,488 \pm 0,013$	Кондуктометрический
Бутанол	0,1 N LiBr	22	$0,373 \pm 0,026$	То же
	0,1 N NaJ	15	$0,445 \pm 0,020$	» »
		17	$0,443 \pm 0,019$	Изотопный
40 вес. % бутано- ла+60 вес. % гексана	0,1 N LiBr	13	$0,461 \pm 0,014$	Кондуктометрический
	0,002 N LiBr	7	$0,453 \pm 0,002$	То же
	0,1 N NaJ	11	$0,558 \pm 0,019$	Изотопный

Рассмотрим сначала растворы LiBr в 40%-ной смеси бутанола с гексаном. Диэлектрическая проницаемость этой смеси равна 4,77. На изотерме электропроводности системы имеется глубокий минимум (рис. 3) концентрации, при которых измерены числа переноса, лежат по обе стороны минимума. При концентрации 0,002 N кривая электропроводности очень близка к прямой с наклоном $-1/2$, что говорит о применимости

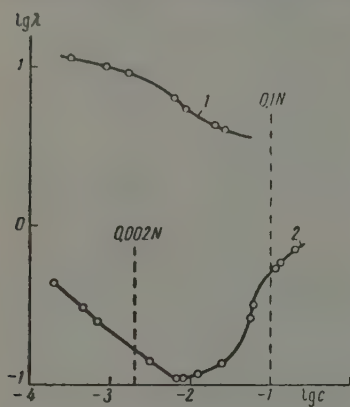


Рис. 3. Электропроводность растворов LiBr: 1 — в бутаноле и 2 — в 40%-ной смеси бутанола с гексаном

закона разбавления Оствальда в этой области концентраций и, следовательно, об отсутствии иных равновесий в растворе, кроме равновесия между ионами Li^+ и Br^- и ионными парами.

Если минимум на кривой λ — с вызван уменьшением ионных коэффициентов активности [3], то в 0,1 N растворе должны присутствовать такие же ионы как в 0,002 N растворе. Ионные концентрации в обоих случаях весьма малы (порядка $10^{-4} \div 10^{-5}$ г-ион/л), что делает невероятным предположение о существенном изменении соотношения подвижностей катиона и аниона при переходе от 0,002 к 0,1 N раствору. С этой точки зрения числа переноса в обоих растворах должны быть очень близки.

Если же справедлива теория Фуоса и Крауса [1], то содержание простых ионов в 0,1 N растворе должно быть незначительным, по сравнению с кон-

центрацией ионных тройников. В этом случае естественно ожидать различия чисел переноса, так как состав и строение ионов в обоих растворах должны быть различны. Кроме того, различна должна быть и зависимость убыли электролита в анодном пространстве от числа переноса. Если в случае 0,002 N раствора эта убыль в расчете на $1F$ численно равна n_+ , то для 0,1 N раствора она должна равняться $(3n_+ - 1)$.

Другими словами, равенство чисел переноса в таких растворах закономерно с точки зрения первого объяснения, может быть только чисто случайностью с точки зрения теории тройников.

Различие в наблюдаемых значениях n_+ (таблица) лежит в пределах ошибок опыта.

* Измерения электропроводности растворов LiBr в бутаноле и его смеси с гексаном произведены совместно с Е. М. Рыжковым. Результаты и техника измерений будут подробно описаны в статье, посвященной кондуктометрическому изучению этих систем.

Из этого единственного пока факта было бы преждевременно делать выводы. Однако повторение таких случаев для других систем говорило бы об отсутствии ионных тройников в растворах.

Представляет интерес также сравнение чисел переноса 0,1 N растворов LiBr и NaI в смешанном растворителе и в чистом бутаноле.

Из данных таблицы следует, что для обеих солей имеет место значительное повышение числа переноса катиона при переходе от чистоты бутанола к его смеси с гексаном. Причиной этого может быть некоторая десольватация катиона, вызванная уменьшением содержания спирта и приводящая к уменьшению эффективных размеров сольватного комплекса.

Проведению этого исследования особенно при измерениях истонным методом, во многом способствовала умелая и инициативная работа лаборанта Д. Н. Сабуровой, которой автор выражает искреннюю признательность.

Выводы

1. Разработано два варианта методики определения чисел переноса в растворах с высоким удельным сопротивлением.
2. Измерены числа переноса растворов LiBr и NaI в бутаноле и в 40%-ой смеси его с гексаном.
3. Близость чисел переноса катиона в 0,002 и 0,1 N LiBr согласуется с предположением об отсутствии ионных тройников в растворе.
4. Увеличение чисел переноса катионов Li^+ и Na^+ при переходе от бутанола к смешанному растворителю связано, вероятно, с частичной десольватацией катионов.

Государственный институт
прикладной химии
Ленинград

Поступила
24.1.1958

ЛИТЕРАТУРА

- R. M. Foss, S. A. Kline, J. Amer. Chem. Soc. 55, 2327, 1933.
А. М. Сухотин. Исследование по определению чисел переноса галогенидных солей. Диссертация, Ленинград, 1952.
А. М. Сухотин, З. Н. Тимофеева, Ж. физ. химии 33, 1662, 1736, 1959.
А. М. Сухотин, Вопросы теории растворов электролитов в средах с высокой диэлектрической проницаемостью, Госхимиздат, 1959.
А. М. Сухотин, Ж. физ. химии, 33, 2405, 1959.
E. M. Ryzikov и А. М. Сухотин, Ж. физ. химии 33, 2414, 1959.
L. G. Longworth, J. Amer. Chem. Soc., 57, 1185, 1935.
Семерюк, Ж. прикл. химии, 28, 1240, 1955.

ION ASSOCIATION IN SOLUTIONS

IV. THE TRANSFERENCE NUMBERS AND THE NATURE OF ION TRIPLETS

A. M. Sukhotin (Leningrad)

Summary

Two variants of a procedure for measuring transference numbers in solutions of high specific resistance have been developed, and the transference numbers of LiBr and NaI solutions in butanol and its 40% mixture with hexane have been determined. The same values for the cation transference numbers in 0,002 N and in 0,1 N LiBr are in agreement with the assumption as to the absence of triplets in the solution. The increase in values of the transference numbers for the Li^+ and Na^+ cations on passing from butanol to the mixed solvent is probably connected with the partial desolvation of the cations.

РЕФРАКЦИЯ ВОДОРОДНОЙ СВЯЗИ В НЕОРГАНИЧЕСКИХ СОЕДИНЕНИЯХ

С. С. Бацанов

В течение последних лет на кафедре кристаллографии и кристаллохимии МГУ разрабатывался новый рефрактометрический метод изучения водородной связи [1—6]. В настоящей статье излагаются результаты, полученные в этом направлении.

Рефракция водородных связей в аммониевых солях. Методика определения рефракции водородных связей в аммониевых солях основана на сравнении разницы молярных рефракций ана-

Таблица 1
Разница ионных рефракций

Соединение	R_{∞}	ΔR_{NH_4}
NH_4BF_4	11,71	1,68
KBF_4	10,03	
NH_4J	20,58	
KJ	18,90	1,67
NH_4Cl	12,21	
KCl	10,54	
$(\text{NH}_4)_3\text{AlF}_6$	25,66	1,59
K_3AlF_6	20,90	
NH_4Br	15,08	
KBr	13,55	1,52
$(\text{NH}_4)_2\text{MnF}_5$	22,47	
K_2MnF_5	19,42	
$(\text{NH}_4)_3\text{FeF}_6$	28,67	1,37
K_3FeF_6	24,55	

логичных аммониевых и калиевых солей $\Delta R = R_{\text{NH}_4\text{X}} - R_{\text{KX}}$ для случаев наличия (или предположения) и отсутствия водородных связей.

В табл. 1 сопоставлены молярные рефракции солей, имеющих водородных связей; данные взяты из работ [1—6].

Из таблицы видно, что разницы молярных рефракций больше или меньше постоянны, ибо они обусловлены лишь различием * ионных рефракций аммония и калия и равны в среднем $1,58 \text{ см}^3$.

В табл. 2 выписаны молярные рефракции калиевых и аммониевых фторсодержащих солей

причем у последних имеются водородные связи типа $\text{N} - \text{H} \cdots \text{F}$. Сравнением экспериментальной разницы $\Delta R = R_{\text{NH}_4\text{X}} - R_{\text{KX}}$ со стандартным значением $\Delta R = 1,58 \text{ см}^3$ можно определить экзальтацию рефракции ER , обусловленную образованием ионом NH_4^+ водородных связей. Деление ER на четыре дает рефракцию одной водородной связи $\text{N} - \text{H} \cdots \text{F}$.

Экспериментальные значения рефракций взяты из экспериментальной части этой работы или из работ [1—6]. В том случае, когда значения рефракций изменены, даны соответствующие пояснения. Аналогично будут составлены и следующие таблицы.

Анализируя данные этой таблицы, можно сделать вывод, что рефракция водородной связи зависит от двух факторов. Во-первых, от валентности: в соединении двухвалентного марганца рефракция H -связи равна $0,12 \text{ см}^3$, а в соединении трехвалентного марганца — нулю (табл. 1). Во-вторых, от координации: во фтористом аммонии каждый атом фтора образует четыре связи по тетраэдру, а во фториде кремния на каждый атом фтора приходится, грубо говоря, по одному атому водорода. Естественно, что рефракция связи будет больше, когда атом фтора соединен не с четырь-

* В этих соединениях имеются, возможно, слабые водородные связи, но их обнаружение лежит за пределами чувствительности настоящего метода.

Таблица 2

Рефракция водородной связи N—H...F

Соединение	R_{∞}	$\Delta R_{\text{NH}}^{\dagger}$	ER_{∞}	$R_{\text{NH...F}}$
$(\text{NH}_4)_2\text{SiF}_6$	23,71			
K_2SiF_6	19,25	2,23	0,65	0,16
NH_4F	7,11			
KF	5,01*	2,10	0,52	0,13
NH_4MnF_3	13,62			
KMnF_3	11,54	2,08	0,50	0,12
NH_4HF_2	8,93			
KHF_2	7,07	1,86	0,28	0,07

* Пересчитано по уточненному значению плотности, определенной недавно в работе [7].

и атомами водорода, а с меньшим числом, поскольку при односторонней деформации электронные оболочки атомов искажаются сильнее, чем при всесторонней поляризации. Этот фактор действует настолько сильно, что компенсирует (см. NH_4MnF_3 и NH_4F) или даже перекрывает [см. $(\text{NH}_4)_2\text{SiF}_6$ и NH_4F] влияние центрального атома комплекса. Таким образом, несмотря на то что атом фтора в кремнефториде аммония находится в поле Si^{4+} , и, следовательно, его отрицательный заряд частично нейтрализован, а NH_4F является чисто ионным соединением, рефракция F-связи в первом случае больше.

Проведенное сопоставление показывает, что рефракция водородной связи N—H...F растет вместе с увеличением полярности атомов фтора и уменьшением координационного числа фтора по водороду. Поскольку эти же факторы сопровождают увеличение силы водородной связи, можно делать вывод, что рефракция и энергия водородной связи являются симбатными величинами.

В этой связи представляет интерес прямое сравнение результатов рентгеноструктурного и рефрактометрического изучения NH_4F и NH_4HF_2 : длина связи N—H...F в NH_4F равна 2,68 Å [8], рефракция 0,13 см³; связь N—H...F в NH_4HF_2 имеет длину 2,80 Å [8], рефракцию 0,07 см³. Следовательно, и в данном случае мы имеем увеличение рефракции водородной связи вместе с увеличением ее силы.

Итак, рефрактометрический метод позволяет не только обнаруживать связи N—H...F, но и оценивать их энергии.

В табл. 3 сопоставлены молекулярные рефракции аналогичных аммониевых и калиевых кислородсодержащих солей и вычислены экзальтации рефракций, обусловленные образованием водородных связей.

Соединения в табл. 3 выписаны в порядке возрастания силы поля центрального атома комплексов $[\text{ЭO}_n]^{m-}$, как можно представить на основании периодического закона. Из таблицы видно, что экзальтация рефракции, обусловленная образованием водородных связей типа N—H...O, изменяется в пределах от 0,19 до 0,55 см³ в расчете на один ион аммония, закономерно снижаясь по мере увеличения поляризующего действия центрального атома кислородсодержащего аниона. Последнее обстоятельство обусловлено уменьшением полярности связи Э—O и, следовательно, эффективного заряда на атоме кислорода.

Отмеченную зависимость количественно можно выразить в терминах концепции электроотрицательностей. Именно, чем больше электроотрицательность центрального атома, тем более ковалентна связь в комплексе.

В табл. 4 сопоставлены значения электроотрицательностей элементов с рефракциями водородных связей в солях с соответствующим центральным атомом.

Зависимость, как следует из табл. 4, совершенно монотонная. Поскольку сила водородной связи также пропорциональна полярности соответствующих атомов, очевидно, что изменение рефракций водородных связей происходит симбатно изменениям их энергий.

Таблица 3

Рефракция водородной связи $N-H \dots O$

Соединение	R_{∞}	$\Delta R_{NH_4^+}$	ER_{∞}
$(NH_4)_2C_2O_4 \cdot H_2O$	28,22		
$K_2C_2O_4 \cdot H_2O$	23,97	2,13	0,55
$NH_4H_2AsO_4$	21,47		
KH_2AsO_4	19,37	2,10	0,52
$(NH_4)_3Co(NO_2)_6$	74,57		
$K_3Co(NO_2)_6$	68,35	2,07	0,49
$NH_4H_2PO_4$	18,66		
KH_2PO_4	16,62	2,04	0,46
$(NH_4)_2Cr_2O_7$	46,59		
$K_2Cr_2O_7$	42,53	2,03	0,45
$(NH_4)_2HPO_4$	23,54		
K_2HPO_4	19,50*	2,02	0,44
$(NH_4)_2SeO_4$	26,06		
K_2SeO_4	22,08	1,99	0,41
NH_4HCO_3	14,62		
$KHCO_3$	12,77	1,85	0,27
$(NH_4)_2SO_4$	22,42		
K_2SO_4	18,73	1,85	0,27
NH_4NO_2	12,68		
KNO_2	10,87	1,81	0,23
NH_4VO_3	21,75		
KVO_3	19,96	1,79	0,21
NH_4NO_3	14,16		
KNO_3	12,38	1,78	0,20
NH_4ClO_4	16,92		
$KClO_4$	15,15	1,77	0,19

* Пересчитано на основе $n_p^{\infty} = 1,471$, полученного при уточнении экстраполяции.

Следует еще указать на различие рефракций одних и тех же видов водородной связи, именно в NH_4NO_2 и $(NH_4)_3Co(NO_2)_6$. В первом случае рефракция водородной связи более чем вдвое меньше рефракции такой же связи в гексанитрите аммония. Различие рефракций обусловлено здесь, как и в случае связей $N-H \dots F$, различием в числе атомов водорода, с которыми образует связь кислород. В нитрите аммония на каждый атом кислорода приходится два атома, а в гексанитрите — только один атом водорода.

В табл. 5 приведены рефракции азотсодержащих аммониевых и калиевых солей. При вычислении рефракций отдельных связей $N-H \dots N$ принималось во внимание, что атом азота может образовать только четыре

и (по тетраэдру), и если он соединен уже с несколькими атомами, число водородных связей представляет собой остаток от четырех. Точности расчета см. в [4].

Сравнение данных табл. 5 с предыдущими значениями рефракций водородных связей показывает, что в данном случае мы имеем существенное понижение рефракций водородных связей. Для роданистого аммония обстоятельство может быть увязано с особым строением SCN^- группы, которая по данным структурного анализа [9] представляется виде $\text{S}^+ = \text{C} = \text{N}^-$. Дополнительный отрицательный заряд на атоме азота повышает энергию и рефракцию водородной связи.

Исходя из этого параллелизма и было сделано предположение, что и циано-группа в комплексах железа имеет аналогичное строение:

$\text{Fe} = \text{N}^-$, поскольку рефракция связи $\text{N} - \text{H} \dots \text{N}$ в аммонийном аналоге той кровяной соли аномально высока. Повышение положительного заряда атома железа снижает, как видно из табл. 5, рефракцию водородных связей. Таким образом и в случае связей $\text{N} - \text{H} \dots \text{N}$ рефрактометрия позволяет делать не только качественные, но и в какой-то мере количественные заключения о характере водородных связей.

Таблица 4

Зависимость рефракции Н-связи от электроотрицательностей

Элемент	Электроотрицательность	$R_{\text{H} \dots \text{O}}$
As	2,0	0,13
P	2,1	0,12
Se	2,4	0,10
S	2,5	0,07
C	2,5	0,07
N	3,0	0,05
Cl	3,0	0,05

Таблица 5

Рефракция водородной связи $\text{N} - \text{H} \dots \text{N}$

Соединение	R_{∞}	ΔR_{∞}	ER_{∞}	$R_{\text{NH} \dots \text{N}}$
$(\text{NH}_4)_4\text{Fe}(\text{CN})_6 \cdot 1,5\text{H}_2\text{O}$	71,08	2,24	0,66	0,25
$\text{K}_4\text{Fe}(\text{CN})_6$	59,27			
NH_4SCN	19,77			
KSCN	17,80	1,97	0,39	0,19
NH_4N_3	14,66			
KN_3	12,52			
$(\text{NH}_4)_3\text{Fe}(\text{CN})_6$	61,25	1,98	0,40	0,10
$\text{K}_3\text{Fe}(\text{CN})_6$	55,30			

Рефракция водородной связи в кристаллод р а т а х. Вопрос о рефракции водородной связи $\text{O} - \text{H} \dots \text{X}$ решается вниманием собственного значения рефракции воды с величиной рефракции кристаллизационной воды, входящей в состав таких солей, где имели или могут быть водородные связи.

В табл. 6 выписаны рефракции кристаллизационной воды по данным кристаллогидратов, у которых отсутствуют водородные связи.

Данные таблицы показывают, что собственное значение рефракции кристаллизационной воды равно в среднем $3,43 \pm 0,05 \text{ см}^3$.

Это значение сопоставлено в табл. 7 с величинами рефракций воды. а и различных кристаллогидратов. Рефракции отдельных связей $\text{H} \dots \text{O}$ рассчитаны, как и в прежних случаях, делением всей экзальтанта на число атомов водорода.

Рассматривая данные, сведенные в эту таблицу, можно сделать несколько важных выводов. Во-первых, бросается в глаза резкое различие рефракциях водородных связей $\text{O} - \text{H} \dots \text{O}$ и $\text{O} - \text{H} \dots \text{F}$ от $\text{O} - \text{H} \dots \text{N}$. В последнем случае рефракция превышает почти вдвое рефракцию водо-

родной связи льда, который может считаться своего рода эталоном. Это обстоятельство подтверждает высказанное ранее положение об избыточном заряде на циано-группе в желтой кровяной соли.

Сравнение рефракций водородных связей в фосфатах калия и натрия показывает, что при замене во внешней сфере комплексного иона, менее электроотрицательного, на более электроотрицательный атом происходит

Таблица 6

Рефракция кристаллизационной воды

Соединение	R_{∞}	R_{H_2O}
NaBr · H ₂ O	18,14	3,47
NaBr	11,20	
LiOH · H ₂ O	7,70	3,47
LiOH	4,23	
BaCl ₂ · 2H ₂ O	26,99	3,43
BaCl ₂	20,14	
[Co(NH ₃) ₄ CO ₃] ₂ SO ₄ · 3H ₂ O	91,79	3,40
[Co(NH ₃) ₄ CO ₃] ₂ SO ₄	81,60	
[Pt(NH ₃) ₂ (NO ₂) ₂ Cl ₂]H ₂ O	52,72	3,36
[Pt(NH ₃) ₂ (NO ₂) ₂ Cl ₂]	49,36	

увеличение рефракции связи. Если учесть, что при такой замене не возрастает ионность связи в комплексе [PO₄], можно сделать заключение о симбатности изменений энергии и рефракции водородных связей при изменении полярности атомов.

Сравнение данных табл. 2 с данными табл. 2, 3 и 5 показывает также, что рефракции аналогичных связей O—H...X и N—H...X одинаковы. Электроотрицательности азота и кислорода различны — 3,0 и 3,5 соответственно, — но при образовании иона NH₄⁺ происходит возрастание электроотрицательности азота на 0,4 из-за увеличения положительного заряда [11]. Таким образом тождественность рефракций водородных связей, образуемых кристаллизационной водой и ионом аммония, соответствует одинаковому характеру атомов водорода в этих радикалах и липний раз указывает на правомочность использования рефрактометрии для количественного изучения водородной связи в неорганических соединениях.

Рефракции водородной связи в основаниях, кислотах, кислых и основных солях. Метод определения также основан на свойстве аддитивности молекулярных рефракций.

Рассматривая процесс взаимодействия иона кислорода с молекулой воды, видно, что рефракции правой и левой частей уравнения

Таблица 7

Рефракция H-связи в кристаллогидратах

Соединение	R_{∞}	R_{H_2O}	ER_{∞}	$R_{OH...X}$	H-связь
K ₄ Fe(CN) ₆ · 3H ₂ O	70,94	3,89	0,46	0,23	OH...N
K ₄ Fe(CN) ₆	59,27				
Na ₃ HPO ₄ · 12H ₂ O	60,50[10]	3,73	0,30	0,15	
Na ₃ HPO ₄ · 7H ₂ O	41,86[10]				
Л е д		3,68	0,25	0,13	
K ₂ HPO ₄ · 3H ₂ O	30,45	3,67	0,24	0,12	OH...O
K ₂ HPO ₄	19,43				
В о д а		3,66	0,23	0,12	
SrCl ₂ · 6H ₂ O	39,48	3,63	0,20	0,10	
SrCl ₂	17,72				
CaSO ₄ · 2H ₂ O	22,41	3,57	0,14	0,07	OH...F
CaSO ₄	15,27				
KF · 2H ₂ O	12,07	3,53	0,10	0,05	
KF	5,01				

не одинаковы:

$$\begin{aligned} \text{O}'' + \text{H}_2\text{O} &= 2\text{OH}' \\ 6,63 + 3,43 &\neq 2 \times 4,61. \end{aligned}$$

Именно, при образовании иона гидроксила имеет место уменьшение рефракции на $0,84 \text{ см}^3$. При взаимодействии ковалентно-связанных атомов получается другой результат:

$$\begin{aligned} \text{O} + \text{H}_2\text{O} &= 2\text{OH} \\ 1,49 + 3,43 &\neq 2 \times 2,49, \end{aligned}$$

т. е. имеет место увеличение рефракции на $0,06 \text{ см}^3$. Поскольку изученные нами гидроокиси обладают промежуточными по характеру связями (в среднем около 80% ионности), то и поправка должна лежать между этими крайними значениями. Из кривых, приведенных в [12], находим, что она равняется $0,30 \text{ см}^3$.

Идея определения рефракций водородных связей в гидроокисях, таким образом, состоит в сравнении вычисленной рефракции (рефракция окисла + рефракция воды — $0,3 \text{ см}^3$) с экспериментально определенной. Тожество расчетов с опытом будет указывать на отсутствие водородных связей, превышение опытной величины дает указание на наличие водородных связей.

В табл. 8 суммированы результаты подобных расчетов.

Таблица 8

Рефракции водородных связей в кристаллических гидроокисях

Окислы	$R_{\text{окисла}}$	Гидроокиси	$R_{\text{опыт гидроок.}}$	$R_{\text{гидроок.}}^{\text{выч}}$	$R_{\text{O—H...O}}$
Al_2O_3	10,47	AlOOH	7,08	6,78	0,30
BeO	3,10	$\text{Be}(\text{OH})_2$	6,63	6,19	0,22
ZnO	6,88	$\text{Zn}(\text{OH})_2$	10,40	9,97	0,22
B_2O_3	10,18	$\text{B}(\text{OH})_3$	10,26	9,72	0,18
Fe_2O_3	19,82	FeOOH	11,62	11,48	0,16
Al_2O_3	10,47	$\text{Al}(\text{OH})_3$	10,16	9,87	0,10
Li_2O	5,20	LiOH	4,23	4,14	0,09
MgO	4,43	$\text{Mg}(\text{OH})_2$	7,67	7,52	0,07
CaO	7,19	$\text{Ca}(\text{OH})_2$	10,28	10,28	0

Для проверки надежности результатов рефрактометрического изучения водородных связей в гидроокисях сопоставим их с данными спектроскопических и рентгеноструктурных исследований. В последних случаях водородные связи считаются тем сильнее, чем дальше смещена в инфракрасную область характеристическая полоса ОН-группы и чем меньше ее радиус. В табл. 9 приведены соответствующие данные [13, 14].

Сравнивая данные табл. 8 и 9, можно видеть, что рефракции водородных связей растут в общем в том же порядке, в каком увеличиваются энергии этих связей, как об этом можно судить по результатам спектро- и рентгенографических исследований. Исключением, до некоторой степени, являются гидроокиси бериллия и цинка, но если учесть, что в отношении их расходятся также спектральные и рентгеновские данные, можно сделать общий вывод о правомочности применения рефрактометрии для обнаружения и оценки силы водородных связей в кристаллических гидроокисях.

Точно таким же, в принципе, приемом, как в случае гидроокисей, можно рассчитать рефракции анионов кислых солей и, сравнив с ними экспериментальные значения, определить величины рефракций водородных связей. Расчет ведется по схемам: $\text{ЭO}_n + \text{O}'' = \text{ЭO}_{n+1}'$ и $\text{ЭO}_n + \text{OH}' = \text{ЭO}_{n+1}'$. Используя значения рефракций ионов кислорода, гидрокси-

ла, нейтральных окислов и карбонат- и бикарбонат-ионов можно определить рефракции связей $\text{OH} \dots \text{O}$; подробности расчетов см. в [6].

Сложность расчетов при определении рефракций водородных связей в кислых солях вызвала необходимость проверки значений рефракций связей другим независимым методом. В качестве такового мы избрали расчеты на основе изменения рефракции иона при присоединении к нему протона.

Таблица 9

Результаты спектральных и рентгеновских исследований гидроокисей

Соединение	γ, μ	$\rho_{\text{ОН}}, \text{\AA}$
$\text{Ca}(\text{OH})_2$	2,71	1,63
$\text{Mg}(\text{OH})_2$	2,78	1,61
LiOH	2,80	1,50
$\text{Be}(\text{OH})_2$	3,00	1,43
$\text{Al}(\text{OH})_3$	3,02	1,39
FeOOH	3,20	1,35
$\text{V}(\text{OH})_3$	3,23	1,35
$\text{Zn}(\text{OH})_2$	3,24	1,41
AlOOH	3,43	1,33

содержащих кислот, можно вычислить теоретическое значение соответствующих кислых ионов и кислот и затем сравнить их с опытными величинами. Соответствующие расчеты нами были проделаны [6], и их результаты, усредненные вместе с вычислениями по приведенным выше схемам, даются в табл. 11. Предварительно определим рефракцию водородной связи в бифториде калия, которая отсутствует в наших работах.

Ион фтора из-за своей маленькой величины не деформируется под действием иона калия. Обратным влиянием иона HF_2' также можно пренебречь, так как заряд на каждом атоме фтора вдвое меньше обычного и существенным образом разрыхлить электронную оболочку катиона он не может. Поэтому для вычислений мы можем воспользоваться стандартным значением ионной рефракции фтора $2,40 \text{ см}^3$ [12]. Вычислим теоретическое значение рефракции иона HF_2' , учитывая, что протон влияет на оба атома фтора. Уменьшение рефракции (21,3% от 4,80) составляет $1,02 \text{ см}^3$, откуда рефракция бифторид-иона $3,78 \text{ см}^3$. Опытное значение (см. табл. 2) равно

Таблица 11

Рефракции водородных связей в кислотах и солях

Кислоты	$R_{\text{XH} \dots \text{X}}$	Кислые соли	$R_{\text{XH} \dots \text{X}}$	Аммониевые соли	$R_{\text{NH} \dots \text{X}}$
HNO_3	0,58	KNH_2	1,05	NH_4HF_2	0,07
H_2SO_4	0,65	—	—	NH_4NO_3	0,05
		KHSO_4	0,33	$(\text{NH}_4)_2\text{SO}_4$	0,07
		KHCO_3	0,41	NH_4HCO_3	0,07
		K_2HPO_4	0,56	$(\text{NH}_4)_2\text{HPO}_4$	0,11
		KH_2PO_4	0,62	$\text{NH}_4\text{H}_2\text{PO}_4$	0,12
H_3PO_4	0,71				
$\text{H}_3\text{Fe}(\text{CN})_6$	1,08			$(\text{NH}_4)_3\text{Fe}(\text{CN})_6$	0,10
$\text{H}_4\text{Fe}(\text{CN})_6$	2,02			$(\text{NH}_4)_4\text{Fe}(\text{CN})_6 \cdot 1,5 \text{ H}_2\text{O}$	0,25

Таблица 10
Протонное сжатие

Ионы	Cl'	Br'	I'
R_X^∞	8,30	11,31	16,66
$R_{\text{H}X}^\infty$	6,51	8,87	13,21
$\Delta R: R_X, \%$	21,6	21,6	20,7

7 — $2,24 = 4,83 \text{ см}^3$, что на $1,05 \text{ см}^3$ превышает теоретически рассчитанную величину. Последнее значение и является рефракцией водородной связи в бифториде калия. Следует еще заметить, что рефракции водородных связей в азотной и серной кислотах были нами дополнительно разделены «органическим» методом [16,6] и также приняты во внимание при усреднении величин рефракций водородных связей.

В табл. 11 сопоставлены рефракции одинаковых видов водородных связей в кислотах, кислых и средних солях.

Из таблицы видно, что кислоты имеют рефракции водородных связей приблизительно в десять раз больше, чем соответствующие аммониевые соли, а кислые соли приблизительно в 5—6 раз больше. Эта закономерность связана с тем, что накопление во внешней сфере комплексов высокоэлектроотрицательных атомов водорода резко увеличивает полярность ионов во внутренней сфере, что вызывает увеличение энергии и соответственно рефракции водородных связей. Следует отметить, что рефракция водородных связей в железосинеродистых кислотах равна или даже превышает самую сильную из известных в неорганической химии водородных связей — в бифториде калия. Это обстоятельство снова подтверждает высказанное нами предположение о строении циано-группы.

Рефракции водородной связи в водных растворах. Рефракцию связи $\text{N} \cdots \text{H} \cdots \text{O}$ в растворах можно определить путем сравнения ионных рефракций NH_4^+ для кристаллического и растворенного в воде состояния. Обычно катионы в кристаллическом состоянии имеют рефракцию, равную или большую, чем в растворах (уменьшение рефракции обусловлено изменением рефракции молекул воды, см. [17]). Исключение составляет ион аммония, который в воде имеет большую электронную поляризуемость, чем в кристалле: $4,26$ [18] и $3,82$ ($1,58 + 2,24$, см. табл. 1 и [18]). Повышение рефракции вызвано образованием водородных связей $\text{N} \cdots \text{H} \cdots \text{O}$. Экзальтация рефракции ($0,44 \text{ см}^3$) соответствует четырем связям, отсюда $R_{\text{NH} \cdots \text{O}} = 0,11 \text{ см}^3$. Как и в случае кристаллических веществ, рефракции водородной связи молекул воды ионов аммония с одними и теми же атомами практически совпадают $0,13$ (см. табл. 7) и $0,11 \text{ см}^3$ соответственно).

В работе Фаянса [15] отмечается, что рефракция ионов F^- и OH^- (в отличие от других ионов) при переходе от газообразного в растворенное состояние увеличивается: $R_{\text{газ}}^{\text{F}^-} = 2,40$ и $R_{\text{раств.}}^{\text{F}^-} = 2,54 \text{ см}^3$; $R_{\text{газ}}^{\text{OH}^-} = 4,61$ и $R_{\text{раств.}}^{\text{OH}^-} = 4,90 \text{ см}^3$. Поскольку ионы фтора и гидроксила занимают в структуре воды место молекул H_2O , которые дают связи с тетраэдру — две связи дают атомы водорода данной молекулы и две связи с кислородом этой молекулы дают соседние молекулы воды — ясно, что завышение рефракции в случае иона фтора обусловлено двумя связями $\text{OH} \cdots \text{F}$ и на рефракцию одной такой связи приходится $0,07 \text{ см}^3$, что хорошо согласуется с данными табл. 7 по $\text{KF} \cdot 2\text{H}_2\text{O}$, а в случае иона гидроксила экзальтация рефракции вызвана образованием связи $\text{H} \cdots \text{O}$ атома водорода из OH с кислородом соседней молекулы воды, а также двух связей молекул воды с кислородом OH -иона и, следовательно, $R_{\text{OH} \cdots \text{O}} = 0,10 \text{ см}^3$, что также хорошо соответствует данным табл. 8.

Приведенные выше факты и сопоставления говорят о том, что рефрактометрический метод позволяет количественно изучать водородные связи в неорганических соединениях, и в этом отношении он ничем не хуже спектроскопического или рентгеноструктурного методов исследования водородной связи, но имеет перед ними два существенных преимущества — быстроту и нетребовательность к качеству исследуемого образца. Дальнейшее развитие рефрактометрического метода изучения водородной связи должно идти по линии уточнения методов расчета молекулярных рефракций, что позволит увеличить его чувствительность и привести в более точное соответствие рефракции различных видов водородных связей.

Экспериментальная часть

Как уже указывалось выше, большинство экспериментальных данных было взято из наших статей, посвященных систематическому изучению водородной связи в неорганических соединениях. Некоторые соединения мы измерили впервые и результаты сведены в табл. 12 и 13.

Таблица 12

Дисперсия показателей преломления

Соединение	n	λ , мμ						
		486	520	555	589	620	656	∞
NH_4HF_2	n_g	1,397	1,396	1,395	1,394	—	1,393	1,390
	n_m	1,393	1,392	1,391	1,390	—	1,389	1,386
	n_p	1,388	1,387	1,386	1,385	—	1,384	1,381
KNH_2	n_m	1,358	1,357	1,356	1,355*	1,354	1,353 ₅	1,350
	n_p	1,353	1,352	1,351	1,350	1,349	1,348 ₅	1,345
	n_g	1,573	1,568	1,564	1,560	1,557	1,554	1,532
$\text{K}_2\text{C}_2\text{O}_4 \cdot \text{H}_2\text{O}$	n_m	1,503	1,499	1,496	1,493	1,491	1,489	1,468
	n_p	1,442	1,438 ₅	1,436	6,434	1,432 ₅	1,431 ₅	1,420

* Измерено впервые.

Таблица 13

Молярные рефракции кристаллических солей

Соединение	M	d	\bar{n}_∞	R_∞
NH_4HF_2	57,05	1,500	1,386	8,93
KNH_2	94,13	2,364	1,348	7,07
$(\text{NH}_4)_2\text{C}_2\text{O}_4 \cdot \text{H}_2\text{O}$	142,12	1,501	1,507 [19]	28,22
$\text{K}_2\text{C}_2\text{O}_4 \cdot \text{H}_2\text{O}$	184,23	2,152	1,472	23,97

Дисперсию показателей преломления мы измеряли иммерсионным методом при помощи монохроматора УМ-2, плотности — пикнометрически с отсасыванием воздуха из кристаллов.

Показатели преломления n_∞ были усреднены нами по формулам $\bar{n} = \sqrt[3]{n_g n_m n_p}$ и $\bar{n} = \sqrt[3]{n_m^2 n_p}$ и использованы вместе со значениями плотностей для вычисления молекулярных рефракций.

Выводы

1. Определены рефракции водородных связей типа N—H...X . Показано, что рефракции этих связей изменяются симбатно их силам.
2. Определены рефракции водородных связей типа O—H...X в различных кристаллогидратах, причем величины рефракций H-связей увеличиваются по мере увеличения сил этих связей.
3. Определены рефракции водородных связей в основаниях, кислотах, и основных солях. Рефрактометрические данные паходятся в соответствии с результатами спектроскопических и рентгеновских исследований.

Поступила
15.11.1958

ЛИТЕРАТУРА

1. Г. Б. Бокий, С. С. Бацанов, Докл. АН СССР, 92, 1179, 1953.
2. С. С. Бацанов, Вестн. МГУ, № 9, 95, 1954.
3. С. С. Бацанов, А. С. Сонин, Кристаллография, 1, 321, 1956.
4. С. С. Бацанов, Кристаллография, 1, 328, 1956.
5. С. С. Бацанов, Ж. неорган. химии, 2, 628, 1957.
6. С. С. Бацанов, Вестн. МГУ, № 3, 177, 1958.
7. K. Sprangen berg, Naturwissenschaften, 43, 394, 1956.
8. M. Rogers, L. Helmgolz, J. Amer. Chem. Soc., 62, 1533, 1940.
9. Г. С. Жданов, З. В. Звонкова, Успехи химии, 22, 1, 1953.
10. M. Dufet, Bl. Soc. Min., 10, 79, 1887.
11. Л. Паулинг, Природа химической связи, Госхимиздат, 1947.
12. С. С. Бацанов, Ж. неорган. химии, 3, 241, 1958.
13. K. Nakamoto, M. Margoshes, R. Rundle, J. Amer. Chem. Soc., 77, 6480, 1955.
14. W. Klemm, Z. anorgan. Chem., 283, 111, 1956.
15. K. Fajans, Z. phys. Chem., 24, 103, 1934.
16. С. С. Бацанов, В. И. Пахомов, Ж. физ. химии, 31, 170, 1957.
17. С. С. Бацанов, Успехи химии, 24, 688, 1955.
18. N. Bauer, K. Fajans, J. Amer. Chem. Soc., 64, 3023, 1942.
19. H. Merwin, Internat. Crit. Tables, 7, 29, 1926.

REFRACTION OF THE HYDROGEN BOND IN INORGANIC COMPOUNDS

S. S. Batsanov (Moscow)

Summary

The refraction of hydrogen bonds of the type $N-H\cdots X$ has been determined. The refraction of these bonds has been shown to parallel their strengths.

Determination of the refraction of the $O-H\cdots X$ type of hydrogen bonds in various crystal hydrates has shown it to increase with increasing bond strength.

Determination of the refraction of hydrogen bonds in bases, acids and acid and basic salts has shown that these data are in agreement with the results of spectroscopic and x-ray analyses.

ЗАКОНОМЕРНОСТИ ЗАМЕЩЕНИЯ АТОМОВ ВОДОРОДА В БЕНЗОЛЬНОМ ЯДРЕ АЛКИЛЬНЫМИ ГРУППАМИ

VI. К ВОПРОСУ О РАВНОВЕСИИ В ПРОЦЕССАХ АЛКИЛИРОВАНИЯ
БЕНЗОЛА ПРОПИЛЕНОМ В ПРИСУТСТВИИ ХЛОРИСТОГО АЛЮМИНИЯ
И ФТОРИСТОГО ВОДОРОДА

В. Г. Плюнин и Е. П. Бабин

В работах [1, 2] впервые экспериментально была подтверждена обратимость реакции алкилирования и наличие равновесия между продуктами реакции, комплексом и исходным сырьем. Ими было показано, что равновесный состав продуктов реакции (алкилирования или дезалкилирования) зависит только от соотношения алкильных радикалов и бензольных ядер в реакционной смеси, т. е. от молярного соотношения олефин-бензол.

Значительно ранее обратимые реакции были использованы для увеличения выходов моноалкилбензола, путем введения в реакционную среду полиэтил- [3—5] или диизопропилбензолов [6], а также при изучении реакции перераспределения алкильных групп с образованием равновесных смесей соединений с различной степенью замещения [7—14].

Представляло интересным выяснить наличие равновесия при фтористом водородном алкилировании и обратимость процесса на каждой ступени последовательного замещения атомов водорода алкильными группами.

Для выяснения первого вопроса были вторично обработаны катализатором (фтористый водород, хлористый алюминий) промытые и высушенные соответствующие алкилаты в течение 3 час.

Таблица 1

Влияние хлористого алюминия на состав системы

Вещество	n = 1,042		n = 1,838		n = 2,782	
	до обработки	после обработки	до обработки	после обработки	до обработки	после обработки
Бензол	17,1	17,8	2,8	2,3	0,6	0,3
Моноизопропилбензол	49,2	45,8	20,9	21,5	1,3	1,5
Диизопропилбензол	27,3	28,6	53,1	54,0	23,0	23,5
Триизопропилбензол	6,4	7,8	23,2	22,2	66,3	65,1
Тетраизопропилбензол	—	—	—	—	8,4	9,6

Таблица 2

Влияние фтористого водорода на состав систем

Вещество	n = 1,160		n = 1,993		n = 3,016	
	до обработки	после обработки	до обработки	после обработки	до обработки	после обработки
Бензол	15,7	15,7	4,4	3,1	0,2	—
Изопропилбензол	40,7	41,0	19,3	20,2	6,2	6,7
Диизопропилбензол	35,2	36,0	42,4	43,7	15,3	15,0
Триизопропилбензол	8,4	7,3	28,1	26,9	43,3	43,7
Тетраизопропилбензол	—	—	5,8	6,1	35,0	34,6

Как показывают данные табл. 1 и 2, состав алкилатов до и после обработки как хлористым алюминием, так и фтористым водородом остается практически неизменным при различных значениях молярного отношения олефин — бензол п.

Таким образом химическое равновесие между продуктами алкилирования устанавливается в процессе алкилирования, по мере поступления олефина в реактор и равновесный состав продуктов алкилирования определяется только соотношением реагирующих компонентов для данного катализатора алкилирования.

При изучении дезалкилирования моно-, ди- и триизопропилбензолов под влиянием 97—98%-ного фтористого водорода (0,5 моля) при 20° и хлористого алюминия (0,03 моля) при 60° было выявлено наличие обратимых реакций в указанных процессах.

В работах [1, 2] было показано, что при дезалкилировании моно- и диалкилбензолов содержание моноалкилбензола в продуктах реакции асимптотически стремится к количеству моноалкилбензола в продуктах алкилирования бензола олефином при эквимолекулярном отношении олефин—бензол.

Н. Н. Лебедев с соавторами [15] установили близкие по составам продукты дезалкилирования и алкилирования бензола олефином при равном отношении алкильных групп к бензольному ядру.

Исходя из указанного, следует допустить, что при наличии обратимых реакций при дезалкилировании следует считать их проходящими и при алкилировании, поскольку процесс алкилирования и дезалкилирования является равновесным [1, 2].

Для исследования реакции перераспределения алкильных групп были использованы изопропилбензол (т. кип. 150—151°, d_4^{20} 0,8621, n_D^{20} 1,4922), диизопропилбензольная фракция (т. кип. 198—212°, d_4^{20} 0,8560, n_D^{20} 1,4889) и триизопропилбензольная фракция (т. кип. 225—235°, d_4^{20} 0,8552, n_D^{20} 1,4885).

Из табл. 3 видно, что процесс перераспределения алкильных групп в присутствии хлористого алюминия является равновесным, но не для всех веществ обратимым.

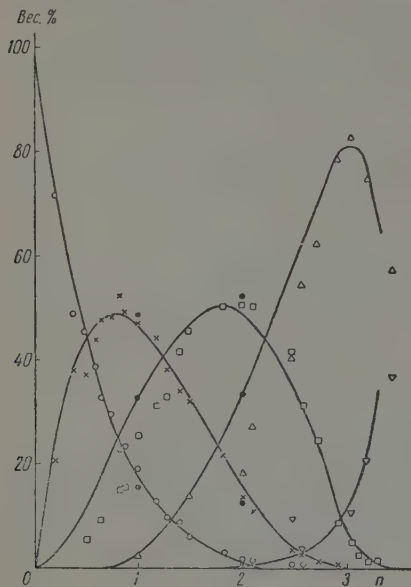
Таблица 3

Дезалкилирование алкилбензолов с хлористым алюминием

Фракции	Время обработки, часы									
	5 мин.	10 мин.	0,33	0,5	1,0	2,0	3,0	4,0	6,0	8,0
Изопропилбензол										
Бензол	14,0	15,1	16,6	17,6	17,7	—	16,6	16,8	17,0	16,8
Моно-	55,7	52,2	50,4	50,1	50,2	—	51,1	50,9	50,4	50,2
Диизопропилбен- зол	30,3	32,7	33,0	32,3	32,1	—	32,3	32,3	32,6	33,0
Диизопропилбензол										
Бензол	—	—	—	0,2	0,6	0,8	—	0,5	1,0	0,7
Моно-	—	—	—	13,8	15,1	15,1	—	15,2	15,2	15,5
Ди-	—	—	—	63,4	57,3	36,3	—	56,3	56,2	56,3
Триизопропилбен- зол	—	—	—	22,6	27,0	27,8	—	29,0	27,6	27,5
Триизопропилбензол										
Бензол	—	—	—	—	—	—	—	—	—	—
Моно-	—	—	—	—	—	—	—	—	—	—
Ди-	—	—	—	—	—	—	—	—	—	—
Триизопропилбен- зол	—	—	—	100	100	100	100	100	100	100

Если для изопропилбензола равновесие между образующимися при д- алкилировании алкилбензолами устанавливается через 30 мин. и д- диизопропилбензола через один час, то триизопропилбензол даже по восьмичасовой обработки остается неизменным.

Образующиеся при дезалкилировании продукты по своему составу близки к составам продуктов алкилирования при соответствующих значениях молярных отношений олефинбензол. На рисунке приводятся кривые состава системы при алкилировании бензола пропиленом при 60°



Весовой состав системы при алкилировании бензола пропиленом при различных молярных соотношениях: O — бензол; x — моноизопропилбензол; □ — диизопропилбензол; Δ — триизопропилбензол; ▽ — тетраизопропилбензол

Весовое соотношение между растворителями и тетраизопропилбензолом 2 : 1. Продолжительность обработки 6 часов.

В табл. 4 приводятся результаты анализа продуктов, полученных после обработки тетраизопропилбензола хлористым алюминием и фтористым водородом. При обработке хлористым алюминием приведен раздельный анализ верхнего углеводородного и катализаторного слоев. Для продуктов, полученных после обработки фтористым водородом, дан анализ только углеводородного слоя, так как в слое катализатора растворяется незначительное количество маслянистых углеводородов. Последние являются полимерами пропилена, практически не содержащими ароматических углеводородов (растворимость ароматических углеводородов во фтористом водороде около 2% [16]).

Из табл. 4 видно, что при обработке раствора тетраизопропилбензола в *n*-гептане хлористым алюминием происходит отщепление алкильных групп с последующим образованием полимерных продуктов, содержащихся в катализаторном слое. Углеводородный слой содержит практически чистый тетраизопропилбензол. Та же картина наблюдается после обработки ки фтористым водородом.

Обработка тетраизопропилбензола в бензольном растворе хлористым

0,03 моля хлористого алюминия на моль бензола. При сравнении результатов дезалкилирования (табл. 3) с составом продуктов, полученных при алкилировании при одинаковых молярных соотношениях, видно, что они близки между собой. Исключением является триизопропилбензол.

Аналогичная обработка моно-, ди- и триизопропилбензолов фтористым водородом не приводит к перераспределению алкильных групп и продукты обработки по своему составу тождественны составу исходного сырья.

Тетраизопропилбензол обрабатывался катализаторами растворителях, реагирующих не реагирующих с ними. Таким растворителями были взяты бензол и *n*-гептан.

Исходный тетраизопропилбензол был дважды перекристаллизован из этилового спирта (т.пл. 115,7°) и являлся чистым 2, 4, 5-тетраизопропилбензолом, являющимся единственным изомером в продуктах алкилирования с хлористым алюминием и фтористым водородом.

Таблица 4

Дезалкилирование тетраизопропилбензола

	Хлористый алюминий				Фтористый водород	
	н-Гептан		Бензол		н-Гептан	Бензол
	угле- водородн. слой	катализаторн. слой	угле- водородн. слой	катали- заторн. слой	углеводо- родный слой	угле- водородн. слой
Выход в % от смеси остав слоев, вес. %	96,0	4,0	93,6	6,4	99,1	99,3
Растворитель	70,8	Высоконепре-	36,7	—	66,0	55,2
Моно-	—	дельный смо-	49,2	36,5	—	13,7
Ди-	—	листый про-	9,4	11,5	—	1,5
	—	дукт				
Три-	—		4,0	34,3	—	19,3
Тetraизопропилбен-	29,2		10,0	21,8	34,0	13,3
зол и полимеры						

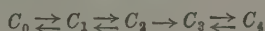
алюминием приводит к образованию моно-, ди- и триизопропилбензолов, причем неизменного тетраизопропилбензола остается незначительное количество (суммарный выход по обоим слоям составляет около 14,7 %).

Аналогичная обработка раствора тетраизопропилбензола в бензоле фтористым водородом также приводит к образованию тех же продуктов, но выходы их значительно ниже, чем с хлористым алюминием. Таким образом фтористый водород как катализатор реакций дезалкилирования менее эффективен, нежели хлористый алюминий.

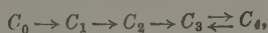
На основании вышеописанного материала можно заключить, что первая, вторая и четвертая ступени последовательной реакции алкилирования обратимы в реакциях с хлористым алюминием. При алкилировании с фтористым водородом обратима только четвертая ступень реакции.

В связи с этим последовательную реакцию алкилирования бензола пропиленом можно изобразить схемами:

в присутствии хлористого алюминия



в присутствии фтористого водорода



и называть обратимо-последовательными реакциями. Рекомендуемое название реакции особенно применимо для реакций, проводимых в присутствии катализаторов типа хлористого алюминия.

Выводы

1. Показано, что алкилирование бензола олефинами является равновесной реакцией. Алкилирование, проводимое в присутствии фтористого водорода, необратимо на всех ступенях последовательной реакции, за исключением последней. Алкилирование, проводимое в присутствии хлористого алюминия, — обратимо на первой, второй и четвертой ступенях. Третья ступень является необратимой.

2. Изучен состав продуктов дезалкилирования алкилбензолов в присутствии хлористого алюминия. Показано, что состав продуктов дезалкилирования близок к составу алкилата, полученного при алкилировании бензола в молярном соотношении олефин — бензол, равном числу алкильных групп исходного алкилбензола.

ЛИТЕРАТУРА

1. М. А. Далин, П. И. Маркосов, Р. И. Шендорова, Вопросы химической кинетики, катализа и реакционной способности, Изд-во АН СССР, 1957.
2. М. А. Далин, П. И. Маркосов, Р. И. Шендорова, Т. В. Прокофьева, Алкилирование бензола олефинами, Госхимиздат, 1957.
3. E. L. Cline, E. E. Reid, J. Amer. Chem. Soc., 49, 3150, 1927.
4. Ю. С. Залкинд, Г. М. Беркович, М. Амусин, Пласт. массы, 14, 1934.
5. S. Hanai, J. Chem. Soc. Japan, 62, 1216, 1941.
6. А. В. Топчиев, Я. М. Паушкин, М. В. Курашев, Докл. АН СССР, 88, 849, 1953; 91, 1141, 1953.
7. М. Н. Орлов, Л. С. Солодарь, Ж. прикл. химии, 8, 117, 1935.
8. С. Н. Попов, Азерб. нефт. х-во, № 7—8, 121, 1934.
9. D. V. Nightingale, Chem. Rev., 25, 329, 1939.
10. K. Shishido, S. Fukui, J. Chem. Soc. Industr. Japan, Suppl. Bind., 4, 11, 1945; C. A. 42, 6332, 1948.
11. A. P. Lien, D. A. McCaulau, J. Amer. Chem. Soc., 75, 2407, 2411, 1953; 79, 5808, 5953, 1957.
12. H. C. Brown, Ch. R. Smoot, J. Amer. Chem. Soc., 78, 2176, 1956.
13. В. Г. Гаврилов, М. М. Висневская, Уч. зап. ЛГУ, 211, 163, 1957.
14. Ю. Г. Мамедалиев, Синтез толуола алкилированием и деалкилирование ароматических углеводородов, Азнефтеиздат, 1944.
15. И. Н. Лебедев, Н. К. Ролчин, И. С. Маркович, Тр. МХТИ, 23, 52, 1956.
16. K. Fredenhagen, Z. Elektrochem., 37, 684, 1931.

THE LAWS OF ALKYL SUBSTITUTION FOR HYDROGEN IN THE BENZENE NUCLEUS

VI. ON EQUILIBRIUM IN THE PROCESSES OF ALKYLATION OF BENZENE BY PROPYLENE IN THE PRESENCE OF ALUMINUM AND HYDROGEN FLUORIDE

V. G. Plusnin and E. P. Babín (Sverdlovsk)

Summary

The alkylation of benzene by olefines has been shown to be an equilibrium reaction. Alkylation carried out in the presence of hydrogen fluoride is irreversible in all excepting the last of the stages of the consecutive reaction. Alkylation in the presence of aluminum chloride is reversible in the first, second and fourth stages. The third stage is irreversible.

A study has been made of the composition of the products of dealkylation of alkylbenzenes in the presence of aluminum chloride. The composition has been shown to approach that of the alkylate obtained on alkylating benzene at molar olefine—benzene ratios, equal to the number of alkyl groups in the initial alkylbenzene.

ТЕОРИЯ ВЛИЯНИЯ ПРИМЕСЕЙ НА САМОДИФфуЗИЮ

Д. К. Белащенко

В последние годы рядом авторов [1—3] был экспериментально доказан факт значительного увеличения коэффициента самодиффузии растворителя при введении в него незначительных количеств растворенных веществ. Показано [3], что наблюдаемые эффекты не могут быть трактованы как результат изменения термодинамических свойств растворителя. Для описания реальной картины была предложена модель, согласно которой вблизи атомов растворенного вещества возникает область повышенной подвижности атомов растворителя. Физический механизм такого действия может быть различным [4, 5]. Независимо от этого возникает задача описания процесса самодиффузии в такой среде с неоднородной подвижностью. В приближении, когда области с повышенным коэффициентом самодиффузии приняты неподвижными, задача была решена в двух работах. В одной из них [2] используется результат Ландауэра [6] для электропроводности двухфазных систем. В другой [3] на основе аналогии уравнением Клаузюса — Мосотти получен следующий результат:

$$\frac{D-D_0}{D_0} = 3\rho \frac{D_1-D_0}{D_1+2D_0}. \quad (1)$$

Здесь D — эффективный коэффициент самодиффузии; D_0 и D_1 — коэффициенты самодиффузии в чистом растворителе и в возмущенной области; ρ — объемная доля возмущенных областей. Оба решения относятся к стационарной задаче. Опытный материал может быть описан при соответствующем выборе величин ρ и D_1 . Однако, как справедливо указывалось [2], необходим анализ влияния движения возмущенных областей вместе с атомами растворенного вещества. Решения такой задачи были даны в двух сообщениях Харта и других [2, 7]. Во втором сообщении для эффективного коэффициента самодиффузии растворителя D ими получено следующее выражение:

$$D = (1 - kx) D_0 + \alpha_1 \beta x D_{\pi}, \quad (2)$$

где x — атомная доля растворенного вещества; D_0 — коэффициент самодиффузии чистого растворителя; D_{π} — коэффициент диффузии примеси; k — координационное число растворенного атома; β — число новых атомов растворителя, приходящих в соприкосновение с атомом примеси при одном его скачке; α_1 — среднее число скачков одного атома растворителя за время его пребывания в первой координационной сфере движущегося атома примеси.

Однако формула (2), во-первых, включает в себя не поддающуюся измерению константу α_1 , вследствие чего может рассматриваться лишь как выражение линейной связи между концентрацией x и D (что, конечно, всегда справедливо при достаточно малых концентрациях); во-вторых, при неподвижных примесях ($D_{\pi} = 0$) она не переходит в точное выражение для D [формула (1)]. Далее, при $D_{\pi} \rightarrow \infty$, согласно формуле (2), также и $D \rightarrow \infty$. Однако нетрудно видеть, что при $D_{\pi} \rightarrow \infty$ вероятность пребывания заданного атома растворителя на определенном расстоянии

от атома примеси перестает зависеть от D_{II} (в силу эргодической гипотезы), т. е. при $D_{II} \rightarrow \infty$, D должно зависеть лишь от x , D_0 и D_1 (если пренебречь перескоками атомов растворителя, индуцируемыми перескоками близких атомов примеси). Таким образом, видно, что формула Харди и других описывает, возможно, лишь некоторый промежуточный случай, причем трудно установить, когда она справедлива.

С целью получения приближенного решения поставленной задачи рассмотрим поле концентраций внутри и вне возмущенной области. Если область неподвижна, то поле концентраций внутри области c_1 и вне ее c_2 , как известно [8], записывается в виде:

$$c_1 = kz = \frac{3D_0}{D_1 + 2D_0},$$

$$c_2 = kz \left(1 - \frac{D_1 - D_0}{D_1 + 2D_0} \frac{a^2}{R^2} \right).$$

Здесь k — коэффициент, пропорциональный потоку диффундирующих частиц при стационарной диффузии в направлении оси z ; a — радиус возмущенной области; R — расстояние до центра области. Эффективный коэффициент самодиффузии D может быть получен усреднением по пространству потоков $D_1 \partial c_1 / \partial z$ и градиентов $\partial c_1 / \partial z$ и делением первого на второе. Если $D_{II} \rightarrow \infty$, то за время прохождения атома примеси поле концентраций в любом месте не успеет существенно измениться. Поэтому в этом предельном случае (для рассматриваемой нами стационарной задачи диффузии вдоль оси z) градиент концентрации будет всюду одинаковым и тот же и равен k . Если теперь рассмотреть промежуточный случай, когда атом примеси проводит в каждом узле некоторое время τ , то надо учесть, что за это время поле концентраций успеет в определенной мере «прорелаксировать», приближаясь к своей форме и в случае неподвижной примеси. Время релаксации равно в этом случае a^2/D_1 , так как релаксация вне возмущенной области мало сказывается ввиду обычного соотношения $D_1 \gg D_0$. Следовательно, поле концентраций в возмущенной области в промежуточном случае можно записать в виде

$$c'_1 = kz \frac{3D_0}{D_1 + 2D_0} + \left(kz - kz \frac{3D_0}{D_1 + 2D_0} \right) e^{-sD_1\tau/a^2}, \quad (4)$$

причем $\tau = a^2/6D_{II}$, а $s \approx 2 - 3$. Мы учли также, что a не слишком велико по сравнению с длиной элементарного скачка. Проведя усреднение по пространству потоков и градиентов и найдя частное, получим искомое выражение для эффективного коэффициента самодиффузии D

$$\frac{D - D_0}{D_0} = 3\rho \frac{D_1 - D_0}{D_1 + 2D_0} + \rho \frac{(D_1 - D_0)^2}{D_0(D_1 + 2D_0)} e^{-\gamma D_1/D_{II}}. \quad (5)$$

Здесь $\gamma \approx 0,3 - 0,5$.

Второй член правой части уравнения (5) отражает эффект, обязанный движению растворенных атомов. Отношение второго члена к первому (f) равно при $D_1 \gg D_0$

$$f = \frac{D_1}{3D_0} e^{-\gamma D_1/D_{II}}. \quad (6)$$

В работе [3] из данных по самодиффузии в системах Ag—Cu и Ag—Sn были рассчитаны величины ρ и D_1 , причем была использована формула (1). При 800° в системе Ag—Cu $D_1 = 3,81 \cdot 10^{-9}$ см²/сек, $D_{Cu} = 5,9 \cdot 10^{-10}$ см²/сек [9] и $D_0 = 3,99 \cdot 10^{-10}$ см²/сек [10]. Отсюда $f \approx 0,3$. В этом случае приближение неподвижных атомов примеси достаточно

орошо выполняется. В случае же системы $\text{Ag} - \text{Sn}$ при 800° $f \approx 2,0$, е. пользоваться формулой (1) уже нельзя.

Несмотря на то что D_1 всегда больше D_0 , влияние примесей на самодиффузию можно в ряде случаев трактовать в приближении неподвижных областей, так как формула (6) содержит отношение D_{Π}/D_1 , а не D_{Π}/D_0 .

Рассмотренная модель описывает влияние на самодиффузию атомов растворенного вещества, существенно отличающихся по своим свойствам размер, число валентных электронов и т. д.) от атомов растворителя. Если это отличие не столь велико, чтобы вызвать сильное возмущение некоторой области, растворенный атом может воздействовать на атомы растворителя, находясь не в равновесном, а в переходном состоянии. Прелесть такого воздействия может быть моделирована следующим образом. Пусть атомы растворителя совершают перескоки лишь в том случае, когда близлежащий атом растворенного вещества совершает скачок. Обработка такой модели в предположении, что при каждом скачке атома примеси происходит один скачок атома растворителя, приводит к формуле

$$D = D_{\Pi} N_{\Pi}, \quad (7)$$

где N_{Π} — молярная доля примеси.

При низких температурах энергия активации самодиффузии должна по формуле (5) стремиться к энергии активации в возмущенной области, по формуле (7) — к энергии активации диффузии. Таким образом эксперимент может позволить судить о конкретном механизме влияния примеси.

Выводы

Получено приближенное решение задачи о влиянии растворенной примеси на коэффициент самодиффузии растворителя в случае, когда атомы примеси вызывают сильное возмущение в некоторой области вокруг себя. Рассмотрен также случай, когда примесь воздействует на атомы растворителя в переходном состоянии.

Московский институт стали
им. И. В. Сталина

Поступила
28.III.1958

ЛИТЕРАТУРА

1. R. E. Hoffman, D. Turnbull, J. Appl. Phys., **23**, 1409, 1952.
2. R. E. Hoffman, D. Turnbull, K. W. Hart, Acta Met., **3**, № 5, 417, 1955.
3. М. Е. Яницкая, А. А. Жуховицкий, С. З. Бокштейн, Докл. АН СССР, **112**, 720, 1957.
4. A. W. Overhauser, Phys. Rev., **90**, 393, 1953; **91**, 246A, 1953.
5. D. Lazarus, Phys. Rev., **93**, 973, 1954.
6. R. Landauer, J. Appl. Phys., **23**, 779, 1952.
7. E. W. Hart, R. E. Hoffman, D. Turnbull, Acta Met., **5**, 74, 1957.
8. J. C. Maxwell, A treatise on electricity and magnetism, v. I, Dover Public., 1954.
9. W. Seith, E. Peretti, Z. Elektrochem., **42**, 570, 1936.
10. С. Н. Крюков, А. А. Жуховицкий, Докл. АН СССР, **90**, 379, 1953.

THE THEORY OF THE EFFECT OF IMPURITIES ON SELF-DIFFUSION

D. K. Belaschenko (Moscow)

Summary

An approximate solution of the problem concerning the effect of dissolved impurities on the self-diffusion coefficient of the solvent has been obtained for the case when the atoms of the impurity cause considerable perturbation in the surrounding region. The case has also been considered when the impurity affects the solvent atoms in the transition state.

ТЕОРИЯ ДИФфуЗИОННОГО ИЗВЛЕЧЕНИЯ ВЕЩЕСТВ ИЗ ПОРИСТЫХ ТЕЛ

II. КИНЕТИКА ИЗВЛЕЧЕНИЯ ИЗ ПОЛИДИСПЕРСНОЙ СМЕСИ ПОРИСТЫХ ЧАСТИЦ

Г. А. Аксельруд

Изучим кинетику извлечения из шарообразных частиц различных размеров, составляющих полидисперсную смесь, с заданным распределением веса частиц по размерам. Степень извлечения для частиц различных размеров в один и тот же момент времени будет неодинакова. Извлечение из мелких частиц ввиду больших градиентов концентраций будет протекать быстрее, чем из крупных. Актуальность решения этой задачи очевидна.

Начнем с рассмотрения простого случая, соответствующего условиям

$$c_1 = \text{const};$$

$$Bi = \infty.$$

Первое условие означает, что извлечение выполняется весьма большим (по сравнению с объемом твердых частиц) объемом жидкости, благодаря чему повышением концентрации этой жидкости можно пренебречь. Второе условие указывает на то, что лимитирующей стадией процесса является внутренняя диффузия [1]. Для монодисперсного материала в указанных условиях справедливо уравнение кинетики

$$E = \frac{\bar{c}_2 - c_1}{c_0 - c_1} = \frac{6}{\pi^2} \sum_{n=1}^{\infty} \frac{1}{n^2} e^{-\pi^2 n^2 \frac{Dt}{R^2}}, \quad (1)$$

где c_0 — начальная концентрация в частицах; \bar{c}_2 — средняя концентрация в частицах к моменту t ; R — радиус частицы; D — коэффициент диффузии в условиях пористой частицы.

Зададим смесь полидисперсных частиц, указывая на долю частиц g_i , обладающих радиусом R_i , так что

g'_1 соответствует R_1 ;

g'_2 соответствует R_2 ;

.....

g'_q соответствует R_q .

Общее количество вещества, содержащееся к моменту t во всех частицах

$$G = \sum_{i=1}^q \bar{c}_{2i} \frac{4}{3} \pi R_i^3 g'_i m_i,$$

m_i — коэффициент пористости частицы; \bar{c}_{2i} определяется в соответствии с (1) при $R = R_i$.

Объем пор во всех частицах

$$V = \sum_{i=1}^q \frac{4}{3} \pi R_i^3 g'_i m_i.$$

Теперь можно установить концентрацию \bar{c}_2 , осредненную не только в пределах одной частицы но дополнительно в пределах всей совокупности частиц

$$\bar{c}_2 = \frac{G}{V} = \frac{\sum_{i=1}^q [c_1 + (c_0 - c_1) E_i] \pi R_i^3 g'_i m_i}{\sum_{i=1}^q \frac{4}{3} \pi R_i^3 g'_i m_i},$$

иначе

$$\frac{\bar{c}_2 - c_1}{c_0 - c_1} = \sum_{i=1}^q \frac{\frac{4}{3} \pi R_i^3 g'_i m_i}{\sum_{i=1}^q \frac{4}{3} \pi R_i^3 g'_i m_i} E_i.$$

Величина

$$g_i = \frac{\frac{4}{3} \pi R_i^3 g'_i m_i}{\sum_{i=1}^q \frac{4}{3} \pi R_i^3 g'_i m_i}$$

представляет собой отношение объема пор в частицах с радиусом R к общему объему пор во всех частицах. В случае $m = \text{const}$ g_i переходит в объемную или весовую долю частиц с радиусом R_i . Окончательно

$$\bar{E} = \frac{\bar{c}_2 - c_1}{c_0 - c_1} = \sum_{i=1}^q E_i g_i. \quad (2)$$

Практически полидисперсная смесь всегда состоит из частиц, размеры которых непрерывно меняются при переходе от одной частицы к другой. Характеристикой такой смеси является функция распределения $L(R)$ такая, что

$$dg = L(R) dR.$$

Приближенное уравнение (2) переходит в точное

$$\bar{E} = \int_{(R)} E(R, t) L(R) dR. \quad (3)$$

Если функция $L(R)$ определена опытным путем и представлена графиком, то интеграл (3) может быть численно или графически определен для любого момента t .

Для некоторых функций распределения можно получить результат непосредственным интегрированием. Так, для распределения Максвелла

$$L(R) = \frac{R}{R_m^2} e^{-R^2/2R_m^2}$$

[R_m соответствует максимуму функции $L(R)$] получим уравнение кинетики в виде

$$\bar{E}(t) = \frac{6V\sqrt{2\tau}}{\pi} \sum_{n=1}^{\infty} \frac{K_1(\pi n \sqrt{2\tau})}{n}; \quad \tau = \frac{Dt}{R_m^2};$$

K_1 — функция Макдональда первого порядка [2].

В качестве другого примера рассмотрим функцию распределения

$$L(R) = \frac{2}{R_m} \sqrt{\frac{\alpha}{\pi}} e^{-\alpha \left(\frac{R}{R_m} - \frac{R_m}{R} \right)^2}.$$

Эта функция удовлетворяет условиям:

$$L(0) = 0; \quad L(\infty) = 0; \quad L(R_m) = L_{\max} = \frac{2}{R_m} \sqrt{\frac{\alpha}{\pi}}; \quad \int_0^{\infty} L(R) dR = 1.$$

С увеличением параметра α увеличивается максимальная ордината функции $L(R)$ при сохранении площади под кривой, равной единице. Уравнение кинетики получает вид:

$$\bar{E} = \frac{6}{\pi^2} \sum_{n=1}^{\infty} \frac{1}{n^2} e^{-2[V\sqrt{\alpha(\alpha + \pi^2 n^2 \tau)} - \alpha]}; \quad \tau = \frac{Dt}{R_m^2},$$

и переходит в (1) при $\alpha = \infty$.

Откажемся теперь от условия

$$c_1 = \text{const},$$

заменяв его обобщенным условием

$$c_1 = c_m + \beta (c_0 - \bar{c}_2),$$

отражающим реальные условия проведения процесса [1].

Вместо одного дифференциального уравнения диффузии следует рассмотреть q дифференциальных уравнений:

$$\frac{\partial c_{2i}}{\partial t} = D \left(\frac{\partial^2 c_{2i}}{\partial r^2} + \frac{2}{r} \frac{\partial c_{2i}}{\partial r} \right); \quad i = 1, 2, \dots, q,$$

совместно с краевыми условиями

$$c_{2i}(r, 0) = c_0;$$

$$\left. \frac{\partial c_{2i}}{\partial r} \right|_{r=0} = 0;$$

$$c_{2q} = c_1 = c_m + \beta (c_0 - \bar{c}_2).$$

Решение методом преобразования Лапласа

$$F_i(p) = \int_0^{\infty} c_{2i}(r, t) e^{-pt} dt;$$

$$F_i = \frac{c_0}{p} + A_i \operatorname{sh} \sqrt{p/D} R_i;$$

на поверхности частиц, составляющих смесь, в один и тот же момент времени концентрация одинакова и равна c_1 ; следовательно,

$$A_1 \frac{\operatorname{sh} \sqrt{p/D} R_1}{R_1} = A_2 \frac{\operatorname{sh} \sqrt{p/D} R_2}{R_2} = \dots = A_m \frac{\operatorname{sh} \sqrt{p/D} R_m}{R_m}.$$

Осреднение концентрации внутри частиц соответственно для изображения дает

$$\begin{aligned} \bar{F}_i &= \frac{\int_0^{R_i} F_i 4\pi r^2 dr}{\frac{4}{3} \pi R_i^3} = \frac{c_0}{p} + \frac{3A_i}{R_i} \left(\frac{\operatorname{ch} \sqrt{p/D} R_i}{\sqrt{p/D} R_i} - \frac{\operatorname{sh} \sqrt{p/D} R_i}{\frac{p}{D} R_i^2} \right) = \\ &= \frac{c_0}{p} + \frac{3A_m \operatorname{sh} \sqrt{p/D} R_m}{R_m} \left(\frac{\operatorname{cth} \sqrt{p/D} R_i}{\sqrt{p/D} R_i} - \frac{1}{\frac{p}{D} R_i^2} \right). \end{aligned}$$

Выполним осреднение в пределах всей совокупности частиц:

$$\bar{F} = \sum_{i=1}^q g_i \bar{F}_i = \frac{c_0}{p} + \frac{3A_m \operatorname{sh} \sqrt{p/D} R_m}{R_m} \left(\sum_{i=1}^q g_i \frac{\operatorname{cth} \sqrt{p/D} R_i}{\sqrt{p/D} R_i} - \frac{1}{(p/D) R_m^2} \right).$$

$$\frac{1}{R_m^2} = \sum_{i=1}^q \frac{g_i}{R_i^2}.$$

Применяя граничное условие в виде:

$$\frac{c_0}{p} + A_m \frac{\operatorname{sh} \sqrt{p/D} R_m}{R_m} = \frac{c_m}{p} + \beta \left(\frac{c_0}{p} - \bar{F} \right),$$

найдем постоянную A_m , а затем и изображение \bar{F} :

$$\frac{\frac{c_0}{p} - \bar{F}}{c_0 - c_m} = \frac{\sum_{i=1}^q g_i \alpha_i \operatorname{cth} \frac{s_m}{\alpha_i} - \frac{1}{s_m}}{\beta p \left[\frac{s_m}{3\beta} - \frac{1}{s_m} + \sum_{i=1}^q g_i \alpha_i \operatorname{cth} \frac{s_m}{\alpha_i} \right]};$$

$$\alpha_i = \frac{R_m}{R_i}; \quad s_m = \sqrt{p/D} R_m. \quad (4)$$

Полученное выражение может быть представлено в виде отношения обобщенных полиномов [3], а переход к оригиналу осуществляется при помощи теоремы разложения [3,4]:

$$\frac{c_0 - \bar{c}_2}{c_0 - c_m} = \frac{1}{1 + \beta} - \sum_{n=1}^{\infty} \frac{2}{\beta \left[1 + 3\beta \left(1 - \frac{1}{\mu_n^2} + \sum_{i=1}^q g_i \operatorname{ctg}^2 \frac{\mu_n}{\alpha_i} \right) \right]} e^{-\mu_n^2 \frac{Dt}{R_m^2}}. \quad (5)$$

μ_n — корни характеристического уравнения:

$$\frac{1}{\mu} + \frac{\mu}{3\beta} = \sum_{i=1}^q g_i \alpha_i \operatorname{ctg} \frac{\mu}{\alpha_i}.$$

В заключение рассмотрим пример, иллюстрирующий применение полученных результатов.

Пусть подлежащий обработке материал является смесью частиц трех сортов, так что

$$\begin{aligned} R_1 &= 0,1 \text{ см}; & g_1 &= 0,3; \\ R_2 &= 0,15 \text{ см}; & g_2 &= 0,5; \\ R_3 &= 0,2 \text{ см}; & g_3 &= 0,2. \end{aligned}$$

Найти уравнение кинетики извлечения из этой смеси в условиях прямотока и противотока

$$\beta = \pm 0,8.$$

Решение

Определим R_m из соотношения:

$$\frac{1}{R_m^2} = \frac{0,3}{0,01} + \frac{0,5}{0,0225} + \frac{0,2}{0,04}; \quad R_m = 0,1322 \text{ см};$$

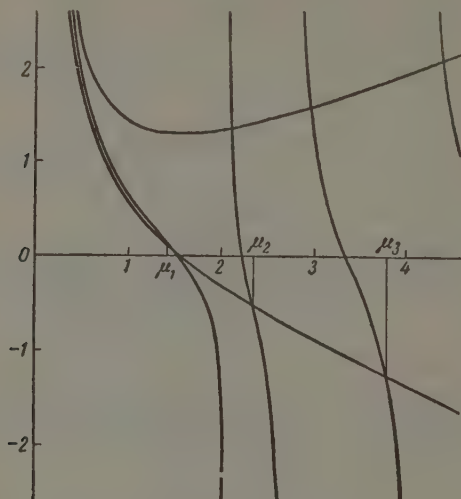
$\alpha_1 = 1,322$; $\alpha_2 = 0,8813$; $\alpha_3 = 0,661$; характеристическое уравнение записывается в виде:

$$M = \frac{1}{\mu} \pm \frac{1}{2,4} = 0,3966 \operatorname{ctg} \frac{\mu}{1,322} + 0,4406 \operatorname{ctg} \frac{\mu}{0,8813} + 0,1322 \operatorname{ctg} \frac{\mu}{0,661}.$$

На рисунке представлено графическое решение этого уравнения — первые три корня которого

при $\beta = +0,8$; $\mu_1 = 2,1236$; $\mu_2 = 2,97$; $\mu_3 = 4,43$;

при $\beta = -0,8$; $\mu_1 = 1,42$; $\mu_2 = 2,32$; $\mu_3 = 3,77$.



Весьма точные значения корней характеристического уравнения могут быть получены без графического построения итерационным методом.

Подстановкой в (5) получаем искомые уравнения кинетики.

Для притока

$$\frac{c_0 - \bar{c}_2}{c_0 - c_{1H}} = 0,555 - 0,02528 e^{-4,51\tau} - 0,09677 e^{-8,82\tau} - 0,1149 e^{-19,62\tau}.$$

Для противотока

$$\frac{c_0 - \bar{c}_2}{c_0 - c_{1H}} = 5 - 3,99 e^{-2,02\tau} - 0,311 e^{-5,38\tau} - 0,234 e^{-14,21\tau},$$

где

$$\tau = \frac{Dt}{R_m^2}.$$

Выводы

1. Получены уравнения кинетики извлечения из полидисперсной смеси изотропных в диффузионном отношении частиц.

2. Рекомендован метод определения кривой кинетики извлечения на основе полученного уравнения.

ЛИТЕРАТУРА

- Г. А. Аксельруд, Ж. физ. химии, 33, 2316, 1959.
И. Н. Бровштейн, К. А. Семендяев, Справочник по математике, Гостехиздат, М., 1955.
А. В. Лыков, Теория теплопроводности, Гостехиздат, 1952.
В. А. Диткин, П. И. Кузнецов, Справочник по операционному исчислению, Гостехиздат, М.—Л., 1951.
-

THE THEORY OF THE DIFFUSIONAL EXTRACTION OF SUBSTANCES
FROM POROUS BODIES

II. KINETICS OF EXTRACTION FROM A POLYDISPERSE MIXTURE OF POROUS PARTICLES

G. A. Akselrud (L'vov)

Summary

A knowledge of the weight distribution with respect to size of diffusionally isotropic particles makes it possible to solve the problem of the kinetics of extraction from their mixture. An equation has been obtained for the extraction kinetics from a polydisperse mixture when the extraction is carried out periodically under co- and counter-current conditions.

О КИНЕТИКЕ КИПЕНИЯ ЧИСТОЙ ЖИДКОСТИ

Ю. Каган

1. Вопросы кинетики образования новой фазы главным образом в применении к проблеме конденсации в пересыщенном паре, были впервые рассмотрены в работах [1—3].

Несколько позднее Беккер и Деринг в статье [4] предложили некоторый общий метод рассмотрения кинетики фазовых переходов, основанный на стационарном решении системы кинетических уравнений, каждое из которых описывает изменение в единице объема числа зародышей с определенным числом молекул. Однако в наиболее законченной форме метод был разработан в прекрасной работе Я. Б. Зельдовича [5], где впервые на основе общих идей Крамерса было дано описание флуктуационного роста докритических зародышей, как процесса диффузии вдоль фазовой оси r (радиус зародыша) или n (число молекул в зародыше). При этом соответствующий коэффициент диффузии определяется из очевидного условия отсутствия потока зародышей (по фазовой оси) в стабильной фазе через их макроскопическую скорость роста, так что имеется возможность учесть все лимитирующие макропроцессы. В результате задача сводится к уравнению, аналогичному одномерному уравнению диффузии в гидродинамическом потоке с переменными значениями скорости и коэффициента диффузии. Обычное стационарное решение задачи без труда сводится к квадратуре.

Тарнбелл и Фишер [6] предложили для расчета скорости образования новой фазы (в конденсированной среде) использовать результаты теории абсолютных скоростей реакции Эйринга [7], причем в качестве элементарной химической реакции рассматривается обратимый процесс присоединения отдельной молекулы к зародышу, содержащему n молекул. Однако сформулированный в работе метод, по нашему мнению, не может быть эффективно использован в общем случае. Это связано, с одной стороны, с полным игнорированием динамики развития зародыша, а с другой стороны, с остающейся неопределенностью как в предэкспоненциальном множителе, так, главное, и в показателе экспоненты (энергия активации).

Одна из наиболее важных проблем кинетики фазовых переходов — проблема вскипания перегретой чистой жидкости при положительном и отрицательном давлении — до сих пор не получила сколько-нибудь общего решения. Все опубликованные до сих пор результаты носят сугубо частный характер или просто неверны.

Первые работы в этом направлении принадлежат Дерингу [8]. Однако как эти работы, так и известный анализ Фолмера — Деринга [9], содержат существенную неточность, связанную с принятием для всей совокупности докритических зародышей условия

$$p = p_0 + \frac{2\sigma}{r}. \quad (1)$$

Здесь p — давление пара внутри зародыша; p_0 — давление жидкости; σ — поверхностное натяжение; r — радиус зародыша. (Здесь и в дальнейшем принимается сферическая форма зародыша.)

При этом совершенно не учитывались, в общем случае, важные для кинетики, вязкие и инерционные силы, проявляющиеся при динамике ро-

га зародыша, как и тепловой режим такого движения (локальное увеличение температуры при уменьшении r и падение температуры при росте r). Использование же (1) для определения работы образования отдельного зародыша привело, по нашему мнению, просто к ошибочным результатам.

Минимальная работа, необходимая для образования внутри жидкости давлением p_0 и температурой T_0 сферического зародыша радиуса r с n молекулами, записывается в виде:

$$R = n [\mu'(p, T_0) - \mu''(p_0, T_0)] + \frac{4}{3} \pi r^3 (p_0 - p) + 4\pi r^2 \sigma, \quad (2)$$

где μ' и μ'' — химические потенциалы соответственно пара и жидкости.

Принимая во внимание, что для критического зародыша

$$\mu'(p_k, T_0) = \mu''(p_0, T_0),$$

с другой стороны,

$$\mu'(p, T_0) = \mu'(p_k, T_0) + kT_0 \ln \frac{p}{p_k},$$

преобразуем (2) следующим образом:

$$R = nkT_0 \ln \frac{p}{p_k} + \frac{4}{3} \pi r^3 (p_0 - p) + 4\pi r^2 \sigma. \quad (3)$$

Здесь

$$p_k = p_0 + \frac{2\sigma}{r_k} \quad (4)$$

— давление внутри критического зародыша радиуса r_k (k — постоянная Больцмана).

Из (2) и (3) следует, что для определения R для отдельного зародыша необходимо одновременно знать две величины: n (или p) и r . Можно предположить, что между этими параметрами существует связь, однако задача нахождения ее в общем случае отнюдь не тривиальна. Деринг и Фолмер, а вслед за ними и все остальные авторы (см., например, [10—12]) в качестве такой связи принимали соотношение (1). К чему это приводит, наиболее наглядно можно видеть на примере больших отрицательных давлений ($p_k + (-p_0)/p_k > 3$). В этом случае анализ Деринга — Фолмера приводит к результату, согласно которому R достигает максимума не при $r = r_k$, а при значении $r_0 < r_k$, причем в точке r_0 достигается максимума и величина n . Нетрудно видеть, что этот результат противоречит простым физическим соображениям. Действительно, самопроизвольный (нефлуктуационный) рост пузырька, начинающийся с $r = r_0$, должен, в соответствии с этим результатом, сопровождаться уменьшением n , но увеличение радиуса кривизны полости приводит к росту скорости испарения при уменьшении давления внутри пузырька, так что перенос вещества идет в обратном направлении.

На самом деле, R достигает максимума при $r = r_k$ при любом значении параметров жидкости. Рост r будет сопровождаться непрерывным возрастанием n вплоть до r_k . (Заметим для иллюстрации, что из тех же соображений сразу видно, что при самопроизвольном уменьшении r от значения r_k n должно обязательно падать.)

Таким образом результаты цитированных выше работ в общем случае оказываются неверными.

Я. Б. Зельдович в работе [5] рассмотрел проблему кавитации при больших отрицательных давлениях. Отвлекаясь от случайной ошибки, связанной с неправильным выбором размерности предэкспоненциального множителя в выражении для равновесного числа зародышей, следует заметить, что Я. Б. Зельдович, по-видимому, недостаточно обоснованно пренебрег давлением пара внутри полости, ссылаясь на большую величину отрицательного давления. При этом из рассмотрения был полностью

исключен процесс испарения внутрь полости, а также процесс релаксации тепла, как факторы, влияющие на диффузию зародышей. (Но обходилась отмеченная выше трудность с R — принималось равным нулю n .) В действительности же большая величина ($-p_0$) приводит главным образом к смещению r_k в сторону меньших значений, тогда как качественных особенностей при $r < r_k$ не возникает. Вопрос о том, какие факторы являются лимитирующими для кинетики кипения при любых значениях p_0 , существенно связан со значениями параметров жидкости. Из приводимых ниже результатов следует, что общего ответа на этот вопрос быть не может (в частности, и при больших отрицательных давлениях).

В настоящей работе сделана попытка получить общее выражение для скорости вскипания перегретой чистой жидкости, справедливое для любых p_0 и свободное от отмеченных выше недостатков. При этом рассмотрение опирается на метод Я. Б. Зельдовича.

2. Напишем выражение для потока зародышей вдоль фазовой оси n . Для этого предварительно введем функцию распределения f_n , характеризующую число зародышей в единице объема с n молекулами в полости. (Функция распределения нормирована условием, что $\int f_n dn$ равно общему числу зародышей в единице объема; в соответствии с этим f_n имеет размерность L^{-3} .) Тогда

$$J = \dot{n}_n - D \frac{\partial f_n}{\partial n} \quad (5)$$

(J — имеет размерность $L^{-3} T^{-1}$).

Первый член справа в (5) определяет макроскопический (гидродинамический) перенос зародышей, связанный с обычным уменьшением или ростом пузырька соответственно при $r < r_k$ и $r > r_k$ (\dot{n} — производная от n по времени). Второй член («диффузионный») описывает перенос зародышей за счет флуктуаций.

Если работа образования критического зародыша $R_k = 4/3 \pi r_k^2 \sigma$ много больше kT_0 (как это обычно и бывает), то собственное время вскипания жидкости τ (время образования одного сверхкритического пузырька) очень велико. В этом случае за интервал времени, заметно меньший τ , в перегретой жидкости установится квазистационарное распределение зародышей, которое будет относительно мало меняться вплоть до времени порядка τ . Фактически обычно рассматриваемая стационарная форма расчета [9, 10] соответствует этому предположению.

Принимая $J = \text{const}$ (в этом случае J определяет число закритических зародышей, образующихся в единице времени в единицу объема) и решая уравнение (5) относительно f_n , находим

$$f_n' = \exp \left\{ \int_D^{\dot{n}} \frac{1}{D} dn \right\} \left(-J \int_D^1 \exp \left\{ - \int_D^{\dot{n}} \frac{1}{D} dn \right\} dn + C \right). \quad (6)$$

При больших n ($r \gg r_k$) диффузионным членом в (5) можно пренебречь. Тогда, учитывая постоянство J , имеем следующее граничное условие:

$$n \rightarrow \infty \quad f_n \rightarrow 0.$$

Определяя отсюда постоянную C в (6), получаем

$$f_n = J \exp \left\{ \int_D^{\dot{n}} \frac{1}{D} dn \right\} \int_n^{\infty} \frac{1}{D} \exp \left\{ - \int_D^{\dot{n}} \frac{1}{D} dn \right\} dn. \quad (7)$$

Значение коэффициента диффузии определяется из условия $J = 0$ на фазе, находящейся в стабильном состоянии. В соответствии с (5)

$$D = \frac{\dot{n}}{\left(\frac{d \ln f_{n0}}{dn}\right)} \quad (8)$$

где f_{n0} — функция распределения пузырьков со стабильной жидкости.

Поскольку

$$f_{n0} \sim e^{-R/kT_0},$$

$$D \simeq - \frac{\dot{n} k T_0}{\left(\frac{dR}{dn}\right)} \quad (9)$$

тсюда, в частности,

$$\frac{\dot{n}}{D} \simeq - \frac{1}{kT_0} \frac{dR}{dn},$$

вместо (7) имеем

$$f_n \simeq J \exp \left\{ - \frac{R(n)}{kT_0} \right\} \int_n^\infty \frac{1}{D} \exp \left\{ \frac{R(n)}{kT_0} \right\} dn. \quad (10)$$

При $r \ll r_k$, f_n практически не будет отличаться от f_{n0} . В соответствии с этим, определяя из (10) J , получаем

$$J \simeq f_{n0} \exp \left\{ \frac{R(n')}{kT_0} \right\} \frac{1}{\int_{n'}^\infty \frac{1}{D} \exp \left\{ \frac{R(n)}{kT_0} \right\} dn}, \quad (11)$$

где через n' обозначено некоторое фиксированное значение $n \ll n_k$.
Но

$$f_{n0} = A e^{-\frac{R(n)}{kT_0}}.$$

Воспользуемся известным утверждением (см., например, [13, 14]), что $\approx N_0$ (N_0 — число молекул в единице объема жидкости). Тогда

$$J \approx N_0 \frac{1}{\int_{n'}^\infty \frac{1}{D} \exp \left\{ \frac{R(n)}{kT_0} \right\} dn}.$$

Большой по величине показатель экспоненты в подынтегральном выражении ($R(n_k)/kT_0 \gg 1$) имеет в точке $n = n_k$ резко выраженный максимум. Это позволяет с хорошей точностью вынести предэкспоненциальный множитель из-под знака интеграла, взяв его значение при n_k . Переходя от интегрирования по n к интегрированию по r , получаем

$$J \approx N_0 D_k \left(\frac{dr}{dn} \right) \frac{1}{\int_{r'}^\infty \exp \left\{ \frac{R(r)}{kT_0} \right\} dr} \quad (12)$$

($r' \ll r_k$)

Определим значение $R(r)$ вблизи r_k . Воспользуемся для этого (3), азложив первый член в ряд по разности $p - p_k$.

Вблизи r_k давление пара внутри зародыша будет слабо отличаться от равновесной упругости пара, соответствующей данной кривизне p_r . Пусть объем, приходящийся на 1 молекулу жидкости, v_0 мал по сравнению с соответствующим объемом в газовой фазе v , и пусть величина $\frac{2\sigma}{r_k} \frac{v_0}{kT_0}$, характеризующая отклонение p_k от равновесной упругости пара над плоской поверхностью p_∞ , меньше единицы. Можно показать, что при этих условиях в разложении по степеням $p - p_k$ достаточно сохранить лишь первый член. Тогда, воспользовавшись (4) приходим к результату

$$R = 4\pi r^2 \sigma - \frac{8\pi r^3 \sigma}{3r_k},$$

или, с точностью до членов, квадратичных по разности $r - r_k$,

$$R = \frac{4}{3} \pi r_k^2 \sigma - 4\pi \sigma (r - r_k)^2. \quad (13)$$

Перейдем теперь к определению основной величины — коэффициента диффузии D в точке $r = r_k$. Если воспользоваться (9) и раскрыть возникающую неопределенность, то для D_k приходим к следующему выражению:

$$D_k = -kT_0 (dn/dr)_k \frac{1}{(d^2R/dr^2)_k} \left(\frac{dn}{dr} \right)_k. \quad (14)$$

Для нахождения $(dn/dr)_k$ необходимо рассмотреть общую задачу динамики пузырька вблизи $r = r_k$. Напишем уравнение для \dot{n}

$$\dot{n} = \frac{\pi \beta v_l r^2}{kT} [p_r - p]. \quad (15)$$

Здесь $v_l = \sqrt{8kT/\pi m}$ — средняя тепловая скорость молекул пара; β — коэффициент конденсации; m — масса молекулы.

Приближенное уравнение движения, описывающее зависимость радиуса пузырька от времени, имеет вид (центр пузырька неподвижен).

$$\rho \ddot{r} + \frac{3}{2} \rho \dot{r}^2 = p - \frac{2\sigma}{r} - p_0 - \gamma \eta \frac{r}{r}, \quad (16)$$

где ρ — плотность жидкости; η — коэффициент вязкости жидкости; γ — численный коэффициент.

(Если опустить последний член справа в уравнении, то (16) переходит в точное уравнение для несжимаемой жидкости. Оно получается из уравнения Навье — Стокса, если последнее проинтегрировать по радиусу R от r до ∞ при условии $\text{div } \mathbf{u} = 0$.)

При росте пузырька очень существенную роль играет поглощение тепла при испарении молекул внутрь полости и возникающее вследствие этого понижение температуры на границе*. (При деградациии пузырька, сопровождающейся конденсацией, — картина обратная.). Поэтому полная система уравнений должна быть дополнена нестационарным уравнением теплопроводности в движущейся жидкости с физически ясными граничными условиями:

$$T|_{R \rightarrow \infty} \rightarrow T_0; \quad \left. \frac{\partial T}{\partial R} \right|_{R=r} = \frac{\dot{n} q}{4\pi \lambda r^2}. \quad (17)$$

* В связи с проблемой роста закритических пузырьков этот вопрос рассматривался в работах [15] и [16].

здесь q — скрытая теплота испарения; λ — коэффициент теплопроводности жидкости.

Характерное время для распространения тепла в нашей задаче определяется величиной порядка r^2/χ ($\chi = \lambda/\rho c$) — коэффициент теплопроводности; c — удельная теплоемкость жидкости). С другой стороны, время роста пузырька характеризуется величиной порядка $1/\dot{r}$. В интересующей нас области r , очень близких к r_k , \dot{r} мало, в силу чего $r^2/\chi \ll r/\dot{r}$. Это позволяет в уравнении теплопроводности пропустить производную от температуры по времени. Легко видеть, что в этом уравнении можно пренебречь и членом $u\nabla T$, как величиной второго порядка малости (u в лучшем случае порядка \dot{r} , тогда как $T \sim \dot{n}$). Таким образом в рассматриваемой области r уравнение теплопроводности сводится к виду

$$\Delta T = 0.$$

Решая это уравнение с граничными условиями (17) приходим к результату

$$T = T_0 - \frac{q}{4\pi\lambda} \frac{\dot{n}}{R}. \quad (18)$$

Из величин, фигурирующих в уравнениях (15) и (16), относительно малое изменение температуры существенно скажется только на величине p_r . Положим во всех остальных случаях $T = T_0$, а $p_r(T)$ преобразуем следующим образом:

$$p_r(T) = p_r(T_0) + d(T - T_0). \quad (19)$$

Фигурирующая в (19) величина T есть температура на границе пузырька. Воспользовавшись (18), находим

$$p_r(T) = p_r(T_0) - \frac{dq}{4\pi\lambda} \frac{\dot{n}}{r}.$$

Подставим это значение в (15). После простых преобразований получаем:

$$\dot{n} = \frac{\pi\beta v_l r^2}{kT_0(1+\delta)} [p_r(T_0) - p], \quad (20)$$

$$\delta = \frac{\beta dq v_l r}{4\lambda k T_0}. \quad (21)$$

Подставим в (20) значение p , определенное из уравнения (16). Опустив член, содержащий \dot{r}^2 , и учитывая, что

$$\ddot{r} = \dot{r} \frac{d\dot{r}}{dr},$$

получим

$$\dot{n} = \frac{\pi\beta v_l r^2}{kT_0(1+\delta)} \left\{ p_r(T_0) - p_0 - \frac{2\sigma}{r} - \gamma\eta \frac{\dot{r}}{r} - \rho r \dot{r} \frac{d\dot{r}}{dr} \right\}.$$

Определим производную $d\dot{n}/dr$ в точке $r = r_k$. Принимая во внимание условие $v_0 \ll v$, после преобразований приходим к выражению:

$$\left(\frac{d\dot{n}}{dr} \right)_k = \frac{\pi\beta v_l r_k^2}{kT_0(1+\delta_k)} \left\{ \frac{2\sigma}{r_k^2} - \frac{\gamma\eta}{r_k} \left(\frac{d\dot{r}}{dr} \right)_k - \rho r_k \left(\frac{d\dot{r}}{dr} \right)_k^2 \right\} \quad (22)$$

$$\delta_k = \frac{\beta dq v_l r_k}{4\lambda k T_0}.$$

В соответствии с определением:

$$\dot{n} = \frac{1}{kT_0} \frac{d}{dt} \left(\frac{4}{3} \pi r^3 p \right).$$

Подставив p из уравнения (16) и взяв производную по r , для левой части уравнения (22) получаем

$$\frac{4\pi r_k^2}{kT_0} \left(\frac{dr}{dr} \right)_k \left\{ p_0 + \frac{4}{3} \frac{\sigma}{r_k} + \frac{1}{3} \gamma \eta \left(\frac{dr}{dr} \right)_k + \frac{1}{3} \rho r_k^2 \left(\frac{dr}{dr} \right)_k^2 \right\}. \quad (23)$$

Приравнявая (23) и правую часть (22), приходим к кубическому уравнению относительно $(dr/dr)_k$:

$$\begin{aligned} & \frac{1}{3} \rho r_k^2 \left(\frac{dr}{dr} \right)_k^3 + \left[\frac{1}{3} \gamma \eta + \frac{\beta v_t \rho r_k}{1 + \delta_k} \right] \left(\frac{dr}{dr} \right)_k^2 + \\ & + \left[\frac{\beta v_t \gamma \eta}{4 r_k (1 + \delta_k)} + p_0 + \frac{4}{3} \frac{\sigma}{r_k} \right] \left(\frac{dr}{dr} \right)_k - \frac{\beta v_t \sigma}{2 (1 + \delta_k) r_k^2} = 0, \end{aligned} \quad (24)$$

или, в безразмерном виде

$$\omega' z^3 + \frac{8}{9} \omega \left(1 + \frac{27}{32} \omega \right) z^2 + \frac{2}{3} \left(\omega + \frac{3-b}{b} \right) z - \frac{1}{2} = 0. \quad (24')$$

Здесь введены следующие обозначения:

$$z = \left(\frac{dr}{dr} \right)_k \frac{r_k (1 + \delta_k)}{\beta v_t}; \quad (25)$$

$$\omega = \frac{3}{8} \frac{\beta v_t \gamma \eta}{\sigma (1 + \delta_k)}; \quad (26)$$

$$\omega' = \frac{1}{3} \frac{\beta^2 v_t^2 \rho r_k}{\sigma (1 + \delta_k)^2}; \quad (27)$$

$$b = \frac{2\sigma}{r_k p_k}. \quad (28)$$

Решение уравнения (24) (или (24')) дает возможность определить $(dn/dr)_k$ в соответствии с (22), после чего нахождение D_k (14), а вместе с ним и J (12) (с учетом (13)), не представляет труда. При этом получаемый результат будет справедлив при любом соотношении всех четырех лимитирующих скорость роста пузырья факторов — вязкости, инерционности, скорости испарения и скорости подвода тепла.

3. Приведем здесь частное решение, соответствующее случаю, когда инерционными членами можно пренебречь. (О соответствующих критериях см. ниже.) При этом, уравнение (24) сводится к виду:

$$z^2 + \frac{3}{4} \frac{1}{\omega} \left(\omega + \frac{3-b}{b} \right) z - \frac{9}{16} \frac{1}{\omega} = 0. \quad (29)$$

Решив это уравнение с учетом очевидного неравенства $z > 0$ и подставив найденное значение в (22), после преобразований получаем

$$\left(\frac{dn}{dr} \right)_k = 12 \frac{\pi \beta v_t \sigma}{k T_0 (1 + \delta_k)} \frac{1}{b} \frac{1}{\left(\omega + \frac{3+b}{b} \right) + \sqrt{\left(\omega + \frac{3-b}{b} \right)^2 + 4\omega}}. \quad (30)$$

Выражение для коэффициента диффузии находим, подставляя (30) в (14). Используя получающийся результат и проведя вычисление интеграла в знаменателе (12) при помощи метода скорейшего спуска, приходим к следующему выражению для J

$$J \simeq 3N_0 \frac{\beta v_i}{(1+\delta_k)} \sqrt{\frac{\sigma}{kT_0}} \frac{1}{b} \frac{1}{\left(\omega + \frac{3+b}{b}\right) + \sqrt{\left(\omega + \frac{3-b}{b}\right)^2 + 4\omega}} e^{-\frac{1}{3}x}, \quad (31)$$

де

$$x = \frac{4\sigma r_k^2}{kT_0}. \quad (32)$$

Рассмотрим случай $\omega \gg 1$. Преобразуя (31), получаем

$$J \simeq 4N_0 \frac{\sigma}{\gamma\eta} \sqrt{\frac{\sigma}{kT_0}} \frac{1}{b \left(1 + \frac{3}{b\omega}\right)} e^{-\frac{1}{3}x}. \quad (33)$$

Если $3/b\omega \ll 1$, что соответствует заметному перегреву или отрицательному значению p_0 , то (33) сводится к виду

$$J \simeq 4N_0 \frac{\sigma}{\gamma\eta} \sqrt{\frac{\sigma}{kT_0}} \frac{1}{b} e^{-\frac{1}{3}x}. \quad (34)$$

Можно показать, что при этом критерий, определяющий справедливость пренебрежения инерционными членами, записывается как

$$\frac{\omega'}{\omega^2} \ll 1. \quad (35)$$

Таким образом при соблюдении (35), а также условий

$$\omega \gg 1, \quad \omega \gg \frac{3}{b},$$

имитирующим фактором для кинетики кипения является вязкость жидкости.

Если

$$\frac{3}{b} - 1 \gg \omega,$$

то в принципе может иметь место только при положительных и ограниченных отрицательных значениях p_0 ($b < 3$), то при любых значениях p_0 выражение для J (31) становится равным

$$J \simeq \frac{1}{2} N_0 \frac{\beta v_i}{1+\delta} \sqrt{\frac{\sigma}{kT_0}} e^{-\frac{1}{3}x}. \quad (36)$$

Критерий, аналогичный (35), при этом будет иметь следующий вид:

$$\omega' \left(\frac{b}{3-b}\right)^2 \ll 1 \quad (b < 1,5); \quad \omega' \left(\frac{b}{3-b}\right)^3 \ll 1 \quad (3 > b > 1,5). \quad (37)$$

Из вида (37) следует, что эти неравенства, во всяком случае, будут выполняться при достаточно малом b .

В рассматриваемом случае, если только $\delta_k \ll 1$, скорость кипения имитируется скоростью испарения жидкости. При $\delta_k \gg 1$ определя-

щим является процесс подвода тепла к пузырьку. В этом последнем случае (36) сводится к выражению:

$$J \cong 2N_0 \frac{\lambda k T_0}{d q r_k} \sqrt{\frac{\sigma}{k T_0}} e^{-\frac{1}{3} \frac{\sigma}{k T_0}} \quad (38)$$

[Величина d (19) легко определяется, если известна зависимость упругости пара над плоской поверхностью от температуры $p_\infty(T)$.]

При $b \ll 3$ выражение (36) с $\delta_k \ll 1$ совпадает с соответствующим выражением, найденным Дерингом (см. [8, 9]). Такое совпадение имеет ясный смысл, поскольку Деринг принимал во внимание только скорость испарения, а неточность в определении R при $b \ll 3$ практически не сказывается.

Отметим, что другое предельное выражение для J (34) имеет тот же характер зависимости от коэффициента вязкости, что и в работе Я. Б. Зельдовича [5]. Этот результат тоже очевиден, ибо Я. Б. Зельдович рассматривал случай $b \gg 1$, не принимая во внимание ни процесс испарения в полость, ни процесс понижения температуры с ростом пузырька.

Выводы

1. Исследован вопрос о кинетике кипения чистой жидкости при произвольном значении параметров жидкости. Рассмотрение опирается на метод Я. Б. Зельдовича.

2. Приняты во внимание все основные факторы, лимитирующие скорость роста пузырька: вязкость, инерционность, скорость испарения в полость и скорость подвода тепла к поверхности полости.

3. Приведены, в частности, конечные формулы для случая, когда можно пренебречь влиянием инерционных членов. При этом, если $2\sigma/r_k p_k \ll 3$ и определяющую роль играет скорость испарения в полость, конечный результат переходит в выражение, совпадающее с найденным Дерингом.

Поступила
6.IV.1958

ЛИТЕРАТУРА

1. M. Volmer, A. Weber, Z. phys. Chem., 119, 277, 1926.
2. L. Farkas, Z. phys. Chem., 125, 236, 1927.
3. H. Volmer, H. Flood, Z. phys. Chem., 170, 273, 1934.
4. R. Becker, W. Döring, Ann. Physik, 24, 719, 1935.
5. Я. Б. Зельдович, Ж. эксперим. и теор. физ., 12, 525, 1942.
6. J. Turnbull, J. Fisher, J. Chem. Phys., 17, 7, 1949.
7. H. Eyring, J. Chem. Phys., 3, 107, 1935; С. Глестон, К. Лейдер Г. Эйринг. Теория абсолютных скоростей реакций ГНН1, М., 1948.
8. W. Döring, Z. phys. Chem., 36, 37, 1937, 38, 292, 1938.
9. H. Volmer, Kinetik der Phasenbildung Verl-Steinkopff, Dresden, 1939.
10. S. Takagi, J. Appl. Phys., 24, 1453, 1953.
11. G. Martelli, Nuovo Cimento 12, 250, 1954.
12. L. Bertranza G. Martelli, Nuovo Cimento, 1, 324, 1955.
13. Я. И. Френкель. Статистическая физика, Изд-во АН СССР, 1948.
14. R. Fürth, Proc. Cambridge Philos. Soc., 37, 252, 1941.
15. M. Plesset, S. Zwick, J. Appl. Phys. 23, 95, 1952; 25, 493, 1954.
16. H. Forster, N. Zuber, J. Appl. Phys., 25, 479, 1954.

ON THE KINETICS OF BOILING

Yu. Kagan (Moscow)

Summary

A kinetic study has been made of the boiling of liquids with arbitrary parameters. The treatment is based on Zel'dovich's method. Account has been made of all the basic factors limiting the rate of bubble growth: viscosity, inertia, rate of vaporization in voids and rate of heat supply to the surface of the void.

In particular the resultant formulas are presented for the case when the effect of inertia terms may be neglected. Then, provided $\frac{2\sigma}{\dot{r}_k p_k} \ll 3$, and the determinative part is played by the rate of vaporization into the void these formulas change to an expression coinciding with that given by Döring.

ПРИМЕНЕНИЕ ИНТЕРПОЛИРУЮЩЕГО ПОЛИНОМА ЭРМИТА ДЛЯ ПЕРЕДАЧИ ФИЗИКО-ХИМИЧЕСКИХ ДАННЫХ

1. КРИТИЧЕСКИЙ КОЭФФИЦИЕНТ ЧИСТЫХ ВЕЩЕСТВ

Ш. Д. Заалитвили

В физической химии часто встречаются случаи, когда теория определяет значения функции и ее производных на краях определенного интервала, но не определяет значений этой функции внутри него. Известны, например, значения химического потенциала в двойных растворах в двух точках: при нулевой концентрации и при концентрации в критической точке. Известны также производные от химического потенциала по концентрации в этих точках. Тогда выявление зависимости химического потенциала от концентрации во всей области между указанными точками можно решить, если воспользоваться интерполирующим полиномом Эрмита [1].

Применение полинома Эрмита, однако, не ограничивается этим примером. Для газа теория устанавливает зависимость между давлением газа P и его плотностью ρ , а также зависимость производных от давления по плотности в окрестности $\rho = 0$. При критической температуре теория устанавливает зависимость производных от давления по плотности в критической точке. Поэтому в настоящей статье сделана попытка применить полином Эрмита для вычисления критического коэффициента $P_c V_c / RT_c$ чистых веществ.

В литературе отсутствует точное и вместе с тем простое уравнение для критического коэффициента. Использование уравнения состояния в вириальной форме, содержащего второй и третий вириальные коэффициенты, не дает удовлетворительных результатов: по этому уравнению критический коэффициент $P_c V_c / RT_c$ получается, в противоречии с опытом, равным $\frac{1}{3}$ для всех веществ [2].

Гуггенхейм [3] рассмотрел вопрос о числе вириальных коэффициентов, необходимых для выражения изотермы простого газа типа азота или аргона, в частности, для критической температуры. Он предложил, как один из лучших вариантов, уравнение состояния Оннеса, содержащее второй, третий и пятый вириальные коэффициенты. Это снова дает для критического коэффициента постоянное значение 0,293, хорошо согласующееся с экспериментальными значениями для азота и аргона, но не согласующееся с экспериментальными значениями для других веществ, например аммиака или водяного пара. Поэтому нам представляется полезным дать общее решение этой проблемы при помощи полинома Эрмита.

Предположим, что уравнение критической изотермы $P - V$ таково, что

$$\left(\frac{\partial P}{\partial \rho} \right)_{T_c} = f(\rho). \quad (1)$$

Когда плотность газа стремится к нулю, справедливым становится уравнение состояния со вторым вириальным коэффициентом (на моль газа):

$$P = RT [\rho + B(T) \rho^2], \quad (2)$$

где $B(T)$ — второй вириальный коэффициент.

Из уравнения (2) следует, что

$$f(0) = RT_c; \quad f'(0) = 2RT_c B(T_c). \quad (3)$$

другой стороны, известно, что

$$f(\rho_c) = 0; \quad f'(\rho_c) = 0. \quad (4)$$

Условия (3) и (4) позволяют интерполировать функцию $f(\rho)$ полиномом Эрмита [4], который принимает значения функции $f(\rho)$ и значения производной этой функции $f'(\rho)$ в точках $\rho = 0$ и $\rho = \rho_c$.

Построив полином Эрмита * и проинтегрировав его по ρ , получим уравнение для критической изотермы:

$$P = P_c + \frac{R_1 T_c}{3\rho_c^2} (\rho - \rho_c)^3 + \frac{2RT_c}{\rho_c^2} \left[\frac{1}{\rho_c} + B(T_c) \right] \left[\frac{\rho(\rho - \rho_c)^3}{3} - \frac{(\rho - \rho_c)^4}{12} \right]. \quad (5)$$

Когда плотность газа равна нулю, то и давление его тоже равно нулю. Из уравнения (5) мы тогда получаем простое выражение для критического коэффициента

$$\frac{P_c V_c}{RT_c} = \frac{1}{2} + \frac{B(T_c)}{6V_c}. \quad (6)$$

Уравнение критической изотермы (5) гораздо проще, чем эмпирическое уравнение Мейерса [5]. Хотя последнее уравнение точно выражает данные $P - V$ при критической температуре, но оно содержит интеграл, который приходится вычислять графически в каждом отдельном случае.

Для проверки уравнения (6) составлена табл. 1 согласно экспериментальным данным критических параметров [6] и вторых вириальных коэффициентов газов [7].

Таблица 1

Критический коэффициент чистых веществ

Вещество	P_c , атм	V_c , см ³ /моль	T_c , °К	$-B(T_c)$, см ³ /моль	$P_c V_c / RT_c$	
					эксп.	выч.
Гелий	2,26	57,8	5,3	60	0,300	0,327
Неон	26,9	41,7	44,5	43,8	0,307	0,325
Аргон	48,0	75,2	151	81	0,291	0,321
Водород	12,8	65,0	33,3	65	0,304	0,333
Азот	33,5	90,1	126,2	94	0,291	0,326
Кислород	50,1	78	154,8	84	0,308	0,321
Метан	45,8	99,0	191,1	111	0,289	0,313
Этан	48,2	148	305,5	180	0,284	0,297
Пропан	42	200	370	261	0,277	0,283
н-Бутан	37,5	255	425,2	322	0,274	0,290
и-Пентан	33,5	311	469,8	410	0,269	0,280
н-Гептан	27	426	540,2	591	0,259	0,269
Аммиак	111,3	72,5	405,5	112	0,242	0,243
Фтористый метил	58	113	317,8	179,5	0,251	0,235
Хлористый »	65,9	143	416,3	187	0,276	0,282
Углекислый газ	72,9	94	304,2	123	0,274	0,282
Оксид азота	71,7	96,3	309,7	149	0,272	0,242
Оксид »	64	58	180	76,5	0,251	0,280
Вода	218,3	56	647,4	81	0,230	0,259

* О методах построения полиномов Эрмита см. [4].

Как видно из таблицы, не получилось вполне удовлетворительного совпадения между экспериментальными и вычисленными значениями критического коэффициента, но уравнение (6) лучше передает опытные данные, чем уравнение Раулинсона, несмотря на то что последнее содержит и третий вириальный коэффициент.

Представляет интерес решить ту же самую задачу с учетом третьего вириального коэффициента.

Построив полином Эрмита для этого случая, получаем следующее выражение для критического коэффициента:

$$\frac{P_c V_c}{RT_c} = \frac{3}{5} + \frac{3B(T_c)}{10V_c} + \frac{C(T_c)}{10V_c^2}. \quad (7)$$

Значения $C(T_c)$, необходимые для проверки уравнения (7), вычислены нами из уравнения состояния, составленного Мейерсом [5].

Критический коэффициент чистых веществ

Таблица 2

Вещество	P_c , атм	V_c , см ³ /моль	T_c , °К	$-B(T_c)$, V_c	$C(T_c)$, V_c^2	$P_c V_c / RT_c$	
						эксп.	выч.
Гелий	2,26	57,8	5,3	1,038	0,108	0,300	0,300
Кислород	50,1	78	154,8	1,077	0,413	0,308	0,318
Метан	45,8	99,0	191,1	1,121	0,463	0,289	0,310
Этан	48,2	148	305,5	1,216	0,488	0,284	0,284
Пропан	42	200	370	1,305	0,526	0,277	0,262
n-Бутан	37,5	255	425,2	1,263	0,548	0,274	0,276
n-Гептан	27	426	540,2	1,387	0,695	0,259	0,253
Углеисный газ	72,9	94	304,2	1,308	0,553	0,274	0,263
Вода	218,3	56	647,4	1,446	0,896	0,230	0,256

Как видно из табл. 2, совпадение между экспериментальными и вычисленными значениями критического коэффициента получилось вполне удовлетворительное.

Считаю своим долгом выразить глубокую благодарность И. Р. Кричевскому за предложение решить изложенную выше задачу при помощи полинома Эрмита.

Выводы

Использование полинома Эрмита для вычисления критического коэффициента чистых веществ приводит к хорошему совпадению экспериментальных и вычисленных значений

Горьковский политехнический институт им. А. А. Жданова

Поступила
13.IV.1958

ЛИТЕРАТУРА

1. И. Р. Кричевский, Докл. АН СССР, 78, 311, 1951.
2. J. S. Rowlinson, J. Chem. Phys., 19, 831, 1951.
3. E. A. Guggenheim, Rev. Pure a Appl. Chem., 3, 1, 1953.
4. В. Л. Гончаров, Теория интерполирования и приближения функций, Гостехиздат, М., 1934.
5. C. H. Meyers, J. Res. Nat. Bur. Standards, 29, 157, 1942.
6. K. A. Kobe, R. E. Lynn, Chem. Rev., 52, 117, 1953.
7. Ш. Д. Заалишвили, Успехи химии, 24, 759, 1955.

THE APPLICATION OF HERMIT'S INTERPOLATION POLYNOMIAL TO DESCRIBE PHYSICO-CHEMICAL DATA

C. D. Zaalishvili (Gorkii)
Summary

The use of the Hermit polynomial for calculating the critical coefficient of pure substances gives good coincidence with experimental data.

О СКОРОСТИ РАСПРОСТРАНЕНИЯ УЛЬТРАЗВУКА
В РАСТВОРАХ ФЕНОЛА В ВОДЕ

А. А. Беркенгейм

В последнее время появился ряд работ по исследованию акустических свойств растворов. Изучение зависимости между акустическими свойствами жидких бинарных смесей представляет интерес для физико-химического анализа и позволяет получить некоторые сведения о межмолекулярных взаимодействиях.

В настоящей работе приводятся результаты исследований скорости распространения ультразвука в растворах фенол — вода. Характер изменения величины скорости распространения ультразвука с ростом температуры в феноле и воде совершенно различен: в феноле с ростом температуры она уменьшается, в воде — растет и затем проходит через максимум.

Скорость распространения ультразвука в чистом феноле для температур от 45 до 58° измерялась Л. Г. Мелкояном [1]. В растворах фенола в воде при одной температуре, в области концентраций от 1 до 8%, лежащих ниже области частичной растворимости, измерения проведены В. В. Гарасовым с сотрудниками [2]. Задачей данной работы явилось измерение скорости распространения ультразвука в феноле (для большего диапазона температур) и в растворах фенола в воде. Измерения проводились для температур и концентраций, лежащих ниже, внутри и выше области частичной растворимости. Для определения скорости ультразвука был использован оптический метод, основанный на эффекте дифракции света на ультразвуковых волнах. Сущность метода состоит в том, что при распространении звуковой волны в жидкости, в последней возникают уплотнения и разрежения. Пропускаемый перпендикулярно звуковой волне свет дает дифракционную картину. Наблюдая дифракционную картину и измеряя углы дифракции, можно измерить постоянную получающейся дифракционной решетки. Период ультразвуковой дифракционной решетки равен длине ультразвуковой волны. Определив длину волны звука и его частоту, можно найти скорость звука по уравнению

$$c = \lambda \nu,$$

здесь c — скорость звука; λ — длина звуковой волны; ν — частота.

Подробное описание метода и экспериментальной установки дано в статье автора [3].

Результаты измерений. Была исследована скорость распространения ультразвука в чистом феноле, в 5, 28, 40 и 47,7%-ных растворах фенола в воде. Результаты измерений (с точностью до 0,5%) приведены в таблице.

Как видно из таблицы, с ростом температуры скорость звука в феноле уменьшается. Уменьшение скорости ультразвука происходит по прямолинейному закону.

Результаты измерений скорости распространения ультразвука в 5%-ном растворе фенола в воде (таблица) показывают, что с ростом температуры скорость ультразвука в растворе возрастает, достигает максимального значения при 63° и при дальнейшем росте температуры начинает

Таблица 1

Скорость распространения звука при различных температурах

Фенол

$t, ^\circ\text{C}$	61,5	72,5	76,8	84,8	107	113
$c, \text{ м/сек}$	1932	1361	1346	1321	1265	1247

5%-ный раствор фенола в воде

$t, ^\circ\text{C}$	29	45	48	52,5	54	63	70	71,5
$c, \text{ м/сек}$	1514	1542	1544	1548	1550	1553	1552	1549

Верхний слой

$t, ^\circ\text{C}$	19	28,5	33	34,5	38,5	40	49,5	59	63,5
$c, \text{ м/сек}$	1511	1526	1533	1537	1545	1542	1544	1543	1526

Нижний слой

$t, ^\circ\text{C}$	20	27	32,5	37	40	47	51	54	58	64	65
$c, \text{ м/сек}$	1503	1485	1478	1466	1451	1448	1450	1446	1445	1453	1457

28%-ный раствор фенола

$t, ^\circ\text{C}$	70	73	74,5	78	92	96
$c, \text{ м/сек}$	1477	1468	1470	1457	1417	1407

40%-ный раствор фенола

$t, ^\circ\text{C}$	66,5	68	76,5	78	80	82	87,5
$c, \text{ м/сек}$	1460	1460	1439	1433	1427	1426	1411

47,7%-ный раствор фенола в воде

$t, ^\circ\text{C}$	68	73,4	78	83	93
$c, \text{ м/сек}$	1440	1427	1413	1403	1373

уменьшаться. Изменение скорости звука в 5%-ном растворе очень близко к изменению скорости звука в воде, только максимальные значения скорости немного ниже, чем для воды, и соответствуют несколько более низкой температуре.

В области частичной растворимости была исследована скорость ультразвука в обоих слоях. С ростом температуры концентрация слоев изменяется: в верхнем слое увеличивается количество фенола, в нижнем — количество воды (одновременно с этим изменяется и объем слоев: объем нижнего слоя увеличивается, верхнего — уменьшается). Вследствие этого на изменение величины скорости ультразвука влияют два фактора: температура и концентрация. Характер зависимости скорости ультразвука от температуры для слоев различен.

В верхнем слое с ростом температуры скорость звука растет, проходит через максимум при 50° , а затем довольно быстро уменьшается до значения скорости ультразвука в критической точке растворимости. Возрастание скорости ультразвука связано с тем, что до некоторой температуры в слое содержится мало фенола, и преобладающим оказывается влияние воды. Начиная с 50° , количество фенола в воде с ростом температуры начинает довольно быстро возрастать, с другой стороны, уменьшается степень ассоциации молекул воды. Оба эти обстоятельства влияют на изменение знака температурного хода скорости звука.

В нижнем слое содержится больше фенола. На характер изменения скорости звука сначала преобладающее влияние оказывает фенол: скорость ультразвука с ростом температуры падает. Увеличение количества воды замедляет падение скорости ультразвука. При 56° температурный ход скорости ультразвука изменяет знак. Дальнейшее повышение температуры приводит к диссоциации существующих в растворе комплексов. В связи с этим начинает уменьшаться сжимаемость, а скорость звука начинает возрастать.

Возникновение диссоциации подтверждается изменением упругости

Таблица 2

Зависимость разности давлений насыщенных паров над раствором фенола и над чистой водой от температуры

t°C	15	20	25	30	35	40	45	50	55	60	65
$p_1 - p_2$ мм рт. ст.	-1,38	-1,83	-1,156	-0,543	-2,375	-2,424	-2,28	-1,62	+0,06	+0,61	+2

насыщенных паров над раствором фенола. В таблице 2 приведена зависимость от температуры разности давлений насыщенных паров над раствором фенола и над чистой водой. Давление паров взято в области частичной растворимости фенола [4]. Как видно из таблицы, с ростом температуры давление над раствором делается ниже, чем над растворителем. Это может быть объяснено комплексобразованием в растворе. Начиная с температуры 40°, комплексобразование уменьшается, а с 55° начинается диссоциация комплексов. Упругость паров над раствором делается выше, чем над чистым растворителем.

После критической температуры растворимости все растворы ведут себя единообразно: с ростом температуры скорость звука в них падает.

При одной и той же температуре раствора скорость звука в слое тем меньше, чем больше в нем фенола.

Выводы

1. Проведены измерения скорости распространения ультразвука в феноле и в растворах фенола в воде при различных температурах.

2. Скорость распространения ультразвука в 5%-ном растворе фенола в воде растет с температурой, затем достигает максимума при 63° и далее снижается.

3. В области частичной растворимости измерена скорость распространения ультразвука в обоих слоях при различных температурах. Выше критической температуры растворимости измерена скорость распространения ультразвука в 28, 40 и 47,7%-ных растворах фенола в воде, и установлено, что с ростом температуры скорость звука в этих растворах уменьшается.

Поступила
24 IV 1958

ЛИТЕРАТУРА

1. Г. Мелкоян, Распространение ультразвука в бинарных смесях, образующих аддитивные соединения в связь скорости ультразвука с другими физико-химическими свойствами жидкостей. Кандидатская диссертация. Ереванский политехнический институт, 1953.
2. В. В. Тарасов, В. П. Беринг, А. А. Сидорова, Ж. физ. химии, 8, 372, 1936.
3. А. А. Беркенгейм, Тр. Моск. авиац. ин-та, № 51, 47, 1955.
4. Техническая энциклопедия. Справочник физ.-хим. и технологич. величин. Гос. словарно-энциклопедическое издательство «Советская энциклопедия». Москва, 1931, т. VI, 68 стр.

ON THE VELOCITY OF ULTRASONIC WAVE PROPAGATION IN AQUEOUS SOLUTIONS OF PHENOL

A. A. Berkengeim (Moscow)

Summary

The velocity of ultrasonic waves in phenol and its aqueous solutions has been measured at various temperatures. The temperature dependence of the velocity in 5% aqueous phenol solution is close to that for pure water. Measurements have also been made at various temperatures in the partial solubility region. Determination of the velocity in 28%, 40% and 47.7% solutions at temperature above the critical solution temperature has shown that in these solutions the velocity decreases with increasing temperature.

О ПРИМЕНЕНИИ ТЕОРИИ ГРУПП В КВАНТОВОЙ ХИМИИ

I. УПРОЩЕНИЕ МЕТОДА ТЕОРИИ ГРУПП

О. К. Давтян

Применение теории групп в квантовой химии в основном связано с теорией возмущения и вариационным методом. Это объясняется тем, что большинство задач в области квантовой химии, независимо от применения различных квантово-химических методов (метод локализованных пар, метод молекулярных орбит и т. д.), в конечном счете сводится к решению посредством вариационного метода или метода теории возмущений. Одной из основных трудностей, возникающих при рассмотрении квантово-химических задач, является решение вековых уравнений больших степеней, которые или совершенно не поддаются решению, или их решение связано с большими математическими трудностями. Задача практически решается только в том случае, когда имеется возможность разложить вековой определитель на произведение определителей более низкого порядка. Применение теории групп для симметричных молекул (которые составляют подавляющее большинство молекул) в значительной степени упрощает весьма сложные квантово-химические задачи именно потому, что благодаря возможности разложения приводимых представлений на неприводимые появляется возможность разложить вековой определитель высшего порядка на определители низших порядков. Однако применение обычного метода теории групп в квантовой химии представляет трудную задачу; в общем случае это связано с весьма сложным математическим аппаратом. Задача еще осложняется тем, что в каждом отдельном случае требуется особый подход. Этими трудностями и объясняется тот факт, что при решении задач по квантовой химии очень редко прибегают к этому действенному методу. Поэтому нахождение всевозможных способов упрощения метода теории групп представляет большой научный и практический интерес.

В настоящей статье ставится задача показать теоретическую возможность упрощения указанного метода без всякой потери его строгости и точности.

Симметризация исходной собственной функции

Так как одной из основных задач обычного метода теории групп является симметризация исходной собственной функции (т. е. разложение ее на составляющие, образующие базис неприводимых представлений симметрии рассматриваемой молекулы), то для понимания настоящей и дальнейших работ в этой области автор считает необходимым дать краткое изложение этого вопроса. При этом ряд из положений и выводов некоторых известных формул [1—3] в данном случае является оригинальным.

Симметризация с применением характеров матриц. Пусть исходная волновая функция состояния, найденная различными квантово-химическими методами, представляет линейную комбинацию линейно независимых функций $\phi_1, \phi_2, \dots, \phi_\alpha, \dots$, т. е.

$$\Psi = \sum_{\alpha} c_{\alpha} \phi_{\alpha}. \quad (1)$$

Если задача решается методом теории возмущений, выражение (1) будет являться собственной функцией состояния нулевого приближения; если же применяется вариационный метод, то оно будет вариационной функцией параметрами c_α . В общем случае функции ψ_α не образуют базиса для неприводимых представлений группы симметрии данной молекулярной системы. Однако мы их можем представить в виде линейной комбинации собственных функций $\psi_\alpha^{(j)}$, относящихся к различным неприводимым представлениям j данной группы, т. е.

$$\psi_\alpha = \sum_j c_j \psi_\alpha^{(j)}. \quad (2)$$

Подставляя (2) в (1), получим

$$\Psi = \sum_j \sum_\alpha c_{\alpha j} \psi_\alpha^{(j)}. \quad (3)$$

Дальнейшая задача заключается в том, чтобы, исходя из собственных функций ψ_α , образующих базис приводимого представления группы симметрии, найти собственные функции $\psi_\alpha^{(j)}$, образующие базис неприводимых представлений этой группы, не прибегая к определению элементов матриц неприводимых представлений.

Для общего случая считаем, что неприводимое представление Γ_j встречается в приводимом представлении в a_j раз, т. е. мы имеем a_j собственных значений, относящихся к неприводимому представлению Γ_j . Общее число вырожденных собственных функций данного неприводимого представления Γ_j зависит от его размерности f_j . В общем случае через линейную комбинацию этих функций можно выразить функцию $\psi_\alpha^{(j)}$:

$$\Psi_\alpha = \sum_{k=1}^{a_j} \sum_{l=1}^{f_j} c_{kl} \psi_{kl}^{(j)}. \quad (4)$$

Здесь $\psi_{kl}^{(j)}$ — собственная функция, принадлежащая к j -му неприводимому представлению с числом измерений f_j и кратностью a_j . Подставляя уравнение (4) в (2), будем иметь

$$\psi_\alpha = \sum_j \sum_{k=1}^{a_j} \sum_{l=1}^{f_j} c_{jkl} \psi_{kl}^{(j)}. \quad (5)$$

Пусть R — любая операция группы симметрии. Тогда

$$R\psi_{kl}^{(j)} = \sum_{m=1}^{f_j} \Gamma_j(R)_{ml} \psi_{km}^{(j)}, \quad (6)$$

где $\Gamma_j(R)_{ml}$ — элементы матриц представления Γ_j .

Отсюда

$$R\psi_\alpha = \sum_j \sum_{k=1}^{a_j} \sum_{l=1}^{f_j} c_{jkl} \sum_{m=1}^{f_j} \Gamma_j(R)_{ml} \psi_{km}^{(j)}. \quad (7)$$

Умножим последнее выражение на характер i -го неприводимого представления, т. е. на

$$\chi^{(i)}(R) = \sum_{t=1}^{f_i} \Gamma_i(R)_{tt},$$

и просуммируем по всем операциям группы; тогда

$$\sum_R \chi^{(i)}(R) R\phi_\alpha = \sum_j^{a_j} \sum_{k=1}^{f_j} \sum_{l=1}^{f_j} c_{jkl} \sum_{m=1}^{f_j} \sum_{t=1}^{f_i} \Gamma_i(R)_{tt} \Gamma_j(R)_{ml} \psi_{km}^{(j)}. \quad (8)$$

Так как по известному соотношению ортогональности между неэквивалентными и неприводимыми представлениями группы

$$\sum_R \Gamma_i(R)_{tt} \Gamma_j(R)_{ml} = \frac{g}{f_i} \delta_{ij} \delta_{tm} \delta_{tl}, \quad (9)$$

где g — порядок группы, f_i — размерность i -го представления,

$$\delta_{ij} = \begin{cases} 1, & i = j \\ 0, & i \neq j \end{cases}, \quad \delta_{tm} = \begin{cases} 1, & t = m \\ 0, & t \neq m \end{cases}, \quad \delta_{tl} = \begin{cases} 1, & t = l \\ 0, & t \neq l \end{cases},$$

то при условии, что $i = j$, $t = m = l$,

$$\sum_R \Gamma_i(R)_{tt} \Gamma_j(R)_{ml} = \frac{g}{f_j} \quad (10)$$

и, следовательно, в (8)

$$\sum_R \chi^{(j)}(R) R\phi_\alpha = \frac{g}{f_j} \sum_{k=1}^{a_j} \sum_{l=1}^{f_j} c_{kl} \psi_{kl}^{(j)}. \quad (11)$$

Принимая во внимание выражение (4), окончательно имеем

$$\phi_\alpha^{(j)} = \frac{f_j}{g} \sum_R \chi^{(j)}(R) R\phi_\alpha. \quad (12)$$

Посредством этой формулы легко определить $\phi_\alpha^{(j)}$, если известны характеры матриц j -го неприводимого представления данной группы. Их обычно берут из таблиц характеров неприводимых представлений точечных групп. Важно здесь отметить то, что для определения $\phi_\alpha^{(j)}$ нет необходимости знания элементов матриц неприводимых представлений, а достаточны данные их характеров.

Симметризация функций преобразованием подобия. В некоторых случаях удобно пользоваться симметризацией преобразованием подобия, если элементы матриц неприводимых представлений известны или, во всяком случае, они легко определяются.

Пусть имеются исходные функции $\phi_1, \phi_2, \dots, \phi_n$, которые образуют базис приводимого представления группы симметрии данной молекулы. Симметризированные функции, принадлежащие неприводимым представлениям этой же группы, обозначим через $\varphi_1, \varphi_2, \dots, \varphi_n$. Представим этим системы функций в виде однострочных матриц:

$$\left. \begin{aligned} (\psi) &= (\phi_1 \phi_2 \dots \phi_n), \\ (\varphi) &= (\varphi_1 \varphi_2 \dots \varphi_n). \end{aligned} \right\} \quad (13)$$

Задача заключается в том, чтобы найти способ преобразования (ψ) в (φ) . Допустим, что преобразующая матрица является унитарной матрицей U и R — любой элемент операции симметрии данной группы. Тогда

$$(\varphi) = (\psi) U, \quad (\varphi') = (\psi') U \quad (14)$$

и

$$R(\psi) = (\psi') = (\psi) A_R, \quad (15)$$

$$R(\varphi) = (\varphi') = (\varphi) A'_R. \quad (16)$$

оследние выражения являются линейными преобразованиями функций ψ и φ под действием операций симметрии данной группы; A_R — преобразующие матрицы исходных функций, принадлежащих приводимому представлению; A'_R — преобразующая матрица симметризованных функций принадлежащих неприводимым представлениям.

Матрица A'_R должна иметь клеточно-диагональную форму; ее элементы должны быть элементами неприводимых представлений соответствующей операции R .

Для определения зависимости между A'_R и матрицами A_R и U умножим обе части уравнений (14) на U^{-1} ; в результате имеем

$$(\psi) = (\varphi) U^{-1}, \quad (\psi') = (\varphi') U^{-1}.$$

Подставляя эти выражения в (15), получим

$$(\varphi') U^{-1} = (\varphi) U^{-1} A_R$$

и отсюда

$$(\varphi') = (\varphi) U^{-1} A_R U. \quad (17)$$

Таким образом, по (16) и (17)

$$A'_R = U^{-1} A_R U. \quad (18)$$

Согласно этому выражению, симметризованная (приведенная) матрица определяется преобразованием подобия с помощью унитарной матрицы U . Для решения задач либо должна быть известна унитарная матрица U , либо матрица A'_R . Что касается матриц A_R , то они определяются непосредственно путем преобразования данной молекулярной симметрии операции симметрии R .

Исходя из известных элементов и характеров неприводимых представлений данной группы, можем определить клеточно-диагональные матрицы A'_R , и затем по формуле (18) вычисляется U .

Допустим, что элементы неприводимых представлений и приводимого представления $\Gamma(R)$ даются в общей форме:

$$R = E, A, B, \dots, P;$$

$$\Gamma_1(R) (\epsilon_1) (\alpha_1) (\beta_1), \dots, (\pi_1);$$

$$\Gamma_2(R) (\epsilon_2) (\alpha_2) (\beta_2), \dots, (\pi_2);$$

$$\Gamma_j(R) (\epsilon_j) (\alpha_j) (\beta_j), \dots, (\pi_j);$$

$$\dots \dots \dots \dots \dots \dots \dots$$

$$\Gamma(R) A_E A_A A_B \dots A_P,$$

где $R = E, A, B, \dots, P$ — элементы операций данной группы; E — элемент тождественной операции; $A_R = A_E, A_A, A_B, \dots, A_P$ — элементы приводимого представления, представляющие собой матрицы преобразований под действием соответствующих операций симметрии R ; а $(\epsilon_j), (\alpha_j), \dots, (\pi_j)$ — элементы неприводимых представлений. Так как приведенное представление можно получить в виде суммы:

$$\Gamma'(R) = \sum_j a_j \Gamma_j(R), \quad (19)$$

которая показывает, какие неприводимые представления входят в приводимые, то соответствующие приведенные матрицы A'_R должны иметь сле-

дующие клеточно-диагональные формы:

$$\left. \begin{aligned} A'_A &= [a_1(\alpha_1) \ a_2(\alpha_2) \ .\ .\ . \ a_j(\alpha_j) \ .\ .\ .] \\ A'_B &= [a_1(\beta_1) \ a_2(\beta_2) \ .\ .\ . \ a_j(\beta_j) \ .\ .\ .] \\ &\vdots \\ A'_P &= [a_1(\pi_1) \ a_2(\pi_2) \ .\ .\ . \ a_j(\pi_j) \ .\ .\ .], \end{aligned} \right\} \quad (2)$$

еют симметрию ядерного поля. Здесь φ_i^* является комплексно сопряженной с φ_i .

3. Наилучшая молекулярная орбита, представляющая собой линейную комбинацию атомных орбит, может быть только реальной. Поэтому по тому же положению φ_i^2 для невырожденных орбит имеет симметрию ядерного поля.

4. Так как симметрия ядерного поля инвариантна по отношению к преобразованию операциями группы симметрии рассматриваемой молекулы, то инвариантным должен быть и квадрат молекулярной орбиты φ_i^2 .

В случае вырождения электрическое поле распределения вообще не имеет такой симметрии, как симметрия поля ядерного остова. Однако чтобы сохранить свойство правильной симметрии, можно предположить, что все остальные функции $\sum' \varphi_i \varphi_i$ вырожденной системы сведены так, что каждый электрон движется в одинаковом поле.

Положения 1 и 3 строго были доказаны Роотааном [4] при рассмотрении другой задачи; положение 2 лежит в основе теории молекулярных орбит, а положение 4 вытекает из теории точечных групп и является следствием положений 2 и 3.

Если R есть любой элемент операций группы симметрии, к которой относится рассматриваемая молекула, то согласно приведенным положениям

$$R\Phi = \Phi, \quad (22)$$

$$R\varphi^2 = \varphi^2, \quad (23)$$

где Φ — полная собственная функция основного состояния и φ — молекулярная орбита. Выражения (22) и (23) являются математическими формулировками указанных положений.

Если в качестве метода для рассмотрения молекулярной системы применяется метод локализованных электронных пар, то собственная функция основного состояния может быть представлена в виде линейной комбинации собственных функций канонических структур:

$$\Phi = \sum_{i=1}^n c_i \Psi_i. \quad (24)$$

Последнее выражение можно считать вариационной функцией с параметрами c_i . Векторное уравнение, соответствующее этой функции и определяющее энергетические уровни, будет уравнением n -й степени.

Если применить соотношение (22) к (24), получим

$$R\Phi = \sum_{i=1}^n c_i R\Psi_i = \sum_{i=1}^n c_i \Psi_i. \quad (25)$$

Систему функций $\Psi_1, \Psi_2, \dots, \Psi_n$ можно представить в виде однострочной матрицы $(\Psi_1 \cdot \Psi_2 \cdot \dots \cdot \Psi_n)$; тогда

$$R(\Psi_1 \cdot \Psi_2 \cdot \dots \cdot \Psi_n) = (\Psi_1 \cdot \Psi_2 \cdot \dots \cdot \Psi_n) A_R, \quad (26)$$

где A_R является квадратной матрицей n -го порядка, соответствующей операции R . В большинстве случаев действие всех элементов операций R заключается во взаимном обмене эквивалентных функций. Поэтому в этих случаях каждая матрица будет содержать элементы, равные либо единице, либо нулю; в каждой строке будет только один элемент, равный единице, а остальные будут равны нулю. То же самое относится к каждому столбцу.

Допустим, что имеется следующая система собственных функций канонических структур $\Psi_1, \Psi_2, \Psi_3, \Psi_4$, т. е.

$$\Phi = c_1 \Psi_1 + c_2 \Psi_2 + c_3 \Psi_3 + c_4 \Psi_4$$

и пусть

$$R(\Psi_1 \Psi_2 \Psi_3 \Psi_4) = (\Psi_1 \Psi_2 \Psi_3 \Psi_4) A_R = (\Psi_2 \Psi_3 \Psi_1 \Psi_4),$$

где

$$A_R = \begin{pmatrix} 0 & 0 & 1 & 0 \\ 1 & 0 & 0 & 0 \\ 0 & 1 & 0 & 0 \\ 0 & 0 & 0 & 1 \end{pmatrix}$$

Это значит, что

$$R\Phi = c_1 \Psi_2 + c_2 \Psi_3 + c_3 \Psi_1 + c_4 \Psi_4$$

и, согласно выражению (22),

$$c_1 \Psi_1 + c_2 \Psi_2 + c_3 \Psi_3 + c_4 \Psi_4 = c_1 \Psi_2 + c_2 \Psi_3 + c_3 \Psi_1 + c_4 \Psi_4.$$

Так как в этом тождестве коэффициенты соответствующих функций должны быть равны, то

$$c_1 = c_2 = c_3$$

и, следовательно,

$$\Phi = c_I \Psi_I + c_{II} \Psi_{II},$$

где

$$\left. \begin{aligned} \Psi_I &= \Psi_1 + \Psi_2 + \Psi_3, \quad \Psi_{II} = \Psi_4, \\ c_I &= c_1 = c_2 = c_3, \quad c_{II} = c_4. \end{aligned} \right\}$$

Теперь вековое уравнение, соответствующее функции (31), будет уравнением второй степени. Таким образом, в результате применения положения (22) вековое уравнение четвертой степени, соответствующее функции (28), превратилось в уравнение второй степени, соответствующее функции (31).

Для определения энергетических уровней молекулярных орбит мы можем использовать выражение (23). Молекулярную орбиту можно выразить через линейную комбинацию атомных орбит, т. е.

$$\varphi = \sum_{i=1}^n \psi_i,$$

где $\psi_1, \psi_2, \dots, \psi_n$ — атомные орбиты. Систему этих орбит мы можем представить в виде однострочной матрицы $(\psi_1 \psi_2 \dots \psi_n)$. Тогда

$$R(\psi_1 \psi_2 \dots \psi_n) = (\psi_1 \psi_2 \dots \psi_n) A_R,$$

где A_R — квадратная матрица.

Пусть имеется молекулярная орбита:

$$\varphi = c_1 \psi_1 + c_2 \psi_2 + c_3 \psi_3 + c_4 \psi_4 + c_5 \psi_5$$

и пусть

$$R(\psi_1 \psi_2 \psi_3 \psi_4 \psi_5) = (\psi_1 \psi_2 \psi_3 \psi_4 \psi_5) A_R = (\psi_2 \psi_4 \psi_1 \psi_3 \psi_5),$$

$$A_R = \begin{pmatrix} 0 & 0 & 1 & 0 & 0 \\ 1 & 0 & 0 & 0 & 0 \\ 0 & 0 & 0 & 1 & 0 \\ 0 & 1 & 0 & 0 & 0 \\ 0 & 0 & 0 & 0 & 1 \end{pmatrix} \quad (36)$$

гда по выражению (23)

$$(c_1\psi_1 + c_2\psi_2 + c_3\psi_3 + c_4\psi_4 + c_5\psi_5)^2 = (c_1\psi_2 + c_2\psi_4 + c_3\psi_1 + c_4\psi_3 + c_5\psi_5)^2. \quad (37)$$

сюда первые равенства коэффициентов, т. е.

$$c_1 = c_2, \quad c_2 = c_4, \quad c_3 = c_1, \quad c_4 = c_3 \quad (38)$$

иводят к молекулярной орбите

$$\varphi = c_I \Psi_I + c_{II} \Psi_{II}, \quad (39)$$

$$\left. \begin{aligned} \Psi_I &= \psi_1 + \psi_2 + \psi_3 + \psi_4, & \Psi_{II} &= \psi_5, \\ c_I &= c_1 = c_2 = c_3 = c_4, & c_{II} &= c_5 \end{aligned} \right\} \quad (40)$$

вторые равенства коэффициентов, т. е.

$$c_1 = -c_2, \quad c_3 = -c_4, \quad c_3 = -c_1, \quad c_4 = -c_2, \quad c_5 = -c_5 \quad (41)$$

ют молекулярную орбиту

$$\varphi = c'_I \Psi_I + c'_{II} \Psi_{II}, \quad (42)$$

$$\left. \begin{aligned} \Psi'_I &= \psi_1 + \psi_4, & \Psi'_{II} &= \psi_2 + \psi_3, \\ c'_I &= c_1 = c_4, & c'_{II} &= c_2 = c_3. \end{aligned} \right\} \quad (43)$$

ким образом, вековой определитель пятого порядка, отвечающий (35), разлагается на два определителя второго порядка, соответствующих вычислениям (39) и (42).

Здесь важно отметить, что для применения метода упрощения нет необходимости симметризации исходной функции, определения состава приводимого представления, применения теоремы о подборе матричных элементов и связанного с этим применения довольно сложной, а иногда запутливой, математической процедуры. Следует также отметить, что предложенный метод упрощения не может полностью заменить чрезвычайно важного метода теории групп. Он может быть одной из форм применения метода теории групп.

В следующих сообщениях будут даны конкретные примеры вычислений предложенным методом и обычным сложным методом (для сравнения) теории групп.

Выводы

1. Рассмотрены два способа симметризации исходной собственной функции; дан строгий вывод основных выражений.

2. Показано, что применение метода теории групп в квантовой химии может быть упрощено, исходя из следующих положений:

1. Полная собственная функция общей системы в основном состоянии является инвариантной по отношению к преобразованиям под действием операции группы симметрии рассматриваемой молекулы.

II. Квантово-механическое распределение электронной плотности в замкнутых оболочках молекулы имеет такую же симметрию, как симметрия поля ядерного остова.

III. Наилучшая молекулярная орбита, представляющая собой линейную комбинацию атомных орбит, может быть только реальной.

IV. Квадрат молекулярной орбиты является инвариантным по отношению к преобразованиям операциями группы симметрии данной молекулы.

3. Подвергая действию операции группы симметрии рассматриваемой молекулы, приведенные положения позволяют найти всевозможные простейшие выражения исходной вариационной функции. Посредством этих тождеств определяются все возможные равенства коэффициентов вариационной функции c_i ; это во всех случаях приводит к уменьшению векового определителя. Во многих случаях результаты упрощения векового определителя такие, как и в случае применения обычного метода теории групп.

Одесский государственный
университет им. И. И. Мечникова

Поступила
17.IV.1958

ЛИТЕРАТУРА

1. E. Wigner, Gruppentheorie und ihr Anwendung auf die Quantenmechanik der Atomspektren. Braunschweig, 1931.
2. Г. Эйриш, Д. Уолтер, Д. Кимбалл, Квантовая химия, ИИЛ, Москва, 1948.
3. Э. Бауер, Введение в теорию групп и ее приложение в квантовой физике. ОНТИ СССР, 1937.
4. C. C. I. Roothaan, Rev. Mod. Phys., 23, 69, 1951.

ON THE POSSIBILITY OF SIMPLIFYING THE GROUP THEORY METHOD IN QUANTUM CHEMISTRY. I

O. K. Davtyan (Odessa)

Summary

It has been shown that the application of the group theory method in quantum chemistry may be simplified on the basis of the following assumptions:

I) The complete eigenfunction of the general system in the fundamental state is invariant with respect to transformations by symmetry group operations on the given molecule.

II) The quantum mechanical distribution of the electron density in closed shells of the molecule has the same symmetry as the nuclear residue field.

III) The best molecular orbital representing a linear combination of the atomic orbitals may only be real.

On performing symmetry group operations on the molecule under consideration, the above principles enable one to obtain all possible identical expressions of the initial variation function. With the aid of these identities all possible equalities of the variation function coefficients are determined. In all cases this leads to a decrease in the secular determinant. The results from simplification of the secular equation are often the same in the case of applying the ordinary group theory method.

As illustration the calculation is given of the energy of the six mobile electrons in the benzene molecule both by the localized electron pair and the molecular orbital methods. In both cases the data obtained and the degree of simplification of the secular equation do not differ from those following from the application of the ordinary group theory method.

The method proposed is very simple and requires no special knowledge of representation theory, nor of other particular problems of group theory, necessary in applying the ordinary method.

СКОРОСТИ ЭЛЕМЕНТАРНЫХ СТАДИЙ И МЕХАНИЗМ КАТОДНОГО ВЫДЕЛЕНИЯ ВОДОРОДА. II

Л. И. Кристаллик

В предыдущей статье [1] мы рассмотрели некоторые возможные механизмы катодного выделения водорода. При этом мы учитывали, что при достаточно больших катодных поляризациях энергия активации разряда благодаря своей конечной величине должна обратиться в нуль, и, следовательно, скорость разряда перестанет зависеть от потенциала ($\alpha = 0$). Следует, однако, учесть также и то обстоятельство, что конечной является энергия активации обратного процесса — ионизации; следовательно, при достаточно положительном потенциале скорость ионизации не зависит ($\beta = 0$). При этом энергия активации разряда совпадает с тепловым эффектом данного процесса, и количественная зависимость скорости разряда от потенциала меняется ($\alpha = 1$). Такой процесс мы будем называть безбарьерным.

Таким образом обычный процесс разряда ($\alpha = 1/2$) может осуществляться лишь в некоторой области потенциалов; в более отрицательной должен иметь место безактивационный разряд (и безбарьерная ионизация, $\alpha = 0$, $\beta = 1$), а в более положительной — безбарьерный заряд (и безактивационная ионизация, $\alpha = 1$, $\beta = 0$).

Аналогичные соображения применимы и к процессам электрохимической десорбции и адсорбции.

Изложенные выше выводы непосредственно текут также из обычной схемы потенциальных кривых (рис. 1).

Исходное уравнение для скорости разряда, не зависящее от допущений о величине α , ΔH и ΔS активации, может быть записано в следующем виде:

$$\vec{i}_p = e \frac{kT}{h} \times \frac{\gamma_{H_3O^+}^\beta}{\gamma^{\neq}} \cdot 10^{15} \cdot 56^{-\beta} c_{H_3O^+}^\beta a_{H_2O}^\alpha \rho_{H_2}^{\alpha/2} (1 - \theta) \times \\ \times \exp \left\{ -\frac{1}{RT} [G^{\neq 0} - \beta G_1^{00} - \alpha G_2^{00} - \alpha \eta F + \beta \phi_1 F] \right\}. \quad (1)$$

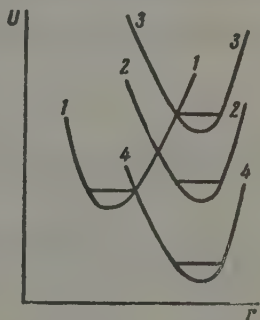


Рис. 1. Схема потенциальных кривых: 1 — адсорбированный атом H; 2 — ион H_3O^+ в области обычного разряда; 3 — ион H_3O^+ (при потенциале более отрицательном имеет место безактивационный разряд); 4 — ион H_3O^+ (при потенциале более положительном имеет место безбарьерный заряд)

но вытекает из уравнения (5), (11), (14), (20) и (21) статьи [2]. Обсуждения здесь и в дальнейшем аналогичны применявшимся ранее [1, 2].

Выражая $G^{\neq 0}$ через энергию и энтропию активации и принимая для энтропии активированного состояния данное М. И. Темкиным [3] соотношение $S = \beta S_{H_3O^+}^{00}$, можно получить выражение для скорости обычного разряда [2].

Для безактивационного разряда $\alpha = 0$, а активированное состояние совпадает с исходным состоянием для элементарного акта реакции, т. е. адсорбированным ионом H_3O^+ и электроном в металле ($G^{\neq 0} = G_{1s}^{00} = G_1^{00} + \Delta G_{a_{\text{H}_3\text{O}^+}}^{00}$). Отсюда

$$\vec{i}_p^* = \varepsilon \frac{kT}{h} \times \frac{\gamma_{\text{H}_3\text{O}^+}}{\gamma^{\neq}} \cdot 10^{15} \cdot 56^{-1} c_{\text{H}_3\text{O}^+} (1 - \theta) \exp \left[- \frac{\Delta G_{a_{\text{H}_3\text{O}^+}}^{00} + \psi_1 F}{RT} \right].$$

Для безбарьерного разряда ($\alpha = 1$) активированное состояние совпадает с конечным, т. е. $G^{\neq 0} = G_{2s}^{00} = G_2^{00} + \Delta G_{a_{\text{H}_2\text{O}}}^{00} + \Delta G_{a_{\text{H}}}^{00}$.

Учитывая, что $S_{\text{H}_s}^{00} \approx 0$, получаем

$$\vec{i}_p^{\neq} = \varepsilon \frac{kT}{h} \frac{\kappa}{\gamma^{\neq}} \cdot 10^{15} a_{\text{H}_2\text{O}} p_{\text{H}_2}^{1/2} (1 - \theta) \times \\ \times \exp \left\{ - \frac{1}{RT} \left[\Delta H_{a_{\text{H}_2\text{O}}} + \Delta H_{a_{\text{H}}} + T \left(\frac{1}{2} S_{\text{H}_2}^0 - \Delta S_{a_{\text{H}_2\text{O}}}^{00} \right) - \eta F \right] \right\}.$$

Аналогично для электрохимической десорбции

$$\vec{i}_{\text{д.д}}^* = \varepsilon \frac{kT}{h} \times \frac{\gamma_{\text{H}_3\text{O}^+}^{\beta}}{\gamma^{\neq}} \cdot 10^{15} \cdot 56^{-\beta} c_{\text{H}_3\text{O}^+}^{\beta} a_{\text{H}_2\text{O}}^{\alpha} p_{\text{H}_2}^{\alpha/2} \theta \times \\ \times \exp \left\{ - \frac{1}{RT} \left[G^{\neq 0} - \beta G_1^{00} - \Delta G_{a_{\text{H}}}^{00} - \alpha G_2^{00} - \alpha \eta F + \beta \psi_1 F \right] \right\}; \\ \vec{i}_{\text{д.д}}^* = \varepsilon \frac{kT}{h} \times \frac{\gamma_{\text{H}_3\text{O}^+}}{\gamma^{\neq}} \cdot 10^{15} \cdot 56^{-1} c_{\text{H}_3\text{O}^+} \theta \exp \left[- \frac{\Delta G_{a_{\text{H}_3\text{O}^+}}^{00} + \psi_1 F}{RT} \right]; \\ \vec{i}_{\text{д.д}}^{\neq} = \varepsilon \frac{kT}{h} \frac{\kappa}{\gamma^{\neq}} \cdot 10^{15} a_{\text{H}_2\text{O}} p_{\text{H}_2}^{1/2} \theta \times \\ \times \exp \left\{ - \frac{1}{RT} \left[\Delta H_{a_{\text{H}_2\text{O}}} + \Delta H_{a_{\text{H}_2}} - \Delta H_{a_{\text{H}}} + T \left(\frac{1}{2} S_{\text{H}_2}^0 - \Delta S_{a_{\text{H}_2\text{O}}}^{00} - S_{\text{H}_s}^{00} \right) - \eta F \right] \right\}.$$

Уравнения (2) и (5) обсуждались нами ранее [1]*.

Особенностью безбарьерных процессов является независимость их скорости от активности разряжающей частицы — иона H_3O^+ , ибо нормальный рост скорости с повышением $a_{\text{H}_3\text{O}^+}$ полностью компенсируется сдвигом в положительную сторону равновесного скачка потенциала. В уравнения (3) и (6) не входят также $\Delta G_{a_{\text{H}_3\text{O}^+}}^{00}$ и ψ_1 -потенциал благодаря компенсации их влияний на поверхностную концентрацию H_3O^+ и на энергию активации (тепловой эффект) элементарного акта разряда.

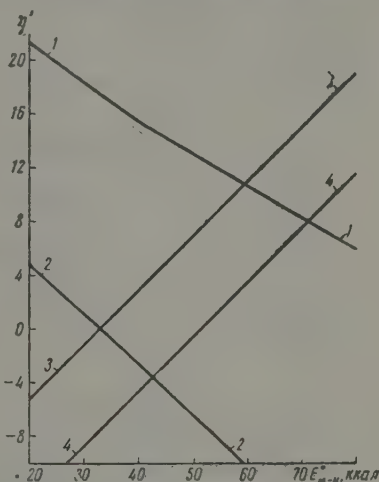
Границы областей разных типов процессов разряда и электрохимической десорбции представлены на рис. 2. Показанные на нем значения перенапряжения найдены как величины, при которых сравниваются зна-

* В соответствующих уравнениях в [1] вместо $\Delta G_{a_{\text{H}_3\text{O}^+}}^{00}$ стоит $\Delta H_{a_{\text{H}_3\text{O}^+}}$, так как при выводе было принято $S^{\neq 0} = \beta S_{\text{H}_3\text{O}^+}^{00} = S_{\text{H}_3\text{O}^+}^{00}$ (поскольку $\beta = 1$) вместо правильного $S^{\neq 0} = S_{\text{H}_3\text{O}^+}^{00}$. Правильные значения K_p на порядок выше приведенных в [1]. Соотношение $S^{\neq 0} = \beta S_{\text{H}_3\text{O}^+}^{00}$ обосновано для обычного разряда [3], но его применение к безактивационным, и особенно безбарьерным, процессам не является справедливым.

ния соответствующих констант скоростей *. Последние взяты из [1], также рассчитаны по уравнениям (2), (3), (5) и (6). При этом принято, что энтропия адсорбированных молекул H_2 , определяющаяся в основном межмолекулярными колебаниями, составляет ~ 3 э.е. Остальные величины оценены ранее [1,2].

Исходя из уравнений для скоростей разряда, электрохимической и каталитической десорбции и обратных им реакций, можно рассчитать стационарные степени заполнения поверхности и плотности поляризующего тока и токов отдельных электродных реакций. В [1] такой расчет был осуществлен в предположении прослойки адсорбции атомов водорода. В данной работе мы будем учитывать взаимодействие адсорбированных атомов, пользуясь предложенной М. И. Темным [4] моделью поверхностного элект-

рис. 2. Границы областей: 2 — безбарьерного, 1 — безактивационного разряда, 4 — безбарьерной и 3 — безактивационной электрохимической десорбции. Катодная поляризация считается положительной.
 $\eta' = \eta F / 2RT = \eta / 0,118$



родного газа. Кинетические уравнения для этой модели [5] близки к уравнениям для неоднородной поверхности или для других вариантов взаимодействия адсорбированных атомов [6] и имеют следующий вид:

$$\left. \begin{aligned} \bar{i}_p^{\rightarrow} &= K_{p0}^{\rightarrow} \cdot 10^{2\eta'} (1 - \theta) e^{-f\theta}, \\ \bar{i}_p^{\leftarrow} &= (K_{p0}^{\leftarrow} / q_0) \theta; \\ \bar{i}_p^{\rightarrow} &= K_{p0}^{\rightarrow} \cdot 10^{\eta'} (1 - \theta) e^{-\alpha f \theta}, \\ \bar{i}_p^{\leftarrow} &= (K_{p0}^{\leftarrow} / q_0) \cdot 10^{-\eta'} \theta e^{+\beta f \theta}; \\ \bar{i}_p^{\rightarrow*} &= K_{p0}^* (1 - \theta), \\ \bar{i}_p^{\leftarrow*} &= (K_{p0}^* / q_0) \cdot 10^{-2\eta'} \theta e^{+f\theta}; \end{aligned} \right\} \quad (7) **$$

* Более точно определить граничные значения η как такие, при которых достигается определенное расположение потенциальных кривых (рис. 1). Рассчитанные таким образом величины не совпадают с данными рис. 2, что обусловлено различным значением предэкспоненциального множителя для безбарьерного, обычного и безактивационного процессов. Вероятно, что переход от одного значения α к другому происходит постепенно, и кривые $\lg i$ (при $\theta = \text{const}$) — η представляют собой не две пересекающиеся прямые, а обладают более сложной формой. В рамках нашего приближенного расчета мы остановились на упрощенной прямолинейной зависимости, поскольку она наиболее простым путем дает приемлемые значения плотностей тока, соответствующих переходу от одного процесса к другому.

** При расчетах в уравнениях (7) и (8) вносилась небольшая поправка, учитывающая изменение $\Delta H_{aH_2O^+}$ при изменении энергии связи $M - H$ [2].

$$\begin{aligned}
 \vec{i}_{\text{в.д}}^{\#} &= K_{\text{в.д}}^{\#} \cdot 10^{2\eta'} \theta e^{+f\theta}, \\
 \overleftarrow{i}_{\text{в.д}}^{\#} &= K_{\text{в.д}}^{\#} q_0' (1 - \theta); \\
 \vec{i}_{\text{в.д}} &= K_{\text{в.д}} \cdot 10^{\eta'} \theta e^{+af\theta}, \\
 \overleftarrow{i}_{\text{в.д}} &= K_{\text{в.д}} q_0' \cdot 10^{-\eta'} (1 - \theta) e^{-\beta f\theta}, \\
 \vec{i}_{\text{в.д}}^* &= K_{\text{р}}^* \theta, \\
 \overleftarrow{i}_{\text{в.д}}^* &= K_{\text{р}}^* q_0 \cdot 10^{-2\eta'} (1 - \theta) e^{-f\theta}; \\
 \vec{i}_{\text{кат}} &= K_{\text{кат}} \theta^2 e^{2f\theta}, \\
 \overleftarrow{i}_{\text{кат}} &= K_{\text{кат}} q_0^2 (1 - \theta)^2; \\
 \vec{i}_{\text{кат}} &= K'_{\text{кат}} \theta^2 e^{\frac{1}{4} f\theta}, \\
 \overleftarrow{i}_{\text{кат}} &= K'_{\text{кат}} q_0^2 (1 - \theta)^2 e^{-\frac{7}{4} f\theta}.
 \end{aligned}
 \tag{a} \tag{b} \tag{a} \tag{b}$$

Здесь индекс нуль указывает, что соответствующие значения относятся к нулевому заполнению поверхности, $q_0 = \theta_0 / 1 - \theta_0$, где θ_0 — равновесное заполнение поверхности без учета взаимодействия адсорбированных атомов, $f = C / RT$, где C — величина, определяющая снижение энергии связи по мере заполнения поверхности ($E_{\text{М-Н}} = E_{\text{М-Н}}^0 - C\theta$). По смыслу гипотезы М. И. Темкина [4], величина C должна быть практически одинакова для всех металлов. В дальнейших расчетах принято $C = 10$ ккал (экспериментальные данные колеблются в пределах 7—16 ккал [4,7]).

Расчет проведен в двух вариантах. В первом из них $\vec{i}_{\text{кат}}$ определяется по уравнениям, выведенным в предположении совершенно беспорядочного распределения атомов Н на поверхности металла [уравнения (7) статьи [1] и (9а) настоящей работы]. Во втором варианте это предположение сохранялось для металлов с большей теплотой адсорбции водорода (см. [1]), а для низкой $E_{\text{М-Н}}$ принималось, что скорость рекомбинации определяется скоростью поверхностной миграции атома водорода [уравнения (12) [1] и (9б); энергия активации миграции $\approx \frac{1}{4} E_{\text{М-Н}}$].

Поскольку процессы разряда и электрохимической десорбции нарушают упорядоченное расположение атомов на поверхности, первый вариант расчета может давать правильные результаты даже при низких $E_{\text{М-Н}}$. В некоторых случаях, особенно в области перехода от одного механизма к другому, следует ожидать соотношений, промежуточных между результатами обоих вариантов расчета. Следует отметить, что в рамках модели поверхностного электронного газа вероятность процесса разряда (или электрохимической десорбции) для данной точки поверхности зависит в основном от суммарной степени заполнения, а не от характера расположения ближайших адсорбированных атомов.

На рис. 3 и 4 показаны границы областей с различным механизмом выделения водорода для первого варианта расчета и на рис. 5 и 6 для второго. Значения равновесных токов обмена разряда, электрохимической и каталитической десорбции нанесены на рис. 7.

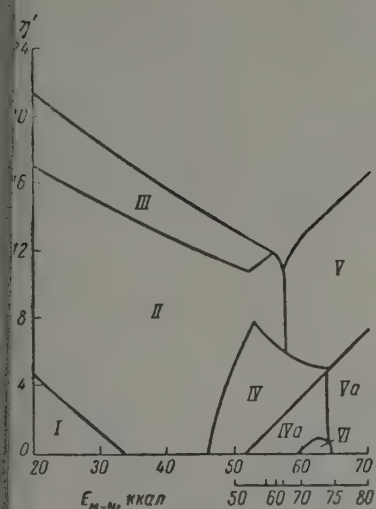


Рис. 3

Рис. 3. Области с различным механизмом выделения водорода. Первый вариант расчета. По абсциссе верхняя шкала соответствует значениям энергии связи при равновесном, а нижняя — при нулевом заполнении поверхности водородом. Обозначения см. в тексте

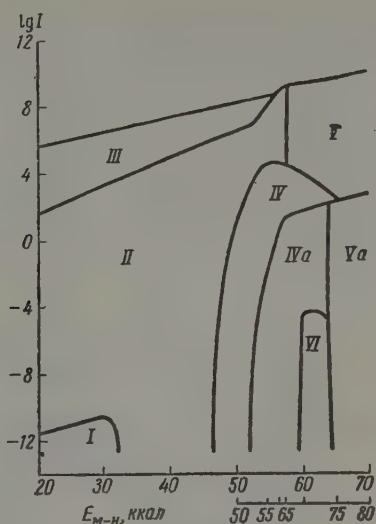


Рис. 4

Рис. 4. Области с различным механизмом выделения водорода. Первый вариант расчета

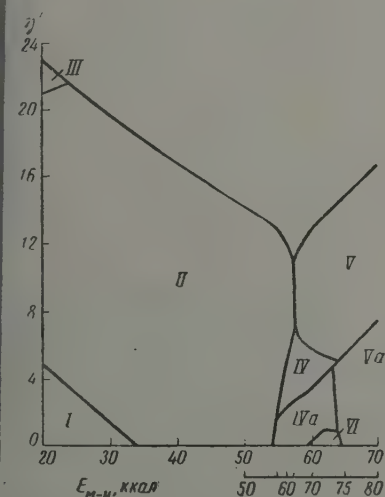


Рис. 5

Рис. 5. Области с различным механизмом выделения водорода. Второй вариант расчета

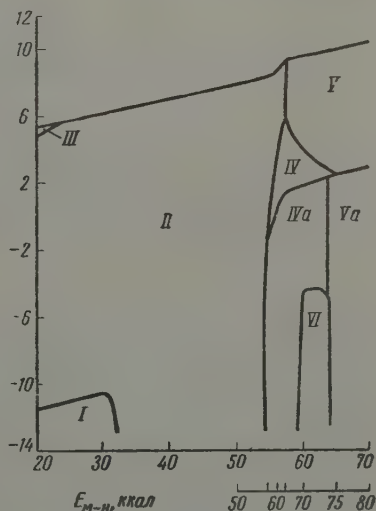


Рис. 6

Рис. 6. Области с различным механизмом выделения водорода. Второй вариант расчета

Для небольших энергий связи при малых поляризациях скорость выделения водорода определяется безактивационным разрядом ($b = 0,06 \text{ V}$, $\partial \eta / \partial p\text{H} = \partial \eta / \partial \phi_1 = 0$) — область *I* на рис. 3—6. Соответствующие ей очень низкие плотности тока экспериментально еще не изучены.

В широкой области плотностей тока имеет место обычный замедленный разряд с электрохимической десорбцией *II* (безактивационной или обычной). При высоких перенапряжениях заметно удаление водорода путем каталитической рекомбинации (*III*). Верхние кривые рис. 3—6 указывают на появление предельного тока разряда (над областями *II* и *III*) или электрохимической десорбции (над *IV*).

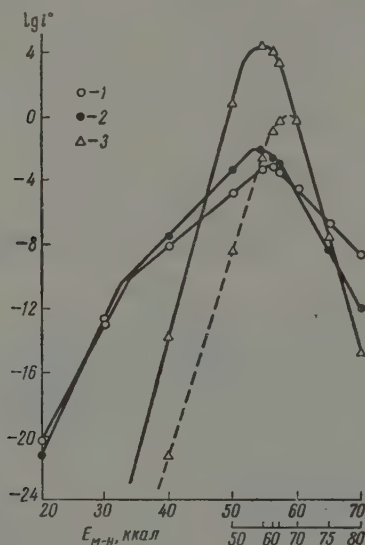


Рис. 7

Рис. 7. Равновесные значения токов обмена: 1 — i_p^0 ; 2 — $i_{в.д.}^0$; 3 — $i_{кат}^0$. Штриховой линией показан $i_{кат}^0$ для второго варианта расчета

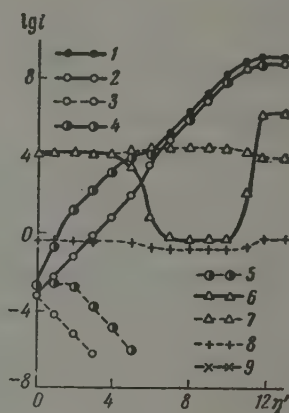


Рис. 8

Рис. 8. Плотности тока и степени заполнения при $E_{M-H} = 60 \text{ ккал}$: 1 — \vec{i} ; 2 — \vec{i}_p ; 3 — \vec{i}_p ; 4 — $\vec{i}_{в.д.}$; 5 — $\vec{i}_{в.д.}$; 6 — $\vec{i}_{кат}$; 7 — $\vec{i}_{кат}$; 8 — 0; 9 — $(1 - \theta)$

Для средних значений энергии связи становится вероятным адсорбционно-электрохимический механизм, т. е. замедленная электрохимическая десорбция атома водорода, появившегося на поверхности электрода не путем разряда иона H_3O^+ , а путем адсорбции из газовой фазы [1]. При этом в зависимости от значения E_{M-H} и η электрохимическая десорбция является безбарьерной (*IVa*) или обычной (*IV*) (см. также рис. 8). Для адсорбционно-электрохимического механизма характерно появление в некоторых случаях предельного тока каталитической адсорбции, переходящего для высоких E_{M-H} в перегиб кривой. Области ниже предельного тока адсорбции отвечают степени заполнения поверхности, близкие к равновесным. При повышении поляризации адсорбционно-электрохимический механизм сменяется замедленным разрядом (*II*) или замедленной электрохимической десорбцией (*IV*).

Для высоких значений E_{M-H} вероятен замедленный разряд с каталитическим отводом (*VI*), причем $\vec{i}_p = \vec{i}_{кат} - \vec{i}_{кат}$ при $\vec{i}_{кат} \approx \vec{i}_{кат} \gg \vec{i}_p$ и практически равновесной степени заполнения, близкой к единице

$1 - \theta < 10^{-2}$). Этим область VI отличается от III, для которой $i_{\text{кат}} \gg i_{\text{кат}}^0$ и $\theta \gg \theta_0$. Верхняя граница области VI определяется тем, что ток безактивационной электрохимической десорбции, значительно быстрее растущий с потенциалом, чем ток разряда, сравнивается с последним по величине.

Близкие величины токов разряда, электрохимической десорбции и обратных им процессов и разная зависимость их от потенциала приводят к тому, что зависимость суммарного тока от потенциала может иметь сложный характер (рис. 9), причем для линейного участка кривых $\lg I - \eta$ значение коэффициента b меняется в пределах области VI от 0,02 — 0,03 В до 0,11 — 0,12 В.

Для наиболее высоких значений $E_{\text{М-Н}}$ расчет указывает на механизм замедленной электрохимической десорбции — безбарьерной (Va) или обычной (V).

Следует отметить, что изменение в разумных пределах принятых в расчете значений констант в основном не меняет описанной выше качественной картины (исключения см. ниже). Аналогичный порядок величин получается и без учета взаимодействия атомов, если сравниваемые цифры относить к одинаковым значениям $E_{\text{М-Н}}$ при равновесном, а не нулевом заполнении. Поэтому небольшая неточность в оценке величины C вряд ли имеет существенное значение.

Наш расчет, как и в [1], не выявил области, которой скорость выделения водорода определялась бы скоростью каталитической рекомбинации. В рамках допущений, принятых в [1], такой механизм не мог осуществиться, ибо во всей области средних и высоких энергий связи ток обмена электрохимической десорбции значительно превышал ток обмена разряда. Учет возможности безбарьерной электрохимической десорбции сравнивает соответствующие токи обмена (рис. 7). Ток разряда может быть больше рассчитанного как из-за неточности в расчете, так и из-за сдвига ϕ_1 -потенциала в отрицательную сторону, что обычно имеет место в чистых растворах кислот. В случае, когда $\vec{i}_p > \vec{i}_{\text{э.д.}}$, отвод водорода происходит по каталитическому механизму.

Скорость каталитической десорбции в данной области $E_{\text{М-Н}}$ рассчитана в предположении, что энергия активации равна теплоте рекомбинации. Это, по-видимому, завышает величину $\vec{i}_{\text{кат}}$, причем ошибка может быть особенно заметной для $E_{\text{М-Н}}$ порядка 50—60 ккал, для которых тепловой эффект мал. Если учесть это обстоятельство, то становится возможным, что $\vec{i}_p^0 > \vec{i}_{\text{кат}}^0 > \vec{i}_{\text{э.д.}}^0$, т. е. становится возможной замедленная каталитическая десорбция. При этом $b = 0,03$ В при неупорядоченном расположении атомов на поверхности и приближается к 0,12 В, если скорость рекомбинации определяется поверхностной миграцией [5].

Указанные соотношения могут наблюдаться лишь при довольно высоких токах обмена, т. е. при значении постоянной a порядка сотых долей вольт. При высоких плотностях тока может проявиться тенденция к предельному току каталитической десорбции с последующим переходом к электрохимическому удалению водорода.

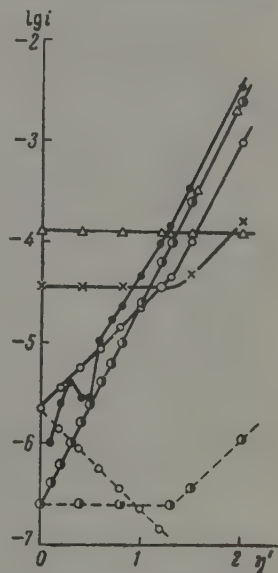


Рис. 9. Плотности тока и степени заполнения при $E_{\text{М-Н}} = 72,5$ ккал. Обозначения см. рис. 8

Материал катода	Экспериментальные значения постоянных		Литература	E^0_{M-H} рассчитан.	Предполагаемый механизм выделения водорода	E^0_{M-H} эксперим. и литература
	a	b				
Pb	1,56	0,11	[8]	25,5	Замедленный разряд с электр. десорбц. (II)	—
Tl	1,55	0,14	[8]	26	То же	—
Hg	1,415	0,113	[8]	28,5	» »	—
Cd	1,40	0,12	[8]	29	» »	—
Sn	1,24	0,12	[9]	32,5	» »	—
Zn	1,24	0,12	[8]	32,5	» »	—
Ag	0,48—0,95	0,11—0,13	[10—12]	37,5—51	» »	—
Cu	0,77—0,81	0,11—0,12	[8,13,14]	43	» »	—
Au	0,55	0,10	[14]	49	» »	—
Fe	0,70—0,77	0,12	[14,15]	45	» »	68 [7,16,17]
Co	0,6—0,7	0,14—0,15	[18]	45—48	» »	64 [17]
Ni	0,51—0,63	0,09—0,14	[12,19]	47—50	» »	67 [7,16,17]
Mo	0,25	0,04	[9]	~70 или ~75	Безбарьерн. адс.-эл. хим. (IVa) Зам. разр. при $\theta \approx 1$ и электрохим. десорбции	72 [17]
W	0,67	0,10	[14]	73,5	Зам. разряд с каталит. удалением (VI)	—
	0,23	0,04	[9]	~70 или ~75	Безбарьерн. адс.-эл. хим. (IVa) Зам. разр. при $\theta \approx 1$ и электрохим. десорбции	74
	0,55—0,62	0,10—0,11	[12,25]	73 или 80—83	Зам. разр. с кат. удалением (VI) Зам. электрохим. десорбции (V)	[7,16,17]
	0,43—0,44	0,06	[25]	73,5	Безбарьерн. адс.-электрохим. (IVa) или безбарьерн. электрохим. десорбция (Va)	—
Pt	0,25—0,30	0,1—0,14	[12,20]	55—60	Зам. разр. с электрохим. десорбц. (II)	—
	0,07—0,1	0,03	[20]	~60	Зам. каталит. рекомб.	65
	0,34	0,05	[25]	71,5	Безбарьерн. адс.-эл. хим. (IVa)	[16,17]
Pd	0,39	0,10	[14]	53	Зам. разр. с электрохим. десорбц. (II)	65
	0,16—0,28	0,12	[21]	55—65	Безбарьерн. адс.-электрохим. (IVa)	[7,17]
Rh	0,21	0,055	[14]	67	Безбарьерн. адс.-электрохим. (IVa)	65 [7,16,17]

Из приведенных соображений вытекает, что путем изменения состава раствора можно было бы, снизив скорость разряда, перейти от замедленной рекомбинации к адсорбционно-электрохимическому механизму.

Оценка возможных значений парциальных токов обмена показывает, что замедленная рекомбинация возможна лишь для катодов с энергией связи с водородом, близкой к 60 ккал. При очень высоких степенях заполнения ($E_{M-H} \geq 70$ ккал) скорость каталитической рекомбинации практически постоянна и, следовательно, не может определять зависимость тока от потенциала.

Адсорбция на электроде различных примесей неодинаково влияет на близкие по величине скорости разряда, безбарьерной электрохимической десорбции и каталитической рекомбинации (рис. 7), благодаря чему механизм выделения водорода на этих электродах может меняться в зависимости от способа подготовки электрода и раствора. Это замечание относится не только к $E_{M-H} \sim 60$ ккал, но и к более высоким энергиям связи. В частности, в отличие от результатов предыдущей статьи, в которой была указана возможность замедленного разряда при очень высоком заполнении поверхности ($b = 0,04$ V, $\partial\eta/\partial pH = 0,02$ V, $\partial\eta/\partial\phi_1 = 1$), в данном расчете соответствующая область не проявилась. Не исключена, однако, возможность ее появления в результате соответствующего изменения поверхности.

На рис. 10 показаны рассчитанные значения постоянной a для различных механизмов выделения водорода. В таблице представлены экспериментальные значения постоянной a и b . В ряде случаев они относятся к растворам разного состава, причем не имеет места строгое соблюдение условий, принятых нами в расчете. Мы не включили в таблицу часть данных, относящихся к поляризационным кривым неправильной формы, связанной, вероятно, с изменениями ϕ_1 -потенциала.

Плотности тока, соответствующие переходу от одной ветви поляризационной кривой к другой, в ряде случаев сильно отличаются от рассчитанных; последние весьма чувствительны ко всем неточностям расчета. В таблице указаны значения E_{M-H} , при которых наш расчет согласуется с величинами a и b , предполагаемый механизм выделения водорода и экспериментальные значения E_{M-H} .

Для металлов с малой энергией связи нет надежных экспериментальных доказательств адсорбции водорода; E_{M-H} для них, по всей вероятности, ниже 50 ккал [16]. По косвенным данным, адсорбционная способность убывает в порядке $Cu \gtrsim Au > Ag \gtrsim Zn$, Sn , Cd , Pb [16], что согласуется с нашим расчетом. Наиболее вероятным механизмом для этих катодов является замедленный разряд [8, 11, 14].

Для металлов группы железа также наиболее вероятен замедленный разряд с электрохимической десорбцией [22]. Рассчитанные значения E_{M-H} здесь существенно ниже экспериментальных. Это связано, по-видимому, с тем, что экспериментальные значения энергий адсорбции относятся к быстрой адсорбции водорода свежеевозогнанной пленкой металла, не поглотившего водорода [7]. При электролизе же поверхностный слой железа содержит растворенный водород [8], что может привести к снижению энергии связи.

Аналогичные явления наблюдаются на палладиевом электроде. Поляризация активного Pd электрода в кислых растворах обусловлена медленностью диффузии молекул H_2 [23, 24]. Для электрода, предварительно насыщенного водородом, имеет место замедленный разряд [14], причем рассчитанное значение E_{M-H} ниже экспериментального. Без предварительного насыщения металла водородом получают при высоких плотностях тока величины $b \sim 0,12$ V [21], причем соответствующие экспериментальным данным расчетные значения E_{M-H} лежат в широком интервале (возможно, из-за разной степени насыщения катода водородом).

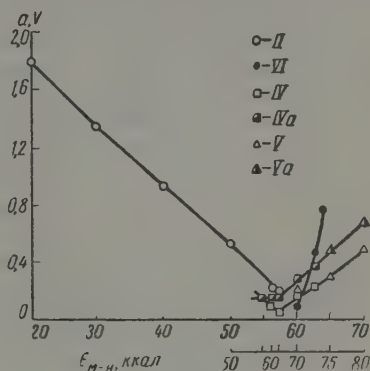


Рис. 10. Значения постоянной a для различных механизмов выделения водорода. Обозначения см. в тексте

Для других металлов согласие рассчитанных и экспериментальных величин E_{M-H} вполне удовлетворительно, особенно если учесть приближенный характер расчета и сделанные выше замечания о возможном влиянии условий опыта на механизм процесса.

Выводы

Конечная величина энергий активации разряда и ионизации должна приводить к существованию наряду с обычными ($\alpha = 1/2$), безактивационных ($\alpha = 0$) и безбарьерных ($\alpha = 1$) процессов разряда и электрохимической десорбции. С учетом этого обстоятельства, а также взаимодействия адсорбированных атомов, рассчитаны методом активированного комплекса скорости реакций образования и удаления атомов водорода. Соотношение этих скоростей, зависящее от условий опыта, определяет суммарный механизм выделения водорода. Рассмотрены некоторые вероятные механизмы. Результаты расчета находятся в удовлетворительном согласии с экспериментальными данными.

Поступила
16.IV.1958

ЛИТЕРАТУРА

1. Л. И. Кришталлик, Ж. физ. химии 33, 1715, 1959.
2. Л. И. Кришталлик, Ж. физ. химии, 31, 2403, 1957.
3. М. И. Темкин, Тр. Совещания по электрохимии, 1950 г. Изд-во АН СССР, М., 1953, стр. 181.
4. М. И. Темкин, Вопросы химической кинетики, катализа и реакционной способности. Изд-во АН СССР, М. 1955, стр. 484.
5. Л. И. Кришталлик, Ж. физ. химии, 33, 2729, 1959.
6. М. И. Темкин, Ж. физ. химии, 15, 296, 1941.
7. О. Веек, *Advances in Catalysis*, 2, 151, 1950; русский перевод: Катализ. Вопросы теории и методы исследования. М., 1955, стр. 198; *Disc. Faraday Soc.*, 8, 118 1950.
8. А. Н. Фрумкин, В. С. Багоцкий, З. А. Иофа, Б. Н. Кабанов, Кинетика электродных процессов, Изд-во МГУ, М., 1952.
9. J. O'M. Bockris, R. Parsons, *Trans. Faraday Soc.*, 44, 860, 1948.
10. Б. Н. Кабанов, Ж. физ. химии, 8, 486, 1936.
11. J. O'M. Bockris, B. Conway, *Trans. Faraday Soc.*, 48, 724, 1952.
12. J. O'M. Bockris, A. Azam, *Trans. Faraday Soc.*, 48, 145, 1952.
13. J. O'M. Bockris, N. Pentland, *Trans. Faraday Soc.*, 48, 833, 1952.
14. N. Pentland, J. O'M. Bockris, E. Sheldon, *J. Electrochem. Soc.* 104, 182, 1957.
15. В. А. Кузнецов, З. А. Иофа, Ж. физ. химии, 21, 201, 1947.
16. B. M. W. Trapnell, *Chemisorption*, L., 1955.
17. D. P. Stevenson, *J. Chem. Phys.*, 23, 203, 1955.
18. А. Муртазаев, Ж. физ. химии, 23, 1247, 1949.
19. А. Легран, С. Левина, Ж. физ. химии 14, 211, 1940.
20. S. Schuldiner, *J. Elektrochem. Soc.*, 101, 426, 1954.
21. S. Schuldiner, J. P. Hoare, *J. Elektrochem. Soc.*, 102, 485, 1955.
22. А. Н. Фрумкин, Ж. физ. химии, 31, 1875, 1957.
23. А. Н. Фрумкин, П. А. Аладжалова, Ж. физ. химии, 18, 493, 1944.
24. L. Kandler, C. A. Knorr, C. Schwitzer, *Z. phys. Chem. (A)*, 180, 281, 1937.
25. B. E. Conway, J. O'M. Bockris, *J. Chem. Phys.*, 26, 532, 1957.

THE RATE OF THE ELEMENTARY STAGES AND THE MECHANISM OF THE CATHODIC EVOLUTION OF HYDROGEN

L. I. Krishtalik (Moscow)

Summary

The finite value of the activation energies of discharge and ionization should lead to the existence of barrierless ($\alpha=1$) and activationless ($\alpha=0$) processes of discharge and electrochemical desorption, alongside the ordinary quantities ($\alpha=1/2$). Taking into account this fact and also the interaction of adsorbed atoms, the rate of formation and of removal of H atoms has been calculated with the aid of the activated complex method. The ratios of these rates, depending upon the experimental conditions, determine the over-all mechanism of hydrogen evolution. A number of possible mechanisms has been discussed. The calculated results are in satisfactory agreement with experimental data.

ТЕРМОДИНАМИЧЕСКИЕ СВОЙСТВА ЭЛЕКТРОЛИТОВ В НЕВОДНЫХ РАСТВОРАХ

VII. ИССЛЕДОВАНИЕ РАСТВОРИМОСТИ AgCl И CsCl В СПИРТАХ,
КЕТОНАХ И СМЕШАННЫХ РАСТВОРИТЕЛЯХ МЕТОДОМ РАДИОАКТИВНЫХ
ИНДИКАТОРОВ

Н. А. Измайлов и В. С. Черный

Одним из нас было показано [1], что изменение свойств электролитов (растворимость, сила электролита, а также и э. д. с.) при переходе от одного растворителя к другому определяется изменением химической энергии сольватации ионов и молекул.

Вследствие недостаточной точности значений величин химической энергии сольватации и отсутствия систематических данных об этих величинах для неводных растворов необходимо непосредственное определение изменения этой энергии из экспериментальных данных.

Для оценки изменения химической энергии сольватации ионов $A_{\text{хим}}$ удобно пользоваться безразмерными величинами — средними нулевыми коэффициентами активности γ_0 , отнесенными к состоянию ионов в водном разбавленном растворе, как к стандарту [2].

Величина $\lg \gamma_0$ ионов определяется разностью химических энергий сольватации ионов в воде и в неводном растворителе:

$$\lg \gamma_0 = -\frac{\sum \nu A_{\text{хим. H}_2\text{O}} - \sum \nu A_{\text{хим. M}}}{2,3 \sum \nu RT} = -\frac{\Delta \sum A_{\text{хим}}}{2,3 \sum \nu RT}. \quad (1)$$

Определение величины $\Delta A_{\text{хим}}$ или соответственно $\lg \gamma_0$ может быть произведено на основании измерения любого термодинамического свойства растворенных электролитов — упругости пара, растворимости, э. д. с. и т. д.

В предыдущих работах [3, 4] измерение величины $\lg \gamma_0$ было произведено на основании измерения э. д. с. цепей без переноса для некоторых солей щелочных металлов и HCl в спиртах.

В настоящей работе определение изменения энергии ионов или соответственно величины $\lg \gamma_0$ мы производили из данных о растворимости

$$\lg \gamma_0 = \lg \frac{S_{\text{H}_2\text{O}} \gamma_{\text{H}_2\text{O}}^*}{S_{\text{M}} \gamma_{\text{M}}^*},$$

где $S_{\text{H}_2\text{O}}$ и S_{M} — растворимость соответственно в воде и в неводном растворителе, $\gamma_{\text{H}_2\text{O}}^*$ и γ_{M}^* — концентрационные коэффициенты активности.

Для труднорастворимых солей концентрационные коэффициенты активности γ^* близки к единице, а их отношение тем более близко к единице. Следовательно,

$$\lg \gamma_0 = \lg \frac{S_{\text{H}_2\text{O}}}{S_{\text{M}}}. \quad (2)$$

Определение $\lg \gamma_0$ из растворимости имеет ряд преимуществ перед определением $\lg \gamma_0^*$ из э. д. с., так как не требует подбора электродов, обратных к ионам исследуемой соли; не требует сложной электрометрической аппаратуры, связанной с высоким сопротивлением ячеек.

Кроме того, определение данных о растворимости в неводных растворителях имеют самостоятельное значение, так как систематических сведений о растворимости электролитов в неводных растворителях в литературе имеется немного.

Впервые систематическое исследование растворимости различных типов веществ при разных температурах в неводных растворителях было выполнено В. Ф. Тимофеевым [5].

В дальнейшем вопросу растворимости солей в неводных растворителях были посвящены работы Вальдена [6], Ларсена и Хунта [7], Ричи и Лео [8], Нейштадта [9], Коха [10], Павлополюса и Штрелова [11], Колтгофа, Лангейма и Ларсена [12]; в смешанных растворителях работы А. С. Баркан и Н. Ф. Ермоленко [13], А. С. Баркан и В. В. Шталя [14], А. К. Жданова и М. А. Сарказова [15], А. С. Баркан и А. М. Самороковой [16], А. С. Вознесенского и Р. С. Биктимирова [17] и др.

В качестве объектов исследования мы выбрали хлористое серебро как труднорастворимую соль, так как в этом случае концентрационные коэффициенты активности близки или равны единице, и хлористый цезий как типичный сильный электролит, хорошо растворимый в воде, и ион которого по своим размерам близок к иону серебра, но менее поляризуем. Серебро и цезий имеют изотопы со сравнительно продолжительными периодами полураспада, тип излучения и энергия излучаемых ими частиц позволяют проводить измерения интенсивности излучения на стандартной аппаратуре. Определение растворимости проводили методом радиоактивных индикаторов.

Впервые радиоактивные изотопы при определении растворимости были применены Хевеши и Панетом [18] и Вл. И. Спицыным [19]. Соткрытием искусственной радиоактивности радиоактивные изотопы при определении растворимости применялись многими исследователями [20—22]. В качестве растворителей мы выбрали группу нивелирующих растворителей, к которой относятся спирты (метиловый, этиловый, бутиловый, изоамиловый) и группу дифференцирующих растворителей, к которым относятся кетоны (ацетон, метилэтилкетон, метилпропилкетон и др.). Выбор спиртов и кетонов в качестве растворителей определялся тем, что мы хотели установить, как изменяется величина $\lg \gamma_0$ и растворимость в этих двух рядах растворителей.

Экспериментальная часть

Применяемые растворители подвергались тщательной очистке и их чистота контролировалась путем измерения плотности и показателя преломления.

Исходными веществами для получения AgCl были растворы AgNO_3 , меченого радиоактивными изотопами Ag^{110} ($T = 270$ дней) и хлористого натрия марки «х.ч.». Хлористый цезий был помечен радиоактивным изотопом Cs^{134} ($T = 1,7$ года).

Полученные соли AgCl и CsCl перед исследованием растворимости промывались спиртом и эфиром и подвергались сушке под вакуумом (10—20 мм) при 40—50°С. Удельная активность меченых солей для AgCl была от 0,75 до 4,45 $\mu\text{кю/г}$, для CsCl от 0,0004 до 0,4 $\mu\text{кю/г}$.

Исследуемые соли в количестве 20—50 мг помещались в ампулы ($V \approx 15$ —20 мл), заливались растворителем, запаивались и помещались в воздушный термостат, где взбалтывались. Многократные исследования растворимости [24—25], а также наши опыты показали, что равновесие между твердой фазой и раствором наступает через 16—18 час. взбалтывания. Для большей надежности время взбалтывания нами было проделано до 30—40 час. После 30—40 час. взбалтывания при $25 \pm 0,5^\circ$ для отделения твердой фазы от раствора ампулы устанавливались в вертикальное положение и выдерживались в термостате 3—4 часа. Для окончательного отделения твердой фазы отбавленный из ампулы раствор центрифугировался и проверялся на наличие коллоидных частиц. Было установлено, что коллоидные растворы образуются только для AgCl в воде. В этом случае исследуемый раствор перед измерением радиоактивности подвергался диализу. После центрифугирования из раствора исследуемой соли при помощи микропипетки отбирались пробы и равномерно наносились на диск фильтровальной бумаги ($d = 3$ см), сушились, заклеивались в кальку или целлофан. Из каждой ампулы готовилось не менее четырех образцов, а всего для каждой соли в одном растворителе готовилось до 12 образцов.

Во время центрифугирования и отбора проб температура в комнате поддерживалась 25°. Приготовленные образцы наматывались на цилиндрический счетчик типа МС или АМ и их радиоактивность измерялась на установке типа Б. Эталонные образцы при определении растворимости AgCl готовились как из Ag⁺Cl, так и из Ag⁺NO₃, при растворимости CsCl — из Cs⁺Cl. Растворимость исследуемой соли вычислялась по обычной формуле из данных интенсивности излучения пробы и эталона.

Оценку ошибок радиометрических измерений мы проводили по схеме, предложенной Н. П. Комарем [26]. Относительная точность измерений в подавляющем большинстве случаев при доверительной вероятности 0,95 составляет 1—5%.

Растворимость AgCl и CsCl в спиртах и кетонах приведена в табл. 1. Растворимость CsCl в смешанных растворителях приведена в табл. 2.

Таблица 1

Растворимость AgCl и CsCl в спиртах и кетонах

Растворитель	Растворимость моль/1000 г растворителя			
	AgCl		CsCl	
	наши данные	данные других авторов	наши данные	данные других авторов
вода	$0,852 \cdot 10^{-5}$	$1,33 \cdot 10^{-5}$	—	10,8 [30]
Метиловый спирт	$8,10 \cdot 10^{-7}$	$4,95 \cdot 10^{-7}$	0,215	0,197 [29]
Этиловый спирт	$4,43 \cdot 10^{-7}$	$1,09 \cdot 10^{-7}$	$2,31 \cdot 10^{-2}$	2
Бутиловый спирт	$1,01 \cdot 10^{-7}$	—	$1,73 \cdot 10^{-3}$	—
Изоамиловый спирт	$8,58 \cdot 10^{-8}$	—	$7,30 \cdot 10^{-4}$	—
Терпиловый спирт	—	—	$8,25 \cdot 10^{-4}$	—
Пентиловый спирт	—	—	$6,47 \cdot 10^{-4}$	—
Ацетон	$9,26 \cdot 10^{-8}$	—	$2,54 \cdot 10^{-4}$	—
Метилэтилкетон	$7,88 \cdot 10^{-8}$	—	$1,89 \cdot 10^{-4}$	—
Цетифенон	$4,77 \cdot 10^{-8}$	—	$1,24 \cdot 10^{-4}$	—
Метилпропилкетон	$2,08 \cdot 10^{-8}$	—	$7,33 \cdot 10^{-5}$	—

Таблица 2

Растворимость CsCl в смешанных растворителях ацетон + четыреххлористый углерод и ацетон + диоксан

Растворитель ацетон + CCl ₄ , мол. %	D	S $\frac{\text{моль}}{1000 \text{ г}}$	Растворитель ацетон + диоксан, мол. %	D	S $\frac{\text{моль}}{1000 \text{ г}}$
10 CCl ₄	16,9	$1,66 \cdot 10^{-4}$	10 диоксан	18,5	$1,94 \cdot 10^{-4}$
20 CCl ₄	13,7	$3,07 \cdot 10^{-5}$	20 »	16,0	$6,47 \cdot 10^{-5}$
40 CCl ₄	9,1	$1,35 \cdot 10^{-5}$	40 »	11,6	$2,44 \cdot 10^{-5}$
61 CCl ₄	6,2	$3,75 \cdot 10^{-6}$	60 »	7,9	$1,45 \cdot 10^{-5}$
75 CCl ₄	5,0	$1,70 \cdot 10^{-6}$	100 »	2,0	$3,18 \cdot 10^{-6}$
100 CCl ₄	2,23	$8,5 \cdot 10^{-8}$			

Из табл. 1 видно, что полученная нами растворимость AgCl в воде несколько ниже табличной. Это можно объяснить тем обстоятельством, что при диализе насыщенного водного раствора возможна адсорбция ионов серебра на пленке диализатора.

Растворимость AgCl в метиловом и этиловом спиртах, а также CsCl в метиловом спирте получалась завышенной по сравнению с имеющимися литературными данными. Это объясняется тем, что литературные данные о растворимости AgCl и CsCl в спиртах получены из измерения электродных потенциалов. Поэтому в этих условиях определена не общая концентрация ионов, а только ее ионная часть.

Обсуждение результатов

Из полученных данных о растворимости мы вычислили величины $\lg \gamma_0$ (табл. 3). На рис. 1 показана зависимость $\lg \gamma_0$ исследуемых солей от $1/D$

Таблица 3

Величины $\lg \gamma_0$ ионов для AgCl и CsCl

Растворитель	D	$\lg \gamma_0$ ионов	
		AgCl	CsCl
Вода	81	0	0
Метиловый спирт	31,2	1,04	1,70
Этиловый спирт	24,1	1,30	2,67
Бутиловый спирт	17,8	1,94	3,79
Изоамиловый спирт	15,8	2,02	4,17
Ацетон	21,4	1,96	4,62
Метилэтилкетон	18,0	2,03	4,95
Ацетофенон	18,3	2,25	4,94
Метилпропилкетон	12,0	2,61	5,16

растворителей. Из рис. 1 видно, что $\lg \gamma_0$ AgCl и CsCl в ряду спиртов линейно изменяется с величиной, обратной диэлектрической постоянной, как это было установлено ранее [2, 3] по отношению к $\lg \gamma_0$ галогидных солей щелочных металлов в ряду спиртов. В кетонах также имеет место линейная зависимость между $\lg \gamma_0$ и $1/D$, однако эта зависимость характеризуется значительно меньшим углом наклона.

Как было выведено ранее [1]

$$\lg \gamma_0 \text{ ион} = \frac{1}{2} \sum \frac{z_i^2 e^2 N}{2,3 \cdot 2RT r_i} \times \\ \times \left(\frac{1}{D_M} - \frac{1}{D_{H_2O}} \right) + \frac{1}{2} \frac{\Delta \Sigma A_{\text{сол}}}{2,3RT} \quad (3)$$

Линейная зависимость $\lg \gamma_0$ от $1/D$ с различным углом наклона в ряду спиртов и кетонов говорит о том, что изменение энергии сольватации ионов $\Delta A_{\text{сол}}$ — ион-дипольное взаимодействие — линейно зависит от $1/D$ растворителя.

Согласно представлениям Бернала и Фаулера [27], К. П. Мищенко и А. М. Сухотина [28], величина $A_{\text{сол}}$ в основном определяется выражением

$$A_{\text{сол}} \approx \sum n \frac{z_i e N \mu}{r_i^2} \quad (4)$$

На основании полученных экспериментальных данных следует ожидать, что величина

$$A_{\text{сол}} = \sum n \frac{z_i e N \mu}{r_i^2 D} \quad (5)$$

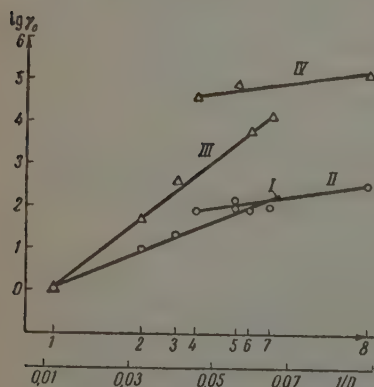


Рис. 1. Зависимость $\lg \gamma_0$ от $1/D$: 1—вода, 2—метиловый спирт, 3—этиловый спирт, 4—ацетон, 5—метилэтилкетон, 6—бутиловый спирт, 7—изоамиловый спирт, 8—метилпропилкетон. I AgCl в спиртах; II AgCl в кетонах, III CsCl в спиртах, IV CsCl в кетонах

Когда для $\lg \gamma_0$ получим

$$\lg \gamma_0 = \frac{1}{2} \sum \frac{z^2 e^2 N}{2 \cdot 2,3 RT r_i} \left(\frac{1}{D_M} - \frac{1}{D_{H_2O}} \right) + \frac{1}{2} \sum n \frac{zeN}{2,3 RT r_i^2} \left(\frac{\mu_{H_2O}}{D_{H_2O}} - \frac{\mu_M}{D_M} \right). \quad (6)$$

В связи с тем, что дипольный момент у кетонов больше, чем у спиртов (у спиртов 1,65—1,75, у кетонов 2,7—2,9), величина второго члена в уравнении (6) для кетонов будет меньше, чем для спиртов. Это обстоятельство объясняет меньший угол наклона прямой $\lg \gamma_0$ в кетонах.

Подставляя выражение для $\lg \gamma_0$ (6) в уравнение (2), получим

$$\lg S_M = \lg S_{H_2O} - \frac{1}{2} \sum \frac{z^2 e^2 N}{2 \cdot 2,3 RT r_i} \left(\frac{1}{D_M} - \frac{1}{D_{H_2O}} \right) + \frac{1}{2} \sum n \frac{zeN}{2,3 RT r_i^2} \left(\frac{\mu_{H_2O}}{D_{H_2O}} - \frac{\mu_M}{D_M} \right). \quad (7)$$

Объединяя все члены для воды, имеем

$$\lg S_M = \text{const} - (\beta - \beta' \mu) \frac{1}{D}, \quad (8)$$

$$\beta = \frac{1}{2} \frac{z^2 e^2 N}{2 \cdot 2,3 RT r_i}; \quad \beta' = \frac{nzeN}{2 \cdot 2,3 RT r_i^2}.$$

Анализ постоянных β и β' показывает, что величина $\beta > \beta'$ и соответственно коэффициент $\beta - \beta' \mu$ положительна. Следовательно, можно ожидать, что растворимость солей будет уменьшаться с падением диэлектрической постоянной.

В ряду растворителей одной природы с близкими дипольными моментами и зависимость $\lg S$ от $1/D$ должна быть линейной. Угол наклона должен быть тем больше, чем меньше дипольный момент молекул растворителя.

На рис. 2 приведена зависимость $\lg S$ от $1/D$ растворителей. Из рис. 2 следует, что для одной и той же соли имеет место линейная зависимость между $\lg S$ и $1/D$ растворителей одной химической природы (в ряду спиртов до диэлектрической постоянной ≈ 13). В растворителях другой химической природы линейная зависимость также сохраняется, но с другим углом наклона.

На основании уравнения (7) получим

$$\lg S = -5,43 - 27,0 \frac{1}{D} \text{ AgCl},$$

для спиртов

$$\lg S = -2,43 - 87,5 \frac{1}{D} \text{ CsCl};$$

$$\lg S = -6,57 - 12,5 \frac{1}{D} \text{ AgCl},$$

для кетонов

$$\lg S = -3,12 - 12,5 \frac{1}{D} \text{ CsCl}.$$

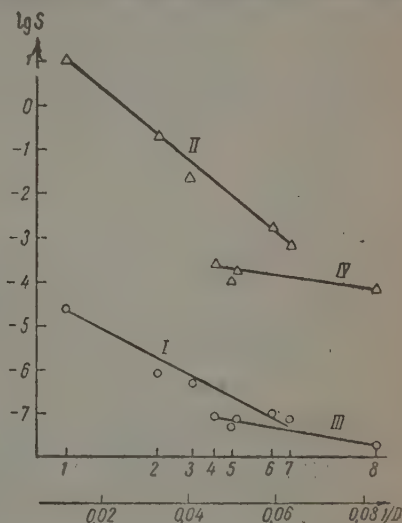


Рис. 2. Зависимость $\lg S$ от $1/D$. 1 — вода, 2 — метиловый спирт, 3 — этиловый спирт, 4 — ацетон, 5 — метилэтилкетон, 6 — бутиловый спирт, 7 — изопентиловый спирт, 8 — метилпропилкетон. I. AgCl в спиртах, II. CsCl в спиртах, III. AgCl в кетонах, IV. CsCl в кетонах

Различие углов наклона прямых для спиртов и кетонов показывает в соответствии с ранее сказанным, что величина взаимодействия ионов с дипольными молекулами растворителей зависит от химической природы растворителя и также является линейной функцией от $1/D$.

С дальнейшим падением диэлектрической постоянной в спиртах зависимость $\lg S$ от $1/D$ для CsCl отклоняется от прямолинейной зависимости. Это объясняется тем, что в средах с низкими диэлектрическими постоянными для такой сравнительно хорошо растворимой соли, как CsCl, вели-

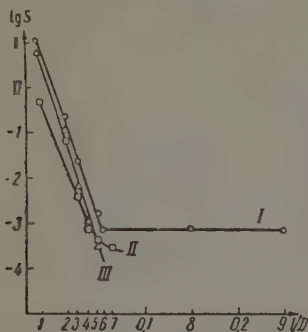


Рис. 3

Рис. 3. Зависимость $\lg S$ от $1/D$. I — CsCl; II — KCl; III — RbCl. На оси абсцисс обозначены величины $1/D$. 1 — вода, 2 — метиловый спирт, 3 — этиловый спирт, 4 — пропиловый спирт, 5 — бутиловый спирт, 6 — изоамиловый спирт, 7 — амиловый спирт, 8 — гексильовый спирт, 9 — гептиловый спирт

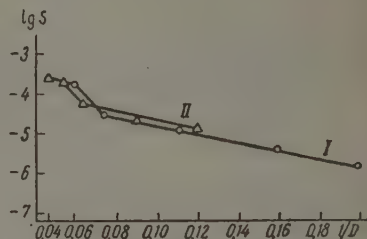


Рис. 4

Рис. 4. Зависимость $\lg S$ от $1/D$ CsCl в смешанных растворителях: I — ацетон + четыреххлористый углерод; II — ацетон + диоксан

чина γ^* уже сильно отличается от единицы ($\gamma^* \ll 1$), и это приводит к увеличению растворимости. Снижение концентрационных коэффициентов активности объясняется возникающей ассоциацией ионов.

На рис. 3 показана зависимость $\lg S$ от $1/D$ для CsCl в ряду спиртов в широком диапазоне изменения диэлектрической постоянной (рис. 3, кривая I). Такой же характер зависимости $\lg S$ от $1/D$ в ряду спиртов наблюдается и для других галоидных солей щелочных металлов (рис. 3, кривые II и III). Для смешанных растворителей ацетон + четыреххлористый углерод и ацетон + диоксан линейная зависимость $\lg S$ от $1/D$ для CsCl сохраняется от 20 до 80% второго компонента с низкой диэлектрической постоянной. Угол наклона прямой для смеси ацетон + диоксан и ацетон + четыреххлористый углерод близок с углом наклона для зависимости $\lg S$ от $1/D$ в ряду кетонов и меньше, чем в ряду спиртов (рис. 4). Отклонения от линейной зависимости в начале и в конце кривой объясняется, очевидно, тем, что небольшие добавки растворителя с низкой диэлектрической постоянной значительно изменяют структуру растворителя, а при больших концентрациях раствора с низкой диэлектрической постоянной происходит изменение сольватной оболочки.

Выводы

При помощи радиоактивных изотопов Ag^{110} и Cs^{134} определена растворимость AgCl и CsCl в спиртах (метиловый, этиловый, бутиловый, изоамиловый) и в кетонах (ацетон, метилэтилкетон, метилпропилкетон, ацетофенон) и CsCl в смешанных растворителях (ацетон—диоксан и ацетон—четырехлористый углерод).

Показано, что $\lg S$ исследованных солей линейно зависит от $1/D$ в спиртах до диэлектрической постоянной ≈ 15 . Для кетонов эта зависимость сохраняется до более низких диэлектрических постоянных приблизительно до 12. Для смешанных растворителей линейная зависимость наблюдается от диэлектрической постоянной 6 до 12 (ацетон + четыреххлористый углерод) и от 6 до 16 (ацетон + диоксан).

2. На основании данных о растворимости вычислены величины $\lg \gamma_{\text{Cl}}$ и CsCl в спиртах и кетонах. Показано, что $\lg \gamma_0$ является линейной функцией от $1/D$ растворителей одной химической природы, угол наклона прямой $\lg \gamma_0 = f(1/D)$ в ряду кетонов значительно меньше, чем в ряду спиртов. Из этого следует, что в обоих рядах растворителей член $\Delta A_{\text{сол}}$ не равен нулю, а является линейной функцией от $1/D$ растворителя. Меньший угол наклона прямой $\lg \gamma_0$ и $\lg S$ от $1/D$ растворителей в ряду кетонов объясняется большим дипольным моментом молекул кетонов.

Харьковский государственный
университет им. А. М. Горького

Поступила
28.III.1958

ЛИТЕРАТУРА

1. Н. А. Измайлов, Тр. Совещания по растворам, Харьков, 1958.
2. Н. А. Измайлов, Ж. физ. химии, 23, 647, 1949.
3. Н. А. Измайлов и Е. Ф. Иванова, Ж. физ. химии, 29, 1422, 1955.
4. Н. А. Измайлов и В. В. Александров, Ж. физ. химии, 31, 2617, 1957.
5. В. Ф. Тимофеев, Исследование над растворимостью веществ в органических растворителях, Харьков, 1894.
6. P. Walden, Elektrochemie nichtwässerigen Lösungen. Leipzig Verlag for Barth, 1924.
7. R. Larssen and H. Hunt, J. Amer. Chem. Soc., 43, 415, 1939.
8. E. Ricci and A. Leo, J. Phys. Chem., 45, 1049, 1941.
9. D. Neustadt, Z. Elektrochem., 16, 886, 1910.
10. V. Koch, J. Chem. Soc., 1551, 1930.
11. T. Pavlopoulos, H. Strelow, Z. phys. Chem., 202, 474, 1954.
12. I. Kolthoff, J. Lingene and R. Larssen, J. Amer. Chem. Soc., 60, 2512, 1938.
13. А. С. Баркин, Н. Ф. Ермоленко, Уч. зап. Белорусск. ун-та, № 13, 1953.
14. А. С. Баркин, В. В. Шталь, Уч. зап. Белорусск. ун-та, № 20, 133, 1954.
15. А. С. Вознесенский и Р. С. Биктимиров, Ж. неорг. химии, т. 2, вып. 4, 942, 1957.
16. G. Nevesy, F. Paneth, Z. anorgan. Chem., 82, 323, 1913.
17. Вл. В. Спидин, Ж. Ф-ХО, 49, 357, 1917.
18. R. Rusa, J. Willard, J. Phys. Chem. Soc., 53, 351, 1949.
19. «Радиохимия», Сб. работ МГУ, Москва, Изд-во МГУ, 1952.
20. Р. В. Лалицкий, Л. П. Шишкина, М. А. Пчелкина, Б. А. Степанов, Ж. общ. химии, 25, 1862, 1955.
21. Poroff and W. Neuman, J. Phys. Chem., 34, 1853, 1930.
22. W. Neuman, J. Amer. Chem. Soc., 54, 2204, 1932.
23. E. Larssen und B. Adel, Z. anorgan. allgem. Chem., 196, 356, 1931.
24. Н. П. Комарь, Ж. Анал. химии, 23, 647, 1949.
25. Дж. Бернал и П. Фаулер, Успехи физ. наук, 14, 586, 1934.
26. К. П. Мищенко, А. М. Сухотин, Ж. физ. химии, 27, 26, 1953.
27. Solubilities, New York, 1924.
28. Справочник химика, т. II, Госхимиздат, 1951.

THERMODYNAMIC PROPERTIES OF ELECTROLYTES IN NON-AQUEOUS SOLUTIONS. VII

N. A. Izmailov and V. S. Cherniy (Kharkov)

Summary

The solubility of AgCl and CsCl in a number of alcohols and ketones and of CsCl in mixed solvents (acetone-carbon tetrachloride) acetone-dioxane has been determined with the aid of the radioactive isotopes Ag^{110} and Cs^{134} . It has been shown that $\lg S$ of the salts depends linearly upon $1/D$ of the solvents up to a value of $DC \approx 15$ in the case of alcohols and $DC \approx 12$ in the case of ketones.

Based on the solubility data obtained the value of $\lg \gamma_0$ for the salts has been calculated which for a series of solvents of similar chemical nature is also a linear function of $1/D$. The difference in the slope of the straight lines in the case of alcohols and of ketones is determined by the difference in value of the dipole moments in these solvents.

ЭЛЕКТРОПРОВОДНОСТЬ СИЛЬНО РАЗБАВЛЕННЫХ
РАСТВОРОВ Na_2HPO_4 и K_2HPO_4

Б. П. Татаринов и В. Ф. Фурсенко

Справочная литература содержит мало сведений об удельных электропроводностях сильно разбавленных водных растворов электролитов. Эти данные для некоторых солей (Na_2CO_3 , NaCl , CaCl_2 , Na_2SO_4 и MgSO_4) были нами опубликованы ранее [1]. Приводимые в настоящей статье результаты, как и предыдущие, получены в процессе изучения закономерностей уноса солей с котловой водой при парообразовании в паровых котлах. Широко применяемый в подобных исследованиях электрометрический метод требует знания удельной электропроводности растворов ряда электролитов в диапазоне концентраций от близких к нулю до 0,0001 М. В этой работе приводятся данные для растворов Na_2HPO_4 и K_2HPO_4 . Они определены в условиях большей точности опыта, чем в работе [1].

Экспериментальная часть

Для прецизионных измерений электропроводности сильно разбавленных растворов электролитов применена дифференциальная мостовая схема переменного тока с нулевым отсчетом. Плечами моста служат датчик для измерений удельной электропроводности, безреактивный магазин сопротивлений типа Р58 с пределами изменения сопротивления от 0,1 до 11 111 Ω и два одинаковых безреактивных сопротивления по 10 000 Ω , использованные для повышения чувствительности моста. Получение четкого минимума достигнуто присоединением параллельно магазину сопротивлений конденсатора переменной емкости 38÷1100 pF .

В одну из диагоналей моста включен звуковой генератор типа ЗГ-10, создающий на мосте переменное напряжение с частотой 2500 $гц$, что исключает влияние поляризации электродов датчика. С другой диагонали моста напряжение подается на вертикальный усилитель осциллографа типа ЭО-4 с коэффициентом усиления до 30 000. Равновесие моста определяется по минимуму напряжения; при этом на экране осциллографа наблюдается четкая прямая линия. Для исключения воздействий емкости наблюдателя, внешних магнитных полей и взаимодействия различных частей моста схема полностью экранирована с заземлением всех экранов.

Датчиком служит сосуд с водяной рубашкой, с впаянными платиновыми (неплатинированными) электродами. Постоянная сосуда $C = 0,140 \pm \pm 0,002 \text{ см}^{-1}$. Все измерения производились при 25°, постоянство которой обеспечивалось термостатом. Максимальная относительная ошибка определений удельной электропроводности раствора при помощи описанной установки не превышает 1,8% с учетом погрешности определения постоянной датчика.

Растворы фосфатов готовились из гидратов химически чистых реактивов $\text{Na}_2\text{HPO}_4 \cdot 12\text{H}_2\text{O}$ и $\text{K}_2\text{HPO}_4 \cdot 3\text{H}_2\text{O}$ [2] путем разведения в 20 раз растворов 1 $г/л$, являвшихся исходными. Затем из растворов 50 $мг/л$ приготавливались заливаемые в датчик растворы с концентрацией от 0,2 до 16 $мг/л$.

Результаты измерений удельной электропроводности исследованных растворов приведены на рис. 1 и 2.

Для выяснения влияния электропроводности растворителя растворы готовились на бидистилляте различной удельной электропроводности, указанной на рис. 1. Поправка на электропроводность растворителя в опытах введена путем вычитания из электропроводности приготовленного раствора электропроводности растворителя.

Как видно из рис. 1, при малой удельной электропроводности растворителя отклонение экспериментальных точек от обобщающей их прямой

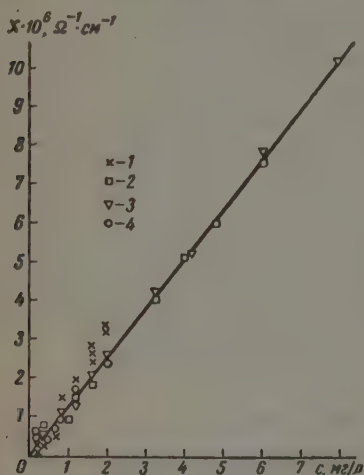


Рис. 1

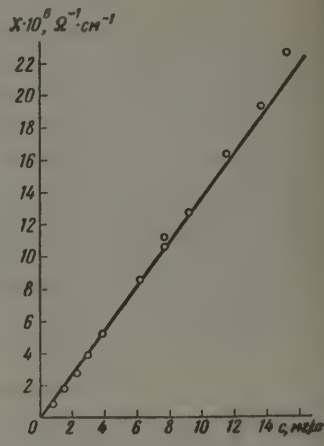


Рис. 2

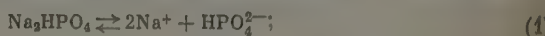
Рис. 1. Электропроводность растворов Na_2HPO_4 . Удельная электропроводность растворителя ($\Omega^{-1} \text{ см}^{-1} \cdot 10^{-6}$): 1 — 15,09, 2 — 7,92, 3 — 1,65, 4 — 1,59

Рис. 2. Электропроводность растворов K_2HPO_4

мало. При большой удельной электропроводности воды относительная ошибка в определении концентрации раствора по измеренной его удельной электропроводности достигает 40%.

Зависимость удельной электропроводности от концентрации для растворов K_2HPO_4 (рис. 2) найдена при неизменной электропроводности растворителя $\kappa = 1,54 \cdot 10^{-6} \Omega^{-1} \text{ см}^{-1}$. Опытные точки, как и для Na_2HPO_4 хорошо обобщаются прямой, проходящей через начало координат.

Известно, что константа диссоциации иона HPO_4^{2-} весьма мала [3]. Практически эквивалентная электропроводность при бесконечном разведении λ_∞ двузамещенных фосфатов натрия и калия складывается из суммы подвижностей иона металла и иона HPO_4^{2-} . Поэтому логичнее грамм эквиваленты исследованных фосфатов определять делением молекулярного веса на два, а не на три, имея в виду диссоциацию по уравнениям



Располагая данными рис. 1 и 2, потрудившись, пользуясь общеизвестным электрохимическим соотношением [4], найти подвижность иона HPO_4^{2-} для каждого из написанных уравнений.

Из рис. 1 получаем, например для концентрации 7 мг/л, значение $9 \cdot 10^{-6} \Omega^{-1} \text{ см}^{-1}$

$$\lambda_{\infty} = \frac{70,08 \cdot 9 \cdot 10^{-6}}{7 \cdot 10^{-6}} = 91,4.$$

Подобным же образом для K_2HPO_4 по рис. 2 получим $\lambda_{\infty} = 118,8$. Для подвижностей катионов при 25° в уравнениях (1) и (2) примем следующие значения, найденные с учетом температурного коэффициента подвижности ионов [4,5]: $u = 50$ для Na^+ , $u = 72,8$ для K^+ .

Вычитая их из соответствующих величин λ_{∞} , получим на основании п. 1 и 2 подвижности иона HPO_4^{2-}

$$v = 41,4 \text{ для } \text{NaHPO}_4;$$

$$v = 46,0 \text{ для } \text{K}_2\text{HPO}_4.$$

В справочной литературе приводятся величины подвижностей одних тех же ионов, порой значительно отличающиеся друг от друга. Так, например, по данным, широко применяемым в котловой химии, подвижности иона Cl^- , вычисленные по удельной электропроводности растворов NaCl и KCl [4], оказываются соответственно равными 61,6 и 63,3. При той же температуре 18° для подвижности хлор-иона в других источниках [5] указывается значение 66,3.

В свете сказанного полученные результаты определения подвижности иона HPO_4^{2-} следует признать достаточно близкими. Для подвижности иона HPO_4^{2-} при 25° может быть принято среднее значение $v = 43,7$.

Выводы

1. Определена удельная электропроводность сильно разбавленных растворов Na_2HPO_4 и K_2HPO_4 ; получена линейная зависимость ее от концентрации.
2. Оценено влияние удельной электропроводности растворителя на точность измерений.
3. Определена подвижность иона HPO_4^{2-} при 25°.

Поступила
22.IV.1958

ЛИТЕРАТУРА

- Б. П. Татарinov и М. В. Левитский, Ж. общ. химии, № 17, т. IX, 1939.
Ю. В. Карякин и И. И. Ангелов, Чистые химические реактивы, Госхимиздат, 1955.
Б. В. Некрасов, Курс общей химии, Госхимиздат, 1954, стр. 172.
Н. А. Мещерский, Солемеры, Госэнергоиздат, 1954.
В. И. Иерельман, Краткий справочник химика, Госхимиздат, 1956.

ELECTROCONDUCTIVITY OF HIGHLY DILUTE Na_2HPO_4 AND K_2HPO_4 SOLUTIONS

B.P. Tatarinov and V.F. Fursenko (Rostov-on-Don)

Summary

The specific electroconductivity of highly dilute solutions of Na_2HPO_4 and K_2HPO_4 has been determined. It has been found to be linearly dependent upon the concentration. The effect of the specific electroconductivity of the solvent has been estimated. Determinations have been made of the mobility of the HPO_4^{2-} ion at 25°.

ПРИРОДА ВАЛЕНТНЫХ СИЛ СВЯЗИ В СТРУКТУРЕ СТЕКЛА И ИХ РОЛЬ В ПРОЦЕССЕ ВЯЗКОГО ТЕЧЕНИЯ

В. Т. Славянский

Р. Л. Мюллером [1] на основе рассмотрения природы валентных связей в структуре стекла были развиты представления о процессе вязкого течения силикатных расплавов. Согласно этим представлениям энергия активации текучести E_η значительно меньше энергии разрыва валентных связей E_α , например $\text{Si} - \text{O}$, и для тугоплавких стеклообразных силикатов зависит от температуры. Р. Л. Мюллер [1] вводит понятие энергии трансформации валентных связей E_t согласно которому более вероятен обмен связями с кислородом у двух (или многих) ближайших атомов кремния при интенсивных термических колебаниях. Между энергией термических валентных колебаний E_v , энергией трансформации валентных связей E_t , энергией активации текучести E_η и энергией разрыва валентных связей E_α существует соотношение:

$$2-7 \text{ ккал/моль} = E_v < E_t \leq E_\eta \leq E_\alpha = 90-120 \text{ ккал/моль}.$$

Используя экспериментальные данные К. С. Евстропьева, Скорнякова и Поспелова [2], Р. Л. Мюллер вычислил энергию активации текучести E_η для стекол системы $\text{Na}_2\text{O} - \text{SiO}_2$, равную 23—45 ккал/моль. Выведено также уравнение энергии активации текучести как функции от температуры:

$$E_\eta(T) = 4,57 \left(B - \lg \frac{1}{\eta} \right) T,$$

где B представляет константу, равную логарифму $1/A$ из уравнения Я. И. Френкеля.

Вязкость стекла при условии $T = \infty$ будет равна A и, как показал Р. Л. Мюллером, для стекол системы $\text{Na}_2\text{O} - \text{SiO}_2$ составляет величину порядка 10^{-3} пуаз, откуда в уравнении энергии активации Р. Л. Мюллера величина $B = 3$. Эта величина может быть найдена тремя способами: графическим путем экстраполирования прямолинейной части зависимости $\lg \eta - 1/T$ в область высоких температур до пересечения с осью, где $1/T \approx 0$; $\text{Na}_2\text{O} - \text{SiO}_2$ из экспериментальных данных по двум значениям вязкости в высокотемпературной области, где расплавленные стекла являются легкоподвижными жидкостями, и по методу Р. Л. Мюллера заключающемуся в вычислении B согласно уравнению:

$$B = \lg \frac{1}{A}; \quad [C = \frac{1}{A} = \frac{v\delta^2}{nKT\Delta y},$$

где $\delta \approx \Delta y$ — расстояние между двумя соседними атомами кремния, равное примерно 4 Å; v — частота валентных колебаний атомов, которая приравнивается $5 \cdot 10^{12}$ колебаний в секунду; n — число валентных связей, приходящихся на 1 см². Здесь все величины известны, кроме числа валентных связей n . Расчет числа валентных связей, приходящихся на 1 см² сечения стекла, предлагается по формуле:

$$n = \left(\frac{d}{M} N_p \right)^{1/2},$$

d — плотность стекла; M — средний молекулярный вес; N — число атомов, равное $6,02 \cdot 10^{23}$; p — число валентных связей в грамм-молекуле. Для стекол системы $\text{Na}_2\text{O} - \text{SiO}_2$ удельный вес принят равным 2,5. Тогда после подстановки всех величин получаем

$$C = 138 \left(\frac{M}{p} \right)^{1/2} \quad B = \lg C = 2,14 + \frac{2}{3} \lg \frac{M}{p};$$

средний молекулярный вес M рассчитывается обычным путем: $M = \sum \gamma_i M_i$, где γ_i и M_i — молярные доли и молекулярные веса окислов, входящих в состав стекла.

Число валентных связей p для усредненной молекулы стекла вычисляется согласно выражению

$$p = 4\gamma_{\text{SiO}_2} - 2\gamma_{\text{Na}_2\text{O}} + 2(\gamma_{\text{BaO}} + \gamma_{\text{CaO}} + \gamma_{\text{MgO}}) + 8(\gamma_{\text{Al}_2\text{O}_3} + \gamma_{\text{B}_2\text{O}_3}).$$

Ниже приводятся результаты вычисления энергии активации вязкого течения E_η для ряда стекол различных систем по методам, предложенным Р. Л. Мюллером.

Таблица 1

Состав стекол, мол. %								$B_{\text{эксп.}}$	$B_{\text{расч.}}$	E_η	Моли $\frac{\text{R}_2\text{O} \cdot 10^4}{\text{см}^3}$
O_2	B_2O_3	Al_2O_3	Li_2O	Na_2O	K_2O	BaO	PbO				
3,5	—	—	21,5	—	—	—	—	3,40	—	43,1	8,55
3,1	—	—	22,9	—	—	—	—	3,43	—	42,1	9,26
3,4	—	—	28,6	—	—	—	—	3,43	—	38,4	11,57
3,7	—	—	30,3	—	—	—	—	3,75	—	37,0	12,85
3,1	—	—	33,4	—	—	—	—	3,27	—	35,8	14,24
4,1	—	—	35,9	—	—	—	—	3,48	—	34,3	15,38
3,1	—	—	41,3	—	—	—	—	3,27	—	29,8	18,20
3,0	—	—	—	20	—	—	—	3,24	3,03	41,6	7,25
3,5	—	—	—	25	—	—	—	3,25	3,06	39,7	—
3,0	—	—	—	30	—	—	—	3,32	3,10	37,6	10,95
3,5	—	—	—	35	—	—	—	3,27	3,14	35,6	13,15
3,0	—	—	—	40	—	—	—	3,12	3,19	33,6	—
3,3	—	—	—	47	—	—	—	—	—	29,7	—
3,0	—	—	—	50	—	—	—	—	—	26,4	17,95
3,3	—	—	—	—	16,7	—	—	4,04	2,98	49,8	5,58
6,2	—	—	—	—	23,8	—	—	4,38	3,03	49,5	7,63
8,8	—	—	—	—	31,2	—	—	4,56	3,09	48,5	9,55
7,0	—	—	—	—	33,0	—	—	4,53	3,11	47,7	10,05
3,5	—	—	—	—	—	—	35	3,40	3,42	35,0	—
3,0	—	—	—	—	—	—	40	3,60	3,46	31,8	—
3,4	—	—	—	—	—	—	46	3,00	3,49	28,7	—
3,5	—	—	—	—	—	—	50	3,88	3,54	25,8	—
3,5	—	—	—	—	—	—	55	3,07	3,51	22,7	—
3,0	—	—	—	9	—	—	41	3,30	3,50	24,8	—
3,0	—	—	—	15	—	—	35	3,23	3,50	24,2	—
3,0	—	—	—	21,4	—	—	28,6	3,18	3,51	24,0	—
3,6	—	—	—	15,4	—	—	28,6	2,68	3,52	25,0	—
3,5	—	—	—	11,4	—	—	28,6	3,06	3,44	29,6	—
3,5	—	—	—	6,4	—	—	28,6	3,08	3,40	33,7	—
3,5	25	4,2	—	—	—	30	—	5,05	3,34	43,0	—
3,2	18	4,2	—	—	—	30	—	6,19	3,35	52,0	—
3,8	12	4,2	—	—	—	30	—	5,77	3,36	52,5	—
3,5	5	4,2	—	—	—	30	—	5,78	3,39	57,0	—

Данные по вязкости стекол системы $\text{Na}_2\text{O} - \text{SiO}_2$ были взяты из работ различных авторов. Для расчета эти данные были усреднены. В табл. 1 приводятся химические составы стекол в молекулярных процентах, значения B , вычисленные по точкам, укладывающимся в прямолинейные участки кривых ($B_{\text{эксп.}}$); значения B , вычисленные по числу валентных связей, приходящихся на 1 см² стекла ($B_{\text{расч.}}$), а также значения энергии

активации вязкого течения E_η в области сравнительно высоких температур, где эти величины принимают постоянное значение [$E_\eta(T) = \text{const}$].

На рис. 1 нанесены кривые энергии активации стекол систем R_2O-SiO_2 в зависимости от состава, вычисленные по уравнению $E_\eta = 4,57(B - \lg \eta) T$. Из рисунка видно, что энергия активации в значительной области температур остается постоянной, затем растет по мере понижения температуры, а также по мере увеличения содержания кремнезема в стекле. Подобные вычисления были проведены также для ряда стекол систем $PbO-SiO_2$, $Na_2O-PbO-SiO_2$ и $BaO-B_2O_3-SiO_2 + 4,2 \text{ мол. \% } Al_2O_3$.

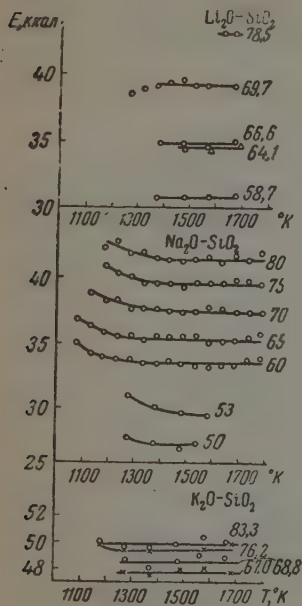


Рис. 1. Энергия активации щелочно-силикатных стекол в зависимости от температуры. Цифры возле кривых обозначают содержание SiO_2 в мол. %

Среди кремнещелочных стекол самая высокая энергия активации будет у кремнекальциевых стекол, несколько ниже — у кремненатриевых и самая низкая — у кремнелитиевых стекол. В работе [4] приводится зависимость изотерм логарифма вязкости от объемного содержания окислов щелочных металлов. Точки на графике [4], соответствующие стеклам с разными щелочами, хорошо укладываются на одной кривой; отсюда можно сделать заключение, что решающее влияние на вязкость щелочно-силикатных стекол оказывает объемный фактор.

Экспериментальные закономерности [4] могут быть использованы для теоретического расчета вязкости по крайней мере щелочно-силикатных стекол по их химическому составу.

В настоящей работе такая попытка была предпринята и ниже излагаются полученные результаты. Для этого, учитывая разброс экспериментальных точек на графике [4], для некоторых объемных концентраций были взяты усредненные значения вязкости и нанесены на график с функциональной шкалой *. Полученные на этом графике значения вязкости

* Об использовании шкалы для спрямления кривых температурной зависимости вязкости см. статью В. Т. Славянского с соавторами [5].

использованы для вычисления энергий активации при разных температурах по уравнению Р. Л. Мюллера. Значения B вычислялись из экспериментальных данных вязкости (табл. 2), причем среднее значение B оказалось равным 3,40.

Таблица 2

Аналитическое нахождение B по уравнению $E = 4,57 (B - \lg 1/\eta) T$ для щелочно-силикатных стекол

T_1	T_2	Моли R_2O/cm^3 стекла $\cdot 10^3$					
		6	9	12	14	16	18
1673	1323	3,61	3,65	3,59	3,35	3,14	3,52
1573	1223	3,85	3,78	3,49	3,72	3,50	3,52
1623	1373	3,79	3,24	3,39	3,45	3,00	2,89
1673	1473	3,21	3,26	3,67	3,37	3,03	3,16

$$B_{\text{ср}} = 3,40$$

Значения B , вычисленные по уравнению $B = 2,074 + \frac{2}{3} \lg \frac{M}{p}$ (см. выше), приводятся в табл. 3: среднее значение B в этом случае равно 3,04.

Таблица 3

Расчет B по формуле $B = 2,074 + \frac{2}{3} \lg \frac{M}{p}$

R_2O	Моли R_2O/cm^3 стекла $\cdot 10^3$						
	6	8	10	12	14	16	18
Li_2O	2,92	2,95	2,95	2,97	3,00	3,03	3,07
Na_2O	2,94	2,97	3,01	3,03	3,11	3,17	3,27
K_2O	2,98	3,05	3,10	—	—	—	—

$$B_{\text{ср}} = 3,04$$

Значение B было использовано для вычисления энергии активации вязкого течения E_η для стекол с различной объемной концентрацией щелочных окислов. Полученные результаты приводятся в табл. 4, из которой видно, что постоянные значения E_η сохраняются при 1100—1400° С.

Таблица 4

Расчет энергии активации щелочно-силикатных стекол в зависимости от температуры и объемной концентрации щелочных окислов в стекле

$t, ^\circ C$	Концентрация, моли $R_2O/cm^3 \cdot 10^3$												
	6	7	8	9	10	11	12	13	14	15	16	17	18
1000	43,3	42,0	41,0	39,6	38,2	36,0	35,8	34,6	33,2	32,5	30,4	30,8	30,1
1100	42,9	41,8	40,1	38,9	37,7	36,6	35,5	34,2	33,0	32,3	31,5	30,4	29,3
1200	42,3	41,1	40,0	39,1	37,5	36,3	35,3	34,4	33,0	32,0	30,8	30,0	29,1
1300	42,3	41,0	39,8	38,6	36,5	36,4	35,2	34,1	32,8	32,0	30,9	30,2	29,6
1400	42,3	41,0	39,8	38,8	36,2	34,1	34,8	32,0	32,8	32,1	31,2	29,8	29,0
пост =	42,4	41,2	39,9	38,8	37,0	36,3	35,3	34,2	32,9	32,1	31,1	30,1	29,2

В этих пределах температур, собственно, и возможен теоретический расчет вязкости щелочно-силикатных стекол. Для этого необходимо знать соотношение между энергией активации вязкого течения и объемно-молекулярной концентрацией щелочных окислов в стекле. Это соотношение выражается прямой (рис. 2) и может быть представлено в виде:

$$E_n = 48 - 1,05 m,$$

где m — содержание щелочных окислов в стекле в молях на 1 см^3 .

Как и следовало ожидать, расчет вязкости по уравнению Р. Л. Мюллера дает усредненные значения.

Работы Р. Л. Мюллера по текучести стеклообразных силикатов базируются на рассмотрении энергии связи в структуре стекла. На основании

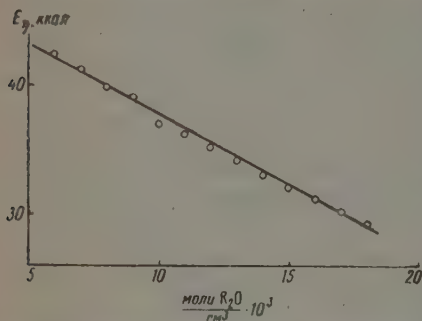


рис. 2. Зависимость энергии активации щелочно-силикатных стекол от объемного содержания окислов щелочных металлов в стеклах

вычисления энергии вязкого течения (энергии активации) из экспериментальных данных о температурной зависимости вязкости ряд стекол Р. Л. Мюллер приходит к выводу, что разрыва связи Si — O не может происходить. Найденные им величины энергии активации значительно меньше энергии связи E_v , поэтому он предполагает, что в процессе термических колебаний может происходить обмен связями между соседними атомами, для чего требуется значительно меньше энергии. Если для разрыва связи Si — O требуется ~ 90 ккал, то энергия активации вязкого течения для ряда

кремненатриевых стекол лежит в пределах 25—45 ккал.

Зависимость энергии активации вязкого течения от количества и величины энергии Si — O связей в стекле является очевидной. Однако энергия активации вязкости зависит и от других факторов. Это подтверждается, например, тем, что в ряде случаев вычисленные и экспериментальные значения константы B сильно различаются (см. табл. 1). Поэтому для объяснения влияния тех или иных компонентов химического состава стекла на энергию активации вязкого течения необходимо дальнейшее изучение связи между структурно-энергетическими характеристиками и вязкостью стекол.

Дальнейшее развитие работ, с нашей точки зрения, целесообразно в двух направлениях.

Во-первых, дальнейшая детализация величин энергии связи, которые впервые были предложены Р. Л. Мюллером для стекол, причем рассматривалась лишь энергия связи Si — O, как играющая самую существенную роль. Вместе с тем на свойства стеклообразных систем оказывают влияние также и величины энергии связи Me — O. Можно предполагать, что учёт роли этих величин при систематическом изучении вязкости расплавленных силикатов должен привести к теоретически обоснованным соотношениям между химическим составом и вязкостью стекол, в первую очередь простых, а затем и более сложных промышленных составов.

Во-вторых, развитие исследований по изучению соотношений между ионной рефракцией и вязкостью стекол. Дингвол и Мур [6] показали в частном случае при замещении 8% SiO_2 на разные окислы металлов, что между частной рефракцией ионных металлов и вязкостью стекол существует определенная закономерность. Было бы чрезвычайно интересно получить опытные данные для ряда других случаев, других систематически меняющихся составов и сделать на их основе обобщения о связи между

фракцией и вязкостью стекол. Залогом успеха такого рода исследования может служить пример работ К. С. Евстропьева [7] по изучению рефракции кислородного иона в стеклах. Полученные им закономерности связывали рефракцию с энергией структурной сетки для целого ряда стекол, том числе и сложных составов. Для вязкостных характеристик стекла решающее значение имеют энергетические характеристики, из чего можно заключить, что между рефракцией и вязкостью также должны иметь место строгие закономерные соотношения.

Выводы

Энергия активации расплавленных стекол растет с повышением содержания кремнезема в стекле. Установлено, что энергия активации в ряду основных кремнещелочных стекол растет от литиевых к калиевым стеклам. Энергия активации кремнесвинцовых стекол приблизительно совпадает с энергией активации для кремненатриевых стекол. В тройной системе $\text{Na}_2\text{O} - \text{PbO} - \text{SiO}_2$ замена свинца на натрий почти не меняет энергии активации стекол, хотя вообще энергия активации стекол этой системы несколько ниже по сравнению с кремненатриевыми стеклами. Энергия активации алюмобариево-боросиликатных стекол значительно выше всех других стекол.

Поступила
22.IV.1958

ЛИТЕРАТУРА

- Р. Л. Мюллер, Ж. прикл. химии, 28, 363, 1077, 1955; Тр. Томск. ун-та им. В. В. Куйбышева, 145, 33, 1957.
Сборник под ред. акад. И. В. Гребенщикова, «Физико-химические свойства тройной системы: окись натрия—окись свинца — кремнезем», Изд-во АН СССР, 1949.
В. Т. Славянский, Е. Н. Крестникова, Ж. оптико-механическая промышленность, № 10, 1958.
L. Shartsis, W. Carps, S. Spinner, J. Amer. Ceram. Soc., 35, 155, 1952.
В. Т. Славянский, М. П. Новикова, Л. В. Исаева, Е. Н. Крестникова, Ж. оптико-механическая промышленность, № 1, 1958.
A. G. F. Dingwall, H. Moore, J. Soc. Glass Technol., 37, 316T, 1953.
К. С. Евстропьев, Ж. физ. химии, 20, 561, 605, 1946.

THE NATURE OF THE VALENCE BOND FORCES IN THE STRUCTURE OF GLASS AND THE PART THEY PLAY IN VISCOUS FLOW

Y. T. Slavyanskiĭ (Leningrad)

Summary

The present work demonstrates certain quantitative correlations between the activation energy of viscous flow and the chemical composition of glasses. The activation energy in molten glasses grows with increasing silica content. The activation energy in the series of double alkaline-silicate glasses has been found to increase on passing from sodium to potassium glass. The same quantity for lead silicate glasses is approximately equal to that for sodium silicate glasses. In the ternary system $\text{Na}_2\text{O} - \text{PbO} - \text{SiO}_2$ the substitution of sodium by lead practically causes no change in the activation energy, although in general the latter is somewhat lower than the sodium silicate glasses. The activation energy of alumoboroboro silicate glasses is considerably higher than that of all others.

СЕНСИБИЛИЗАЦИЯ ОКИСЛЕНИЯ И ТУШЕНИЕ ФЛУОРЕСЦЕНЦИИ КИСЛОРОДОМ ОРГАНИЧЕСКИХ ВЕЩЕСТВ

А. В. Карякин

При исследовании сенсibilизированного окисления бензальдегида тетралина и изонропилбензола нами было ранее показано, что производные антрахинона и акридина обладают избирательным сенсibilизирующим действием [1]. Одновременно была установлена четкая взаимосвязь сенсibilизирующего действия этих веществ с сильным тушением их флуоресценции молекулярным кислородом и наличием у них замедленной флуоресценции в адсорбированном состоянии.

Однако акридонимин (9-амиоакридин) является исключением из этого правила. Он не сенсibilизирует окисления даже бензальдегида, хотя его флуоресценция тушится кислородом.

В таблице приведены опытные данные, которые показывают существование связи между сенсibilизирующим действием веществ и тушением их флуоресценции молекулярным кислородом. Кроме того, в таблице даны положение электронных уровней и наличие замедленной флуоресценции (фосфоресценции) адсорбатов при комнатной температуре [2].

Взаимосвязь сенсibilизирующего действия производных антрахинона и акридина с тушением их флуоресценции

Наименование соединения	Положение электронного уровня, эВ	Тушение флуоресц. кислородом		Замедлен. флуоресценц.	Сенсibilизирующее действие
		пары	адсорб.		
Антрахинон	387,5	Сильно	Сильно	Есть	Есть
Антрапол	390	»	»	»	»
β-Оксиантрахинон	412,5	Терм. окисл.	»	»	»
β-Амиоантрахинон	450	Сильно	»	»	»
α-Оксиантрахинон	510	Терм. окисл.	Нет	Нет [3]	Нет
α-Амиоантрихинон	515	То же	»	»	» *
1,4-Диоксиантрахинон	525	Нет	»	»	»
α-Хлорантрахинон	—	Терм. окисл.	Сильно	Есть	Есть
1-Амиоакридин	485	—	Нет	Нет	Нет *
2-Амиоакридин	480	—	»	»	» *
3-Амиоак идия	490	—	Сильно	Есть	Есть
Акридонимин (9-амиоакридин)	470	—	»	»	Нет
3-6-Диамиоакридин	505	—	»	»	Есть

* Для этих веществ отмечено даже ингибиторное действие на темновое термическое окисление бензальдегида.

Для хлорофилла и его аналогов, в том числе для фталоцианина Mg и без металла, также можно сделать вывод, что у них имеет место прямая

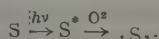
связь между тушением их флуоресценции и сенсибилизирующим действием не только для окислительных, но и восстановительных реакций [4].

Таблица показывает четкую взаимосвязь сенсибилизирующего действия производных антрахинона и акридина с сильным тушением их флуоресценции молекулярным кислородом и наличием у них замедленной флуоресценции, т. е. существованием триплетного уровня.

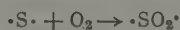
Тушение флуоресценции производных антрахинона и акридина было ранее [2] объяснено возможным переходом возбужденной молекулы при столкновении с O_2 в метастабильное (триплетное) состояние, которое отличается от синглетного на 0,1—0,2 eV (для β -аминоантрахинона). Тушение флуоресценции не имеет места в том случае, когда расстояние между уровнями значительно больше, чем 0,1—0,2 eV, как, например, у α -аминоантрахинона — 0,9 eV. На триплетном уровне молекула, вследствие наличия двух неспаренных электронов, способна присоединять валентно-ненасыщенную молекулу кислорода, являющуюся бирадикалом, с образованием неустойчивого комплекса-мольского. Поэтому тушение флуоресценции является признаком присоединения кислорода к возбужденной светом молекуле, имеющей близко расположенный триплетный уровень.

На основании сопоставления явления сенсибилизации с аналогичным явлением тушения флуоресценции, а также литературных данных [5, 6], можно сделать следующие заключения о механизме сенсибилизации реакцией окисления.

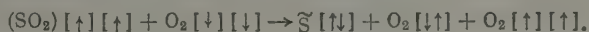
Сенсибилизатор при поглощении кванта света переходит в возбужденное состояние, а затем — в метастабильное (триплетное) состояние в результате воздействия парамагнитной молекулы O_2



Бирадикал, т. е. молекула в триплетном состоянии, может присоединить кислород с образованием неустойчивого комплекса со свойствами бирадикала



Однако кислород при больших давлениях уменьшает абсолютную скорость поглощения O_2 в сенсибилизированной реакции окисления *n*-масляного альдегида. Она снижается в четыре раза при увеличении давления O_2 с 4 до 750 мм. Следовательно, кислород при больших давлениях обладает ингибиторным действием на фотореакцию, дезактивируя мольсид по следующему механизму [7]:



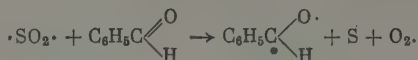
Бирадикалы $\cdot SO_2 \cdot$, обладающие повышенной химической активностью, ответственны за сенсибилизацию фотоокисления органических соединений [5]. При этом возможны следующие начальные стадии цепной реакции окисления.

а) Бирадикал $\cdot SO_2 \cdot$ передает электронную энергию возбуждения окисляемой молекуле, переводя ее в бирадикальное состояние, причем передача энергии должна происходить с некоторой вероятностью, как это имеет место при сенсибилизированной флуоресценции [5, 8]. Этот процесс возможен только в том случае, если электронный уровень сенсибилизатора ниже электронного уровня окисляемой молекулы.

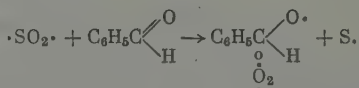
б) Бирадикал $\cdot SO_2 \cdot$ дегидрирует окисляемую молекулу с образованием соответствующего радикала. Дегидрирование органических соединений может происходить с большой вероятностью вследствие его повышенной протонноакцепторной способности.

Следовательно, сенсибилизированное окисление бензальдегида может происходить путем передачи энергии возбуждения с переводом молекулы

бензальдегида в бирадикальное состояние только для антрахинона и антранола, имеющих электронный уровень выше 400 нм, что соответствует электронному уровню бензальдегида:

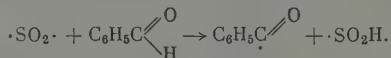


Не исключена возможность одновременной передачи в этом процессе кислорода бензальдегиду, как это предполагает Шенк [6]



Дальнейшее развитие цепной реакции осуществляется бирадикалами; это дано в [5, 9].

Однако дегидрирование молекулы бензальдегида $\cdot\text{SO}_2\cdot$ более вероятно для производных антрахинона и акридина*.



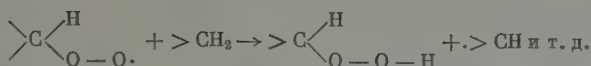
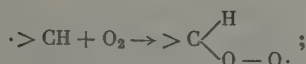
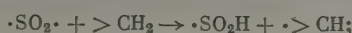
Следует ожидать, что протонноакцепторные свойства мольоксида $\cdot\text{SO}_2\cdot$ будут зависеть от степени сродства к водороду молекулы красителя-сенсibilизатора (с образованием гидрированной его формы). Это находит свое подтверждение при изучении фотосенсибилизированного разрушения целлюлозы кислородом, а также при исследовании других фотореакций, идущих в присутствии производных антрахинонов, для которых была обнаружена гидрированная форма, обладающая характерной окраской [11]. Кроме того, дегидрирующая способность антрахинона и акридинов известна не только для фотореакций. Поэтому следует ожидать, что если сенсibilизатор обладает меньшей протонноакцепторной способностью, то он будет слабее фотосенсибилизировать окисление органических веществ. Опыт согласуется с этим предположением. Антрахинон, имеющий две карбонильные группы, значительно сильнее сенсibilизирует фотоокисление по сравнению с антреном, имеющим один атом кислорода, а также по сравнению с β -окси- и β -аминоантрахинонами. Не исключена возможность, что антрахинон сенсibilизирует окисление бензальдегида двумя путями.

Акридон-имин (9-аминоакридин), у которого один из водородов аминогруппы находится у азота гетероцикла, не сенсibilизирует фотоокисление, несмотря на то что он образует мольоксид, обладающий слабыми протонноакцепторными свойствами.

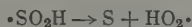
Для тетралина и изопропилбензола неизвестно метастабильное (триплетное) состояние, но можно предположить по аналогии с бензолом и его производными, что триплетный уровень лежит значительно выше (в ультрафиолетовой области спектра). Следовательно, передача энергии возбуждения маловероятна, а поэтому следует считать, что бирадикал $\cdot\text{SO}_2\cdot$ вызывает дегидрирование углеводорода с образованием соответствующего радикала, который развивает цепную реакцию.

* Е. В. Грушкун и Э. С. Бородин [10] на основе изучения сенсibilизированного окисления бензальдегида метиленовым голубым и антрахиноном считают первичным процессом данной реакции дегидрирование бензальдегида с образованием лейкооксидант красителя без участия мольоксида.

Механизм сенсибилизированного окисления тетралина (аналогично—пропилбензола) можно представить в виде уравнений:



Регенерация сенсибилизатора может происходить по следующему механизму:



Следовательно, можно предположить, что мольоксид, обладающий повышенной химической активностью, ответствен за начальные стадии т.п. реакции окисления. Требуется отметить, что при тушении флуоресценции также образуется мольоксид.

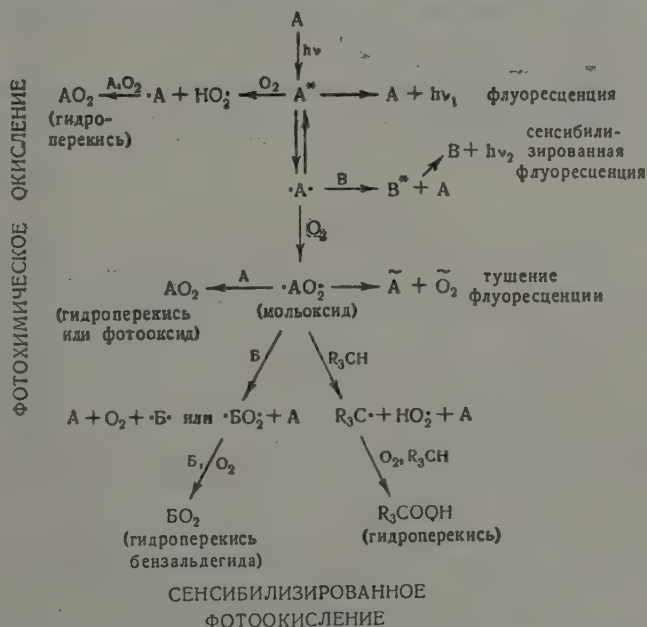


Схема взаимодействия возбужденной светом молекулы с кислородом и другими молекулами: A , B и B — молекула в основном состоянии, A^* — молекула в возбужденном состоянии, $\cdot\text{A}$ — молекула в триплетном (бирадикальном) состоянии, A^* — радикал молекулы, AO_2 (BO_2) — гидроперекиси, R_3CH — молекула углеводорода

На основании вышеизложенного можно представить следующую схему взаимодействия возбужденной светом молекулы с кислородом и с другими молекулами, приводящую к различным процессам и реакциям (см. схему). Тушение флуоресценции и реакции как прямого, так и сенсибилизированного окисления происходит через мольоксид — непрочный комплекс кислорода с молекулой вещества, находящейся в возбужденном три-

плетном состоянии. Следовательно, метастабильное (триплетное) состояние молекулы определяет не только процесс тушения ее флуоресценции параманнитными агентами, но и реакцию как прямого, так и сенсibilизированного окисления.

В настоящее время считается общепризнанной существенная роль триплетного состояния в других фотохимических реакциях, но до сих пор триплетное состояние не принимается во внимание при рассмотрении термических реакций, хотя при низкой температуре это состояние становится возможным.

Автор выражает глубокую благодарность акад. А. Н. Теренину, по руководством которого была выполнена настоящая работа.

Выводы

1. Установлена четкая взаимосвязь сенсibilизирующего действия веществ с сильным тушением их флуоресценции и наличием у них замедленной флуоресценции в адсорбированном состоянии.

2. Предложен механизм начальных этапов фотосенсibilизированной реакции окисления бензальдегида, тетралина и изопропилбензола. Сенсibilизация фотоокисления органических веществ производится мольбдатом — непрочным комплексом сенсibilизатора с кислородом, который или передает энергию возбуждения окисляемой молекуле, или же дегидрирует ее, что более вероятно.

3. Дана схема взаимодействия возбужденной светом молекулы с кислородом и другими молекулами, приводящая к различным процессам в реакциях.

Поступила
22.IV.1958

ЛИТЕРАТУРА

1. А. В. Карякин и А. В. Шаблия, Докл. АН СССР, 112, 688, 1957; А. В. Карякин и В. А. Никитин, Ж. физ. химии, 32, 1431, 1958.
2. А. В. Карякин, А. Н. Теренин, Изв. АН СССР. Сер. физ., 13, 9, 1949; А. В. Карякин, Ж. физ. химии, 23, 1332, 1345, 1949; Изв. АН СССР. Сер. физ., 15, 556, 1951.
3. А. В. Карякин, Я. М. Калениченко, Ж. физ. химии, 26, 103, 1952.
4. В. Б. Евстигнеев, А. А. Красновский, Докл. АН СССР, 58, 417, 1947; А. А. Красновский, Докл. АН СССР, 58, 617, 1947; 60, 421, 1948; А. А. Красновский, Г. Н. Брин, Докл. АН СССР, 58, 1087, 1947; Е. Рабинович, Фотосинтез, ИЛ, 1953.
5. А. Н. Теренин, Фотохимия красителей, Изд-во АН СССР, 1948, Вопросы химической кинетики, катализа и реакционной способности, Изд-во АН СССР, 1955, стр. 85.
6. H. L. J. Bäckström, J. Amer. Chem. Soc., 49, 1460, 1927; H. L. J. Bäckström, H. A. Beatty, J. Phys. Chem., 35, 2530, 1931; Z. phys. Chem., (B), 25, 99, 1934; W. P. Yorissen, P. A. A. van der Beck, Recueil trav. chim. P. B., 46, 22, 1927; 47, 986, 1928; 49, 138, 1930; G. O. Schenck, K. Ziegler, Naturwiss., 32, 157, 1944; G. O. Schenck, H. Wirth, Naturwiss., 40, 147, 1953; G. O. Schenck, Z. Naturforsch., 36, 59, 1948; Naturwiss., 35, 28, 1948; Z. Elektrochem., 1, 505, 1951; G. O. Schenck, K. G. Kinnel, Naturwiss., 44, 12, 1952; Naturwissenschaften, 43, 71, 1956; C. H. Bamford, M. I. S. Dewar, J. Soc. Dyers and Colourists, 65, 674, 1949; Proc. Roy. Soc. (A), 198, 252, 1949; J. L. Bolland, H. K. Corper, Proc. Roy. Soc. (A), 22, 405, 1954.
7. Н. Я. Шляпников, Докл. АН СССР, 99, 141, 1954.
8. А. Н. Теренин, А. В. Карякин, Изв. АН СССР, Сер. физ., 15, 550, 1951; Докл. АН СССР, 96, 269, 1954.
9. А. В. Карякин, В. А. Никитин, Изв. АН СССР, Сер. физ., 17, 630, 1953; Ж. физ. химии, 27, 1867, 1953.
10. Е. В. Грушкун, Э. С. Бородин, Уч. зап. Вильн. ун-та, Серия мат. физ., хим., 5, 79, 1956.
11. A. Landolt, J. Soc. Dyers and Colourists, 65, 659, 1949; J. J. Morton, H. J. Stonehill, J. Chem. Soc. (L), 788, 1957.

OXIDATION SENSITIZATION OF ORGANIC SUBSTANCES AND EXTINCTION
OF THEIR FLUORESCENCE BY OXYGEN*A. V. Karyakin (Moscow)*

S u m m a r y

A study of the oxidation of benzaldehyde, tetralin and isopropylbenzene, photosensitized by anthroquinone and acridine derivatives has shown that there is selectivity in the sensitizing action of substances. A clearly defined relationship has been established between the sensitizing action of the above compounds and the strong extinction they undergo under the action of molecular oxygen and the presence in them of a retarded phosphorescence, i. e., the existence of a closely situated metastable triplet level.

A mechanism has been proposed for the initial stages of the photosensitized oxidation of benzaldehyde, tetralin and isopropylbenzene. The sensitization of the photooxidation of organic substances is brought about by moloxide, an unstable complex of the sensitizer with molecular oxygen, that either transmits the excitation energy to the molecule undergoing oxidation, or, what is more probable, dehydrogenates the latter.

ИССЛЕДОВАНИЕ СТРОЕНИЯ И МАГНИТНЫХ ХАРАКТЕРИСТИК
ЭЛЕКТРОЛИТИЧЕСКИХ ОСАДКОВ ФЕРРОМАГНИТНЫХ
МЕТАЛЛОВ И СПЛАВОВ В ЗАВИСИМОСТИ ОТ УСЛОВИЙ
ИХ ПОЛУЧЕНИЯII. ЗАВИСИМОСТЬ СТРОЕНИЯ И КОЭРЦИТИВНОЙ СИЛЫ ОСАДКОВ
КОБАЛЬТА ОТ ЭЛЕКТРОХИМИЧЕСКИХ УСЛОВИЙ ИХ ПОЛУЧЕНИЯ

Ю. М. Полукаров

В настоящей статье приводятся данные по исследованию влияния кислотности электролита, плотности тока, температуры, концентрации кобальта и борной кислоты на магнитные характеристики и строение электролитических осадков кобальта.

Экспериментальная часть

Осадки для магнитных исследований получались на медных стержнях *. Методика исследования подробно описана в работе [1]. В процессе работы была обнаружена сильная зависимость магнитных свойств осадка от длительности работы ванны. Как было установлено, это объяснялось влиянием продуктов, образующихся на аноде. Разделение анодного и катодного пространства пористой стеклянной перегородкой позволило устранить этот недостаток.

В качестве основного электролита использовался раствор, содержащий 140 г/сернокислого кобальта, 30 г/л борной кислоты. Процесс осаждения проводился при 20° С.

При исследовании влияния кислотности раствора на магнитные свойства осадков было обнаружено, что последние резко меняются в интервале $\text{pH} = 1,9-2,6$. Также резко в этом интервале pH меняются и внутренние напряжения в осадке, измеряемые методом гибкого катода (рис. 1).

Интересно отметить, что величина pH , при которой проводилось осаждение кобальта, сказывалась на поведении осадков после прекращения процесса электролиза. Так, магнитные характеристики осадков кобальта, полученных из растворов с кислотностью, соответствующей $\text{pH} = 1,3-1,9$, не менялись во времени в отличие от покрытий, нанесенных при более высоких pH (5,0—6,4). В табл. 1 и 2 приводятся данные, характеризующие

Таблица 1

Изменение коэрцитивной силы электроосажденного кобальта
со временем, протекающим после его осаждения
($\text{pH} = 5,5$ и $D_k = 40 \text{ mA/cm}^2$)

Время	30 сек.	10 мин.	1 час	24 часа
$H_c \text{ эрст}$	140	117	106	105

изменение во времени коэрцитивной силы осадков кобальта, полученных при pH электролита 5,5—6,2. При замораживании в жидком азоте осадков кобальта после их получения первоначальное значение коэрцитивной силы осадка может быть сохранено значительное время.

* Так как величина коэрцитивной силы тонкого слоя ферромагнетика зависит от его толщины, то осадки кобальта получались достаточно толстыми и одинаковыми по толщине (подробнее см. [1]).

Таблица 2

Влияние кислотности электролита и плотности тока на изменение коэрцитивной силы электроосажденного кобальта во времени

рН электролита	5,5					6,2		
плотность тока, mA/cm^2	0,5	2	5	10	30	10	20	30
H_c через 30 сек.	166	106	92	85	103	125	163	195
H_c через 24 часа	166	88	64	57	70	85	92	120

В дальнейших исследованиях все магнитные измерения проводились через 24 часа после получения образцов.

На рис. 2 приводятся кривые, характеризующие зависимость коэрцитивной силы осадка кобальта от плотности тока при различных значениях рН электролита. Измерение отношения $B_r/B_m - H$ показало, что для осадков кобальта, полученных при $H = 3,6 - 5,5$, оно колеблется около значения, равного 0,4; для осадков, полученных при $\text{pH} = 1,3 - 1,9$, эта величина лежит в пределе 0,6 - 0,75.

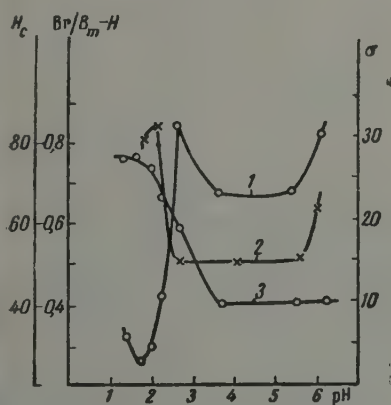


Рис. 1

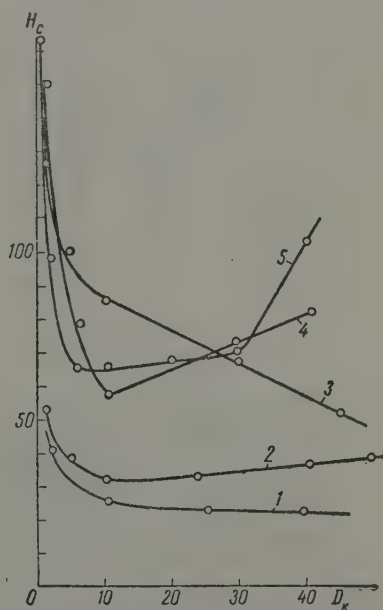


Рис. 2

Рис. 1. Влияние pH электролита на величину 1 — коэрцитивной силы и 2 — внутренних напряжений осадков кобальта; 3 — отношение $B_r/B_m - H$, $D_k = 10 \text{ mA}/\text{cm}^2$

Рис. 2. Влияние плотности тока на коэрцитивную силу осадков кобальта, при различных значениях pH электролита: 1 — pH = 1,6, 2 — pH = 2,2, 3 — pH = 2,6, 4 — pH = 3,6, 5 — pH = 5,5

При исследовании влияния температуры электролита на магнитные характеристики осадков кобальта была обнаружена сильная зависимость величины коэрцитивной силы от температуры (рис. 3).

Увеличение концентрации кобальта в ванне до 500 г/л хотя и привело к некоторому повышению коэрцитивной силы осадка, однако общий ход кривых, характеризующих зависимость магнитных свойств от pH раствора и плотности тока, оставался прежним (рис. 4).

В табл. 3 приводятся данные о влиянии концентрации борной кислоты на величину коэрцитивной силы электролитического кобальта.

Таблица 3

Влияние концентрации борной кислоты на величину коэрцитивной силы в осадках кобальта
 $\text{CoSO}_4 \cdot 7\text{H}_2\text{O}$ 140 г/л; pH = 1,8; $D_k = 10 \text{ mA/cm}^2$

H_3BO_3 г/л	0	10	30	40
H_c эрст.	54	33	31	42

Особенно резко проявляется зависимость магнитных характеристик электролитических покрытий из кобальта от концентрации борной кислоты при высоких плотностях тока и высокой концентрации соли кобальта.

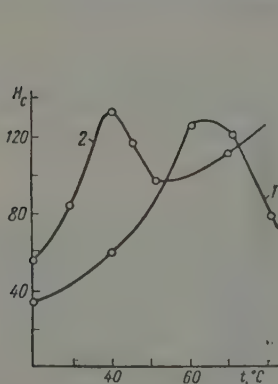


Рис. 3

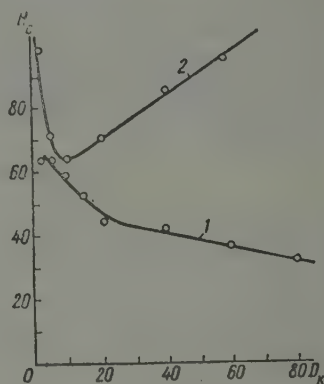


Рис. 4

Рис. 3. Влияние температуры на величину коэрцитивной силы осадков кобальта: 1 — pH = 1,9; 2 — pH = 5,5

Рис. 4. Влияние плотности тока на коэрцитивную силу осадков кобальта при различных значениях pH электролита и повышенном содержании сернокислого кобальта (500 г/л): 1 — pH = 1,6; 2 — pH = 6

(рис. 5, а). Из рисунка видно, что введение в раствор борной кислоты приводит при высоких плотности тока и pH электролита к значительному уменьшению коэрцитивной силы осадка кобальта. На рис. 5, б представлен зависимость коэрцитивной силы электролитического кобальта от pH электролита.

Измерения количеств водорода, включенного в осадки кобальта, полученные из стандартного раствора, привели к установлению сильной зависимости количества включенного водорода от pH электролита (табл. 4).

Таблица 4

Зависимость количества водорода, включенного в осадок кобальта от pH электролита; $D_k = 10 \text{ mA/cm}^2$

pH	1,3	1,8	3,1	4,8	6,2
$V, \text{ cm}^3/\text{g}$	3	2,2	8,5	9,0	12

На основании электрономикроскопических исследований поверхности электролитических осадков из кобальта, полученных при pH электролита 1,3—1,9, было установлено, что покрытия состоят из довольно мелких кристаллов, размер и характер строения которых мало меняются изменением плотности тока. С уменьшением кислотности раствора (pH = 2,6 и выше) размер кристаллов резко возрастает (рис. 6). При этом размер кристаллов и их строение в сильной степени зависят от плотности тока. В результате рентгенографических исследований было установлено, что в интервале pH электролита 1,3—1,9 образуется осадок кобальта, состоящий из двух фаз, а именно: гексагонального и кубического кобальта. При более высоких pH покрытия состоят из одного гексагонального кобальта. Эти данные согласуются с результатами работы [2]. Исследование текстуры позволило установить, что кристаллы в осадках, полученных в интервале pH = 1,3—1,9, ориентированы плоскостью

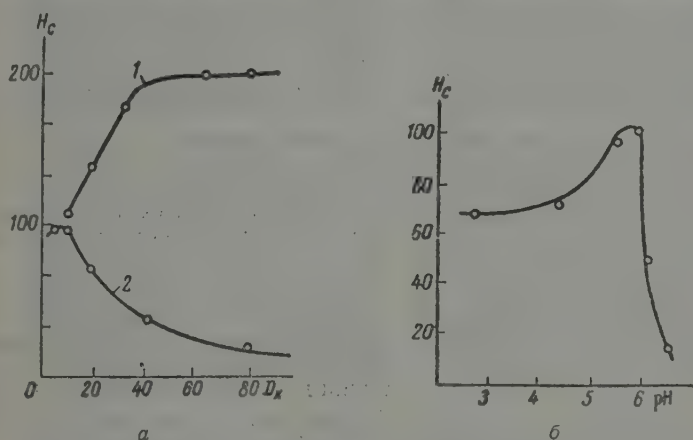


Рис. 5. а—Влияние плотности тока 1—(1M CoSO₄; 2—1M CoSO₄ + 0,5M H₃BO₃) и б—pH электролита (1,8M CoSO₄ + 0,5M H₃BO₃) на коэрцитивную силу осадков кобальта при повышенном содержании сернокислого кобальта

(1010) параллельно поверхности катода. При высоких pH электролита осадок имеет слабовыраженную ориентацию кристаллов, при этом плоскость базиса оказывается параллельной поверхности катода. В табл. 5 приводятся данные изменения текстуры в зависимости от температуры электролита.

Таблица 5

Влияние температуры электролита на ориентацию кристаллов в осадках кобальта, полученных из стандартного раствора при pH = 5,9
и $i_c^* D_k = 10 \text{ mA/cm}^2$

Температура, °C	20	35	40	60
Ориентация	Неориентирован	(1000)	(1000)	(1010)

Обсуждение результатов

Как уже упоминалось, в работе [2] было обнаружено образование модификации кубического кобальта (термодинамически устойчивой лишь выше 400°) при электроосаждении из растворов с низким значением pH.

Магнитные методы исследования, как весьма структурно-чувствительные в сочетании с другими методами позволили исследовать более подробно условия, приводящие к образованию осадков с различным фазовым составом.

Параллельное проведение исследований внутренних напряжений магнитных характеристик электролитических осадков кобальта, полученных при различных рН, позволило установить резкое изменение величин напряжений, коэрцитивной силы и остаточной индукции в интервале рН = 1,9—2,6. При этом, как видно из рис. 1, высокие внутренние напряжения в осадках, полученных при низких значениях рН электролита соответствуют малым величинам коэрцитивной силы. Учитывая, что магнетострикция кобальта отрицательна [3], следовало бы ожидать более высокой коэрцитивной силы в случае осадков кобальта, полученных при низких значениях рН. Обратная зависимость коэрцитивной силы от напряжений, установленная в настоящем исследовании, указывала на различие в строении осадков, полученных при рН = 1,3 — 1,9 и при рН = 2,6—5,6. Электрономикроскопические и рентгенографические исследования подтвердили это предположение. Кроме того, кристаллы осадков гексагонального кобальта, полученные при низких рН, были ориентированы таким образом, что ось более трудного намагничивания была направлена перпендикулярно поверхности катода; следовательно, оси более легкого намагничивания лежали в направлении магнитного поля. Ориентация в покрытиях, полученных при более высоких рН электролита, указывала на расположение оси более трудного намагничивания параллельно плоскости катода.

Учитывая данные о текстуре, следовало ожидать, что осадки, полученные при низких значениях рН раствора, должны намагничиваться значительно легче, а коэрцитивная сила их должна менее сильно зависеть от внутренних напряжений, чем в случае осадков из растворов с высоким рН, так как величина магнетострикции вдоль оси (0001) меньше величина магнетострикции в перпендикулярном направлении приблизительно в 10 раз [3]. Приведенные выше экспериментальные данные находят в согласии с этим заключением.

Такое же влияние оказывает характер ориентации кристаллов кобальта на величину коэрцитивной силы осадка и при исследовании зависимости этой величины от температуры (рис. 3 и табл. 5). Обнаруженное резкое изменение в строении электролитических осадков кобальта при достижении определенного предела рН электролита, по-видимому, свидетельствует об изменении механизма процессов, протекающих на катоде.

Действительно, при полярографическом исследовании восстановления ионов кобальта на ртутном капельном электроде было обнаружено, что выше некоторого значения рН раствора появляется новая волна. Исследуя это явление, Брдичка [4] предположил, что при повышенных значениях рН в растворе образуются менее гидратированные ионы $[\text{Co}(\text{H}_2\text{O})_6\text{OH}]^+$, которые разряжаются при более положительном потенциале (приблизительно на 0,2 В), чем ионы $[\text{Co}(\text{H}_2\text{O})_6]^{2+}$. Ускорение процесса разряда ионов при повышении рН наблюдалось также и для целого ряда других систем [5].

В соответствии с результатами данных исследований В. А. Соловьев и О. А. Абраров [6] установили, что в процессе электроосаждения кобальта при значении рН ~ 2 происходит резкое изменение поляризации электрода.

Таким образом изменение кинетики электрохимической реакции выделения кобальта происходит приблизительно в том же интервале кислотности раствора, при котором в настоящем исследовании наблюдалось изменение строения и физико-химических свойств осадка. Основываясь на данных электрохимических исследований, можно предположить, что различия в строении электролитических осадков, возникающих в условиях

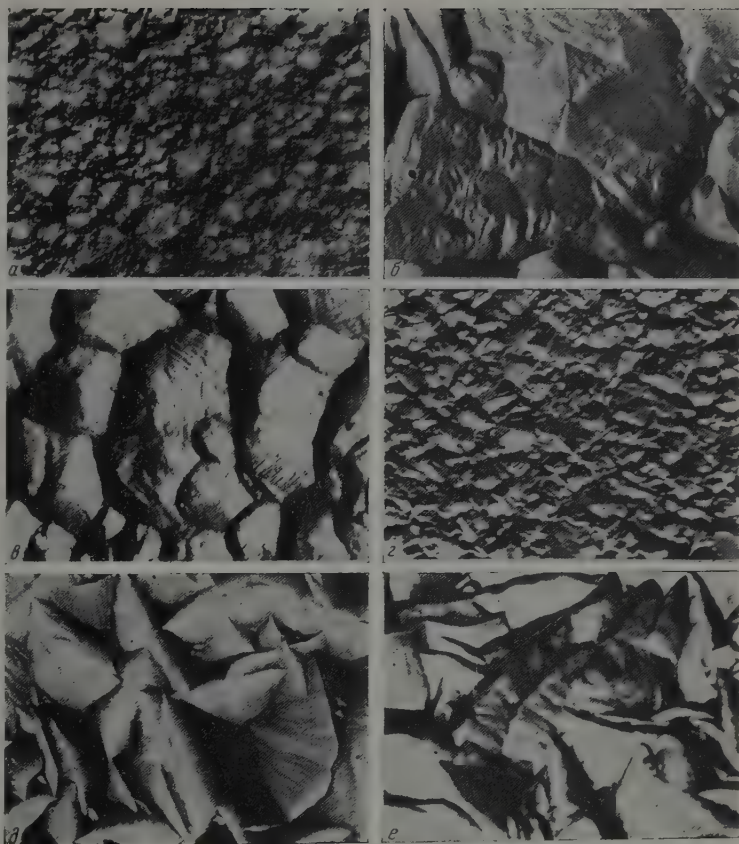


Рис. 6. Строение поверхности электролитических осадков кобальта; $\times 12000$
 a — $\text{pH} = 1,9$, $D_K = 10 \text{ mA} / \text{cm}^2$; b — $\text{pH} = 2,6$, $D_K = 10 \text{ mA} / \text{cm}^2$;
 c — $\text{pH} = 2,6$, $D_K = 60 \text{ mA} / \text{cm}^2$; d — $\text{pH} = 5,6$, $D_K = 1 \text{ mA} / \text{cm}^2$;
 e — $\text{pH} = 5,6$, $D_K = 40 \text{ mA} / \text{cm}^2$

различной кислотности раствора, определяются различной прочностью связи иона кобальта с молекулами воды.

При электрономикроскопических исследованиях было обнаружено, что поверхность осадков кобальта, полученных из растворов с низким значением pH, состоит из мелких кристаллов и по характеру строения походит на осадки металлов, полученных из цианистых электролитов. Осадки, полученные из менее кислых электролитов, имели значительно более крупные кристаллы, как это и следовало ожидать, исходя из представлений, развитых Брдижкой.

Следует иметь в виду, что наряду с влиянием на строение электролитических осадков кобальта характера разряжающегося комплекса следует учитывать и процессы, происходящие непосредственно при формировании осадка, а также его фазовый состав. Как уже указывалось, осадок, образующийся при низких значениях pH электролита, представляет собой двухфазную смесь кристаллов гексагонального и кубического кобальта. Как было показано в нашей лаборатории, фазовый состав может оказывать значительное влияние на строение поверхности электролитического осадка [7].

При анализе вопроса о зависимости строения осадка кобальта от кислотности электролита необходимо учитывать также и то, что при электроосаждении протекают два процесса — разряд ионов кобальта и разряд ионов водорода. Как было показано в работе К. М. Горбуновой и Н. А. Шинкова [8], включение водорода в электролитический осадок никеля может приводить к образованию гексагональной модификации никеля. На влияние различных присадок, вводимых при плавлении кобальта, на температуру фазового перехода указывал Хашимото [9].

Как было показано, количество водорода, включающегося в осадки кобальта, увеличивается при переходе к покрытиям, полученным из менее кислых электролитов. Таким образом резкое изменение строения и свойств осадков кобальта при переходе от pH = 1,9 до 2,6 является результатом действия совокупности взаимосвязанных факторов.

В заключение считаю своим приятным долгом выразить благодарность проф. К. М. Горбуновой за интерес к работе, ценные указания и советы.

Выводы

1. Исследовано влияние электрохимических условий получения кобальта на его строение и магнитные свойства.
2. Показано, что на строение и магнитные характеристики осадка кобальта оказывает сильное влияние кислотность электролита.
3. Установлено, что осадки, полученные при низких значениях pH (3—1,9) электролита, содержат значительно меньшее количество водорода, чем при более высоких pH (2,6—6,2).
4. Обнаружено, что в покрытиях кобальта, полученных при pH электролита 5,6—6,2, наблюдаются временные изменения магнитных характеристик осадка, указывающие на протекание в решетке процессов упорядочения.

Академия наук СССР
Институт физической химии
Москва

Поступила
24.IV.1958

ЛИТЕРАТУРА

- Ю. М. Полукаров, Ж. физ. химии, 32, 1008, 1958.
H. Kersten, Physics, 2, 274, 1932.
Z. Nishiyama, Sci. Rep. Tôhoku Univ., (1), 18, 341, 1929.
R. Brdička, Coll. Czech. Chem. Commun., 3, 396, 1931.
C. R. Estee, G. Glockler, J. Amer. Chem. Soc., 70, 1344, 1948; A. Swenson, G. Glockler, J. Amer. Chem. Soc., 71, 1641, 1949; D. Cozzi, S. Vivarelli, Z. Elektrochem., 57, 408, 1953.
З. А. Соловьева, О. А. Абрамов, Ж. физ. химии, 30, 1572, 1956.

7. В. В. Бондарь, Ю. М. Полукаров, Докл. АН СССР, 123, 4, 719, 1958
 8. К. М. Горбунова, Н. А. Шишаков, Изв. АН СССР. Сер. физ., 17, 242, 1953.
 9. U. Hashimoto, Nippon Kinzoku Gakkai-Si, 1, 177, 1937.
-

**STUDIES OF THE STRUCTURE AND MAGNETIC CHARACTERISTICS OF
ELECTROLYTIC DEPOSITS OF FERROMAGNETIC METALS AND THEIR ALLOYS
WITH RESPECT TO THE CONDITIONS OF THEIR FORMATION**

**II. A STUDY OF THE MAGNETIC CHARACTERISTICS AND STRUCTURE OF ELECTROLYTIC
DEPOSITS OF COBALT**

Yu. M. Polukarov (Moscow)

S u m m a r y

The magnetic characteristics and the structure of electrolytic deposits of cobalt obtained under varying conditions of electrolysis have been studied. The coercive force of cobalt deposits has been found to increase sharply on passing over from acid (pH 1.3—1.9 to more alkaline (pH 2.6—5.6) solutions, an increase also taking place in the quantity of occluded hydrogen. On the contrary there is a decrease in the internal stress on passing over to the less acid solutions. Electron microscopic data has shown that the crystals of cobalt deposits obtained at pH 1.3—1.9 were considerably smaller than those obtained at pH 2.6—5.6. In the case of deposits obtained at the higher pH values a change in the magnetic characteristics was found to take place with time after discontinuation of the electrolysis.

ЭЛЕКТРОЛИТИЧЕСКАЯ ДИССОЦИАЦИЯ В НЕВОДНЫХ СИСТЕМАХ

VIII. СИСТЕМА АЛЛИЛОВОЕ ГОРЧИЧНОЕ-МАСЛО — МЕТИЛАНИЛИН

С. П. Мискиджян

Нами уже сообщались результаты исследования электролитической диссоциации соединений, образующихся в системах, состоящих из аллилового горчичного масла и аминов [1, 2].

В настоящей статье приводятся результаты изучения электролитической диссоциации соединения, образующегося в системе аллиловое горчичное масло — метиланилин.

Эта система уже изучалась по вязкости и плотности [3], по поверхностному натяжению [4] и теплотам смешения [5]. Диаграммы всех этих свойств имеют сингулярный максимум, приходящийся на 50 мол.%, что свидетельствует об образовании в системе термически нераспадающегося соединения — аллилметилфенилтиомочевины.

Н. К. Воскресенская изучила эту систему также по электропроводности [6]. Полученная автором изотерма удельной электропроводности имеет два максимума и один минимум, приходящийся на 50 мол.%. Такая форма диаграмм электропроводности, как известно, характерна для ионных систем [4]. Растворы системы обладают значительной электропроводностью ($\chi_m^{25} = 0,24 \cdot 10^{-3}$).

Как известно, в том случае, когда при смешивании двух непроводящих компонентов получаются проводящие растворы, принято считать, что электролитом в этих системах является образующееся в них соединение [7]. Однако трудно себе представить, чтобы в данном случае аллилметилфенилтиомочевина являлась электролитом [2].

Исключается так же и то, что проводимость в растворах системы возникла за счет диссоциации компонентов.

Так же как и в изученных нами прежде системах, нам удалось в растворах данной системы обнаружить ион SCN^- .

В виду этого мы предположили, что и здесь при взаимодействии аллилового горчичного масла с метиланилином, наряду с замещенной тиомочевинной, образуется роданистоводородный аллилметиланилин, который представляет собой электролит и обуславливает электропроводность в растворах системы. Как показали наши исследования, это предположение полностью подтвердилось.

Экспериментальная часть

Аллиловое горчичное масло было получено способом, описанным в работе [1]. Метиланилин был перегнан, и для работы отобрана фракция, кипящая при 192—192,8° (при 740 мм рт. ст.), d_{20}^{20} 0,9834, n_D^{20} 1,5708.

Концентрацию ионов SCN^- в смесях системы определяли колориметрическим методом, описанным в работе [2].

Результаты этих измерений приведены в табл. 1 (во втором столбце), а на рис. 1 (кривая 1) дана графическая зависимость концентрации SCN^- от состава смесей. На том же рисунке приведена кривая исправленной

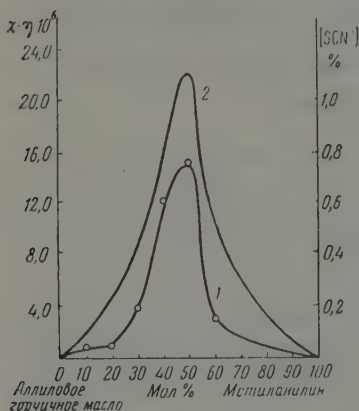
электропроводности $\chi \cdot 10^6$ системы в зависимости от состава по данным Н. К. Воскресенской [6]. Из сравнения этих двух кривых можно заключить, что электропроводность в системе, действительно, обусловлена соединением, анионом которого является SCN^- .

При изучении аналогичных систем [2] нами было обнаружено, что нагревание смесей приводит к значительному возрастанию концентрации SCN^- . В связи с этим мы подвергли растворы изучаемой нами системы нагреванию в течение 12,5 и 55 час. при $100 \pm 5^\circ$. В третьем и четвертом столбце табл. 1 приведены результаты измерения концентрации SCN^- (образующегося соединения) в тех же смесях после нагрева.

Из табл. 1 следует, что при нагревании смесей концентрация соединения, анионом которого является SCN^- сильно возрастает со временем нагревания. В отдельных случаях концентрация SCN^- возрастает более чем в 300—400 раз (в растворах 10 и 20 мол.% метиланилина).

Представляло интерес выяснить, как изменились проводимость, вязкость и плотность растворов системы после их длительного нагревания. В столбцах 5, 6, 7 табл. 1 приведены измеренные нами величины удельной электропроводности, плотности и вязкости растворов системы после нагревания их в течение 12,5 часа.

Рис. 1. 1—состав—концентрация родан-иона; 2—состав—исправленная электропроводность по данным [6]



Обращает на себя внимание то обстоятельство, что удельная электропроводность растворов системы почти не возросла после нагревания их, хотя концентрация ионов SCN^- , как показывают данные табл. 1 (столбец

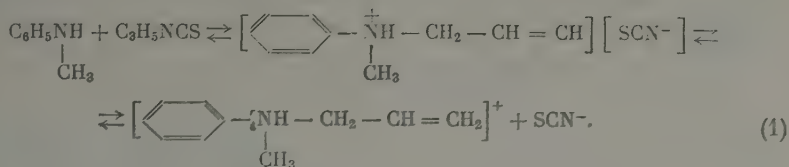
Таблица 1

Состав метиланилина, мол. %	Содержание роданистоводородного аллилметиланилина, вес. % (по концентрации SCN^-)			$\chi_{90} \cdot 10^3$	d_4^{20}	η_{90} , пуазы
	до нагрева	после нагрева в течение				
		12,5 часа	55 час.			
10	0,04	12,8	16,5	1,38	1,125	—
20	0,04	10,0	16,9	8,16	1,126	0,620
30	0,19	14,4	14,9	5,81	1,126	2,69
40	0,60	16,8	19,2	8,27	1,110	1,22
50	0,75	25,3	33,4	13,2	1,100	0,814
60	0,15	10,2	30,3	10,9	1,082	0,342
70	—	7,9	22,4	22,0	1,052	0,109
80	—	1,4	17,2	6,41	1,030	0,053
90	—	—	7,6	2,92	1,002	0,027

3), после нагревания возросла во много раз. Это объясняется тем, что вязкость системы, как и следовало ожидать, сильно возросла после нагревания.

Все это и ряд опытных данных, которые будут изложены ниже, дают нам основание считать, что при взаимодействии аллилового горчичного масла с метиланилином, наряду с замещенной тиомочевинной, образуется роданистоводородный аллилметиланилин, который является электроли-

и обуславливает электропроводность растворов системы. Эта побочная реакция протекает по схеме:



При нагревании смесей содержание роданистоводородного аллилметанилина в отдельных смесях достигает 33%, что свидетельствует о значительной глубине этой реакции.

Аналогично тому, как это делалось в наших прежних работах [2] методом экстракции горячей водой с последующей отгонкой воды в вакууме ($\approx 10-20$ мм), нам удалось выделить бурого цвета очень вязкую жидкость, которая по данным анализа содержала 74% роданистоводородного диметиланилина. Эта смесь была подвергнута электролизу в специальном приборе, описанном в одной из наших работ [2].

При этом наблюдались следующие явления у электродов.

У к а т о д а. Выделялся газ (водород) в количестве, примерно эквивалентном количеству пропущенного электричества. Катодит по мере прохождения тока желтел, что указывало на перенос вещества. Он имеет щелочную реакцию (с фенолфталеином дает интенсивно розовую окраску).

У а н о д а. На электроде выделялся кислород (примерно в три раза выше, чем по расчету). Анолит остается бесцветным, дает интенсивную окраску на родан-ионы и на SO_4^{2-} , имеет сильно кислую реакцию ($\text{pH} = 2$). После нейтрализации его едким кали и выпаривания воды нам удалось получить кристаллы роданистого калия и сернокислого калия.

Результаты электролиза, как нам кажется, подтверждают, что выделенное нами вещество, действительно, представляет собой роданистоводородный аллилметиланилин и диссоциирует в воде по схеме (1) с образованием дан-иона. В связи с этим представляло интерес изучить степень и константу электролитической диссоциации этого соединения в различных растворителях.

Нами методом электропроводности измерена константа диссоциации в воде и в абсолютном этиловом спирте. Последний был получен по методу Древского [8] и имел d_4^{20} 0,7926. Электропроводность измерялась обычным способом в сосуде закрытого типа с гладкими неплатинированными электродами. В табл. 2 приведены результаты измерения удельной и мвивалентной электропроводности роданистоводородного аллилметиланилина в указанных выше растворителях при температуре $20 \pm 0,1^\circ$.

Таблица 2

моль/л	В воде					с, моль/л	В спирте				
	$\chi \cdot 10^3$	λ_c	α	$K_1 \cdot 10^4$	$K_2 \cdot 10^4$		$\chi \cdot 10^3$	λ_c	α	$K_1 \cdot 10^4$	$K_2 \cdot 10^4$
01108	73,72	67,2	0,35	20,8	13,2	0,0448	79,0	17,6	0,22	26,4	6,92
00740	51,09	69,6	0,36	15,0	13,3	0,0224	45,7	20,4	0,25	18,5	6,68
00370	26,32	71,0	0,37	8,04	7,37	0,0121	31,1	27,7	0,34	19,3	8,35
00185	13,52	73,4	0,39	4,61	4,33	0,0056	18,6	33,2	0,41	15,4	8,07
000925	7,35	79,0	0,41	2,64	2,52	0,00280	11,3	40,4	0,49	13,4	8,05
0004625	3,70	80,0	0,42	1,41	1,36	0,00140	6,13	43,7	0,53	8,52	5,87
0002313	1,95	84,5	0,45	0,85	0,85	0,000700	3,51	50,1	0,61	6,72	5,10
0001156	1,01	89,5	0,47	0,48	0,47	0,000350	1,95	55,3	0,67	4,88	4,00
0000578	0,71	123,0	0,65	0,69	0,69	0,000175	1,06	60,3	0,74	3,57	3,06

Методом экстраполяции кривой зависимости $\lambda_c - \sqrt{c}$ были найдены λ_{∞} в воде и в спирте, которые соответственно равны: 190 и 82. В той же таблице приведены значения степени и констант электролитической диссоциации, вычисленные нами обычным способом по уравнению Освальда.

Как видно из приведенных данных, константа диссоциации, вычисленная таким образом, не является постоянной (уменьшается с уменьшением

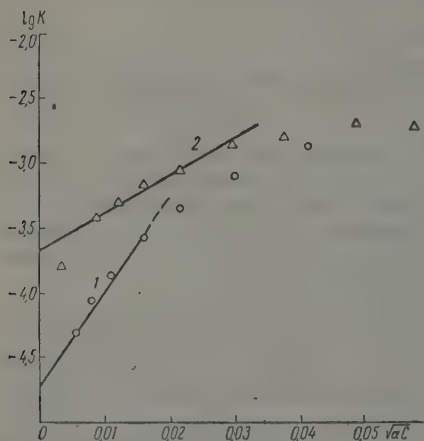


Рис. 2. Зависимость $\lg K - \sqrt{ac}$ для водных и спиртовых растворов: 1 — в воде; 2 — в спирте

и эти величины не постоянны. Поэтому мы вычислили истинное значение константы диссоциации методом экстраполяции кривой зависимости $\lg K - \sqrt{ac}$ [9], которая приведена на рис. 2. Таким образом найденные значения констант диссоциации в воде и в спирте соответственно равны $0,21 \cdot 10^{-4}$ и $2,82 \cdot 10^{-4}$, т. е. константа диссоциации роданистоводородного аллилметиланилина в абсолютном спирте примерно в 10 раз больше, чем в воде, у которой диэлектрическая постоянная в 3 раза больше, чем у спирта. Это не согласуется с правилом Нернста — Томсона.

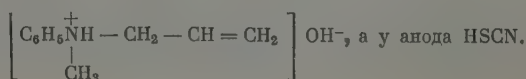
Выводы

1. Показано, что при взаимодействии аллилового горчичного масла с метиланилином наряду с аллилметилфенилтиомочевинной образуется также и роданистоводородный аллилметиланилин, который является электролитом и обуславливает значительную электропроводность растворов системы. Дан механизм его электролитической диссоциации.

2. Установлена прямая зависимость между концентрацией роданиона и величиной электропроводности системы.

3. Показано, что концентрация роданистоводородного аллилметиланилина в смесях системы сильно возрастает при длительном их нагревании.

4. Проведен электролиз указанного соединения в специальном приборе и показано, что при этом у катода образуется



концентрации электролита). Для получения более постоянных значений константы, мы вычислили ее также по уравнению [9]:

$$\lg K_2 = \lg K_1 - 2A\sqrt{ac},$$

где K_2 — термодинамическая (истинная) константа диссоциации; K_1 — классическая константа (функция) диссоциации; A — константа Дебая — Гюккеля. Для воды, как известно, она равна 0,51, а для спирта нами вычислена из уравнения

$$\frac{1,823 \cdot 10^8}{(DT)^{\frac{3}{2}}} = A \text{ и была равна } 2,96$$

α , c — степень диссоциации и концентрации электролита.

Полученные значения приведены в 6 и 12 столбцах табл. 2. Из них видно, что

5. Измерены константы электролитической диссоциации роданистово-родного аллилметиланилина в воде, в абсолютном спирте, которые соответственно равны $K = 0,21 \cdot 10^{-4}$ и $K = 2,82 \cdot 10^{-4}$.

Львовский медицинский
институт

Поступила
26.IV.1958

ЛИТЕРАТУРА

- С. П. Мискиджьян и Ф. Н. Козленко, Сообщ. Всес. хим. о-ва им. Менделеева, вып. 1, 37, 1953.
С. П. Мискиджьян, Ж. общ. химии, 26, 1046, 1956; 27, 1755, 1957; 28, 276, 1958.
Н. С. Курнаков и С. Ф. Жемчужный, Собр. избр. работ, т. 1, 1938, стр. 215.
Н. А. Трифонов и Е. Н. Кобелева, Изв. Пермск. биол. н.-и. ин-та, 7, 377, 1931.
Н. С. Курнаков и Н. К. Воскресенская, Изв. АН СССР. Отд. мат. и ест. наук, № 3, 440, 1936.
Н. К. Воскресенская, Уч. зап. Саратовск. ун-та, 6, 227, 1927.
Н. С. Курнаков, Введение в физико-химический анализ, 1940, стр. 342—421.
K. Dregowski, Roczn. chem., 14, 865, 1934.
С. Глестон, Введение в электрохимию, ИЛ, 1951, стр. 219—221.

ELECTROLYTIC DISSOCIATION IN NON-AQUEOUS-SYSTEMS

VIII. THE SYSTEM ALLYLIC MUSTARD OIL—METHYLANILINE

S. P. Miskidzhyan (L'vov)

Summary

It has been shown that on interaction of allylic mustard oil with methylaniline along-allylmethylphenyl thiurea allylmethylaniline rhodanate is also formed. The latter an electrolyte and is largely responsible for the electroconductivity of solutions of the system. A mechanism is presented of its electrolytic dissociation.

A direct relation has been established between the rhodanate ion concentration and the value of the electroconductivity of the system.

It has been shown that the concentration of allylmethylaniline rhodanate in the system increases considerably on prolonged heating.

The electrolysis of this compound has been carried out in a special apparatus and it has been shown that during this process $(C_6H_5 + \text{—CH}_2\text{CH=CH}_2)\text{OH}^-$ is formed at the



at the cathode and HSCN at the anode.

The electrolytic dissociation constants of allylmethylaniline rhodanate in water and in absolute alcohol have been measured and found to be equal respectively to $K = 0.21 \times 10^{-4}$ and $K = 2.82 \times 10^{-4}$.

КАТАЛИТИЧЕСКОЕ ОКИСЛЕНИЕ АММИАКА В НЕВОДНЫХ РАСТВОРАХ

I. КАТАЛИЗАТОРЫ I ГРУППЫ ПЕРИОДИЧЕСКОЙ СИСТЕМЫ
Д. И. МЕНДЕЛЕЕВА

С. И. Папко

Окисление аммиака в растворах, представляя несомненный интерес с теоретической и практической точек зрения, освещено в литературе очень скупо.

Известны работы [1—5] по окислению аммиака в водных растворах кислородом в присутствии Cu, Ag, MnO_2 , SnO_2 и др. В результате окисления были обнаружены нитрит и нитрат аммония. В обстоятельной работе Мюллера с сотрудниками [6] было изучено каталитическое действие меди и ее окислов на окисление аммиака в водных растворах. Из испытанных соединений наибольшее каталитическое действие оказывала закись меди. Изучалось также влияние pH среды на скорость реакции окисления. Увеличение pH до известного предела благоприятно сказывалось на скорости реакции.

Насколько нам известно, окисление аммиака в неводных растворах не проводилось. Между тем применение неводных растворителей имеет ряд преимуществ по сравнению с водой. Важнейшим среди них является то, что продукты окисления аммиака, очень хорошо растворимые в воде, практически нерастворимы в неводных растворителях. Замена воды, образующей с аммиаком гидрат окиси аммония на инертные растворители не дающие соединений с аммиаком, также должно благоприятно сказаться на ходе реакции окисления. При окислении аммиака в растворах можно очень легко достигнуть эффекта равносильного повышению давления при окислении аммиака в газовой фазе.

Из возможных растворителей, подходящих по своим свойствам, мы остановились на четыреххлористом углероде. В нем довольно хорошо растворяется аммиак (по нашим наблюдениям при 18—20° и атмосферном давлении до 0,25 моль/л) и не растворяются продукты окисления аммиака. Кроме того, CCl_4 является недефицитным дешевым продуктом и кипит при ~77°. Таким образом, окисление аммиака, растворенного в нем, можно будет вести при обычном давлении и температурах порядка 25—35°. Подбор катализаторов, работающих при этих температурах, имеет несомненный интерес, так как вопросы низкотемпературного катализа мало разработаны.

Из возможных окислителей мы остановились на кислороде. Хотя он и не окисляет аммиак непосредственно, но проведенные расчеты стандартных свободных энергий ΔF°_{298} [7] для различных вариантов окисления аммиака кислородом показывают, что равновесие реакции окисления аммиака должно быть смещено в сторону конечных продуктов не только в стандартных, но и в условиях значительно от них отличающихся. Иными словами реакция нуждается в катализаторе. Немаловажным является также то, что кислород дешевле и доступен.

Экспериментальная часть

Схема установки, на которой производилось испытание каталитической активности различных веществ, изображена на рис. 1.

В реакционный сосуд 1 («гусек») вводилось порошкообразное вещество, испытывавшееся в качестве катализатора. После этого туда же наливался раствор аммиака CCl_4 . «Гусек» помещался в водяной термостат 4, соединялся с бюреткой 6 и система наполнялась кислородом. Температура в термостате 4 поддерживалась с точностью $\pm 0,05^\circ$. Бюретка 6 с уравнильным сосудом 7 заполнялась водой, но для изоляции от аммиака (который, испаряясь из CCl_4 , мог попасть в бюретку 6 и, растворяясь в воде, исказить результаты опытов) на поверхность воды в бюретке 6 был налит слой очищенного керосина высотой в 20 мм. «Гусек» с помощью электромотора 3 и «трясучки» 2 совершал колебательные движения (~ 300 колеб./мин.). Активность вещества, испытывавшегося в качестве катализатора, определялась по числу мл кислорода, поглощенного из бюретки в единицу времени.

Температура в лаборатории за время опыта (8—9 часов) не оставалась постоянной. Это отражалось на объеме газов, находившихся в бюретке 6. В связи с этим был поставлен опыт, на основании которого были внесены поправки к данным, полученные во всех опытах. Очно также не удавалось сохранить постоянной исходную концентрацию аммиака в CCl_4 . Поэтому данные всех опытов были пересчитаны на стандартную концентрацию, равную 0,1500 голь/л.

Были поставлены также «глухие» опыты, в результате которых выяснилось, что кислород не реагирует с CCl_4 в присутствии катализаторов (в присутствии аммиака).

После того как опыт заканчивался, содержимое «гуська» выливалось на фильтр и «гусек» и фильтр высушивались на воздухе. Продукты окисления смывались со стенок реакционного сосуда бистиллятом. Этим же раствором промывался катализатор, находившийся на фильтре. Таким образом вода никогда не соприкасалась с четыреххлористым углеродом.

Фильтрат с продуктами окисления упаривался на водяной бане и полученные кристаллы подвергались качественному анализу на ионы NH_4^+ , Cl^- , NO_3^- , NO_2^- , CN^- , O_3^{2-} , а также ион металла, соединение которого испытывалось в качестве катализатора [8]. Полученные кристаллы фотографировались при увеличении ~ 80 .

Катализаторы 1 группы периодической системы (побочной подгруппы). Исследование активности веществ, являющихся металлами 1 группы периодической системы (побочной подгруппы) или их соединениями мы начали с металлической меди, приготовленной разными способами [9, 10, 11]. Медь как катализатор применялась и ранее [1—5], но только в водных растворах. Данные об активности испытанных образцов порошкообразной меди изображены на рис. 2. Ход ривых на рис. 2 позволяет сделать вывод о том, что активность испытанных образцов практически не зависит от способа их приготовления.

Были сделаны также попытки промотирования меди никелем [12], также нанесения ее на поверхность инертного носителя (MgO). Данные об активности полученных катализаторов также изображены на рис. 2, как видно из рисунка, активность меди, промотированной никелем, несколько снизилась по сравнению с чистой медью. Активность меди, нанесенной на окись магния, несколько возросла, что позволяет сделать важный вывод о том, что медь как катализатор действует не всей поверхностью, а лишь какой-то частью, поскольку количество меди уменьшилось в этом опыте примерно в 100 раз.

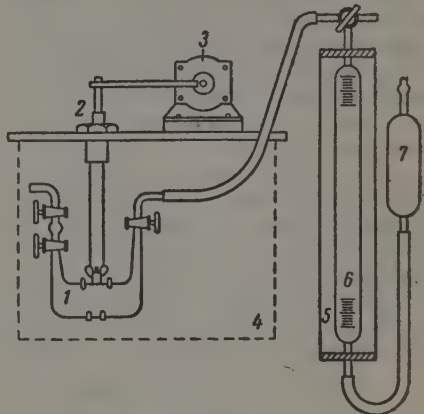


Рис. 1. Схема установки: 1 — реакционный сосуд («гусек»); 2 — «трясучка»; 3 — электромотор; 4 — термостат водяной; 5 — рубашка; 6 — бюретка; 7 — уравнильный сосуд

Далее были испытаны в качестве катализаторов различные соединения меди. Было приготовлено несколько образцов закиси меди [13—15]. Это вещество применялось в качестве катализатора при окислении аммиака в водных растворах Мюллером с сотрудниками [6] и показало высокую активность. Данные об активности меднозакисных катализаторов приведены на рис. 3. Кривые на рис. 3 показывают, что некоторые образцы Cu_2O более активнее, чем металлическая медь. Эти же данные говорят, что на активность катализатора существенное влияние оказывает способ приготовления. Еще более существенное влияние оказало промотирование закиси меди металлическим серебром. Закись меди, промотированная серебром, оказалась самым активным катализатором из всех испытанных нами веществ. Таким образом, закись меди проявляет активность не только в водных, но и в тетрахлорметановых растворах.

Валентность меди, входящей в состав того или иного катализатора, оказалась тесно связанной с его активностью. Это подтверждается данными, приведенными на рис. 4 и 5. На рис. 4 приведены данные об активности окиси меди, полученной разными способами [16—18]. Эти данные

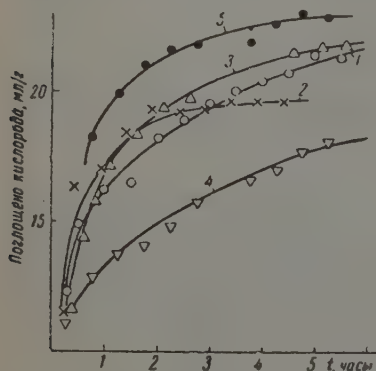


Рис. 2

Рис. 2. Активность различных образцов медных катализаторов: 1, 2, 3 — образцы порошкообразной меди [9, 10, 11]; 4 — медь, промотированная никелем [12]; 5 — медь, нанесенная на окись магния!

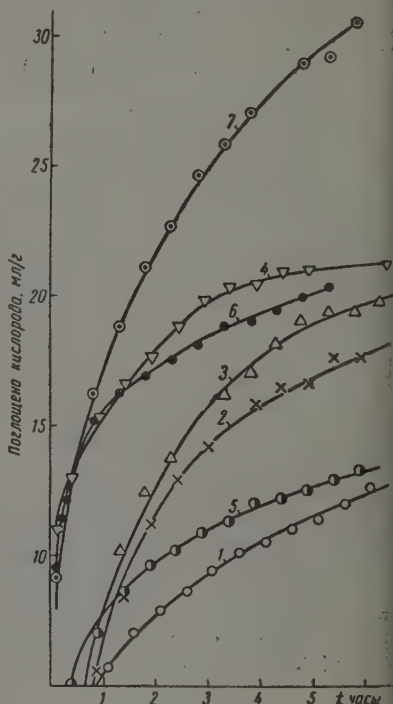


Рис. 3

Рис. 3. Активность различных образцов закиси меди: 1 — готовый препарат (Кальбаум); 2, 3 — образцы получения прокатыванием смеси $\text{CuO} + \text{Cu}$ [13]; 4, 5 — образцы, полученные восстановлением CuSO_4 глюкозой [14]; 6 — образец, полученный восстановлением CuSO_4 , иввертированным сахаром [15]; 7 — закись меди, промотированная серебром!

показывают, что активность окиси меди в 5—8 раз меньше активности меди или закиси меди. Связь, существующая между валентностью меди и активностью катализатора, подтверждается также данными об активности сульфидов одновалентной и двухвалентной меди, приведенными на рис. 4. Активности этих сульфидов практически совпадают с активностями соответствующих кислородных соединений (см. рис. 3 и 4).

На рис. 6 приведены данные об активности перекиси меди CuO_2 [19] из которых следует, что активность катализатора зависит не только от

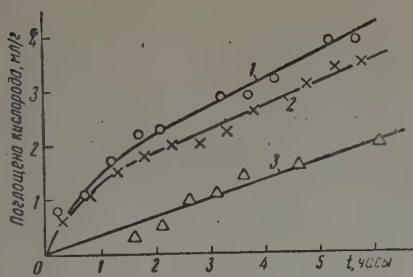


Рис. 4

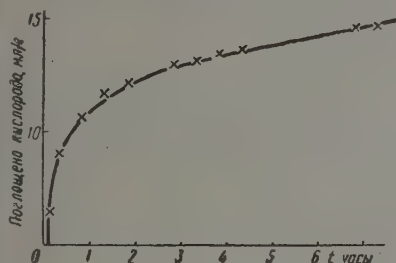


Рис. 6

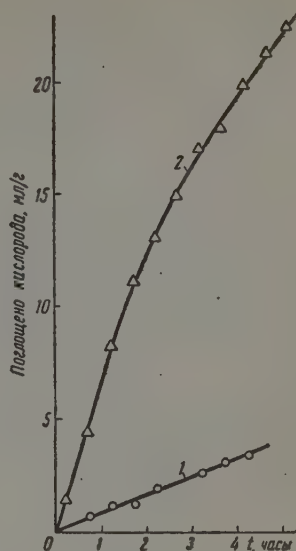


Рис. 5

Рис. 4. Активность различных образцов окиси меди: 1 — образец получен осаждением NaOH из горячего раствора CuSO_4 [16]; 2 — образец получен прокаливанием $\text{Cu}(\text{OH})_2$, осажденной аммиаком [17]; 3 — образец получен прокаливанием меди на воздухе [18]

Рис. 5. Активность сульфидов меди: 1 — сульфид двухвалентной меди (Кальбаум); 2 — сульфид одновалентной меди (Кальбаум)

Рис. 6. Активность перекиси меди CuO_2 [19]

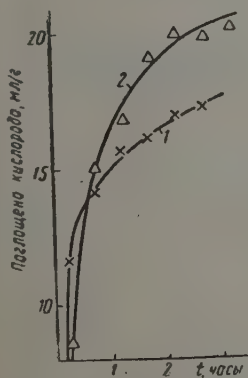


Рис. 7

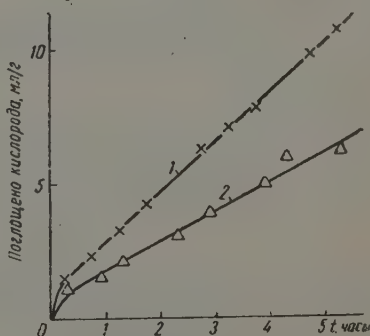


Рис. 8

Рис. 7. Устойчивость каталитической активности закиси меди: 1 — первое испытание; 2 — второе испытание

Рис. 8. Активность серебра и его окиси: 1 — металлическое серебро; 2 — окись серебра

валентности меди, но связана также с валентностью кислорода, находящегося в соединении с медью.

После проведения опытов все образцы закиси, окиси, перекиси меди не изменялись по внешнему виду.

Также были испытаны в качестве катализаторов — зелень Шееле (CuHAsO_3), $\text{Cu}(\text{NO}_3)_2 \cdot 2\text{H}_2\text{O}$ и хлористая медь CuCl . Из этих веществ наибольшую активность показала зелень Шееле, а поглощение кислорода $\text{Ca}(\text{NO}_3)_2 \cdot 2\text{H}_2\text{O}$ прекращалось через 10 мин. после начала опыта.

Особый интерес для практического использования катализатора представляет устойчивость его активности во времени. Данные об устойчивости активности медиозакисных катализаторов представлены на рис. 7. После однократного испытания активности CCl_4 был вновь насыщен аммиаком, а «гусек» заполнен кислородом и испытание активности было продолжено. Рис. 7 показывает, что активность закиси меди даже несколько возросла. Это объясняется тем, что в последнем случае концентрация аммиака была выше, чем в первом.

Из элементов побочной подгруппы 1 группы были испытаны также серебро [20] и окись серебра [21]. Результаты испытаний изображены на рис. 8 и, как это видно из рисунка, активность этих веществ ниже чем активность меди и закиси меди, но значительно выше чем у окиси меди.

Интересно отметить, что активность серебра и его окиси практически не меняется во времени.

Выводы

1. Было исследовано около 25 веществ, представляющих соединения элементов побочной подгруппы 1 группы периодической системы, в качестве катализаторов реакции окисления аммиака, растворенного в четыреххлористом углеороде, кислородом.

2. Установлено, что соединения одновалентной меди (с кислородом, серой) более активны, чем подобные соединения двухвалентной меди. Металлическая медь занимает промежуточное положение.

3. Способ получения катализатора, как правило, отражается на его активности.

4. Промотирование закиси меди серебром повысило ее активность.

5. Промотирование меди никелем снизило ее активность.

6. Закись меди сохраняет активность при повторном насыщении исходного раствора аммиаком.

7. Нанесение меди на инертный носитель (окись магния) несколько увеличило активность, хотя количество меди уменьшилось примерно в 100 раз. Таким образом, медь оказывает каталитическое действие лишь частью поверхности.

8. В продуктах окисления всегда присутствует NO_3^- , отсутствует NO_2^- . В большинстве случаев можно обнаружить ионы хлора.

2-ой Московский государственный медицинский ин-т
им. Н. И. Пирогова

Поступила
12.V.1958

ЛИТЕРАТУРА

1. Schonbein C. F., J. pr. Ch., 70, 131, 1857.
2. Tuttle D. K., Lieb. Ann., 101, 283, 1857.
3. Peligot E. C. r., 53, 209, 1861.
4. Berthelot M. Pean de Saint-Gilles L., C. r., 56, 1171, 1863.
5. Löw O. J. pr. Ch., 126, 299, 1878.
6. Müller E., Wiebols H., Eggerglüs H., Uhlig F., Z. f. Elektrochemie, 32, 117, 1926.
7. С. И. Папко, Ж. прикл. химии, т. XXII, 7, 667, 1949.
8. Н. А. Тананаев, Капельный метод, 1954, М. ГХИ.
9. Ю. В. Карякин, И. П. Ангелов, Чистые хим. реакт., 341, 1955. М. Г. Х. И.
10. И. П. Кисляков, Ж. прикл. химии, т. XII, 11, 1668, 1939.

- Rossmann J., Trans. Am. Electrochem. Soc., 85, 169, 1944.
Jellinek K., Коор R., Z. phys. Chem., A, 145, 305, 1929.
И. В. Дыбина, Ж. хим. пром., т. 15, 11, 57, 1938.
П. Сингаловский, Соли редких и цветных металлов, 26, 1932, ГХИ.
Д. П. Финкельштейн, Авт. свид. № 47685, 31.07.1936.
Ю. В. Карякин, И. И. Ангелов, Чист. хим. реакт., 349, 1955, М Г. Х. И.
Ю. В. Карякин, И. И. Ангелов, Чист. хим. реакт., 350, 1955, М Г. Х. И.
А. Д. Казанцев, Ж. прикл. химии. XI, 7—8, 1108, 1938.
Л. А. Николаев, Доктор. диссерт., МГУ, 1948.
Ю. В. Карякин, Ангелов И. И. Чист. хим. реакт., 489, 1955, М Г. Х. И.
Ю. В. Карякин, И. И. Ангелов, Чист. хим. реакт., 496, 1955, М Г. Х. И.

CATALYTIC OXIDATION OF AMMONIA IN NON-AQUEOUS SOLUTIONS

I. CATALYSTS OF THE FIRST GROUP OF MENDELEEV'S PERIODIC SYSTEM

S. I. Papko (Moscow)

Summary

Approximately 25 substances representing compounds of the first subgroup elements of the periodic system have been investigated as catalysts of the oxygen oxidation of ammonia dissolved in carbon tetrachloride. Univalent copper compounds (with oxygen and sulphur) have been found to be more active than the bivalent copper analogs. Metallic copper assumes an intermediate position. As a rule the method of preparing the catalyst affects its activity. Silver had a promoting influence on copper monoxide. Addition of nickel to the copper lowered its activity. Copper monoxide preserves its activity on repeated saturation of the initial solution with ammonia (see Fig. 7). The application of copper on an inert carrier had no effect on the activity of the former, although the quantity of copper was diminished by about a hundred times. Hence only part of the copper surface is catalytically active. NO_3^- is always present and NO_2^- always absent among the oxidation products. In most cases chlorine ions may be detected.

«СТРУКТУРНЫЕ ВКЛАДЫ» В ЗНАЧЕНИЯ ВТОРЫХ ПРОИЗВОДНЫХ ТЕРМОДИНАМИЧЕСКИХ ПОТЕНЦИАЛОВ ЖИДКОСТЕЙ

Д. Папоушек и Я. Кучирек

Исследование температурной зависимости теплоемкости, коэффициента изотермической сжимаемости и коэффициента объемного расширения жидкостей применяют часто для изучения фазовых переходов высших порядков (см., например, [1]); однако мало внимания обращалось на их взаимосвязь со структурой жидкостей в областях, лежащих за фазовыми переходами. Методы статистической механики при расчете так называемой конфигурационной части теплоемкости применяли Бернал [2], Роулинсон [3] и Оокава [4] (см. также [5]); Эйкен [6] использовал ее для оценки свойств сильно ассоциированных жидкостей (вода, спирты); И. Н. Годнев [7], [8] предложил соотношения для расчета тепловой зависимости теплоемкости при постоянном объеме.

В настоящей работе рассматривается вопрос структурных вкладов в значения теплоемкости, объемного расширения и сжимаемости жидкостей на основе простых термодинамических соотношений, которые выражают эти вклады в виде вторых производных энтропии по объему, давлению или температуре. Значения нужных нам производных вычислялись из экспериментальных данных для ряда жидкостей с различным характером межмолекулярного взаимодействия, а также и для некоторых двойных жидких смесей, и обсуждалась их взаимосвязь с молекулярной структурой жидкостей.

Основные соотношения

Коэффициенты изотермической сжимаемости β_T и объемного расширения α и теплоемкости при постоянном давлении C_p и постоянном объеме C_v являются, как хорошо известно, функцией вторых производных термодинамических потенциалов:

$$\beta_T = - \frac{1}{V} \left(\frac{\partial^2 G}{\partial P^2} \right)_T; \quad (1)$$

$$\alpha = \frac{1}{V} \frac{\partial^2 G}{\partial P \partial T}; \quad (2)$$

$$C_p = - T \left(\frac{\partial^2 G}{\partial T^2} \right)_P; \quad (3)$$

$$C_v = - T \left(\frac{\partial^2 F}{\partial T^2} \right)_V, \quad (4)$$

где V , P и T — объем, давление и абсолютная температура; свободная энтальпия $G = H - TS$ и свободная энергия $F = U - TS$. По определению

$$\beta_T = - \frac{1}{V} \left(\frac{\partial V}{\partial P} \right)_T, \quad \alpha = \frac{1}{V} \left(\frac{\partial V}{\partial T} \right)_P; \quad C_p = \left(\frac{\partial H}{\partial T} \right)_P, \quad C_v = \left(\frac{\partial U}{\partial T} \right)_V.$$

Если выражение для свободной энтальпии продифференцировать два раза по давлению при постоянной температуре, то получим

$$\left(\frac{\partial^2 G}{\partial P^2}\right)_T = \left(\frac{\partial^2 H}{\partial P^2}\right)_T - T \left(\frac{\partial^2 S}{\partial P^2}\right)_T.$$

После подстановки из уравнения (1) имеем

$$\beta_T = \frac{T}{V} \left(\frac{\partial^2 S}{\partial P^2}\right)_T - \frac{1}{V} \left(\frac{\partial^2 H}{\partial P^2}\right)_T = \beta_s + \beta_g, \quad (5)$$

$$\beta_s = \frac{T}{V} \left(\frac{\partial^2 S}{\partial P^2}\right)_T = T \left[\beta_T \alpha + \left(\frac{\partial \beta_T}{\partial T}\right)_P \right]. \quad (6)$$

Уже Я. И. Френкель [9] (см. также [10, 11]) заметил, что β_g является осметрической частью коэффициента сжимаемости β_T , которая отвечает уменьшению средних межмолекулярных расстояний в жидкости при ее сжатии, и β_s представляет структурную часть коэффициента сжимаемости, отвечающую одновременному повышению молекулярной упорядоченности жидкости при уменьшении ее объема. В случае одноатомных жидкостей то изменение структуры может выражаться лишь в изменении степени ближнего порядка в расположении частиц в сторону более компактной упаковки их при сжатии. В случае жидкостей с более сложными молекулами необходимо считаться тоже с изменением их взаимной ориентации. Так как структурная часть коэффициента сжимаемости β_s является функцией второй производной энтропии, то она показывает, как зависит изменение структуры жидкости при повышении давления от величины того давления.

Для модуля объемной упругости жидкости $K = 1/\beta_T = -V(\partial P/\partial V)_T$ справедливо соотношение

$$K = V \left(\frac{\partial^2 F}{\partial V^2}\right)_T. \quad (7)$$

Если дважды продифференцировать выражение для свободной энергии по объему при постоянной температуре то получим

$$\left(\frac{\partial^2 F}{\partial V^2}\right)_T = \left(\frac{\partial^2 U}{\partial V^2}\right)_T - T \left(\frac{\partial^2 S}{\partial V^2}\right)_T,$$

и после подстановки из (7) получаем [11]

$$K = V \left(\frac{\partial^2 U}{\partial V^2}\right)_T - TV \left(\frac{\partial^2 S}{\partial V^2}\right)_T = K_g + K_s,$$

где для структурной части модуля объемной упругости K_s выполняется соотношение

$$K_s \equiv -TV \left(\frac{\partial^2 S}{\partial V^2}\right)_T = -\frac{T}{\beta_T^2} \left(\frac{\partial \beta_T}{\partial T}\right)_V. \quad (8)$$

Аналогичные результаты получим также и для остальных величин. Двукратным дифференцированием по температуре при постоянном давлении выражения для свободной энтальпии получим (после упрощений)

$$-\left(\frac{\partial^2 G}{\partial T^2}\right)_P = \left(\frac{\partial^2 H}{\partial T^2}\right)_P - T \left(\frac{\partial^2 S}{\partial T^2}\right)_P$$

и, используя уравнение (3), получим для теплоемкости C_p

$$C_p = T \left(\frac{\partial^2 H}{\partial T^2}\right)_P - T^2 \left(\frac{\partial^2 S}{\partial T^2}\right)_P = (C_p)_g + (C_p)_s, \quad (9)$$

где

$$(C_p)_s \equiv -T^2 \left(\frac{\partial^2 S}{\partial T^2}\right)_P = C_p - T \left(\frac{\partial C_p}{\partial T}\right)_P. \quad (10)$$

Для теплоемкости C_v получаем аналогично

$$C_v = T \left(\frac{\partial^2 U}{\partial T^2} \right)_V - T^2 \left(\frac{\partial^2 S}{\partial T^2} \right)_V = (C_v)_g + (C_v)_s, \quad (11)$$

где

$$(C_v)_s \equiv -T^2 \left(\frac{\partial^2 S}{\partial T^2} \right)_V = C_v - T \left(\frac{\partial C_v}{\partial T} \right)_V. \quad (12)$$

Структурные части теплоемкости $(C_p)_s$ и $(C_v)_s$ имеют значение, аналогичное значению «структурной» части коэффициента сжимаемости β_s или модуля объемной упругости K_s , т. е. отвечают уменьшению молекулярной упорядоченности жидкости при повышении ее температуры.

Если дифференцировать выражение для свободной энтальпии по температуре и давлению, то получим

$$\frac{\partial^2 G}{\partial P \partial T} = \frac{\partial^2 H}{\partial P \partial T} - T \frac{\partial^2 S}{\partial P \partial T} - \left(\frac{\partial S}{\partial T} \right)_P.$$

С учетом уравнения (2) для коэффициента объемного расширения α выполняется

$$\alpha = \frac{1}{V} \frac{\partial^2 H}{\partial P \partial T} - \frac{1}{V} \left[T \frac{\partial^2 S}{\partial P \partial T} + \left(\frac{\partial S}{\partial P} \right)_T \right] = \alpha_g + \alpha_s, \quad (13)$$

где

$$\alpha_s = -\frac{1}{V} \left[T \frac{\partial^2 S}{\partial P \partial T} + \left(\frac{\partial S}{\partial P} \right)_T \right] = \alpha + T \left[\left(\frac{\partial \alpha}{\partial T} \right)_P + \alpha^2 \right]. \quad (14)$$

Обсуждение результатов

Коэффициент изотермической сжимаемости и модуль объемной упругости жидкостей. В табл. 1 приведены значения β_g и β_s , вычисленные для ряда жидкостей с сильно отличающимися

Таблица 1

Структурные вклады к значениям изотермической сжимаемости жидкостей при 20° С

Вещество	β_T , см ² /дин	β_g , см ² /дин	β_s , см ² /дин
Гептан	130,7	-240	371
Октан	115,2	-202	317
Четыреххлористый углерод	103,8	-167	271
Бензол	93,4	-148	241
Сероуглерод	90,6	-129	220
Метанол	121,7	-132	254
Этанол	109,5	-147	256
Вода	45,8	+86,4	-40,6
Перекись водорода	26,0	-2,7	28,7
Глицерин	24,9	+3,8	21,1
Ртуть	4,0	+2,6	1,4

межмолекулярными силами из соотношений (5) и (6). Для подсчета $(\partial \beta_T / \partial T)_P$ использованы литературные данные температурных коэффициентов скорости распространения ультразвука в жидкостях [12], коэффициенты адиабатической сжимаемости β_{ad} приведены к изотермическим согласно соотношения $\beta_T = \beta_{ad} + T \alpha^2 / (\rho C_p)$. Значения α , C_p и плотности ρ взяты из литературных данных [13—15] и для перекиси водорода использованы результаты наших измерений [16].

Из полученных результатов видно, что для жидкостей, в значительной степени неориентированных, структурная часть коэффициента сжимаемости больше геометрической части, которая является отрицательной.

ориентированных жидкостей, имеющих высокую молекулярную упорядоченность (например, глицерин с трехмерной ассоциированной сетью водородных связей) величина β_s уменьшается; для ртути прочная металлическая связь между атомами приводит к особенно плотной упаковке, величина β_s в этом случае даже меньше, чем величина β_g . К такому результату приводит повышение молекулярной упорядоченности жидкости путем повышения давления и исследование зависимости β_s от давления (рис. 1). Наглядно видно, что значения β_s и β_g даны относительным положением отдельных жидкостей на обобщенной кривой зависимости энтальпии жидкостей от давления *. Неориентированные жидко-

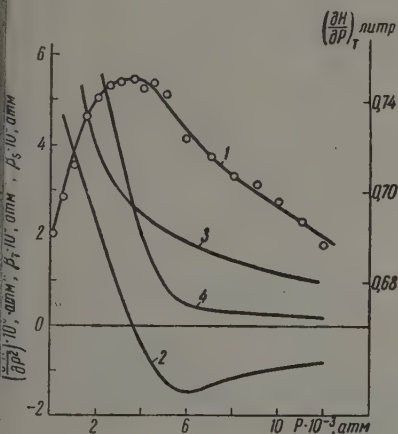


Рис. 1

с. 1. Зависимость β для этилйодида от давления при 40°C : 1 — $(\partial H / \partial P)_T$; 2 — $H / \partial P^2$; 3 — β_T ; 4 — $\beta_s = \frac{T}{V} \left(\frac{\partial^2 S}{\partial P^2} \right)_T$. Вычислено из опытных данных по Бриджмену [15]

с. 2. Зависимость β_s от температуры при постоянном давлении; 1 — вода; 2 — этилендихлорид; 3 — бензол; 4 — четыреххлористый углерод

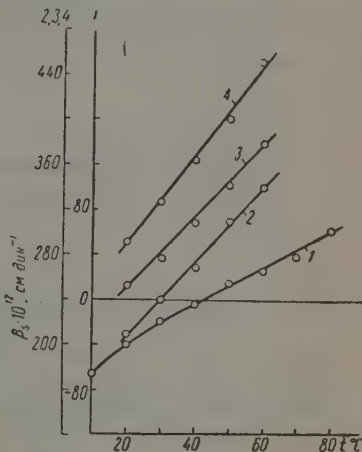


Рис. 2

и находятся в области минимума этой зависимости и левее его; для них $\beta_s > \beta_T$, $\beta_g < 0$; ориентированные жидкости лежат справа от минимума и для них $0 < \beta_s < \beta_T$, $\beta_g > 0$.

Если повысить температуру жидкости при постоянном давлении, увеличится молекулярная неупорядоченность жидкости и β_s растет (так же как и β_T); для большинства жидкостей β_s является почти линейной функцией температуры (рис. 2). Аномальным является отрицательное значение β_s для воды в области более низких температур (рис. 2). Эта аномалия проявляется во всей области значений давления (рис. 3), поэтому можно заключить, что предположение Эйкена [6] о том, что вода ведет себя при давлении 10 000 атм как нормальная жидкость, очевидно, неверно (ср. [18]). Так как из опытных данных (рис. 3) и температуре около 40°C и в интервале давлений от 0 до 13 000 атм найдено, что $(\partial^2 S / \partial P^2)_T = 0$ и $(\partial S / \partial P)_T < 0$ и от P не зависит, то приходим к интересному результату: при этой температуре с повышающимся давлением энтропия воды уменьшается линейно до самой точки фазового перехода.

Для вычисления структурной части модуля объемной упругости K_s из соотношения (8) имеется очень мало косвенных экспериментальных дан-

* Ср. [11, 17].

ных, из которых можно было бы определить значения $(\partial \beta_T / \partial T)_V$ (например, измерения Бриджмэна зависимости объема жидкостей от давления при различных температурах [15]). В таком случае значения K_s и K даны относительным положением отдельных жидкостей на обобщенно кривой зависимости внутренней энергии жидкостей от их объема [11, 12 (рис. 4).

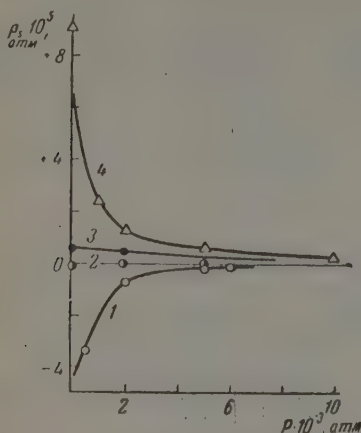


Рис. 3

Рис. 3. Зависимость β_0 для воды от давления при различной температуре: 1—20°С; 2—40°С; 3—50°С; 4—80°С. Вычислено из опытных данных по Бриджмэну [19]

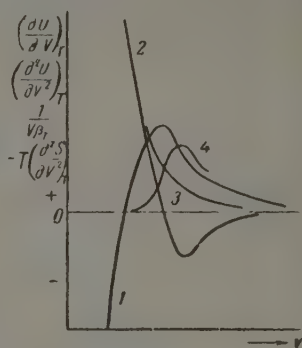


Рис. 4

Рис. 4. Обобщенные кривые зависимости: 1— $(\partial U / \partial V)_T$; 2— $(\partial^2 U / \partial V^2)_T$; 3— $\frac{1}{V \beta_T}$; 4— $T (\partial^2 S / \partial V^2)_T$ от объема V

Теплоемкости. В табл. 2 приведены значения $(C_p)_s$ и $(C_p)_{gr}$ вычисленные из (9) и (10) с использованием литературных экспериментальных данных [20, 13, 14]. Величина $(C_p)_s$ образует составную часть

Таблица 2

Структурные вклады к значениям теплоемкости C_p при 20°С

Вещество	C_p , кал/моль·град	$(C_p)_s$, кал/моль·град	$(C_p)_{gr}$, кал/моль·град
Бензол	32,10	20,6	11,45
Четыреххлористый углерод	31,65	29,5	2,1
Этилендихлорид	30,84	23,6	7,2
Ацетон	30,44	19,0	11,4
Сероуглерод	18,84	16,6	2,2
Хлороформ	27,19	21,7	5,5
Метанол	19,0	7,0	12,0
Этанол	28,6	— 2,9	+29,6
n-Пропанол	33,6	3,7	29,9
изо-Пропанол	35,8	—17,9	+53,9
Вода	18,02	18,99	— 0,97
Ртуть	6,67	7,06	— 0,39

суммарной величины C_p ; в глаза бросаются малые или даже отрицательные значения $(C_p)_s$ для спиртов. Малые значения $(C_p)_s$ можно хорошо объяснить тем, что с повышением температуры распадаются ассоцииро-

нные молекулы спиртов; этот распад усиливается с повышением температуры. На рис. 5 изображен соответствующий этому предположению вид кривой зависимости энтропии от температуры. Большую роль может и этом играть влияние температуры на промежуточные равновесные состояния распадающихся ассоциированных молекул, а также и влияние

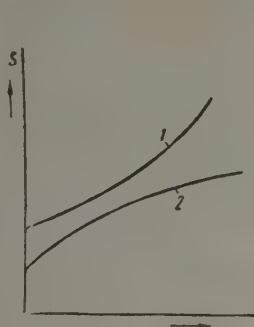


Рис. 5

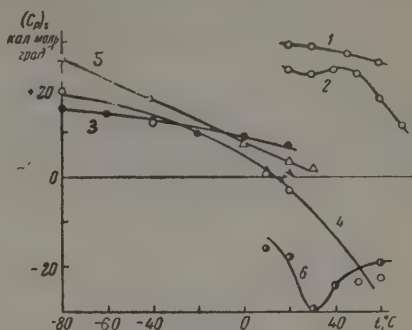


Рис. 6

Рис. 5. Зависимость энтропии от температуры: 1 — $(\partial^2 S / \partial T^2)_{P, \dots} > 0$, т. е. $(C_p)_s < 0$; 2 — $(\partial^2 S / \partial T^2)_{P, \dots} < 0$, т. е. $(C_p)_s > 0$

Рис. 6. Зависимость $(C_p)_s$ от температуры при постоянном давлении. 1 — четыреххлористый углерод; 2 — этилендихлорид; 3 — метиловый спирт; 4 — этиловый спирт; 5 — *n*-пропиловый спирт; 6 — *изо*-пропиловый спирт

температуры на заторможенное внутреннее вращение алкильных групп [21]. Эти влияния выражаются экстремумами на кривой зависимости $(C_p)_s$ от температуры (рис. 6); также в случае неассоциированного этилендихлорида экстремальное значение на кривой $(C_p)_s$, вероятнее всего, соответствует влиянию температуры на заторможенное внутреннее вращение молекул этилендихлорида [22].

Для вычисления и обсуждения значений $(C_p)_s$ из соотношения (12) не имеем, к сожалению, достаточного числа экспериментальных данных. Коэффициент теплового объемного расширения. Поскольку α является функцией смешанной производной термодинамического потенциала, полученное выражение для α_s [уравнение (14)] громоздко, и взаимосвязь со структурой мало наглядна. Значения α_s больше, чем α (при 30° С, например, для бензола $\alpha = 1,242 \cdot 10^{-3}$, $\alpha_s = 2,285 \cdot 10^{-3}$, для этилендихлорида $\alpha = 1,161 \cdot 10^{-3}$, $\alpha_s = 2,636 \cdot 10^{-3}$, для воды $\alpha = 0,303 \cdot 10^{-3}$, $\alpha_s = 3,035 \cdot 10^{-3}$); для воды, конечно, температурная зависимость α_s аномальна.

Смеси жидкостей. Особый интерес представляла бы возможность изучения ориентационных эффектов при смешивании жидкостей, основанная на использовании вышеприведенных соотношений.

Предположим, что для сжимаемости идеального двойного раствора выполняется

$$\beta_{\text{ид}} = \Phi_1 \beta_1^0 + \Phi_2 \beta_2^0, \quad (15)$$

где индекс 0 означает свойства чистых компонентов и Φ их объемные дроби; следовательно,

$$\beta_{\text{ид}} = \Phi_1 (\beta_1^0)_g + \Phi_2 (\beta_2^0)_g + \Phi_1 (\beta_1^0)_s + \Phi_2 (\beta_2^0)_s = (\beta_{\text{ид}})_g + (\beta_{\text{ид}})_s. \quad (16)$$

Если обозначим β^E как избыточную сжимаемость смеси, тогда получим

$$\beta^E = \beta^* - \beta_{ид};$$

$$\beta_g^E = \beta_g^* - (\beta_{ид})_g;$$

$$\beta_s^E = \beta_s^* - (\beta_{ид})_s,$$

где β_g^E и β_s^E — соответствующие части «избыточной» сжимаемости смеси; β_g^* и β_s^* — значения, вычисленные для данной смеси из соответствующих экспериментальных данных согласно соотношениям (5) и (6).

Зависимость β_g^E и β_s^E от состава раствора для некоторых смесей дана на рис. 7—10, для расчетов использованы экспериментальные дан

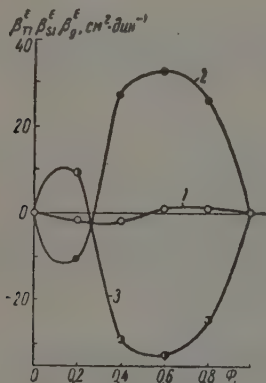


Рис. 7

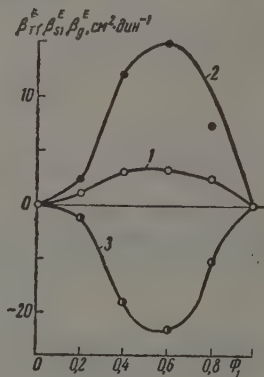


Рис. 8

Рис. 7. Система ацетон — хлороформ при 30°С: 1 — β^E ; 2 — β_g^E ; 3 — β_s^E ; Φ_1 — объемная доля ацетона

Рис. 8. Система ацетон — сероуглерод при 30°С: 1 — β^E ; 2 — β_g^E ; 3 — β_s^E ; Φ_1 — объемная доля ацетона

ные Стэвляе, Тупмэна и Харта [22]. Значения β_s^E и β_g^E для всех систем значительно превышают β^E и взаимно компенсируются*. Из сравнения с остальными «избыточными» термодинамическими функциями этих систем [22] вытекает, что β_s^E очень тесно связано с избыточным объемом смещения V^E . Это проявляется особенно наглядно для системы ацетон — хлороформ — единственной системы, для которой V^E [22], а также и β_s^E (рис. 7) меняют знак. Для других систем положительным значениям V^E отвечают положительные значения β_s^E , увеличивающиеся с повышающейся температурой (рис. 10), как и значения V^E [22]. Следовательно, значения β_s^E явно отражают изменения неупорядоченности жидкости при образовании раствора. В пользу введения функции β_s^E гово

* На точность расчета β_s^E больше всего влияет точное определение: $(\partial \beta_T / \partial T)_P$. Стэвляе, Тупмэн и Харт [22] использовали для измерений метод Тыррёра, обеспечивающий точность $\pm 0,5\%$. Точность расчета β_s^E из ими полученных данных больше, чем $\pm 5\%$. Более точные расчеты можно было бы проделать с использованием измерений теплового коэффициента распространения ультразвука в данной жидкости [23].

ит также и тот факт, что разницей между $(\beta_s^E)_P$ и $(\beta_s^E)_V$ (смешивание при постоянном давлении и постоянном объеме) для большинства растворов можно пренебречь. (Из опытных данных для чистых жидкостей вытекает, что изменению объема, например на 0,2%, соответствует изменение β на $1 \cdot 10^{-12}$ абс. ед.) Если в выражениях (15) и (16) применить молярные дроби вместо объемных, то значения β_s^E и β_g^E , как правило, возрастут (например, для системы ацетон — сероуглерод $\alpha 1/3$).

Максимальные отклонения от идеального поведения, а также и максимальные значения β_s^E и β_g^E наблюдаются в системе ацетон — хлороформ.

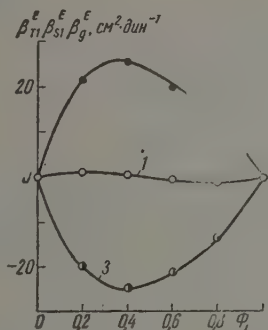


Рис. 9

Рис. 9. Система бензол — этилхлорид при 30°С: 1 — β_T^E ; 2 — β_{s1}^E ; 3 — β_g^E ; Φ_1 — объемная дробь бензола

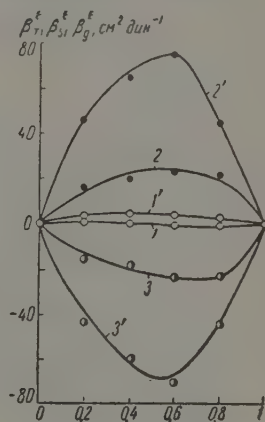


Рис. 10

Рис. 10. Система бензол — четыреххлористый углерод: 1 — β_T^E ; 2 — β_{s1}^E ; 3 — β_g^E при 30°С; 1', 2' и 3' — те же величины при 60°С, Φ — объемная дробь бензола

ти отклонения, видимо, отвечают образованию молекулярных комплексов с водородной связью [22]; с их образованием упорядоченность раствора увеличивается, и значения β_s^E поэтому отрицательны. Помимо этих влияний здесь, вероятно, сказываются еще и другие влияния, которые обуславливают преобладание для больших концентраций ацетона, так что β_s^E становится положительным (рис. 7). Для системы бензол — четыреххлористый углерод немного удивляют довольно большие по отношению к малым значениям V^E и других термодинамических избыточных функций [22] значения β_s^E .

Значения избыточных функций для других величин, обсуждаемых настоящей работе, т. е. $(C_p^E)_s$ и α_s^E , для исследуемых систем по величине больше, чем C_p^E и α^E [20, 22]. Их отношение к структуре жидкостей гораздо более сложно, чем в случае сжимаемости, поэтому они не совсем подходят для получения сведений о свойствах смесей жидкостей. Однако дальнейшее изучение функции β_s^E могло бы принести положительные сведения о структурных изменениях при смешивании жидкостей, особенно в связи с известной проблемой регулярных растворов [24—26]; но пока необходимый экспериментальный материал отсутствует.

Выводы

1. В настоящей работе использованы простые термодинамические соотношения, выражающие так называемые «структурные вклады» к значениям сжимаемости, теплового расширения и теплоемкости в виде функций вторых производных энтропии по объему, давлению или температуре.

2. Значения этих производных вычислены из опытных данных для ряда жидкостей с различным характером межмолекулярного взаимодействия, а также и для жидких смесей ацетон — хлороформ, ацетон — сера, углерод, бензол — этилендихлорид и бензол — четыреххлористый углерод, и убеждалось их отношение к структуре жидкостей. «Структурные вклады» в значения сжимаемости жидкостей легко связать со степенью эквандированности жидкости; в случае жидких смесей их подсчет дает дополнительные сведения о структурных изменениях, происходящих при смешивании жидкостей.

Университет
г. Брно, Чехословакия

Поступила
16.I.1959

ЛИТЕРАТУРА

1. В. К. Семенченко, Успехи химии, 21, 1068, 1952.
2. J. D. Bernal, Disc. Faraday Soc., 32, 27, 1936.
3. J. S. Rowlinson, Trans. Faraday Soc., 50, 647, 1954.
4. A. Ooka wa, J. Phys. Soc. Japan, 2, 108, 1947.
5. J. Prigogine, Bull. Soc. chim. Belg., 50, 153, 1941.
6. A. Bucken, Z. Elektrochem., 52, 255, 1948.
7. П. П. Годинов, М. С. Савогина, Докл. АН СССР, 98, 983, 1954.
8. П. П. Годинов, Р. А. Гудова, Ж. физ. химии, 32, 1586, 1958.
9. П. П. Френкель, Кинетическая теория жидкостей, Изд-во АН СССР, 1945.
10. V. S. Venkatasubramanian, J. Chem. Phys., 26, 965, 1957.
11. D. Papoušek, Collection, 24, 2601, 1959.
12. А. Бергман, Ультразвук, ИИЛ, Москва, 1957.
13. J. Timmermans, Physico-chemical constants of pure organic compounds, Elsevier, Amsterdam, 1950.
14. H. Zeise, Thermodynamik, B. 111/4, S. Hirzel Verlag, Leipzig, 1954.
15. International Critical Tables, Vol. III, McGraw Hill Book Co., New York, 1928.
16. D. Papoušek, Collection, 23, 1787, 1958.
17. B. E. Wood, O. Sandus, S. Weissman, J. Amer. Chem. Soc., 79, 1777, 1957.
18. A. H. Smith, A. W. Lawson, J. Chem. Phys., 22, 351, 1954.
19. P. W. Bridgman, J. Chem. Phys., 3, 597, 1935.
20. L. A. K. Staveley, K. R. Hart, W. J. Turman, Disc. Faraday Soc. No 15, 137, 1953.
21. L. A. K. Staveley, W. J. Turman, J. Chem. Soc., 3597, 1950.
22. L. A. K. Staveley, W. J. Turman, K. R. Hart, Trans. Faraday Soc. 51, 323, 1955.
23. В. В. Кудряков, Применение ультразвуковых методов в практике физико-химических исследований, ГИТТЛ, Москва, 1951.
24. J. H. Hildebrand, Disc. Faraday Soc., No 15, 9, 1953.
25. J. H. Hildebrand, Z. phys. Chem. (Neue Folge), 16, 245, 1958.
26. М. П. Шахпаров, Введение в молекулярную теорию растворов, ГИТТЛ, Москва, 1956.

STRUCTURAL CONTRIBUTIONS TO THE VALUES OF THE SECOND
DERIVATIVES OF THE THERMODYNAMIC POTENTIALS OF LIQUIDS

D. Papoušek and J. Kučerek (Brno, Czechoslovakia)

Summary

In this paper simple thermodynamic relations expressing the so-called «structural contributions» to the values of the second derivatives of the thermodynamic potentials of liquids (coefficient of compressibility, coefficient of thermal expansion and heat capacity) have been employed as functions of the second derivatives of entropy. The values of their contributions have been calculated, from experimental data, for a number of liquids of different kinds of intermolecular forces and for some binary mixtures of liquids. It has been shown that these values comprise a substantial part of the total value for the corresponding property. «Structural» contributions to the value of the compressibility of liquids can be simply correlated with the degree of expansion of the liquid; the calculation in the case of mixtures of liquids yielding useful data on the structural changes taking place during the mixing process.

О ЗАВИСИМОСТИ ОТ ДАВЛЕНИЯ СКОРОСТИ ГОРЕНИЯ
ЧЕРНОГО ПОРОХА

О. И. Лейтунский

В настоящей статье рассматривается вопрос о зависимости скорости горения черного пороха от давления.

Для случая горения бездымного пороха Я. Б. Зельдовичем была дана физическая теория [1], в которой основная закономерность горения пороха — зависимость скорости горения от давления была объяснена зависимостью от давления массовой скорости распространения пламени в процессах газификации пороха.

В этой теории применяется идея, высказанная А. Ф. Беляевым [2], о горении летучих жидких взрывчатых веществ в паровой фазе. В случае бездымного пороха вместо испарения рассматривается газификация. Черный порох отличается от бездымного в двух отношениях: во-первых, он является гетерогенной системой, а не гомогенной: горючее (уголь) и окислитель (селитра) являются соседями в виде макроскопических частиц; во-вторых, горючее — уголь имеет низкую упругость пара, и поэтому реакция горения не может происходить в газовой фазе. Она неизбежно должна происходить в конденсированной фазе на поверхности частичек пороха.

Эти два отличия, в особенности последнее, не позволяют механически переносить теории горения бездымного пороха к случаю горения черного пороха. Объяснения увеличения скорости горения с увеличением давления требуют добавочного рассмотрения, хотя, как будет ниже показано, картина в основном аналогична той, которая была разобрана Я. Б. Зельдовичем в случае бездымного пороха.

Механизм реакции заключается в том, что кислород, выделяющийся из разлагающейся селитры, диффузией в газовой фазе поступает к угольной частице, реагирует на ее поверхности, а продукты реакции также диффузией в газе удаляются от угольной частицы. (Возможно, что сера играет каталитическую роль в переносе кислорода. Мы этого не рассматриваем, так как возможен черный порох без серы.)

Для дальнейшего существенна зависимость скорости элементарного акта реакции — сгорания угольной частицы — от давления. Как известно, в кинетической области, т. е. где реакция идет настолько медленно, что диффузия не ограничивает скорости процесса, скорость горения угля пропорциональна давлению кислорода.

В диффузионной области, когда реакция углерода с кислородом идет настолько быстро, что скорость диффузии лимитирует скорость сгорания, время сгорания угольной частицы будет зависеть от условий диффузии.

Обозначим: q_0 — количество кислорода, нужное для сгорания частицы рассматриваемых размеров, D — коэффициент диффузии ($\sim 1/p$); c_0 — концентрация кислорода на бесконечности ($\sim p$); $r_{эфф}$ — эффективный путь диффузии (градиент концентрации $= c_0/r_{эфф}$); τ — время сгорания частицы; S — поверхность частицы. Тогда

$$q_0 \approx D \frac{c_0}{r_{эфф}} \tau S; \tau \approx q_0 \frac{r_{эфф}}{D S c_0} \quad (1)$$

Знаменатель в выражении (1) не зависит от давления, q_0 также не зависит от давления. Зависимость времени сгорания частицы от давления определяется зависимостью от давления эффективного пути диффузии.

В случае сгорания угольного шарика в атмосфере кислорода эффективный путь диффузии равен радиусу шарика, т. е. не зависит от давления. Поэтому время сгорания угольного шарика не зависит от давления кислорода (Нуссельт), то же самое может иметь место, если источник кислорода (частицы селитры) и угольная частица находятся в твердой фазе неизменном расстоянии друг от друга. В случае сгорания плоской пластины путь диффузии равен толщине слоя кислорода, нужного для сгорания рассматриваемой пластины. Толщина этого слоя $\sim 1/p$, поэтому, согласно (1), время сгорания будет обратно пропорционально давлению кислорода.

Таким образом время сгорания частицы угля может с ростом давления уменьшаться или оставаться неизменным в зависимости от внешних условий.

Селитра разлагается и выделяет газы при низкой температуре ($\sim 400^\circ$), когда горение угля еще не происходит. Сера около этой температуры также поставляет газовые продукты — пары серы (сера кипит при 444°) и окислы серы. (Впрочем сера, не являясь принципиально необходимым компонентом гетерогенной смеси окислителя и угля, так как большая часть энергии сгорания пороха поставляется от реакции угля с кислородом.)

Поэтому следует полагать, что газы, выделяющиеся при нагреве поверхности пороха, уносят несгоревшие частички угля, которые сгорают в газоугольном факеле над поверхностью пороха. Тем самым осуществляется случай сгорания угольного шарика в атмосфере кислорода, в котором время сгорания не зависит от давления.

На диспергирование пороха при горении впервые обратил внимание П. Ф. Похил, показавший, что горение бездымного гомогенного пороха связано с частичным диспергированием пороховой массы. В случае чистого пороха доля диспергирования, механизм реакции в газоугольном факеле и вклад гетерогенных реакций, разумеется, совершенно отличны от случая бездымного пороха. Однако П. Ф. Похил и Ромоданов показали, что и в этом случае внешняя картина аналогична.

Для суждения о возможности сгорания угля вне поверхности пороха следует сравнить скорость горения пороха со скоростью распространения пламени в газоугольном факеле, чтобы оценить, может ли в факеле быть потреблено то количество угля, которое потоком газа уносится от поверхности пороха. Данных о сгорании газоугольных смесей, совпадающих по составу с порохом, нет.

Однако в литературе имеются данные о скорости распространения пламени в газоугольных смесях при атмосферном давлении, относящиеся к смеси графит-кислород [3] и каменный уголь-воздух [4].

Смесь графит-кислород состояла из графитовой пыли (диаметр шариков $\leq 5 \mu$) и кислорода в количестве 1 л на 0,2 г графита (по стехиометрии на 1 л кислорода требуется 0,5 г графита, т. е. смесь была разбавлена кислородом). Скорость распространения пламени составляла 12—18 см/сек. т. е. в смеси сгорало 2,4—3,6 мг/сек·см² графита. В порохе на 1 см длины приходится около 250 мг угля на 1 см². Таким образом, наблюдаемая скорость распространения пламени в кислородно-графитовой смеси соответствовала бы скорости распространения горения в порохе, равной 0,1 мм/сек. Эту величину следует рассматривать, скорее, как нижний предел скорости горения, так как смесь графит-кислород была разбавлена окислителем, и можно ожидать, что стехиометрическая смесь горела бы быстрее.

Смесь уголь-воздух состояла из угольной пыли 100 меш (т. е. диаметр частиц $\leq 250 \mu$ и воздуха в количестве 1 л на 0,1—0,33 г угля. В угле

или летучие компоненты (до 40% по весу). В этом отношении газоугольная смесь ближе к черному пороху, чем газографитовая, так как в черном порохе также есть летучий компонент — сера).

Скорость распространения пламени варьировалась от 10 до 50 см/сек. Скорость потребления угля в пламени составляла 3,3—11 мг/сек.·см², что соответствует скорости горения пороха 0,15—0,5 мм/сек.

Скорость горения черного пороха сильно зависит от состава и плотности пороха. Мало прессованный порох в бикфордовом шнуре горит со скоростью около 10 мм/сек, ружейный порох — 8 мм/сек, трубочный порох — 3 мм/сек [5]. Для плотного пороха, горящего параллельными слоями, можно принять за характерную величину скорости горения при атмосферном давлении от одного до нескольких миллиметров в 1 сек. Эта величина в несколько раз превосходит наибольшую величину 0,5 мм/сек, полученную из данных работы [4]. Расхождение измеренных скоростей горения черного пороха и оцененных по скорости распространения пламени в газоугольных факелах лежит в пределах порядка величины и свидетельствует, как нам кажется, скорее, о принципиальной близости обоих процессов. Хотя, конечно, для полного решения вопроса о согласованности скоростей необходимо измерять скорость распространения пламени в газоугольной смеси, точно эквивалентной по составу и дисперсности черному пороху. В дальнейшем мы будем полагать, что черный порох сначала образует газоугольную смесь, которая сгорает над поверхностью пороха.

В такой схеме основное выделение тепла происходит в газовой фазе над поверхностью пороха, а тепло, необходимое для разложения селитры, поступает в конденсированную фазу из области реакции в газоугольной фазе, т. е. имеет место картина, аналогичная картине горения бездымного пороха.

По теории Я. Б. Зельдовича, линейная скорость газификации пороха пропорциональна корню квадратному из мощности объемного выделения тепла в зоне реакции. В данном случае с ростом давления пропорционально ему возрастает количество угля и кислорода в единице объема, и поэтому, несмотря на независимость от давления скорости сгорания отдельных частичек, мощность выделения тепла в единице объема возрастает пропорционально давлению. В теории Я. Б. Зельдовича этот случай соответствовал бы мономолекулярной реакции в газовой фазе. Таким образом рассматриваемая схема горения черного пороха имеет формальную аналогию с горением бездымного пороха, в которой сгорающие частички или аналогичные большим молекулам, реагирующим по мономолекулярному закону, унос угля в потоке газа аналогичен газификации, тепло, необходимое для диспергирования пороха и приготовления горючей смеси, подается из газовой фазы. Следовательно, по аналогии с бездымным порохом скорость горения черного пороха должна возрастать пропорционально корню квадратному из давления в соответствии с мономолекулярным законом реакции. Не ограничиваясь вышеприведенной аналогией, приведем дополнительную оценку зависимости от давления скорости горения черного пороха при независимости от давления скорости сгорания отдельной частички. Подача тепла к поверхности, определяющая скорость газификации конденсированной фазы, происходит из зоны реакции навстречу потоку газоугольной смеси, выходящей из пороха. Рассмотрим слой горячей газоугольной смеси, характеризующейся определенной глубиной выгорания, т. е. определенным временем горения. При увеличении давления линейная скорость потока газов уменьшается обратно пропорционально давлению, а так как время сгорания пылинки не зависит от давления, то расстояние от поверхности, на котором окажутся сгорающие пылинки и горячие продукты горения рассматриваемого слоя, уменьшится, и градиент температуры, определяющий поток тепла к поверхности пороха, соответственно увеличится пропорционально давлению.

Увеличение градиента температуры в рассматриваемом слое горячей газоугольной смеси не приведет к его охлаждению потому, что пропорционально давлению увеличится концентрация газоугольной смеси, т. е. объемная мощность выделения тепла. Поэтому температура рассматриваемого газового слоя окажется неизменной, он лишь пододвинется к поверхности. Увеличение градиента температуры приведет к увеличению потока тепла к поверхности пороха, т. е. к увеличению скорости газификации.

Напишем равенство количеств тепла, подводимого из области реакции и потребляемого при газификации пороха:

$$v_{\text{K}} \rho_{\text{K}} (T_{\text{п}} - T_0) C_{\text{K}} = \eta \frac{T_{\text{эфф}} - T_{\text{п}}}{X_{\text{эфф}}} = \eta \frac{T_{\text{эфф}} - T_{\text{п}}}{v_{\text{Г}} \tau_{\text{эфф}}}, \quad (2^*)$$

$$v_{\text{Г}} \rho_{\text{Г}} = v_{\text{K}} \rho_{\text{K}},$$

где v_{K} , ρ_{K} , C_{K} — скорость газификации, плотность, теплоемкость конденсированной фазы; T_0 , $T_{\text{п}}$, $T_{\text{эфф}}$ — начальная температура пороха, температура поверхности пороха, эффективная температура области реакции, прилегающей к поверхности пороха и определяющей теплоотдачу к поверхности. $T_{\text{эфф}}$ может быть меньше температуры горения. Горение полностью может закончиться далеко от поверхности и протекание последних стадий реакции может не оказывать существенного влияния на градиент температуры у поверхности пороха.

$x_{\text{эфф}}$ — расстояние от поверхности до области в газе с температурой $T_{\text{эфф}}$; $\tau_{\text{эфф}}$ — время сгорания того количества угля, которое необходимо для достижения температуры $T_{\text{эфф}}$; η — коэффициент теплопроводности

$$(v_{\text{K}} \rho_{\text{K}})^2 = \frac{\eta}{c_p} \frac{T_{\text{эфф}} - T_{\text{п}}}{T_{\text{п}} - T_0} \frac{\rho_{\text{Г}}}{\tau_{\text{эфф}}}. \quad (3)$$

Выше было указано, что, так как с увеличением давления пропорционально возрастут не только градиенты температуры, но и объемные мощности выделения тепла, то $T_{\text{эфф}}$ не должно изменяться с увеличением давления. Так как $T_{\text{п}}$ мало зависит от давления**, а η и $T_{\text{эфф}}$ не зависят от давления, то согласно (3)

$$v_{\text{K}} \rho_{\text{K}} \sim \frac{V_{\text{РГ}}}{r} \sim \frac{V_{\text{Р}}}{r} \quad (4)$$

т. е. скорость горения пороха пропорциональна корню квадратному из давления. В случае, если горение частиц угля происходит в кинетической области, то скорость реакции на поверхности угля $\sim p^n$, где $0 < n \leq 1$. Соответственно скорость сгорания частицы $\tau \sim r/p^n$, тогда согласно (3)

$$v_{\text{K}} \rho_{\text{K}} \sim \sqrt{\frac{\rho_{\text{Г}}}{\tau_{\text{эфф}}}} \sim \sqrt{\frac{p^{1+n}}{r}}, \quad (5)$$

* Мы не рассматриваем передачи тепла излучением. При горении газоугольных смесей при атмосферном давлении отмечено [3], что излучение составляет заметную долю в прогреваемую смесь. С повышением давления абсолютный вклад излучения будет сначала немного возрастать, благодаря увеличению черноты пламени, и стремиться к постоянной, не зависящей от давления, величине, определяемой только температурой пламени ($\sim T^4$). Относительный вклад будет падать с давлением. В последнем случае скорость горения будет слабее зависеть от давления, чем по формулам (3) и (4) (см. ниже).

** При экспоненциальной зависимости скорости реакции разложения от $T_{\text{п}}$ достаточно небольшого изменения $T_{\text{п}}$, чтобы значительно увеличить поток газа от поверхности.

е. скорость горения пропорциональна давлению в степени $(1 - n)$; 2) обратно пропорциональна корню из радиуса частицы.

Таким образом при сгорании угля в кинетической области скорость горения пороха сильнее зависит от давления, чем при сгорании в диффузионной области и может быть пропорциональна давлению (при $n = 1$).

Зависимость скорости горения от размера частиц в кинетической области слабее, чем в диффузионной.

(4) и (5) получены в предположении, что частичка угля движется все время со скоростью газа. Н. Н. Бахман обратил внимание на то, что для слишком малых частиц это предположение не будет выполняться. В. Новожилов учел реальное движение частиц в расчете скорости горения черного пороха и получил, что в диффузионной области

$$v_{\text{диф}} \sim \frac{\sqrt[3]{V_p}}{r} \quad (6)$$

Выражения (3) — (6) не следует рассматривать как решение задачи теплопроводности в случае горения черного пороха, они являются лишь качественной иллюстрацией физических соображений об увеличении роста давления градиентов температуры и объемной мощности выделения тепла в горящей газоугольной смеси, выходящей из черного пороха. Решение задачи о теплопроводности заменено введением $T_{\text{эф}}$ и $\tau_{\text{эф}}$ и соображением о независимости или слабой зависимости от давления $T_{\text{эф}}$ и $\tau_{\text{эф}}$ в рассматриваемом случае.

Автор благодарит Я. Б. Зельдовича за обсуждение вопроса и ценные замечания.

Выводы

Рассматривается зависимость от давления скорости горения черного пороха. Предполагается, что имеет место диспергирование, отмеченное Н. Ф. Похилом, что при горении пороха происходит образование газоугольной смеси газов, выделяющихся из разлагающейся селитры, сгорание частиц угля в потоке газоугольной смеси. Время сгорания частицы угля в диффузионной области не зависит от давления, а зависимость скорости горения от давления получается по аналогии с теорией горения бездымного пороха Я. Б. Зельдовича, как следствие увеличения объемной скорости выделения тепла в факеле газоугольной смеси с ростом концентрации компонентов и увеличения градиентов температуры.

Поступила
28.VIII.1958

ЛИТЕРАТУРА

- Я. Б. Зельдович, ЖЭТОФ, т. 12, 498, 1942.
А. Ф. Беляев, ЖФХ, 12, 93, 1938.
Casseb, Liebmann, Mocu — Sixth Symposium l'international on comustion, 1957, стр. 602.
Hisao Hattori — loc cit стр. 590.
А. Штегбагер, Пороха и взрывчатые вещества, стр. 169, О. Н. Т. И., 1936.

PRESSURE DEPENDENCE OF THE BURNING RATE OF BLACK POWDER

О. I. Leipunskii (Moscow)

Summary

An analysis has been made of the pressure dependence of the rate of burning of black powder. The assumption was made that the burning takes place with dispersion as was observed by Pokhil during the burning of smokeless powder, i. e., that the process takes place with the formation by the gases evolved during decomposition of the saltpeter of gas-carbon mixture and the burning in the latter of the carbon particles. The time of burning of the carbon particles is independent of the pressure and the pressure dependence of the rate of burning by analogy to the Zel'dovich theory of the burning of smokeless powder results from the increase in the space velocity of heat evolution in the gas-carbon flame with increasing pressure and increasing temperature gradient.

В выбранных режимах характеристики фотоумножителя и усилителя линейны, таким образом, показания гальванометра прямо пропорциональны интенсивности люминесценции.

Электронный стабилизатор и усилитель постоянного тока прибора питаются от трансформатора с удвоением напряжения, работающего на лампах L_1 и L_2 (2П2С). Стабилизатор последовательного типа с управлением со стороны входа [1, 2] работает на лампах L_3 (СГ2С) и L_4 (6Ф5С), усилитель постоянного тока, — балансный катодный усилитель [2], — на лампе L_5 (6Н8С), анодное питание которой стабилизировано лампой L_5 (СГ2С).

Настройка стабилизатора производится полупеременными сопротивлениями R_1 и R_2 при переключении гальванометра на выход (колодка II). Регулировка электрического нуля усилителя производится переменным сопротивлением R_4 . Переменное сопротивление R_3 в цепи сетки левого (на схеме) триода 6Н8С, напряжение на котором подается выключателем Bk_3 , может служить для компенсации действия составляющей сигнала на сетке правого триода, связанной с люминесценцией материала кюветы-сцинтиллятора, а также с темновым током умножителя. Желательно, чтобы кюветы были выполнены из кварца, однако вполне возможно применение тонкостенных стеклянных кювет.

Чувствительность прибора в случае работы фотоумножителя в режиме, при котором некомпенсированный темновой ток вызывает отклонение стрелки гальванометра не более 0,5% шкалы, соответствует 10^{-9} лм на 1 деление. При необходимости чувствительность может быть во много раз повышена, для чего увеличивают напряжение на выходе электронного стабилизатора и вводят компенсацию темнового тока.

Прибор может быть использован также для измерения интенсивности люминесценции непрозрачных объектов (хроматографической бумаги, срезов адсорбентов, некоторых кристаллов и т. п.), для чего вместо кюветы с жидкостью устанавливается держатель с образцом таким образом, чтобы люминесцирующая поверхность составляла угол 45° с направлением возбуждающего света и оптической осью фотоумножителя. В заключение отметим, что применение прибора для проведения люминесцентных измерений в азотной промышленности позволило резко повысить чувствительность и точность определений, ранее проводимых визуально [3].

Днепропетровский
азотно-туковый завод

Поступила
21.IV.1958

ЛИТЕРАТУРА

1. Ю. Чечик, С. М. Файнштейн и Т. М. Лифшиц, Электронные умножители, Гостехтеоретиздат, М., 1957.
2. М. Бонч-Бруевич, Применение электронных ламп в экспериментальной физике, Гостехтеоретиздат, М., 1954.
3. М. М. Коростелева, С. И. Кричмар, Е. А. Копылова, А. К. Коротыч, Заводск. лаборатория, № 1, 1957; С. И. Кричмар, Заводск. лаборатория, № 3, 328, 1957.

PHOTOELECTRIC INSTRUMENT FOR LUMINESCENCE DETERMINATIONS

I. A. Shapunov, S. I. Krichmar and E. G. Sumbaev (Dneprodzerzhinsk)

Summary

A design of a photoelectric instrument for luminescence determinations has been proposed, employing a photoelectric multiplier, giving high sensitivity.

ВЫСОКОТЕМПЕРАТУРНЫЙ МЕТОД БЕСКОНТАКТНОЙ ТЕРМОГРАФИИ

Н. А. Недумов

Для расширения температурного интервала дифференциальной термографической записи широкого класса различных веществ разработан бесконтактный метод термического анализа и построен прибор [1]. Согласно этому методу изменение состояния исследуемого объема регистрируется по изменению теплового потока внутри камеры в центре которой помещен этот объем*.

Средняя температура исследуемого объема измеряется относительно температуры внутренней полости камеры. Изменение теплового потока обнаруживается на основе регистрации разности температур между разделенными полостями блока — камерой образца и полостью эталона.

Весь процесс снятия термограмм, а также градуировка измерительно-регистрирующих приборов по реперному материалу проводится в условиях стабильного теплового режима второго рода [2, 3] системы блока — камеры.

Измерительно-регистрирующая часть прибора основана на применении схем дифференциального и «простого» вольфрамовых термометров сопротивления, эталонного оптического пирометра ОП-48 [4] и фоторегистрирующей части пирометра Н. С. Курнакова [5—7].

При помощи этих схем и приборов, специальных систем блоков, изготовленных из тугоплавких материалов ThO_2 , BeO , Al_2O_3 , W , Mo , Ta , осуществляется регистрация термограмм в форме «простой», дифференциальной записи и световых температурных отметок в условиях вакуума и инертной среды в интервале $20\text{—}2800^\circ\text{C}$.

Согласно этому методу, исследуемое вещество в тигле помещается в систему блока — камеры (рис. 1). В системе стационарно установлены два одинаковых вольфрамовых ** элемента с внешней стороны закрытого крышечкой тигля с исследуемым веществом, которые являются термоприемниками дифференциального и «простого» термометров сопротивления. Внутренняя полость образца камеры и ее отверстие в крышке диаметром $0,5\text{ мм}$ представляют собой модель черного тела и служат как термоприемник оптического пирометра.

Следует отметить, что для уменьшения температурного градиента между образцом и поверхностью расположения элемента сопротивления камера по своей массе, а следовательно, и по теплоемкости, во много раз превышает содержащиеся в ней элементы (отношение $20:1$, $10:1$).

Регистрация превращений осуществляется дифференциальным термометром сопротивления (рис. 1). Электрическая схема этого термометра представляет собой мосту которого два равных плеча R_1 и R_2 являются термоприемниками. На место нулевого гальванометра моста включена регистрирующая часть пирометра Н. С. Курнакова. Для двух одинаковых элементов сопротивления R_1 и R_2 создаются такие условия, чтобы в процессе изменения температуры с задан-

* Экспериментальная проверка установила одновременность регистрации начала и конца одного и того же превращения при помощи термопары, спай которой контактировал в центре объема реперного вещества, и вольфрамового термометра сопротивления, расположенного с внешней стороны этого объема.

При этом элементы сопротивления удалялись от вещества массой $0,5\text{—}5\text{ г}$ и находились в состоянии от 2 до 30 мм .

** Элементы сопротивления в целях уменьшения влияний возрастающей электропроводности изоляционных огнеупоров [8, 9] изготовляются из вольфрамовой проволоки диаметром $0,4\text{—}0,5\text{ мм}$ и не превышают по омическому сопротивлению в рабочей части $0,1\ \Omega$. Чувствительность такого термометра при наличии приборов, регистрирующих сопротивление с точностью до $10^{-6}\ \Omega$, может достигнуть $0,0001\%$, так как удельное сопротивление вольфрама в интервале $0^\circ\text{—}3000^\circ\text{C}$ увеличивается примерно в $19,5$ раз.

Покрывание вольфрамовых элементов слоем рения в $5\text{—}6\ \mu$ значительно предохраняет их от распыления и способствует длительному сохранению параметров ($250\text{—}350\text{ час.}$). Методика этих покрытий достаточно полно разработана в электрохимической лаборатории ГИРЕДМЕТ.

той скоростью всегда сохранялось неизменным равенство соотношений плеч деста: $R_1/r_3 = R_2/r_4$, и нарушалось это равновесие только при наличии тепловых эффектов в исследуемом объеме и изменении его теплоемкости. Такие условия для плеч достигаются путем изготовления блока—камеры или гнезд для элементов сопротивления тигля из одного и того же материала; применением специальных кожухов из W,

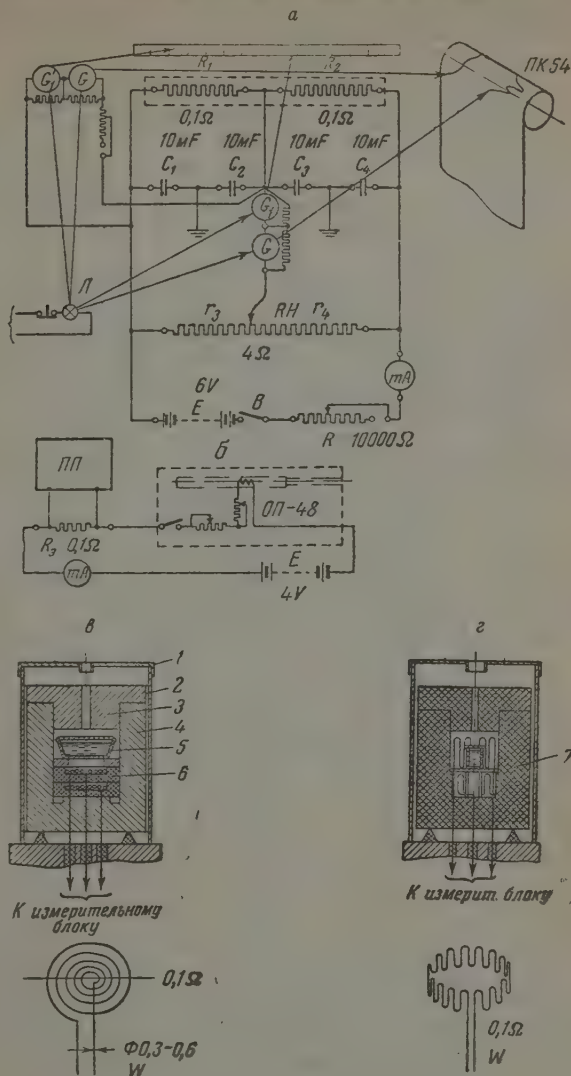


Рис. 1. Измерительно-регистрирующая схема: а — электрическая схема дифференциального и «простого» термометра сопротивления; б — потенциометрическая схема измерения температуры для оптического пирометра; в — плоский и г — боковой варианты систем блок — камера и формы применяемых к ним элементов сопротивления

Ta, Mo для выравнивания температуры по высоте блока. Для этих целей специально изготовлена печь (рис. 2) с двуслойными плотно примыкающими спиралевидными вольфрамовыми нагревателями, которые отводят тепло на охлаждаемые токоподводы намного меньше, чем сплошные цилиндрические. Внешний слой нагревателей сокращает температурный градиент между внутренним слоем нагревателей и полостью ка-

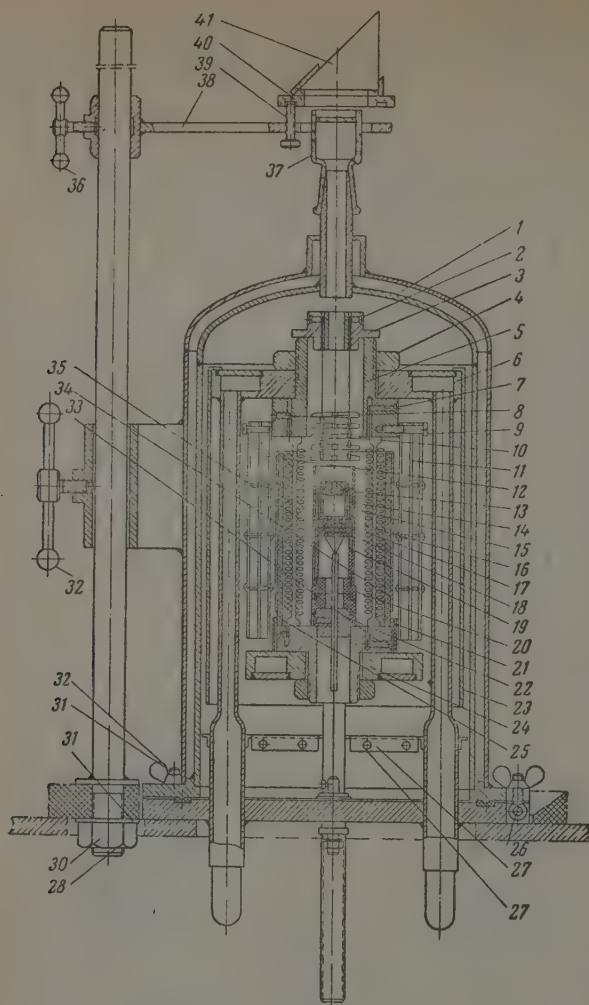


Рис. 2. Вакуумная высокотемпературная печь: 1 — водоохлаждаемый корпус печи с прижимными к уплотнению устройствами 26, 31; 2, 3, 10 — детали съемных верхних экранов; 6, 24 — верхний и нижний водоохлаждаемые токоподводы; 4, 5, 7, 8, 33 — система креплений нагревателей; 9, 11, 12 — детали двух полуцилиндрических молибденовых трехслойных экранов; 13, 14, 15, 16, 17, 18, 19, 35 — система блока камеры (13 — крышка, 14 — тигель, 15 — блок, 16 — кожух камеры, 17, 18, 35 — элементы сопротивления и керамические гнезда, 19, 20, 22 — детали подставок камеры; 21 — два слоя спиралевидных вольфрамовых нагревателей; 23 — внешний молибденовый цилиндрический экран; 25, 34 — внутренний экран из полуколец двуокиси тория или двуокиси циркония, скрепленный кожухом из тантала или молибдена; 27 — медные предохранительные пластины; 28, 30, 32 — приспособления для подъема корпуса печи; 36, 38, 39, 40, 41 — детали, служащие для правильной установки приамы; 37 — стеклянный наконечник с плоско-параллельным стеклом

при температуре 2600° на величину, не превышающую 60° . Специальный внутренний керамический экран из полуколец (ThO_2 или ZrO_2), скрепленный кожухом из Мо или Та, обладает малой теплоотдачей по горизонтали и в то же время быстро выравнивает температуру по высоте.

Специальным восьмикоростным редуктором, спаренным с приводом автотрансформатора АОСК = 25/05, а также регулировкой нагрузки двигателя создается постоянная скорость изменения температуры системы блока в интервале от 85 до $100^{\circ}\text{C}/\text{мин}$.

Построенная по этому принципу вакуумная печь позволяет работать в инертной среде при максимальной температуре 2800° и создает нормальные условия в системе блока, если изоляционные огнеупоры изготовлены из двуокиси тория.

Следует отметить, что для сохранения равновесия мостовой схемы отводы вольтовых элементов должны быть помещены в одинаковых температурных условиях горизонтам и притом тщательно защищены специальной керамикой от замыкания пыльным металлом.

В целях регистрации тепловых эффектов превращений в дифференциальной форме из элементов сопротивления располагается ближе к исследуемому веществу, чем другой.

В некоторых системах блоков близлежащий к образцу элемент R_1 отделяется от другого R_2 тонкой перегородкой, которая образует в системе две камеры: образца и эталона.

Действие дифференциального термометра сопротивления в системе блока основано на работе обычной мостовой схемы. Когда возникает превращение, выделяется или поглощается тепло, сопротивление одного из элементов (R_1 — образец) изменяется на величину, большую (меньшую), чем у другого (R_2 — эталон), что нарушает равновесие моста, и нулевой гальванометр регистрирующей части пирометра Н. С. Курнакова отклоняется на величину ΔI , пропорциональную Δt .

После окончания превращения температурные условия плеч быстро выравниваются, и регулярный тепловой режим во внутренней полости камеры восстанавливается, а нулевой гальванометр возвращается в прежнее нулевое положение. В результате на фотозаписи регистрируется зависимость $\Delta I = F(\tau)$.

Изменением нагрузки мостовой схемы задается необходимая чувствительность термометра, позволяющая выявлять самые малозаметные превращения (при $\Delta t = 0,003^{\circ}$). Особо важно заметить, что одновременное воздействие на два плеча R_1 и R_2 и тех же посторонних факторов (различных тепловых потоков, тепловых эффектов внешней среды, возрастающее влияние электропроводности изоляции) не отражая на равновесии моста, а следовательно, и на дифференциальной записи.

Измерение температуры осуществляется в двух перекрывающихся друг друга диапазонах: посредством вольфрамового термометра сопротивления в интервале $20-1800^{\circ}$ оптического пирометра в интервале $800-3000^{\circ}$.

Термометр сопротивления, аналогично методу Н. С. Курнакова, осуществляет «простую» запись. Термоприемником этого термометра служит близлежащий к образцу вольфрамовый элемент дифференциальной схемы (рис. 1).

К этому элементу параллельно с соответствующей шунтировкой подключен один из «простых» гальванометров фоторегистрирующей части пирометра Н. С. Курнакова. Отклонение этого гальванометра, равное I , пропорционально средней температуре внутренней полости камеры θ и температуре образца t , в условиях стабильного регулярного теплового режима второго рода. Материалом для построения градуировочной зависимости $F(I)$ служат дифференциальные и «простые» записи реперных веществ. За начальный отсчет температуры I_0 , соответствующий I_0 , служит записанная нулевая линия, отвечающая температуре водяного охлаждения печи до включения нагрева.

В интервале $1800-3000^{\circ}$ для «простого» термометра трудно гарантировать погрешность показаний в связи с различными возрастающими электропроводящими факторами в длительных условиях*.

Поэтому для этой температурной области основным термоприемником избрали деталь черного тела с системой измерения эталонного оптического пирометра (рис. 1). Чтобы связать температурные измерения на ОП-48 с дифференциальной записью, применили световой отметчик для кратковременного нанесения отметки на дифференциальную запись в момент проведенного измерения. (Такие отметки могут осуществляться кратковременным выключением осветителя записывающего гальванометра.) Материалом для построения градуировочной зависимости оптического пирометра $t = F(I)$ служат дифференциальные кривые реперных ве-

* С повышением температуры у изоляционных огнеупоров значительно уменьшается электрическое сопротивление согласно закону:

$$\rho = A t^{B/T},$$

где ρ — удельное сопротивление; A, B — характерные для материала постоянные; T — температура $^{\circ}\text{K}$.

Помимо этого, ρ резко падает в зависимости от времени выдержки при высоких температурах [8, 9]. Поэтому, чтобы уменьшить влияние возрастающей электропроводности, элементы сопротивления изготавливаются малоомными.

ществ, на которых нанесены световые отметки по оси времени, соответствующие току, проходящему через нить пирометрической лампочки в момент измерения (рис. 3). Условия теплового режима снятия градуировочной зависимости и записи термограмм должны оставаться постоянными.

Следует отметить, что, применяя одновременно оптический пирометр и дифференциальный термометр сопротивления в процессе градуировки и записи исследуемых веществ, в непосредственной системе измерений взаимно исключается погрешность, связанная с неполнотой излучения и влиянием промежуточной среды.

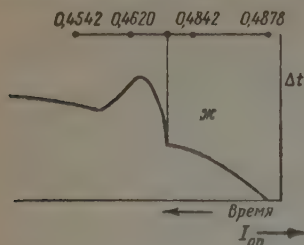


Рис. 3. Дифференциальная кривая кристаллизации родия, записанная в целях градуировки оптического пирометра. Понаверху световые отметки соответствуют току (в амперах), проходящему через нить пирометрической лампы в момент измерения. (Начало максимума кристаллизации родия соответствует току 0,4742.)

Записанные термограммы при нагреве и охлаждении со скоростью 42 град./мин. в условиях систем блоков, где отношение масс камеры и содержащихся в них элементов не менее 20 : 1, 10 : 1, показали, что разность $|0 - t| = \delta$ пренебрежимо мала, с исключением наличия переохлаждения в исследуемых веществах.

№	I, А	t, °C	$\frac{dt}{d\tau}$, град./мин.	Δt
1	0,4068	1774	21,2	-1
2	0,4089	1783	21,2	-10
3	0,4050	1767	21,2	+6
4	0,4054	1768	7,4	+5
5	0,4066	1773	21,2	0
6	0,4078	1779	21,2	-6
7	0,4101	1788	41,2	-15
8	0,4016	1752	85,7	+21

Примером может служить простая и дифференциальная запись нагрева и охлаждения со скоростью 42 град./мин. чистого железа (рис. 6), масса которого составляла 2 г (тигель с крышкой 3 г, камера 100 г, элементы сопротивления 1,5 г).

Однако на практике возможно значительное увеличение массы исследуемого вещества, настолько, что отношение масс камеры и ее элементов может достигнуть 1 : 1. В целях учета влияния термической инерции на точность измерения температуры были применены выводы элементарной тепловой инерции тел и систем без внутренних источников тепла [3].

В результате решения дифференциального уравнения *

$$\frac{dt}{d\tau} + mt - m\theta = 0 \quad (1)$$

* Уравнение (1) составлено на основе закона сохранения энергии в результате сравнения двух формул:

$Q = -cdt$ — количество тепла, отданное образцом в промежуток времени dt
 $Q = \alpha S(t - \theta)dt$ — количество тепла, полученное средой полости камеры через наружную поверхность образца (закон Ньютона), где постоянная $m = 1/\varepsilon = \alpha S/C$ — темп охлаждения. C — теплоемкость.

случая, когда система изменяет температуру с постоянной скоростью, после преобразования получим

$$\theta = t \mp re, \quad (2)$$

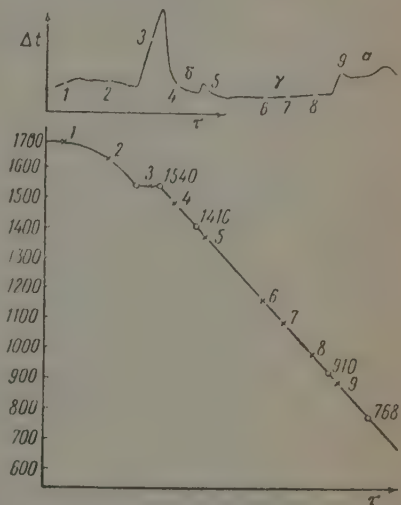
$e = 1/m$ — коэффициент отставания (сек.).

Из доказательств теории регулярного теплового режима следует, что

$$e = \frac{gc}{\alpha\psi_s} \quad (3)$$

масса исследуемого объема; C — удельная теплоемкость, α — суммарный коэффициент теплоотдачи; S — поверхность исследуемого объема; $\psi = \theta_s/\theta_v$; θ_s — температура на поверхности объема; θ_v — средняя температура исследуемого объема.

4. Термограмма армо-железа, записанная средствами дифференциального термометра сопротивления и оптического пирометра. Внизу приведен численный перевод оптических измерений температуры, нанесенных кратковременными перерывами на дифференциальной кривой в простую запись. Ядок перерывов на дифференциальной кривой соответствует: 1 — $I = 0,3885$, 1780°C ; 2 — $I = 0,3775$, $t = 1630^\circ\text{C}$; 3 — $I = 0,3635$, $t = 1540^\circ\text{C}$; 4 — $I = 0,3465$, $t = 1475^\circ\text{C}$; 5 — $I = 0,4335$, 1365°C ; 6 — $I = 0,3600$, $t = 1150^\circ\text{C}$; 7 — $I = 0,3490$, $t = 1075^\circ\text{C}$; 8 — $I = 0,3270$, $t = 970^\circ\text{C}$; 9 — $I = 0,3115$, $t = 875^\circ\text{C}$.



Из (2) следует, что в каждый момент времени τ среднее значение температуры термистника и среды полости камеры отличаются от температуры образца на величину re . Тогда

$$\frac{dt}{d\tau} = \frac{d\theta}{d\tau}.$$

Поэтому для определенного регулярного теплового режима второго рода могут являться отдельные градуировочные зависимости $t = F(I)$ или $I = F(t)$, так как показания регистрирующих приборов будут пропорциональны истинной температуре образца. Из формул (2) и (3) видно: если уменьшить массу g или скорость r , величина $t - \theta = \Phi$ может сократиться настолько, что Φ будет меньше допустимой погрешности в измерении температуры. Это наглядно подтверждается термограммой рис. 6. Если масса вещества велика, а также и скорость изменения температуры, а снизить отдельные градуировочные зависимости для каждого режима затруднительно по каким-либо причинам, то Φ определяется экспериментально. Тогда для определения Φ записываются простые и дифференциальные термограммы известной нам скоростью r . Материалом для такой записи служат исследуемое вещество или реперы, чьи по своей теплоемкости мало от него отличаются. Тогда на основе равенства можем определить с некоторым приближением $e = l'/r$, где l' соответствует Φ , которое равно половине расстояния по оси ординат между точками начала одного и того же превращения, записанного при нагреве и охлаждении.

Из изложенного следует, что при помощи термограмм веществ можно находить e и вносить приблизительно соответствующие поправки на температуру, измеренную некачественным методом.

Внесение поправок на исполноту излучения и влияние промежуточной среды исключает, так как градуировка измерительной части и снятие термограмм протекает в одних и тех же условиях при постоянной модели черного тела. Погрешность измерений не превышает 0,2—0,8% в области 20—2800°C. Обеспечивается большая эффективность регистрации изменения состояния исследуемого объема в целом, по-

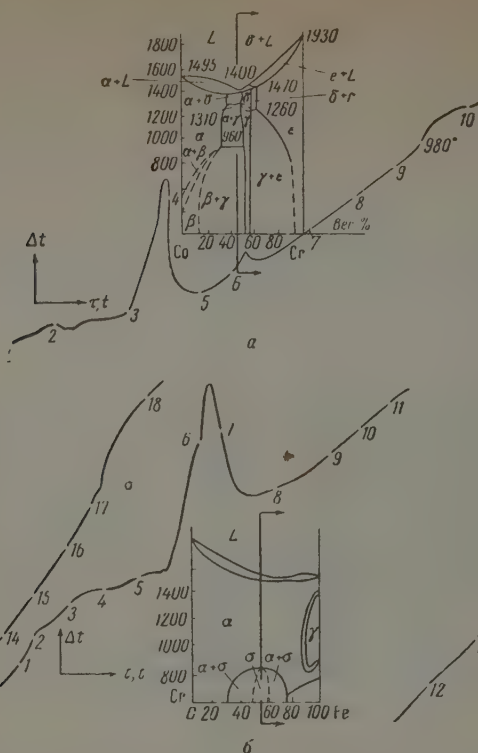


Рис. 5. Термограммы сплавов из систем: а — Cr—Co [10] с содержанием 45—46 вес. % Cr, б — Cr—Fe [11] с содержанием 48,9 вес. % Cr, которые сняты средствами диф. терм. сопротивления и оптического пирометра. Прерывы на дифференциальной кривой соответствует температуре а) 1—1625; 2—1510; 3—1470; 4—1435; 5—1365; 6—1325; 7—1240; 8—1130; 9—1070; 10—940; б) 2—1760; 3—1665; 4—1625; 5—1585; 6—1565; 7—1555; 8—1525; 9—1460; 10—1325; 11—1280; 12—1225; 14—1160; 15—1075; 16—1040; 17—975; 18—940

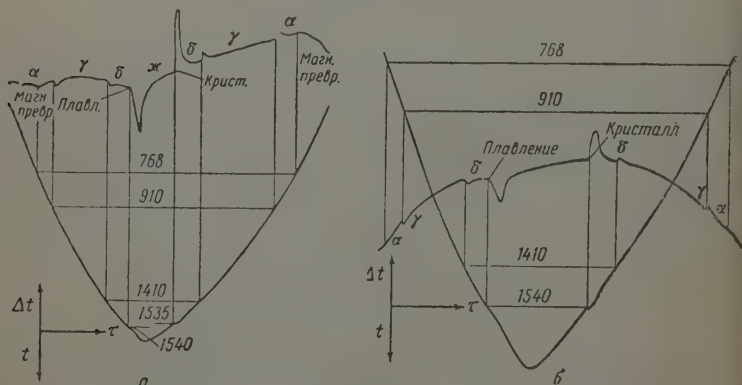


Рис. 6. Простая и дифференциальная термограммы армко-железа, снятые в условиях нагрева и охлаждения в системах блок — камер. а — боковой вариант и б — плоский вариант

кольку тепловые эффекты воспринимаются с поверхности, а не в точке. Максимальная чувствительность восприятия не менее 0,001%.

На основе описанного метода в дальнейшем намечается одновременное совмещение термического анализа с другими измерениями: взвешиванием, дилатометрией, количественным определением тепловых эффектов и т. п.

Поступила
24.II.1959

ЛИТЕРАТУРА

1. Н. А. Недумов, Бюлл. изобретений, № 5, 121, 1958; Авт. свидетельство за № 112958.
2. Г. М. Кондратьев, Регулярный тепловой режим, ГИТТЛ, Москва, 1954.
3. Г. М. Кондратьев, Тепловые измерения, Машгиз, 1957.
4. ОП-48 Харьковского Гос. Ин-та мер и измерительных приборов (Инструкция), 1955.
5. Н. С. Курнаков, ЖРФХО, 36, 841, 1904.
6. Л. Г. Берг, А. В. Николаев, Е. Я. Роде, Термография. Изд-во АН СССР, 1942.
7. Л. Г. Берг, Г. Г. Цуринов, Пирометр Н. С. Курнакова, Изд-во АН СССР, 1942.
8. А. Н. Гордов, А. С. Аржанный, Б. Я. Билык, Т. М. Бродович, И. И. Киренков, Э. А. Лапина, С. С. Розанова, Методы измерения температур в промышленности, под редакцией А. Н. Гордова, стр. 186, 192. Гос. НТ изд. лит. по черной и цветной металлургии, 1942.
9. А. Б. Макаров и И. В. Пластинин, «Величина сопротивления между ветвями термореза и ее влияние на показания измерительного прибора. Точная индустрия, № 11, 1934.
10. A. R. Elsea, A. B. Westerman and E. K. Manning, Trans. Amer. Inst. Mining Met. Engrs, 180; Met. Technology Paper 2393, June 1948.
11. Metals Handbook, Cleveland, Ohio. Amer. Soc. for Met., 1948.
12. А. Т. Григорьев, В. А. Куприна, Н. В. Недумов, Ж. неорган. химии, 4, 651, 1959.
13. Е. М. Соколовская, А. Т. Григорьев, Л. Н. Гусева, Л. А. Пантелеймонов, В. В. Куприна, Реферат докладов и сообщений № 14 VIII Менделеевского съезда.

A METHOD OF CONTACTLESS THERMOGRAPHY

N. A. Nedumov (Moscow)

Summary

The principal instrumental parts of the method are the «cross» and differential resistance thermometers, the reference optical pyrometer, the recording device of the Kurnaakov pyrometer and a special high temperature vacuum oven with constant heating and cooling rate control.

The change in state of the body under investigation is recorded by the change in the heat flow within the chamber in the center of which the body is placed. The change in the heat flow is detected from the recording of $\Delta t = F(\tau)$, where Δt is the temperature difference between the cavities of the «specimen» and the «reference» chambers. The temperature of the substances is measured from that of the inner cavity of the «specimen» chamber during heating and cooling at constant rates and is recorded as $t = F(\tau)$ or as markings along the time axis (τ) of the differential curve.

The joint use of these means permitted measurement of temperature over the range 20—2800° C to be measured with an error of 0.2—0.8% and with sensitivity of the differential recording of not less than 0.001%. At the same time various side influences such as thermal, electroconductivity, incomplete radiation, and interstitial medium effects, are compensated for.

МЕТОД ИССЛЕДОВАНИЯ МЕХАНИЗМА БЫСТРЫХ РЕАКЦИЙ В ТУРБУЛЕНТНОМ РЕАКТОРЕ ПРИ ПОМОЩИ МЕЧЕНЫХ АТОМОВ

А. М. Брооский, Р. А. Калинин и К. П. Давровский

В настоящей статье излагается метод исследования механизма сложных реакций, протекающих с большой скоростью, в так называемом турбулентном реакторе (реакционной системе с перемешиванием). Описываемый метод, включающий использование меченых атомов, применялся нами [1] для выяснения механизма крекинга при высоких температурах. Перемешивание продуктов в реакционной зоне создавалось использованием кинистого слоя [2] в реакторе специальной конфигурации. Данный способ проведения и обработки кинетических исследований может оказаться весьма эффективным в целом ряде случаев.

Как известно, кинетической схеме каждой сложной реакции, подобной, например, реакции крекинга, может быть составлена система, в общем случае, нелинейных дифференциальных уравнений. Интегрирование таких систем в общем виде оказывается, за исключением немногих простейших случаев, невозможным. В то же время численное интегрирование затрудняется тем обстоятельством, что входящие в уравнения значения констант скорости отдельных процессов обычно недостаточно известны, в связи с чем фактически необходимо установление функциональной зависимости решений от констант.

Указанные затруднения привели к развитию ряда качественных и приближенных методов интегрирования уравнений химической кинетики. К числу таких методов относится известный метод стационарных концентраций Боденштейна, согласно которому приближенно приравнивается нулю скорость изменения в реакционной системе концентраций наиболее активных промежуточных продуктов, после чего, как правило, становится возможным интегрирование в общем виде. В частности, посредством приравнивания нулю скоростей изменения концентрации активных радикалов были выведены известные соотношения, выражающие скорость суммарного крекинга углеводородов через константы скорости элементарных реакций, согласно радикально-цепной схеме.

Однако, если каким-либо строгим или приближенным методом получено выражение, представляющее зависимость изменения концентраций от времени и констант элементарных процессов, и известны соответствующие экспериментальные изменения концентраций, то это еще далеко не решает в значительном числе случаев проблему проверки избранной кинетической схемы и тем более не дает возможности сделать однозначные заключения о численных значениях отдельных констант. Это обстоятельство связано, как известно, с тем, что концентрации стабильных продуктов зависят не от элементарных констант по отдельности, а от их комбинаций.

В случае реакций, протекающих при высоких температурах с большой скоростью, кинетическая обработка экспериментальных данных дополнительно усложняется по следующим двум причинам.

Во-первых, в каждом случае возникают сомнения в пригодности приближенных методов и, в частности, упомянутого метода Боденштейна, который может быть оправдан только в области сравнительно стационарного протекания реакций и заведомо непригоден, если исследованный процесс идет настолько быстро, что концентрации основных промежуточных продуктов не успевают установиться за время, составляющее существенную часть от всего времени реакции.

Во-вторых, при изучении быстрых эндотермических реакций, проводимых, подобно высокотемпературному крекингу, в проточных системах, необходимо учитывать явления перемешивания и наличия перепада температур, что приводит к появлению дополнительных членов в системе кинетических уравнений и еще более усложняет их решение.

Для обхода указанных трудностей и установления механизма реакций, а также определения значений констант элементарных процессов существенную помощь может оказать использование меченых атомов. Из числа таких способов исследования в настоящее время наиболее разработанным является кинетический изотопный метод, предложенный М. Б. Нейманом для случая отсутствия перемешивания [3]. Метод М. Б. Неймана состоит в добавлении в реакционную систему аналогов промежуточных продуктов,

держанных меченых атомов, с последующим установлением кинетики изменения удельных активностей отдельных продуктов при одновременном определении закона изменения концентраций со временем. Подобным образом можно непосредственно установить последовательность образования промежуточных продуктов в сложных реакциях, порядок реакций и ряд других кинетических фактов. Используя численное или аналитическое дифференцирование экспериментальных зависимостей удельных активностей и концентраций от времени при помощи кинетического изотопного метода, можно сделать также определенные заключения о значениях констант элементарных реакций. Кинетический изотопный метод в принципе может быть обобщен с учетом эффектов перемешивания и перепада температур. Однако в случае сложных реакций и, в частности, в случае высокотемпературного крекинга, ограничиваясь этим методом, нельзя получить достаточно точные и полные данные о константах элементарных процессов, в частности, из-за недостаточной точности расчетов, которая быстро уменьшается с увеличением числа определяемых параметров и увеличением числа необходимых реакций приближенного дифференцирования.

Для изучения сложных реакций крекинга, а также ряда других, протекающих при высокой температуре вдали от состояния полного термодинамического равновесия, пригодны также такие известные методы применения меченых атомов в кинетических исследованиях, как метод дейтеробмена [4] или метод введения меченых добавок в термодинамически-равновесную смесь.

Из сказанного следует, что в рассматриваемом случае применение меченых атомов только по себе, или даже с учетом развитых специальных методов, не дает возможности установить детальный механизм реакций и должно быть поэтому дополнено использованием определенных методических приемов. Один из таких приемов состоит в проведении реакции в условиях эффективного перемешивания, при обращении в нуль градиентов концентраций и температуры с использованием меченых атомов. В этом случае кинетические уравнения, получающиеся из общих уравнений для проточного реактора [5] в пределе, при эффективном коэффициенте перемешивания $D \rightarrow \infty$, сводятся к системе алгебраических уравнений сохранения вида:

$$W_0 c_{0i} = W_l c_i + V \sum_j k_{ij} f_j (c_1 \dots c_n), \quad i, j = 1, \dots, n, \quad (1)$$

W_0 — объемная скорость потока на входе в реакционную зону, W_l — объемная скорость на выходе из реакционной зоны, c_{0i} и c_i — концентрации i -го соединения соответственно на входе в реакционную зону и в самой зоне, V — истинный* объем реактора, $k_{ij} f_j (c_1 \dots c_n)$ — выражение для скорости химического процесса, ведущего к образованию или исчезновению i -го соединения, причем константа k_{ij} берется соответственно со знаком минус или плюс. Наиболее существенно при этом, что коэффициенты эффективного перемешивания концентрации c_i по всей реакционной зоне будут являться постоянными. В реальных случаях это условие строго никогда не выполняется. Практически достаточно, если данное условие выполняется с определенной точностью. Необходимым критерием пригодности метода является выполнение неравенства:

$$\frac{\sum_j k_{ij} f_j (c_1 \dots c_n)}{c_i} \ll \frac{D}{l^2}, \quad (2)$$

l — расстояние от входа до выхода в реакционную зону и D , как уже упоминалось, — коэффициент перемешивания, имеющий размерность коэффициента диффузии.

Деля уравнение (1) на W_l , получаем

$$\frac{1}{\alpha} c_{0i} = c_i + \sum_j k_{ij} t f_j (c_1 \dots c_n), \quad i = 1, \dots, n, \quad (3)$$

$\alpha = W_l/W_0$ — коэффициент расширения, изменяющийся от опыта к опыту параметр t равен W/W_l . Система алгебраических уравнений (3) может быть без особых затруднений разрешена относительно $c_i(t)$.

Сравнивая построенные согласно определенной кинетической схеме зависимости t с экспериментальными кривыми, можно получить алгебраические соотношения, связывающие k_{ij} . Чем больше число соединений, концентрация которых определяется в продуктах крекинга, тем больше таких соотношений и тем более полные сведения можно получить о механизме исследуемой реакции. В данной связи нужно указать, что

* Если для создания перемешивания используется кипящий слой, истинный объем реакционной зоны равен полному объему, умноженному на порозность слоя (или свободному объему).

применение газо-жидкостной хроматографии, позволяющей определять малые концентрации различных продуктов, значительно расширяет возможности описываемого метода [6].

В случае сложных реакций, к числу которых относится радикально-цепной крекинг, указанная система соотношений для k_i не является полной даже при определении зависимости от концентраций всех возможных стабильных соединений, содержащихся в продуктах реакции. Это обуславливается существенным участием нестабильных промежуточных соединений и, в частности, радикалов в общем протекании реакции. Ввиду важной роли различных превращений, в которые вступают нестабильные промежуточные соединения, число искомыми констант значительно увеличивается. Разрешить проблемы можно получить при использовании меченых атомов. Действительно добавление в исходное сырье соединения, совпадающего по строению промежуточным продуктом реакции, но включающего меченые атомы, позволяет удвоить число соотношений вида (3), не вводя новых констант, не считая констант реакций обмена. Заметим, что последний тип реакций часто оказывается несущественным. Данное замечание справедливо, например, при исследовании гомогенного крекинга, в котором используется углеводород, меченный C^{14} или C^{13} .

Рис. 1. Зависимость $y = f(t)$: 1 — полное перемешивание; 2 — частичное перемешивание; 3 — отсутствие перемешивания

Ввиду увеличения числа уравнений вида (3) увеличивается также число зависимостей c_i (которые могут сравниваться с экспериментальными данными, в результате чего получаются дополнительные соотношения, связывающие между собой k_{ij}). Система соотношений в целом, при возможности учета дополнительных данных, в значительном числе случаев будет полной, что дает возможность определить константы скоростей элементарных процессов и, следовательно, проверить механизм реакции. При этом существенно, что при использовании радиоизотопов можно получить весьма высокую точность измерений концентрации активных продуктов.

Подобным образом мы получаем кинетический метод исследования механизма быстрой реакции с использованием меченых атомов. Наряду с отсутствием необходимости каких-либо приближений при расчете по данному методу, его существенной положительной чертой является то, что позволяет одновременно в строго одинаковых условиях изучать различные элементарные реакции и суммарный процесс. Последнее обстоятельство позволяет существенно уменьшить неоднозначность при обработке экспериментальных данных и, особенно при суждении о правильности той или иной реакционной схемы.

В качестве примера применения описанного метода можно указать проведенное авторами исследование кинетики крекинга C_2H_6 с применением C^{14} при 800–900°C [1,2] и давлении 90 мм рт. ст. Считая, что в изученных условиях осуществлялось интенсивное перемешивание и крекинг протекал по первому порядку, можно в соответствии с (3) написать уравнение:

$$y = \frac{[C_2H_6]_0}{\alpha [C_2H_6]} = 1 + kt$$

и определить суммарную константу крекинга k .

Выполнимость условия (2) была проверена экспериментально следующим образом. Экспериментальная зависимость $y = f(t)$ при полном перемешивании в реакторе должна давать прямую линию, в то время как при частичном перемешивании или полном отсутствии его должны получаться некоторые кривые (рис. 1).

Полученные фактически закономерности $y = f(t)$ (рис. 2) во всех случаях представляли прямые линии. Это свидетельствует о том, что для всех реакций с константой скорости $k_n \ll k$ действительно выполнялось условие (2), и перемешивание было достаточно точным для пригодности формул полного перемешивания.

Использование описанного метода расчета позволило определить непосредственно в условиях крекинга, наряду с суммарной константой скорости крекинга, константы скорости целого ряда элементарных процессов — реакций рекомбинации радикалов, распада C_2H_5 на H и C_2H_4 , распада C_2H_6 на метильные радикалы, реакции отрыва радикалами H -атома от углеводородных молекул и т. д. [1].

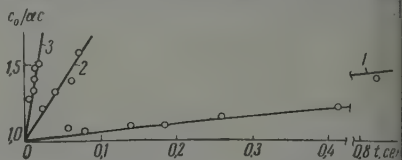


Рис. 2. Зависимость $y = [C_2H_6]_0 / \alpha [C_2H_6]$ от времени t : 1 — 770° С; 2 — 838° С; 3 — 890° С

ЛИТЕРАТУРА

- А. М. Бродский, Р. А. Калинин, К. П. Лавровский, В. Б. Титов, Докл. АН СССР, **117**, 1013, 1957.
А. М. Бродский, Р. А. Калинин, К. П. Лавровский, В. Б. Титов, Докл. АН СССР, **116**, 789, 1957.
М. Б. Нейман, Ж. физ. химии, **28**, 1235, 1954.
В. В. Воеводский, Г. К. Лавровская, Р. Е. Мардалейшвили, Докл. АН СССР, **81**, 215, 1951.
К. П. Лавровский, А. Л. Розенталь, Тр. Института нефти, **8**, 94, 1956.
А. М. Бродский, Р. А. Калинин, К. П. Лавровский, Проблемы кинетики и катализа. Изотопы в катализе, Изд-во АН СССР, **9**, 399, 1957;
А. М. Бродский, К. П. Лавровский, Н. Н. Наймушин, В. Б. Титов, Е. Д. Филатова, Химия и технология топлива, № 3, 1959.
-

A METHOD OF INVESTIGATING THE MECHANISM OF FAST REACTIONS
IN A TURBULENT REACTOR WITH THE AID OF TRACER ATOMS

A. M. Brodsky, R. A. Kalinenko and K. P. Lavrovskii (Moscow)

Summary

A method has been proposed for the kinetic study of rapid endothermic reactions at high temperatures in a turbulent reactor, using tracer atoms. The method simplifies the mathematical treatment of results and allows one to obtain the kinetic characteristics (activation energy, rate constants) both of the over-all process as well as of its elementary steps, in a single series of runs.

К ДИФФЕРЕНЦИАЛЬНОМУ ЭФФУЗИОННОМУ МЕТОДУ ОПРЕДЕЛЕНИЯ ДАВЛЕНИЯ ПАРА

С. П. Детков

Дифференциальный эффузионный метод отличается от интегрального тем, что на мишени конденсируется только часть молекулярного потока, выходящего из отверстия эффузионной камеры. С применением радиоактивных изотопов при определении давления пара малолетучих веществ метод получил наибольшее распространение.

Высокая точность метода сочетается с относительно высокой производительностью. Известно, что на результаты измерений давления пара эффузионным методом большое влияние оказывает толщина краев отверстия камеры, в связи с чем для интегрального метода используется поправка в виде так называемого фактора вероятности [1]. Для дифференциального метода подобный поправочный коэффициент еще не найден в удобной форме. В настоящей работе предлагается его выражение при цилиндрическом отверстии в камере и некоторых других условиях.

Обычно поправочный коэффициент подсчитывается по формуле

Литература: Вольфман Г. Г.

$$k = \frac{D_K^2}{D_K^2 + l^2} = \sin^2 \theta_0, \quad (1)$$

где D_K — диаметр коллиматора, ограничивающего молекулярный пучок; l — расстояние от отверстия эффузионной камеры до коллиматора; θ — угол между осью симметрии и направлением от отверстия камеры до края коллиматора.

Поправочный коэффициент формулируется как вероятность преодоления молекулой пути из камеры к мишени без возвращения в камеру.

Формула (1) дает точные значения k для вычислений давления насыщенного пара при условиях:

- 1) пар в камере насыщен;
- 2) толщина стенок отверстия в камере бесконечно малая;
- 3) отверстие является точечным источником молекул, т. е. отношение диаметра отверстия камеры к величине l пренебрежимо малое;
- 4) молекулы в потоке не испытывают столкновений между собой и с молекулами остаточных газов;
- 5) коллимационное отверстие круглое и концентрическое отверстию камеры.

Целью нашей работы является вывод выражения поправочного коэффициента справедливого без соблюдения условия 2), если отверстие в камере цилиндрическое.

Часть молекул, падающих из камеры на стенки отверстия, отражается обратно в камеру. Это достаточно точно учитывается фактором вероятности W в интегральном методе.

Произведение $W \sin^2 \theta_0$, казалось бы, дает интересующий нас поправочный коэффициент с учетом толщины стенок отверстия, однако, вследствие нарушения закона косинусов распределения молекул по направлениям при выходе из отверстия, это значение окажется лишь грубо приближенным.

Впервые распределение молекул по направлениям при их выходе из цилиндрической трубки изучал Клаузинг [2]. Он нашел достаточно точный закон распределения. М. Корсунский и А. С. Векшинский [3] получили приближенные выражения для распределения плотности молекулярного потока по направлениям и проверили их экспериментально. Все авторы нашли, что поток относительно уплотняется в центре. Стало быть, произведение $W \sin^2 \theta_0$ дает заниженный коэффициент.

Поправочный коэффициент находится интегрированием выражения закона распределения молекул по направлениям, найденного впервые Клаузингом, в предположении, что отверстие камеры является точечным. Закон распределения выводится иначе и записывается в виде зависимости силы излучения отверстия камеры от угла между осью симметрии и направлением излучения.

Обозначения: x — ось координат, направленная по оси симметрии от верхнего основания к нижнему основанию отверстия; начало оси на пересечении с верхним основанием отверстия; h и d — высота и диаметр отверстия; ν_0 — поверхностная плотность молекул, входящих в отверстие через нижнее основание; ν_0 — плотность молекул, добавочная до плотности ν_0 для точек боковой поверхности.

Если бы для всех точек боковой поверхности обеспечивалась плотность падающего молекулярного потока v_0 , из отверстия вышел бы поток, равный потоку, вхо-
 щему в отверстие через нижнее основание, с распределением по направлениям,
 определенным законом косинусов. В действительности плотность падающего на боко-
 ю поверхность потока v_0 не достигает величины v , в связи с чем поправочный коэф-
 фициент (1) будет меньше на величину, связанную с потоком плотностью v .
 Из предыдущей работы [4] используется выражение

$$v = v_0 \left(D - B \frac{x}{d} \right), \quad (2)$$

где $D = 0,5 (1 + B\kappa)$, $\kappa = h/d$,

$$B = \frac{4 + 3\kappa_0^2}{6\kappa_0 + 4\kappa_0^3 + 4\sqrt{(1 + \kappa_0^2)^3}}, \quad \kappa_0 = 0,5\kappa.$$

Сила излучения отверстия равна разности сил излучений верхнего основания с
 отношением излучения v_0 и боковой поверхности с плотностью излучения v :

$$I = I_{\text{осн}} - I_{\text{бок}},$$

$$I_{\text{осн}} = \frac{v_0}{\pi} \frac{\pi d^2}{4} \cos \theta. \quad (3)$$

Величина $I_{\text{бок}}$ определяется интегрированием силы излучения в направлении
 элемента боковой поверхности df

$$dI_{\text{бок}} = \frac{v}{\pi} \cos \alpha df,$$

$$df = 0,5d \cdot d\beta dx,$$

— угол между направлением излучения и осью x ; α — угол между направлением
 излучения и нормалью к элементу df ; $d\beta$ — центральный угол, под которым виден
 элемент df с ближайшей точки на оси x .

Ось для отсчетов углов β выбирается так, чтобы она была параллельной проек-
 ции направления излучения на плоскость, нормальную оси x .

Легко показать, что $\cos \alpha = \cos \beta \sin \theta$.

Интегральное уравнение записывается в удобном виде:

$$I_{\text{бок}} = \frac{v}{\pi} \sin \theta \int_0^{\beta_0} \cos \beta dx d\beta. \quad (4)$$

Предельный угол интегрирования β_0 определяется по углу θ , когда линия —
 направление излучения коснется края отверстия. При этом

$$\sin \beta_0 = \sqrt{1 - \kappa^2 \operatorname{tg}^2 \theta}.$$

Верхний предел переменной x равен высоте h , если $\kappa < 1/\operatorname{tg} \theta$, и $d/\operatorname{tg} \theta$, если
 $\kappa \geq 1/\operatorname{tg} \theta$.

Получаются два решения интеграла (4), которые вошли в развернутые выраже-
 ния (3):

1) при $\kappa < 1/\operatorname{tg} \theta$

$$I = \frac{v_0 d^2}{4} \cos \theta \left\{ 1 - \frac{2}{\pi} D (\arcsin [\kappa \operatorname{tg} \theta] + \kappa \operatorname{tg} \theta \sqrt{1 - \kappa^2 \operatorname{tg}^2 \theta}) + \right. \\ \left. + \frac{4}{3\pi} B \frac{1 - (\sqrt{1 - \kappa^2 \operatorname{tg}^2 \theta})^3}{\operatorname{tg} \theta} \right\}, \quad (5)$$

2) при $\kappa \geq 1/\operatorname{tg} \theta$

$$I = \frac{v_0 d^2}{4} \cos \theta \left[1 - D + \frac{4}{3\pi} B C \operatorname{tg} \theta \right]. \quad (6)$$

Молекулярный поток, входящий в круглое концентрическое коллимационное отверстие, измеряемое телесным углом Ω , запишется в виде интегралов:

$$\int_0^{\Omega} I d\Omega = 2\pi \int_0^{\theta_0} I \sin \theta d\theta.$$

Искомый поправочный коэффициент определяется отношением этого потока к потоку, входящему в отверстие через нижнее основание

$$K = \frac{2\pi \int_0^{\theta_0} I \sin \theta d\theta}{v_0 \frac{\pi d^2}{4}} = \frac{2}{v_0 d^2} \int_0^{\theta_0} I \sin \theta d\theta.$$

Соответственно уравнениям (5) и (6) получаются решения:

1) Для $\kappa < 1/\operatorname{tg} \theta_0$

$$K_1 = \sin^2 \theta_0 - \frac{4}{\pi} \left\{ \arcsin(k \sin \theta_0) \left[\kappa k D + \frac{4}{3} B k (1 - 2\kappa^2) \right] - \sin \theta_0 \Delta x \left(\frac{D\kappa}{2} - \frac{Bk^2}{3} \right) - \right. \\ \left. - \arcsin(\kappa \operatorname{tg} \theta_0) \left[\left(\frac{\cos^2 \theta_0}{2} + \kappa^2 \right) D - \frac{2}{3} B \kappa^3 \right] - \frac{B}{3} \left(\theta_0 + \frac{\sin 2\theta_0}{2} \right) \right\},$$

где

$$\Delta x = \sqrt{1 - k^2 \sin^2 \theta_0}, \quad k^2 = 1 + \kappa^2.$$

2) Для $\kappa \geq 1/\operatorname{tg} \theta_0$, $K_2 = K_1^0 + \Pi$, где $K_1^0 = K_1$ при $\kappa = 1/\operatorname{tg} \theta_0$,

$$\Pi = (\cos^2 \theta_1 - \cos^2 \theta_0) (1 - D) + \frac{4B}{3\pi} \left(\theta_0 - \theta_1 + \frac{\sin^2 2\theta_0 - \sin 2\theta_1}{2} \right),$$

$$\theta_1 = \arcsin \kappa,$$

K_1 и K_2 — поправочные коэффициенты соответственно случаям 1 и 2.

Если определить K_2^0 , т. е. долю потока, входящего в отверстие, распространяющуюся по всем направлениям при выходе из отверстия, получится выражение для фактора вероятности

$$K_2^0 = W = \frac{1 + \varphi}{2} + \frac{B}{3} [2 - 2\sqrt{1 + \kappa^2} - 0,5\kappa(\varphi - 1)],$$

где

$$\varphi = (\kappa - \sqrt{1 + \kappa^2})^2.$$

Для дифференциального эффузионного метода определения давления пара имеет значение, пожалуй, только выражение (7), когда $\kappa < 1/\operatorname{tg} \theta$.

В таблице приведены расчеты поправочного коэффициента для шести различных значений κ и углов $\theta = 15^\circ, 30^\circ$.

κ	B	W	$W \sin^2 15^\circ$	$W \sin^2 30^\circ$	при $\theta_0 = 15^\circ$	при $\theta_0 = 30^\circ$
0,0	1,000 000	1,0000	0,06699	0,25000	0,06699	0,25000
0,1	0,928 6271	0,9092	0,06090	0,22730	0,06569	0,23765
0,2	0,864 0374	0,8341	0,05587	0,20853	0,06462	0,23052
0,3	0,805 5642	0,7711	0,05165	0,19277	0,06347	0,22301
0,5	0,704 5749	0,6720	0,04502	0,16800	0,06192	0,21127
1,0	0,522 5425	0,5136	0,03440	0,12840	0,05952	0,19370

В столбцах 4 и 5 записаны значения $W \sin^2 \theta_0$.

Как видно, пренебрежение влиянием толщины отверстия в камере приводит к значительным погрешностям. Например, ошибка при $\kappa = 0,1$ и $\theta_0 = 15^\circ$ равна 1,94%, при $\kappa = 1,0$ и $\theta_0 = 30^\circ$ — 4,94%.

Действительные значения поправочных коэффициентов резко отличаются от грубоприближенных значений ($W \sin^2 \theta_0$), так что пренебрежение отклонениями от закона синусов распределения молекул недопустимо, особенно при малых углах θ_0 .

Уральский электромеханический
институт инженеров
железнодорожного транспорта

Поступила
20.V.1959

ЛИТЕРАТУРА

- С. П. Детков, Ж. физ. химии, 31, 2367, 1957.
P. Clausius, Z. Phys. 66, 471, 1930.
M. Korsunsky and S. Vekshinsky, J. of Physics, 9, 399, 1945.

ON THE DIFFERENTIAL EFFUSION METHOD OF DETERMINING VAPOR PRESSURE

S. P. Detkov (Sverdlovsk)

Summary

An expression has been derived for the correction factor in vapor pressure calculations from data obtained by the differential effusion method. The factor takes account the effect of the wall thickness of the cylindrical orifice in the effusion chamber.

ПРИМЕНЕНИЕ МЕТОДА УРАВНОВЕШИВАНИЯ ПЛАСТИНКИ ДЛЯ ИССЛЕДОВАНИЯ ПОВЕРХНОСТНОГО НАТЯЖЕНИЯ РАСТВОРОВ ПОЛУКОЛЛОИДНЫХ ВЕЩЕСТВ ПРИ МЕДЛЕННОМ УСТАНОВЛЕНИИ РАВНОВЕСИЯ

К. В. Зотова и А. А. Трапезников

Целью поставленной работы являлось изучение кинетики изменения поверхностного натяжения σ и соответственно скорости установления адсорбционного равновесия на границе раздела раствор — воздух в растворах различных поверхностно-активных веществ полукolloидного типа в широком интервале концентраций.

Для аналогичных целей ранее применяли метод измерения поверхностного натяжения σ по наибольшему давлению пузырьков [1,2] или метод висячей капли [3—5]. Однако эти методы не всегда достаточно удобны или из-за трудности очень длительного образования новой поверхности, или из-за трудоемкости метода и недостаточной точности измерений малых изменений σ в конце кривой кинетики.

В нашей работе был применен метод уравновешивания пластинки (метод Вильгельми), имеющий в этом отношении ряд преимуществ (при условии полной смачиваемости пластинки) и очень удобный для исследования растворов медленно адсорбирующихся веществ. В качестве весов была применена кварцевая спираль с отсчетным микроскопом, подобно примененным к монослоям нерастворимых веществ [6].

Несмотря на то, что метод пластинки (с другими весами) применялся рядом авторов [7] к измерению поверхностного натяжения в растворах, возможность применения этой методики измерения σ в растворах поверхностно-активных веществ требовало специальной проверки.

Экспериментальная часть

Метод основан на уравновешивании силы втягивания жидкостью тонкой пластинки (покровное стекло размером $20 \times 20 \times 0,1$ мм, края которого специально отполировывались для обеспечения строго прямоугольного периметра). Исследуемый раствор наливается в чашку, которая помещается на подъемный столик. Пластика, тщательно вымытая и высушенная (иногда для лучшего смачивания с оставленной тончайшей смачивающей пленкой воды), подвешивается на кварцевую спираль, на крючок которой наводится начальное деление шкалы окулярмикрометра отсчетного микроскопа. Уровень раствора подводится к нижнему краю пластинки до соприкосновения, при котором пластинка быстро втягивается в жидкость и спираль удлиняется. Глубина погружения пластинки зависит (при полном смачивании пластинки) от величины σ и гидростатической силы, выталкивающей пластинку. При медленной адсорбции и изменении σ во времени (обычно уменьшающегося) после начального быстрого втягивания пластинки, вследствие высокого значения σ , наступает уменьшение σ и пластинка вытаскивается из жидкости. Положение пластинки и удлинение пружинки в каждый момент времени фиксируется через отсчетный микроскоп. Автоматическое уравновешивание силы втягивания пластинки жидкостью позволяет проследить кинетику процесса непрерывно и сколько угодно долго, т. е. достичь истинно равновесных значений σ .

Значение σ определяется по формуле:

$$\sigma = \frac{\Delta L g (G + n p t w)}{2 (t + w)} = k \Delta L$$

где ΔL — удлинение пружинки, g — ускорение силы тяжести; G — коэффициент упругости пружинки, $g/\text{см}$, определяемый из градуировочной кривой; p — плотность раствора; n — цена деления шкалы окулярмикрометра в сантиметрах; t и w — толщина и ширина пластинки в сантиметрах.

Для водных растворов малых концентраций плотность можно считать практически не отличающейся от плотности воды, поскольку влияние малых изменений гидростатической поправки лежит за пределами чувствительности метода.

Воспроизводимость результатов проверялась с пластинками различной толщины и при повторных измерениях на растворах различной концентрации c .

Результаты приведены в табл. 1 и 2. Как видно из таблиц, расхождение между параллельными измерениями σ , даже в случае растворов, подверженных медленному обновлению равновесного значения σ , не превышает 1,0% и во многих случаях лежит в пределах 0,5%.

В некоторых малоконцентрированных растворах наблюдается плохая смачиваемость пластинки, приводящая к сильной невоспроизводимости результатов. В таких случаях до начала выталкивания пластинки, обусловленного кинетикой уменьшения σ раствора, наблюдается медленное втягивание пластинки в раствор вследствие

Таблица 1

Воспроизводимость равновесных значений σ

Исследуемое вещество	Концентрация раствора, %	Значение константы прибора, k	$\sigma_{\text{равн.}}$ дин/см	Расхождение между параллельными измерениями, %
Моющее вещество № 3	1,0	0,681	27,78	0,00
			27,78	
	0,2	0,681	27,24	0,88
			27,00	
	0,1	0,681	26,55	0,41
			26,44	
Моющее вещество № 8	0,05	0,681	25,78	0,39
			25,87	
	1,0	0,681	30,36	0,45
			30,50	
	0,5	0,672	30,97	0,19
			30,91	
	0,2	0,672	31,44	0,00
			31,44	
	0,1	0,672	27,75	0,25
			27,82	
	0,025	0,672	30,91	0,45
			30,77	
			30,91	

Примечание: Формулы моющих веществ № 3 и № 8 приводятся ниже.

Таблица 2

Расхождения между равновесными значениями σ , полученными с применением пластинок различной толщины t

(при очень малом изменении ширины $w = 2,1955$, $w = 2,2165$, $w = 2,2010$ см)

$t = 0,0165$, $t = 0,0085$, $t = 0,0125$ см; $k = 0,696$, $k = 0,672$, $k = 0,681$

Исследуемое вещество	Концентрация раствора, %	Значение константы прибора, k	$\sigma_{\text{равн.}}$ дин/см	Расхождение между $\sigma_{\text{равн.}}$, полученных с пластинками различной толщины в %
Аэрозоль ОТ	1,0	0,696	25,75	0,31
		0,672	25,67	
	0,5	0,696	27,07	0,71
		0,672	26,88	
	0,1	0,696	27,87	0,75
Моющее вещество № 8		0,672	28,08	
	0,5	0,672	30,97	0,19
		0,672	30,91	
	0,2	0,681	30,91	0,86
		0,672	31,44	
		0,681	31,18	
	0,1	0,672	27,75	
		0,672	27,82	0,26
		0,681	27,78	

повышения ее смачиваемости. Так, в растворах аэрозоля ОТ при $c < 0,1\%$ расхождения между параллельными измерениями достигают $6,0\%$, в то же время при $c > 0,1\%$ воспроизводимость лежит в пределах $0,5\%$.

Учитывая большое значение полноты смачивания при измерениях σ , пластины перед опытом промывали горячей хромовой смесью в течение $0,5$ часа. Все опыты проводились на бидистиллате, перегнанном над щелочным перманганатом.

При исследовании кинетики изменения σ методом уравнивания пластины необходимо учитывать, что измеряемая величина σ может зависеть от времени, прошедшего с момента образования поверхности до момента погружения в нее пластины

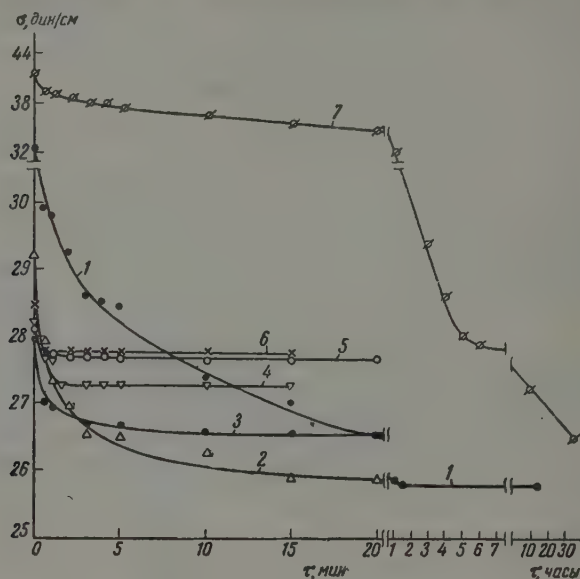


Рис. 1. Кривые $\sigma - \tau$ для растворов моющего вещества № 3.
 $c = 0,01$ — кривая 7; 1—0,025; 2—0,05; 3—0,1; 4—0,2; 5—0,5; 6—1,0

Как видно из табл. 3, это влияние сказывается при сравнении значений $\sigma_{\text{нач.1}}$, полученных в момент погружения пластинки в свежесформированную поверхность (через $\tau \approx 2$ сек.), и $\sigma_{\text{нач.2}}$ в поверхность через несколько минут после ее образования; расхождения лежат в пределах от $1,0$ до $10,0\%$ и особенно сильно выражены в растворах малых c . В то же время равновесные значения $\sigma_{\text{равн}}$ тех же растворов совпадают в пределах $0,3\%$ при не слишком малых c .

Таблица 3

Различие значений $\sigma_{\text{нач}}$ при погружении пластинки в свежесформированную поверхность раствора ($\sigma_{\text{нач.1}}$) и в поверхность раствора через несколько минут после ее образования ($\sigma_{\text{нач.2}}$).

Исследуемое вещество	$c, \%$	Значение константы прибора, k	$\sigma_{\text{нач.1}}, \text{дин/см}$	$\sigma_{\text{нач.2}}, \text{дин/см}$	Расхождение в % между $\sigma_{\text{нач.1}}$ и $\sigma_{\text{нач.2}}$	$\sigma_{\text{равн.1}}, \text{дин/см}$	$\sigma_{\text{равн.2}}, \text{дин/см}$	Расхождение в % между $\sigma_{\text{равн.1}}$ и $\sigma_{\text{равн.2}}$
№ 3	1,0	0,681	28,46	28,05	1,46	27,78	27,78	0,00
№ 8	0,5	0,672	32,18	31,44	2,35	30,97	30,91	0,19
	0,2	0,672	33,60	33,06	1,66	31,44	31,44	0,00
	0,1	0,672	31,65	30,37	4,24	27,75	27,82	0,26
	0,025	0,692	34,60	31,28	10,61	29,60	29,89	0,98

Можно было предположить, что расхождения между $\sigma_{\text{нач.1}}$ и $\sigma_{\text{нач.2}}$ будут значительно большими, чем это наблюдается. Из кривых $\sigma(\tau)$ (см. ниже рис. 1—2), сле-

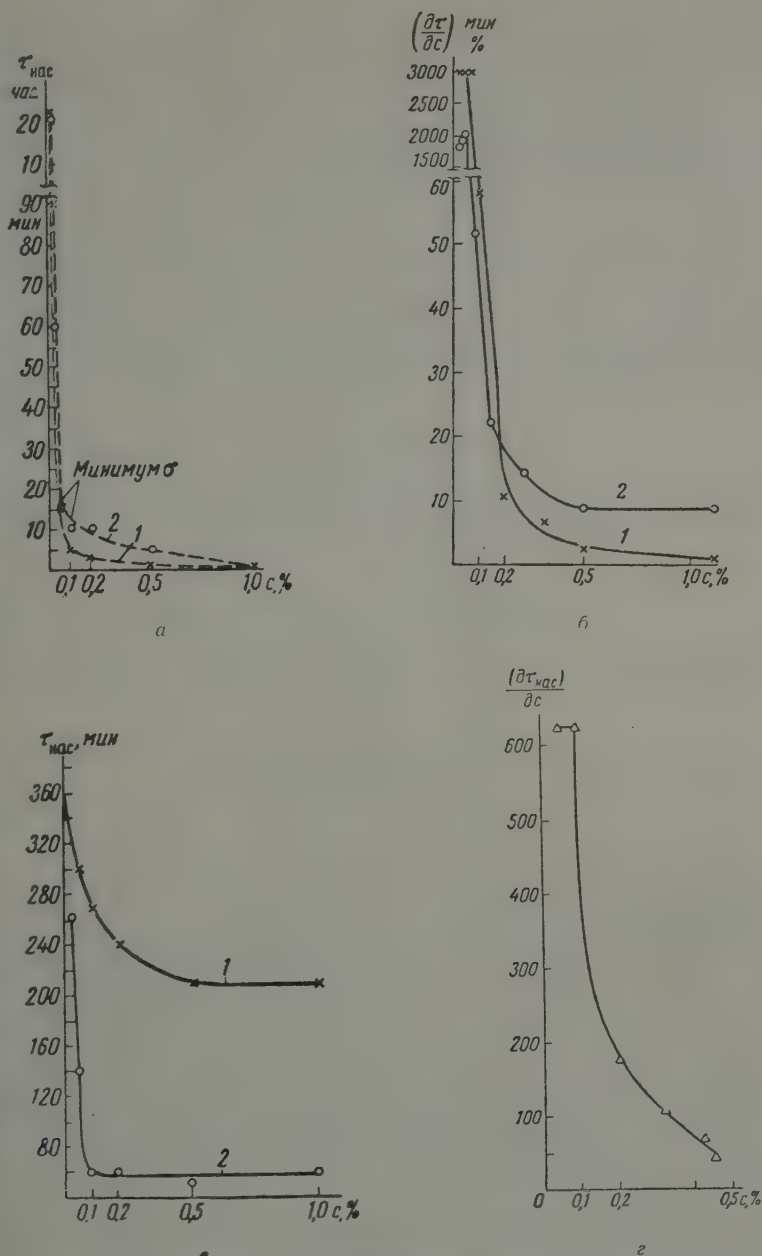
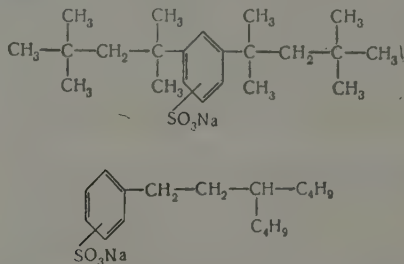


рис. 2. а—зависимость времени установления равновесного поверхностного натяжения от концентрации $\tau_{\text{нас}}-c$ для моющих веществ № 3 (кривая 1) и № 8 (кривая 2); б—зависимость $\frac{\partial \tau_{\text{нас}}}{\partial c} = f(c)$ для тех же растворов; в—зависимость времени установления адсорбционного равновесия от концентрации $\tau_{\text{нас}}-c$ для растворов сапонинов, кривая 1 — сапонин Бекер; кривая 2 — сапонин Кальбаум; г — зависимость $\frac{\partial \tau_{\text{нас}}}{\partial c} = f(c)$ растворов сапонины Бекер

дует, что за несколько минут в растворах 0,1 и 0,2% σ уменьшается уже $1-2 \text{ дин/см.}$, расхождения же между $\sigma_{\text{нач.1}}$ и $\sigma_{\text{нач.2}}$ составляют всего 0,3—0,6 дин/см. Это можно объяснить тем, что в момент втягивания пластинки, даже в растворе заранее постаревшей поверхностью, на мениске фактически вновь образуется свежая поверхность, с которой близко к σ вполне свежей поверхности, поэтому предварительное образование поверхности сказывается сравнительно слабо. Однако наличие сформировавшегося уже заранее адсорбционного слоя на основной части поверхности приводит к тому, что молекулы этого адсорбционного слоя вследствие быстрой двухмерной диффузии распространяются на менисковую часть поверхности сильнее понижая $\sigma_{\text{нач.}}$, чем в свежей поверхности раствора. Поэтому значения $\sigma_{\text{нач.}}$ все же более низкие, чем $\sigma_{\text{нач.1}}$. Различие между $\sigma_{\text{нач.1}}$ и $\sigma_{\text{нач.2}}$ особенно сильно выражено в растворах наименьших концентраций, в которых значение $\sigma_{\text{нач.2}}$ намного меньше, чем $\sigma_{\text{нач.1}}$. Отсюда можно заключить, что адсорбционный слой, достигший известного насыщения, практически сразу распространяется на поверхность мениска, понижая σ до соответствующего значения. Следовательно, медленность установления адсорбционного равновесия в разбавленных растворах связана не с какими-либо затруднениями перемещения адсорбированных молекул в самом слое, с медленностью адсорбции из объема раствора.

Обсуждение результатов

Было проведено измерение σ в растворах двух синтетических моющих веществ принадлежащих к группе алкилбензолсульфонатов (синтезированных в лаборатории А. Д. Петрова), структурные формулы которых следующие:



моющее вещество № 3, моющее вещество № 8, а также аэрозоля-ОТ, сапонины фирмы Кальбаум и фирмы Бекер.

На рис. 1 приведены для примера кривые кинетики образования адсорбционного слоя в растворах моющего вещества № 3. Аналогичные кривые были получены для моющего вещества № 8 и для растворов сапонинов. Из этих кривых следует, что скорость изменения поверхностного натяжения $v = -(\partial\sigma/\partial\tau)_\tau$ различна для исследованных веществ и зависит от концентрации раствора. Чем выше σ , тем быстрее устанавливается адсорбционное равновесие. В разбавленных растворах оно устанавливается крайне медленно.

Существует ряд объяснений аномально медленного достижения адсорбционного равновесия в разбавленных растворах. По мнению Александера [8], причиной медленной адсорбции является дегидратация углеводородной части адсорбирующейся молекулы. Досс [9], Уорд и Тордай [10] и другие объясняют медленный процесс адсорбции в разбавленных растворах наличием энергетического барьера, возникающего вследствие отталкивания от одноименных зарядов адсорбированных уже ионов.

Из полученных нами результатов следует, что в сильно разбавленных растворах моющих веществ № 3 и № 8 ($\sigma = 0,01\%$) адсорбционное равновесие устанавливается в течение суток; при повышении σ до 0,1—1,0% время установления адсорбционного равновесия сокращается до 15,0—0,5 мин. в растворах моющего вещества № 8 и до 5,0—0,5 мин. в № 3 (рис. 2а). Из кривых $\sigma - \tau$ и из кривых $\sigma - c$ (рис. 3) вытекает, что вещество № 3 более поверхностно-активно, чем вещество № 8. Это согласуется с данными работы [11], в которой проводились измерения σ методом наибольшего давления пузырьков для ряда синтетических моющих веществ, в том числе для № 3 и № 8. Однако полные кривые кинетики дают значительно более подробные данные о характере адсорбции.

Из рис. 3. видно, что на кривых $\sigma - c$ имеются ярко выраженные минимумы, которые для моющего вещества № 3 по кривой $\sigma_{\text{равн}}$ соответствуют $c = 0,03\%$ и по

ной $\sigma_{\text{нач}}$ $c = 0,1\%$, тогда как для моющего вещества № 8 по кривым $\sigma_{\text{нач}}$ и $\sigma_{\text{равн}}$ минимумы лежат при $c = 0,1\%$. Как известно, минимум на кривой $\sigma - c$ принято связывать с критической концентрацией мицеллообразования. Объяснения появления минимума на кривых $\sigma - c$, приводимые различными авторами, различаются в деталях. Так, Мак-Бен и Шедловский [12], Бреди и Браун [13], Майлс и Шедловский [14] полагают, что минимум на кривой $\sigma - c$ появляется лишь в том случае, если поверхностно-активное вещество не свободно от примесей более поверхностно-активных веществ, которые могут легко адсорбироваться при c меньших критической концентрации мицеллообразования и почти не адсорбируются при c больших величины, так как происходит сольватация примесей мицеллами. Вследствие этого в последнем случае σ имеет более высокое значение, а на кривой $\sigma - c$ появляется минимум.

По существу такой же вывод следует и из данных Клайфилда и Мэтьюза [5], полученных для додецилсульфата натрия в присутствии добавок хлористого кальция кривую минимум в условиях равновесного поверхностного натяжения. В то же время эти авторы считают, что для чистого поверхностно-активного вещества минимум на кривой $\sigma - c$ при концентрации мицеллообразования не возникнет только, но в условиях неравновесного поверхностного натяжения. Он исчезает при длительном старении адсорбционного слоя.

Из наших данных следует, что минимум кривых $\sigma - c$ (рис. 3) сохраняется при использовании для построения кривых $\sigma - c$ значений как $\sigma_{\text{нач}}$, так и $\sigma_{\text{равн}}$, причем оба выражены одинаково отчетливо, для моющего вещества № 3 минимум на кривой $\sigma_{\text{равн}}$ даже более яркий, чем на кривой $\sigma_{\text{нач}}$. При этом обращает на себя внимание сдвиг минимума в область малых c на кривой $\sigma_{\text{равн}}$. Очевидно, это связано с тем, что адсорбция наиболее активных компонентов при малых концентрациях идет очень медленно.

Измеряя поверхностное натяжение в растворах смачивателей, С. А. Никитина и Б. Таубман [15, 16] считали, что в растворах, в которых мицеллообразование происходит в узкой области концентраций, при концентрациях больших или равных критической концентрации мицеллообразования $\sigma_{\text{нач}} = \sigma_{\text{динам}}$ и исходя из этого предлагали выделять критическую концентрацию мицеллообразования как точку пересечения кривых зависимости $\sigma_{\text{стат}}$ (измеряемой в течение 2,0 мин.) от c и $\sigma_{\text{динам}}$ (измеряемой в течение 2,0 сек.) от c .

Из вышеописанных данных (рис. 2а), где показана зависимость времени достижения $\sigma_{\text{равн}}$ от c раствора видно, что как при c , равной критической концентрации мицеллообразования (минимум кривой $\sigma - c$), так и при более высоких c , адсорбционное равновесие устанавливается не мгновенно, а в течение 10 мин. в случае моющего вещества № 8 и в течение 15 мин. в случае моющего вещества № 3. Метод выделения критической концентрации мицеллообразования по совпадению кривых зависимости $\sigma_{\text{стат}}$ и $\sigma_{\text{динам}}$ от c нельзя считать пригодным для определения критической концентрации мицеллообразования в данном случае, так как $\sigma_{\text{динам}}$ будет равно значению $\sigma_{\text{равн}}$.

Из кривых кинетики для растворов сапонины следует, что скорость установления адсорбционного равновесия в этих растворах значительно ниже, чем в случае указанных выше моющих веществ. По данным, полученным методом постоянного давления Вьерков [1, 2], адсорбционное равновесие в растворах сапонины устанавливается 10—15 мин. Из наших измерений методом пластинки, позволяющим регистрировать малые изменения σ в течение длительного времени, следует, что адсорбционное равновесие даже в области высоких c устанавливается в течение часа и более, а в сильно разбавленных растворах в течение суток. Интересно, что равновесные значения $\sigma_{\text{равн}}$ устанавливаются быстрее в растворах сапонины марки Гальбаум, обладаю-

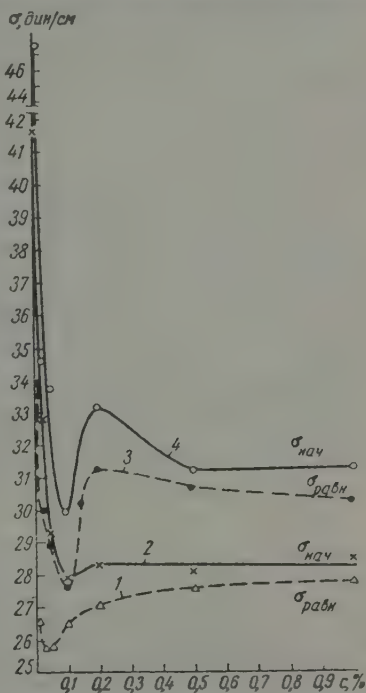


Рис. 3. Кривые $\sigma - c$ для растворов моющих веществ № 3 (кривые 1 и 2) и № 8 (кривые 3 и 4)

щих весьма высокой поверхностной вязкостью, чем в растворах сапони́на марки I кер, характеризующихся по нашим данным низкой поверхностной вязкостью $\gamma_{\text{с}}$ Кальбаума $> \gamma_{\text{с}}$ Бекера в тысячи раз) *. Это показывает, что обычно принятые представления о том, что медленное установление равновесия в растворах сапони́на связано с высокой поверхностной вязкостью или прочностью адсорбционных слоев не является справедливым в общем виде. Из кривых $\sigma - c$ (рис. 4) следует, что растворы сапони́на Бекера обладают большей поверхностной активностью, чем раствор сапони́на Кальбаума.

Основной причиной малой скорости адсорбции следует считать поликомпонентность раствора, под которой подразумевается совокупность частиц не только различного строения, но и различной степени ассоциации и ионизации. Такие компоненты могут обладать различной поверхностной активностью и образовывать адсорбционные слои с различными механическими свойствами. Малая скорость установления $\sigma_{\text{равн}}$ может быть следствием разных причин. Одной из них является, вероятно, медленность десорбции менее поверхностно-активных компонентов, попавших в поверхностный слой в первые моменты адсорбции. Ясно, что пока поверхность свободна на ней адсорбируются все частицы, находящиеся вблизи поверхности. Далее должно идти вытеснение менее активных частиц более активными. Вероятно, именно этот процесс вытеснения является очень медленным. Адсорбированные менее активные частицы могут образовывать связи с соседними более активными частицами и их удаление с поверхности и замена новыми идет очень медленно. При более высоких c , особенно когда образуются мицеллы,

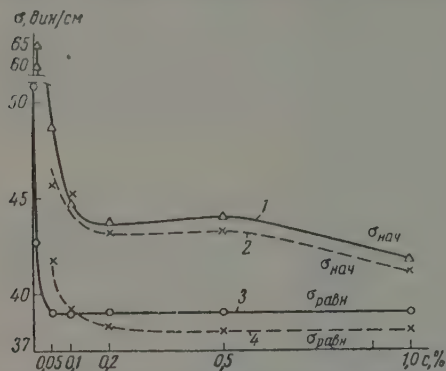


Рис. 4. Кривые $\sigma - c$ для растворов сапони́на марки Кальбаум (кривые 1 и 3) и Бекер (кривые 2 и 4) ($\sigma_{\text{нач}}$, и $\sigma_{\text{равн}}$)

объеме, состав адсорбционного слоя почти в первое же время адсорбции отвечает составу объема, так как более активные компоненты сольбилизируются мицеллами, объемом и попадают в поверхностный слой в малом количестве. В этом случае как в начале, так и в конце процесса адсорбции, адсорбционный слой состоит преимущественно из менее активных компонентов.

Рассматривая снова кривые зависимости времени образования насыщенного слоя от концентрации раствора для моющих веществ (рис. 2а), можно заключить, что $\tau_{\text{нас}}$ очень сильно падает при приближении c к критической концентрации мицеллообразования и экстраполяция этого участка даст значение c , близкое к критической концентрации мицеллообразования, однако $\tau_{\text{нас}}$ не снижается до значений, близких к нулю и при c , больших этой величины, имеет значения порядка нескольких минут. В связи с этим надо считать, что динамические методы определения σ при любых c не дают статистических значений σ . Следует отметить, что в отличие от общепринятых представлений при переходе через критическую концентрацию уменьшение $\tau_{\text{нас}}$ идет относительно медленнее, чем до нее. Это видно и из кривых $\partial \tau_{\text{нас}} / \partial c = f(c)$ (рис. 2б, г) как для моющих веществ, так и для сапони́на. Такая зависимость объясняется тем, что наиболее поверхностно-активные компоненты, сольбилизируясь мицеллами, вырываются из них с трудом и достигают поверхности раствора в малом количестве для отрыва более активных частиц от мицеллы требуется какая-то энергия активации.

Это представление о трудности десорбции менее поверхностно-активных компонентов как фактора, определяющего медленную кинетику достижения равновесной адсорбции, находит подтверждение в наших работах по сопоставлению механических свойств и состава адсорбционных слоев, образующих двухстороннюю пленку (мыльную [17] или сапони́новую [18, 19]) и адсорбционного слоя на поверхности раствора. Было установлено, что в пленку могут переходить более поверхностно-активные компоненты в преимущественном количестве по сравнению с адсорбционным слоем на поверхности исходного раствора. Это обусловлено особыми условиями образования пленки, способствующими непрерывному обновлению поверхности и обмену поверхностно-активными компонентами. Вследствие того, что в неподвижной поверхности нет таких условий для быстрого обмена компонентами, состав адсорбционных слоев на поверхности раствора сохраняется почти неизменным и слои продолжают со-

* Данные по $\gamma_{\text{с}}$ будут описаны в другом месте.

кать менее поверхностно-активные компоненты, адсорбированные в первое время после образования поверхности. Отсюда следует, что скорость десорбции на неподвижной поверхности является медленнее, чем, очевидно, и определяется длительное установление равновесного значения поверхностного натяжения раствора.

Выводы

1. Использован метод измерения поверхностного натяжения σ , основанный на уравешивании пластинки (метод Вильгельми), при помощи кварцевой спирали. Данный метод позволяет изучать кинетику изменения σ за длительное время и регистрировать незначительные изменения σ в конечной стадии достижения истинно равновесных значений.
2. Исследована кинетика изменения σ в водных растворах разных концентраций синтетических моющих веществ (алкилбензолсульфонатов), аэрозоля ОТ, двух эмульсий сапонины.
3. Найдено, что кривые зависимости $\sigma_{\text{равн.}}$ от c для растворов двух моющих веществ имеют ярко выраженный минимум в области критической концентрации мицеллообразования. Для сапонинов отчетливых минимумов не обнаружено.
4. Обнаружено, что скорость установления адсорбционного равновесия в растворах сапонины фирмы Кальбаум, обладающего высокой поверхностной вязкостью, значительно выше, чем в растворах сапонины фирмы Бекер, обладающего низкой поверхностной вязкостью, и что высокая поверхностная вязкость не определяет медленного установления адсорбционного равновесия.
5. Установлено, что растворы сапонины марки Бекер обладают большей поверхностной активностью, чем растворы сапонины марки Кальбаум, и что в обоих случаях равновесное значение σ достигается за час или несколько часов.
6. Предполагается, что длительное установление равновесных значений σ в растворах этих концентраций связано с медленностью обмена молекул с объемом раствора сорбция — десорбция), а не с медленностью упаковки молекул в самом слое. В поликомпонентных системах наиболее медленным процессом является, вероятно, десорбция менее поверхностно-активных веществ. Это находит косвенное подтверждение в данных по поверхностной вязкости.

Поступила
12.I.1959

ЛИТЕРАТУРА

- А. Б. Таубман, Ж. физ. химии, **1**, 563, 1930.
К. Ф. Жигач, П. А. Ребиндер, Ж. физ. химии, **13**, 94, 1939.
N. K. Adam, H. L. Shute, Trans. Faraday Soc., **31**, 204, 1935.
М. М. Кусаков, Н. Н. Лубман, А. Ю. Кошевич, Тр. Ин-та нефти, Изд. АН СССР, **2**, 53, 1952.
E. J. Glayfield, J. B. Matthews, Second International Congress of Surface Activity, London, **1**, 1957.
А. А. Трапезников, Докл. АН СССР, **30**, 319, 1941; Ж. физ. химии, **19**, 228, 1945; Докторская диссертация ИФХ АН СССР, 1955.
R. Ruysse, a. R. Loos, J. Colloid Sci., **2**, 429, 1947.
А. E. Alexander, Trans. Faraday Soc., **37**, 1, 1941.
K. S. Doss, Kolloid-Z., **84**, 138, 1938; **86**, 205, 1938.
Ward, Tordai, J. Chem. Phys., **14**, 453, 1946.
Ф. В. Неволин, Маслослойная и жировая промышленность, № 8, 1958.
J. W. McBain, L. Shedlovsky, Ann. N. Y. Acad. Sci., **46**, 427, 1946.
А. Бреди, А. Браун, Мономолекулярные слои, ИИЛ, Москва, 1956.
G. D. Miles, L. Shedlovsky, J. Phys. Chem., **48**, 57, 1944.
С. А. Никитина, А. Б. Таубман, Докл. АН СССР, **116**, 1957.
С. А. Никитина, Кандидатская диссертация, ИФХ АН СССР, 1958.
А. А. Трапезников, Коллоидн. ж., **19**, 252, 1957.
К. В. Зотова, А. А. Трапезников, Докл. АН СССР, **117**, 833, 1957.
А. А. Trapeznikov, Second International Congress of Surface Activity, London, **1**, 242, 1957.
Н. К. Адам, Физика и химия поверхностей, Москва, 1947.

APPLICATION OF THE PLATE EQUILIBRATION (WILHELMY) METHOD FOR STUDYING THE SURFACE TENSION OF SOLUTIONS OF SEMI-COLLOIDAL SUBSTANCES DURING SLOW EQUILIBRATION

K. V. Zotova and A. A. Trapeznikov (Moscow)

S u m m a r y

The kinetics of change in σ of aqueous solutions of two synthetic detergents (sodium benzene sulfonates), the aerosol OT and of two specimens of saponin, of various concentrations have been studied with the aid of the plate equilibrating method (method of Wilhelmy) and with the aid of a quartz helical spring. The curves depicting the dependence of $\sigma_{\text{equilib.}}$ upon c for the solutions of the two detergents have a clearly expressed minimum in the region of the c. c. m. No definite minimum was revealed for saponins.

The rate of adsorption equilibration in solutions of saponin from Kahlbaum, possessing high surface viscosity has been found to be considerably higher than that of Baker, possessing low surface viscosity. High surface viscosity has been shown not to be a determining factor in the slow equilibration.

Saponin solutions of the Baker label have been found to possess higher surface activity than those of Kahlbaum and in both cases the equilibrium value of σ is attained within an hour or a few hours.

The prolonged establishment of equilibrium σ values in solutions of low concentration has been assumed to be associated with the slow exchange of molecules with the bulk of the solution (adsorption-desorption) rather than with slow packing of the molecules in the layer itself. In polycomponent systems the slowest process is probably the desorption of less surface active substances. This finds indirect confirmation in the data on surface viscosity.

ОЗОНАТОРЫ ИЗ ПЛАСТМАСС

Ю. В. Филиппов и Ю. Н. Житнев

В существующих конструкциях озонаторов в качестве диэлектрического слоя используется стекло. Однако оно является плохим конструктивным материалом, поэтому озонаторы с использованием стекла в качестве диэлектрика очень сложны и недолговечны. Трудность герметического сопряжения стекла с металлом приводит к невозможности создания конструкций озонаторов, в которых достигается достаточное надежное охлаждение диэлектрика, которое особенно важно для озонаторов большой производительности, работающих на повышенных (звуковых) частотах. Частотные озонаторы со стеклянными диэлектриками требуют для своего изготовления большого количества дорогостоящих и дефицитных цветных металлов (латунь, алюминий), нержавеющей стали. Расход этих материалов может характеризоваться весом озонатора, отнесенным к производительности озонатора. В лучших

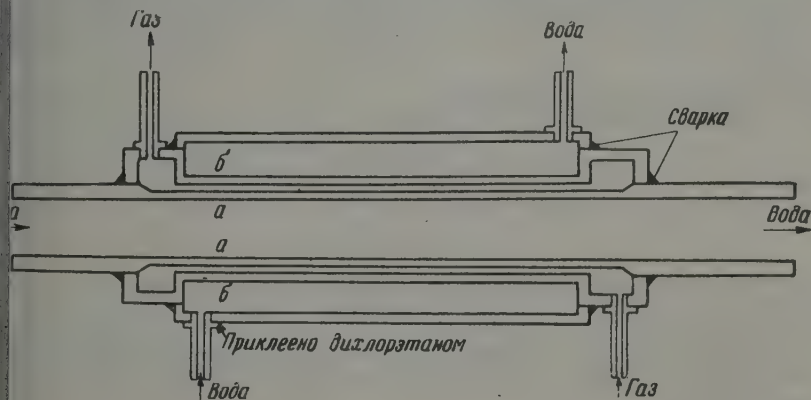


Рис. 1

в низкочастотных озонаторах их вес достигает 500 кг на 1 кг озона в час. Эти недостатки могут быть устранены в предложенных нами озонаторах, изготовленных из полимерных материалов (винипласт, материал СНП, фторпласт-3, фторпласт-4) и не требующих для своего приготовления никаких других материалов кроме пластмасс.

Основным преимуществом полимерных материалов в изготовлении озонаторов является их конструктивная простота, легкость и разнообразие их технологической обработки. Возможность изменения свойств полимеров в нужном направлении, например, путем введения специальных наполнителей, делает их применение для изготовления озонаторов еще более перспективным. Применение полимерных материалов позволяет осуществлять производство надежных и совершенных конструкций озонаторов с эффективным охлаждением электродов, работающих на повышенных частотах и, следовательно, обладающих высокой производительностью, в десятки раз превышающей производительность существующих конструкций озонаторов.

В качестве примера использования полимерных материалов для создания озонаторов нами был изготовлен и испытан элемент озонатора из винипласта. Винипласт легко подвергается многим видам технологической обработки. С другой стороны он удовлетворяет всем требованиям, предъявляемым к диэлектрикам в озонаторах: высокая электрическая прочность (15—35 кВ/мм), достаточная диэлектрическая прочность ($\epsilon = 4$), химическая стойкость к озону и разряду.

Испытанный нами элемент озонатора был изготовлен целиком из винипласта. Озонатор представляет собой три коаксиально расположенных винипластовых трубки (рис. 1). Разряд происходит между внешней поверхностью центральной трубки (а) и внутренней поверхностью второй от центра трубки (б). Охлаждающая вода проходит внутри центральной трубки, а газ — в полости между наружной и средней трубками. Вода одновременно является и охлаждающей, и проводящей средой. Разрядный промежуток составлял 1,05 мм. Озонатор испытывался в течение 100 час. при напряжении 8 кВ, частоте 1500 пер./сек., температуре окружающей воды 20°C и давлении кислорода 0,5 ат. ст. Сила тока равнялась 6,5 мА, мощность 14 Вт.

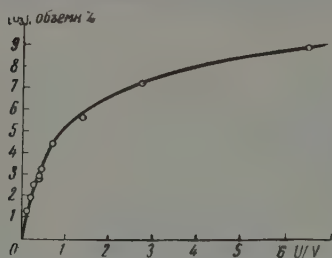


Рис. 2

лов (стекло, алюминий). На рис. 2 приведена кинетическая кривая зависимости концентрации озона от фактора удельной энергии (отношение мощности озонатора к скорости потока газа). Концентрация озона может достигать 9 об.-%. Энергетический выход также достаточно высок — более 200 г озона на 1 кВт в низких концентрациях озона.

Таким образом, эффективность работы озонатора из винипласта не ниже эффективности работы лучших образцов цельностеклянных озонаторов. С другой стороны, озонатор из винипласта прост в изготовлении, прочнее и легче стеклянного. Показывает расчет, вес промышленного озонатора из винипласта должен быть в 10 раз меньше, чем у существующих конструкций из металла.

Московский государственный
университет им. М. В. Ломоносова

Поступило
16.IX.57

PLASTIC OZONIZERS

Yu. V. Filippov and Yu. N. Zhitnev (Moscow)

Summary

Vinyplast may be used with advantage in the construction of ozonizers. An ozonizer made by the authors from vinyplast was not inferior to the best types of ozonizers made of glass.

ДИСКУССИЯ

ОПЕЧАТКА О ПРИБЛИЖЕННОМ УРАВНЕНИИ ВАН-ДЕР-ВААЛЬСА

Ю. С. Варшавский, А. Я. Кипнис и А. Б. Шейнин

В связи с опубликованием М. А. Решетниковым ответа [1] на нашу критику [2] статьи [3] мы вынуждены сделать несколько замечаний.

Основное содержание нашей заметки [2] состояло в указании, что приближенное уравнение ван-дер-Ваальса *:

$$\frac{1}{p} \left(\frac{\partial p}{\partial x'} \right)_T = \frac{x'' - x'}{x' (1 - x')} \quad (1)$$

приложимо лишь к идеальным и бесконечно разбавленным растворам. Этот оспариваемый М. А. Решетниковым факт в действительности является бесспорным. Не повторяя здесь приведенного в [2] термодинамического доказательства, заметим лишь, что в частном случае, когда один из компонентов нелетуч ($x'' = 1$), интегрирование (1) с учетом того, что при $x' = 1$ $p = p_0$, без каких-либо дополнительных допущений приводит к закону Рауля:

$$p = p_0 x' \quad (2)$$

Таким образом точка зрения М. А. Решетникова приводит к нелепому выводу приложимости закона Рауля к любым растворам, содержащим нелетучий компонент, независимо от их природы и концентрации.

Возражения М. А. Решетникова против приведенного в [2] вывода уравнения (1), очевидно, основаны на недоразумении. В самом деле, если $v'' \gg v'$, то и подавно

$$v'' \gg (x'' - x') \left(\frac{\partial v}{\partial x} \right)'_{p,T} \quad (3)$$

как правая часть неравенства (3), равная $(x'' - x') (v_2' - v_1')$, еще меньше, чем левая. Таким образом уравнение (5) нашей заметки [2] действительно является вполне общим по отношению к свойствам жидкой фазы и ограничено лишь требованием удаленности состояния системы от критического.

Как было показано в [2], ошибка, допущенная М. А. Решетниковым при выводе уравнения (1), состоит в произвольном предположении, будто из равенства сумм:

$$x' \bar{p}_1 + (1 - x') \bar{p}_2 = p$$

$$p_1 + p_2 = p,$$

следует попарное равенство слагаемых:

$$p_1 = x' \bar{p}_1 \quad \text{и} \quad p_2 = (1 - x') \bar{p}_2.$$

Этот пункт нашей критики М. А. Решетников вообще оставил без ответа.

Из сказанного должно быть ясно, что приближенное уравнение ван-дер-Ваальса (1) не имеет той степени общности, которую ему пытался приписать М. А. Решетников.

Поступила
30.X.1958

ЛИТЕРАТУРА

- М. А. Решетников, Ж. физ. химии, 32, 945, 1958.
Ю. С. Варшавский, А. Я. Кипнис и А. Б. Шейнин, Ж. физ. химии, 31, 1166, 1957.
М. А. Решетников, Докл. АН СССР, 68, 531, 1949.

* Обозначения: p — общее давление, p_0 — давление пара чистого 1-го компонента, x — его молярная доля, v — молярный объем фазы, v_1 и v_2 — парциальные молярные объемы компонентов, индексы "и" означают раствор и пар, соответственно.

НЕКОТОРЫЕ ВОПРОСЫ ИЗОТЕРМИЧЕСКОГО РАВНОВЕСИЯ РАСТВОР — ПАР ПО ВАН-ДЕР-ВААЛЬСУ И ПО ЛЬЮИСУ

М. А. Решетников

Приближенное уравнение* ван-дер-Ваальса

$$\frac{1}{p} \left(\frac{\partial p}{\partial x'} \right)_T = \frac{x'' - x'}{x' (1 - x')} \quad (1)$$

получено им из упрощенного уравнения для изотермического равновесия сосуществования разбавленных фаз ([1] стр. 226 уравнение (4а)) и названо уравнением упругости пара разбавленного раствора ([1] стр. 227).

В [2], а также и в [3] нами было получено аналогичное уравнение, но при $v = T = \text{const}$, которое по условиям вывода должно быть справедливо для всех концентраций двойных систем из летучих компонентов.

Ю. С. Варшавский, А. Я. Кипнис и А. Б. Шейнин [4, 5] не согласны ни с нами, ни с ван-дер-Ваальсом. Эти авторы утверждают, что уравнение (1*), а также и аналогичное ему наше уравнение «справедливо только для идеальных и бесконечно разбавленных растворов» [4, 5]. Но, если следуя Льюису [6], за которым следуют и авторы, принять, что для идеальных систем справедливы условия: $(\partial f_1 / \partial x')_{p,T} = 0$ и $pv'' = RT$, то из полного уравнения для изотермического равновесия фаз [3]:

$$\left(\frac{\partial p}{\partial x'} \right)_T = \frac{x'' - x'}{x' (1 - x')} \left\{ \frac{RT \left[1 + x' \left(\frac{\partial \ln f_1}{\partial x'} \right)_{p,T} \right]}{v'' - v' - (x'' - x') \left(\frac{\partial v'}{\partial x'} \right)_{p,T}} \right\}, \quad (2)$$

получаем:

$$\frac{1}{p} \left(\frac{\partial p}{\partial x'} \right)_T = \frac{x'' - x'}{x' (1 - x')} \left[\frac{RT}{RT - pv' - p(x'' - x') \left(\frac{\partial v'}{\partial x'} \right)_{p,T}} \right]. \quad (3)$$

Нетрудно убедиться, что уравнение (1*) можно получить из (3) только в том случае, если $v' = 0$, т. е., если признать, что в двойной идеальной по Льюису системе объем жидкой фазы равен нулю, а следовательно, и $(\partial v' / \partial x')_{p,T} = 0$.

Нами уже было показано [3], что к тому же самому результату приводит полученная Ю. С. Варшавским, А. Я. Кипнисом и А. Б. Шейниным «новая форма уравнения ван-дер-Ваальса для изотермического равновесия между жидкостью и паром» ([4] уравнение (5)), которая получается из (2), принимая: $pv'' = RT$ и $v' = 0$:

$$\frac{1}{p} \left(\frac{\partial p}{\partial x'} \right)_T = \frac{x'' - x'}{x' (1 - x')} \left[1 + x' \left(\frac{\partial \ln f_1}{\partial x'} \right)_{p,T} \right]. \quad (4*)$$

На «недоразумении» основаны не возражения М. А. Решетникова против вывода этого уравнения, а сам вывод, при котором авторы пренебрегают объемным свойством жидкой фазы двойной системы из летучих компонентов. Ссылка авторов на то, что введенное ими уравнение (4*) «ограничено лишь требованием удаленности состояния

* Обозначения: p , p_i , \bar{p}_i — соответственно, общее, парциальное и молярно-парциальное давление, p_i^0 — давление насыщенного пара исходного компонента, x — молярная доля первого компонента, v — молярный объем, f_i — коэффициент активности Льюиса, \bar{f}_i — молярная парциальная изохорно-изотермическая свободная энергия, T — температура. Индексы ' и '' означают соответственно жидкую и газовую фазу, * — звездочка при номере уравнения означает уравнение из статьи авторов [4].

стемы от критического» $v'' \gg v'$ и т. д. [5], не лежит в основе вывода и ни в какой степени не оправдывает их утверждения, что «уравнение (4*) нашей статьи [4] действительно является вполне общим по отношению к свойствам жидкой фазы» [5].

В работе [4] авторы пользуются определениями Льюиса [6]

$$p_1 = x''p = x'p_1^0 f_1 \quad \text{и} \quad p_2 = (1 - x'')p = (1 - x')p_2^0 f_2, \quad (5^*)$$

верждая вслед за Льюисом, что [величины f_i подчинены соотношению Гиббса — Дюгема для коэффициентов активности

$$x' \left(\frac{\partial \ln f_1}{\partial x'} \right)_{p, T} + (1 - x') \left(\frac{\partial \ln f_2}{\partial x'} \right)_{p, T} = 0. \quad (6^*)$$

Легко видеть, что в этом случае область применения соотношений (5*) ограничена только такими системами, состав газовой фазы которых равен составу жидкой фазы ($x'' = x'$).

Действительно, подставляя в (6*) значения f_i из (5*)

$$f_1 = \frac{x''p}{x'p_1^0} \quad \text{и} \quad f_2 = \frac{(1 - x'')p}{(1 - x')p_2^0}, \quad (7)$$

получаем:

$$\frac{x' - x''}{x''(1 - x'')} \left(\frac{\partial x''}{\partial x'} \right)_{p, T} = 0. \quad (8)$$

Так как $(\partial x'' / \partial x')_{p, T} \neq 0$ в системах, удовлетворяющих условию $p, T = \text{const}$, очевидно, (8) справедливо только при $x'' = x'$, а следовательно, и $(\partial \ln f_i / \partial x')_{p, T}$ всегда равны нулю.

Как известно, этому условию удовлетворяет смесь стереоизомеров, давление пара которой не зависит от ее состава.

Следует заметить, что полученный результат является вполне естественным, поскольку уравнение Гиббса — Дюгема применимо только к изобарно-изотермическим процессам. Поэтому применение коэффициентов активности совместно с уравнением Гиббса — Дюгема к системам, в которых давление пара является функцией состава: $p = f(x')$ и $x'' \neq x'$ лишено смысла.

Этот вывод несколько не противоречит широко известному факту вычисления коэффициентов активности по соотношениям, аналогичным уравнению Гиббса — Дюгема. Действительно, ван-дер-Ваальсом [1], т. 2, стр. 72) приближенно было получено уравнение Дюгема — Маргулеса*:

$$\left[x' \left(\frac{\partial \ln p_1}{\partial x'} \right)_{T, p} + (1 - x') \left(\frac{\partial \ln p_2}{\partial x'} \right)_{T, p} \right] = 0,$$

которого, пользуясь соотношениями Льюиса, легко получить

$$x' \left[\left(\frac{\partial \ln f_1}{\partial x'} \right)_{T, p} + (1 - x') \left(\frac{\partial \ln f_2}{\partial x'} \right)_{T, p} \right] = 0. \quad (9)$$

Нельзя не замечать принципиальной разницы в уравнениях (6*) и (9). Если для практических расчетов оба эти уравнения и равноценны, то термодинамический смысл все же совершенно различен. В отличие от (6*), уравнение (9) справедливо для систем, в которых $p = f(x')$ и $x'' \neq x'$.

Здесь уместно отметить, что последовательное применение утверждений Льюиса изотермическому равновесию раствор — пар приводит к некоторым интересным результатам. Действительно, помимо вывода уравнения (2) и (3) возможен и следующий вывод:

Из (5*) в соответствии с законом Дальтона имеем:

$$p = x'p_1^0 f_1 + (1 - x')p_2^0 f_2.$$

Откуда, дифференцируя при $T = \text{const}$ и учитывая (9) и (7), получаем:

$$\left(\frac{\partial p}{\partial x'} \right)_T = \left[p_1^0 f_1 + p_2^0 f_2 \right] \left[1 + x' \left(\frac{\partial \ln f_1}{\partial x'} \right)_T \right] = \frac{(x'' - x')p}{x'(1 - x')} \left[1 + x' \left(\frac{\partial \ln f_1}{\partial x'} \right)_T \right]. \quad (10)$$

* В литературе часто приписывают уравнению Дюгема — Маргулеса условие: $T = \text{const}$, например, Льюис [16], стр. 155) и другие. Запись уравнения Дюгема — Маргулеса при $T = \text{const}$, которую, следуя за ван-дер-Ваальсом, мы считаем более правильной, приведена у А. Эйкена [7], М. С. Вревского [8], А. В. Раковского [9], Я. Аносова [10] и других; у Г. Д. Гильденбрандта [11] запись этого уравнения пропорциональна.

Легко видеть, что правые части уравнений (2) и (10) различны. Различны также уравнения (4*) и (10).

Если учесть, что $\partial \ln f_i / \partial x'$ при $p, T = \text{const}$, как это следует из (5*), (6*) (7) и (8), всегда равны нулю, то уравнение (2) перепишется:

$$\left(\frac{\partial p}{\partial x'}\right)_T = \frac{x'' - x'}{x'(1 - x')} \left[\frac{RT}{v'' - v' - (x'' - x') \left(\frac{\partial v'}{\partial x'}\right)_{p, T}} \right]. \quad (11)$$

Уравнение (4*), названное авторами «новой формой уравнения ван-дер-Ваальса» становится тождественным с приближенным уравнением ван-дер-Ваальса (1*).

Из (11) для $p_1 = x''p$ получаем:

$$p_1 = x' \left\{ p + (1 - x') \left(\frac{\partial p}{\partial x'}\right)_T - (1 - x') \left[\frac{1 - \frac{p(v'' - v')}{RT} + \frac{x'(1 - x')}{RT} \left(\frac{\partial v'}{\partial x'}\right)_{p, T} \left(\frac{\partial p}{\partial x'}\right)_T \right] \left(\frac{\partial p}{\partial x'}\right)_T \right\} \quad (12)$$

а из (10) имеем

$$p_1 = x' \left\{ p + (1 - x') \left(\frac{\partial p}{\partial x'}\right)_T - (1 - x') \left[\frac{x' \left(\frac{\partial \ln f_1}{\partial x'}\right)_T}{1 + x' \left(\frac{\partial \ln f_1}{\partial x'}\right)_T} \right] \left(\frac{\partial p}{\partial x'}\right)_T \right\}. \quad (13)$$

Эти уравнения могут быть тождественны, если выражения, заключенные в квадратные скобки, равны между собой или, иначе, если $(\partial \ln f_1 / \partial x')_T$ в (13) аппроксимируется изменением объемных свойств системы.

Критикуя нашу работу [2], Ю. С. Варшавский, А. Я. Кипнис и А. Б. Шейнин [4, 5], по-видимому, просто не поняли ее, обвиняя нас в произвольном предположении о попарном равенстве слагаемых, входящих в уравнение (15*).

Нами введена новая молярная парциальная величина — молярное парциальное давление. В реальных системах из летучих компонентов эта величина $\bar{p}_i = f(x')$ при $v', T = \text{const}$. В идеальных системах эта величина постоянна. Парциальное давление компонента в системе так же, как в (12) и (13), определяется произведением молярной доли компонента в равновесной жидкой фазе на его молярное парциальное давление

$$p_1 = x' \bar{p}_1. \quad (14^*)$$

Пользуясь же законом Дальтона, получаем уравнение для давления пара системы

$$p = p_1 + p_2 = x' \bar{p}_1 + (1 - x') \bar{p}_2. \quad (15^*)$$

В двойных системах для молярных парциальных давлений компонентов справедливы следующие соотношения:

$$\bar{p}_1 = p + (1 - x') \left(\frac{\partial p}{\partial x'}\right)_{v', T}; \quad (16)$$

$$\left(\frac{\partial \bar{p}_1}{\partial x'}\right)_{v', T} = (1 - x') \left(\frac{\partial^2 p}{\partial x'^2}\right)_{v', T}; \quad (17)$$

$$x' \left(\frac{\partial \bar{p}_1}{\partial x'}\right)_{v', T} + (1 - x') \left(\frac{\partial \bar{p}_2}{\partial x'}\right)_{v', T} = 0 \text{ или } x' \left(\frac{\partial^2 \bar{p}_1}{\partial x' \partial v'}\right)_T + (1 - x') \left(\frac{\partial^2 \bar{p}_2}{\partial x' \partial v'}\right)_T = 0.$$

Подставляя (16) в (14*) и учитывая, что $p_1 = x''p$, получаем:

$$\frac{1}{p} \left(\frac{\partial p}{\partial x'}\right)_{v', T} = \frac{x'' - x'}{x'(1 - x')}. \quad (18)$$

Соотношение (18), как мы уже отмечали, хотя и аналогично (1*), но по условиям его вывода применимо к изохорно-изотермическим жидким фазам всех составов системы, находящихся в равновесии с газовой фазой, удовлетворяющей лишь закону Дальтона. Легко убедиться, что уравнение (18), отличное от (1*), можно получить и из (12), если на него наложить ограничения не только $v' = \text{const}$, но и $p(v'' - v') = RT$, при котором также выполняется применимость закона Дальтона.

Ю. С. Варшавский, А. Я. Кипнис и А. Б. Шейнин в [5], используя пример интегрирования ван-дер-Ваальсом ([1], стр. 229) уравнения (1*) при $x'' = 1$, снова пытаются доказать, что применимость (1*), (14*) и (18) ограничена законом Рауля.

покажем несостоятельность этой попытки авторов. Во-первых, авторы, заимствовав пример интегрирования ван-дер Ваальсом (1*) $\alpha'' = 1$, не заметили эквивалентности этого приема прямому наложению на дифференциальное уравнение (1*) следующих ограничений:

$$p = p_1^0 x', \quad \frac{\partial p}{\partial x'} = \text{const.} = p_1^0. \quad (19)$$

Витательно, подставляя (19) в (1*) и (18), получим $x'' = 1$. Этим устанавливается эквивалентность рассматриваемых ограничений.

Во-вторых, для закона Рауля имеем:

$$\frac{\partial p_1}{\partial x'} = \text{const. и } \frac{\partial^2 p_1}{\partial x'^2} = 0. \quad (20)$$

Перенумеруя (14*) и опуская в дальнейшем индексы у производных, получим

$$\frac{\partial p_1}{\partial x'} = \bar{p}_1 + x' \frac{\partial \bar{p}_1}{\partial x'}. \quad (21)$$

Подставляя (16) и (17), соотношение (21) перепишем

$$\frac{\partial p_1}{\partial x'} = p + (1 - x') \frac{\partial p}{\partial x'} + x' (1 - x') \frac{\partial^2 p}{\partial x'^2}. \quad (22)$$

Из (21) видно, что только при $\bar{p}_1 = \text{const}$, а следовательно, и $\partial \bar{p}_1 / \partial x' = 0$ получим как частный случай закон Рауля.

Так как в общем виде \bar{p}_1 , а следовательно, и $\partial p / \partial x'$ являются функцией состава, то в этом случае и $\partial p_1 / \partial x' = f(x')$. Из этого следует, что применимость (21) и (22) а следовательно, (1*) и (18) не ограничивается законом Рауля. Применительно к системам с нелетучим компонентом, не представляющим интереса для основной задачи, естественно, что $p = p_1$. В этом случае уравнение (17) перепишется

$$\frac{\partial \bar{p}_1}{\partial x'} = (1 - x') \frac{\partial^2 p_1}{\partial x'^2}. \quad (23)$$

Из (23) видно, что только при $\partial \bar{p}_1 / \partial x' = 0$, как частный случай получается закон Рауля. Поскольку в общем виде $\partial \bar{p}_1 / \partial x' = f(x')$, то $\partial^2 p_1 / \partial x'^2 \neq 0$, а вследствие применимости (23) не ограничивается законом Рауля. Поэтому утверждение авторов в [5], что «точка зрения М. А. Решетникова приводит к нелепому выводу», не состоятельна.

Из изложенного выше следует, что: 1) Принципиальной ошибкой Ю. С. Варшавского, А. Я. Кипниса и А. Б. Шейнина при выводе ими «новой формы уравнения ван-Ваальса» (4*) является пренебрежение объемным свойством жидкой фазы. 2) Поэтому, что утверждение Льюиса, будто коэффициенты активности f_i в (5*) подчинены соотношению Гиббса — Дюгема (6*) ($p, T = \text{const}$) является несостоятельным и при $x'' = x'$. Величины f_i подчинены приближенному уравнению Дюгема — Маргула (9). 3) Показана несостоятельность попыток Ю. С. Варшавского, А. Я. Кипниса и А. Б. Шейнина в [4,5] доказать, будто применимость соотношений (1*) и (18) ограничивается идеальными систем.

Академия наук СССР
Институт общей и неорганической
химии им. Н. С. Курнакова

Поступила
14.V.1959

ЛИТЕРАТУРА

1. Д. ван-дер-Ваальс — Ф. Констамм, Курс термостатики, т. I и II, ОНТИ, 1936.
2. М. А. Решетников, Докл. АН СССР, 68, 531, 1949.
3. М. А. Решетников, Ж. физ. химии, 32, 945, 1958.
4. Ю. С. Варшавский, А. Я. Кипнис и А. Б. Шейнин, Ж. физ. химии, 31, 1166, 1957.
5. Ю. С. Варшавский, А. Я. Кипнис и А. Б. Шейнин, Ж. физ. химии, 34, 241, 1960.
6. Льюис и Рендалл, Химическая термодинамика, М.—Л., 1936.
7. А. Эйкен, Основные начала физической химии, М.—Л., т. 1, 1929, стр. 267.
8. И. С. Вревский, Работы по теории растворов, М.—Л., 1953, стр. 120.
9. Дж. Р. Мартингтон — А. В. Раковский, Курс химической термодинамики, М.—Л., 1932, стр. 229.
10. В. Я. Аносов и С. А. Погондин, Основные начала физико-химического анализа, 1947, стр. 129.
11. Г. Гильденбранд, Растворимость неэлектролитов, М., 1938, стр. 13, 31.

К ВОПРОСУ О МЕХАНИЗМЕ КАТОДНОГО ВОССТАНОВЛЕНИЯ ЩАВЕЛЕВОЙ КИСЛОТЫ НА РТУТИ

Г. М. Флорианович

В статье В. В. Листопада и Г. И. Антропова [1] об электровосстановлении щавелевой кислоты результаты, полученные для ртутного электрода, объясняются предположением, что катодная реакция протекает при участии как молекул, так и анионов щавелевой кислоты, причем предполагается также, что восстановление этих частиц совершается за счет первичного присоединения ионов водорода, активированных в двойном слое в процессе разряда.

Такой вывод расходится с выводом наших прежних работ [2, 3] по электровосстановлению щавелевой кислоты на ртутном электроде, в соответствии с которыми первым актом в процессе электровосстановления щавелевой кислоты является присоединение первого электрона к недиссоциированным молекулам $\text{H}_2\text{C}_2\text{O}_4$.

Сравнивая результаты работ [1] и [2], В. В. Листопад и Г. И. Антропов делают вывод, что уравнение, используемое в нашей работе [2] для объяснения опытных закономерностей, является частным случаем уравнения, используемого в работе [1], потому оправдывается лишь при некоторых условиях. При этом как в трактовке и в самих результатах, так и в представлениях, развиваемых в работе [1], авторы допускают ряд неточностей, на что мы хотим обратить внимание.

Рассмотрим уравнения, к которым приводят теории, принятые для объяснения опытных данных в работах [1] и [2,3]. Представление о замедленном присоединении первого электрона к молекуле $\text{H}_2\text{C}_2\text{O}_4$ дает следующее уравнение для потенциала ртутного электрода [2,3]:

$$\varphi = \text{const} - \frac{RT}{\alpha F} \ln i + \frac{RT}{\alpha F} \ln c_{\text{НА}},$$

где i — плотность катодного тока и $c_{\text{НА}}$ — концентрация недиссоциированных молекул $\text{H}_2\text{C}_2\text{O}_4$.

Предположение же о замедленном присоединении протонов, которое может иметь место как для молекул, так и анионов щавелевой кислоты, приводит, по мнению авторов работы [1], к уравнению:

$$\varphi = \frac{RT}{\alpha F} \ln (1 + g c_R^0) - \frac{RT}{\alpha F} \ln i - \frac{RT}{\alpha F} \text{pH},$$

где c_R — общая аналитическая концентрация щавелевой кислоты в растворе, а g и β — постоянные, равные для ртутного электрода соответственно 10^{-2} и $0,53$.

Не рассматривая пока подробно вывода уравнений (1) и (2), ограничимся ответом на вопрос: как удовлетворяют этим уравнениям опытные данные, полученные в работах [1] и [3].

Проверка уравнения (1) показала, что оно удовлетворительно описывает экспериментальные данные, относящиеся к области рН от 1,5 до 4, о чем сообщалось уже в работе [3]. Правда, по мнению В. В. Листопада и Г. И. Антропова [1], полученные ими данные не удовлетворяют уравнению (1). В действительности, однако, рассмотрение результатов их работы показывает, что не подчиняются уравнению (1) только данные, полученные при рН 0,07; 0,67 и 1,03, так что вывод о справедливости уравнения (1) в области рН от 1,5 до 4 остается в силе*. Сказанное подтверждается расчетами нами данными, приведенными на рис. 1.

Следует отметить, что, проводя расчет по уравнению (1), авторы работы [1] вводят в него поправку, учитывающую долю тока i_{H^+} , расходуемого на процесс выделения водорода, и указывают на неприменимость уравнения (1) без такой поправки. Учитывая, что доля тока i_{H^+} , идущего на восстановление ионов H^+ , действительно необходим. Однако

* Из этой зависимости выпадают только значения φ для некоторых рН при очень низких i (ниже $3 \cdot 10^{-6}$ А/см²).

ть, принятый для этого в работе [1], не является единственным. В наших работах [2, 3], а также при расчете данных для рис. 1 соответствующая поправка вводилась путем вычитания из экспериментально определенных значений i величин i_{H^+} , рассчитанных по уравнению

$$\lg i_{H^+} = \frac{1675 - \varphi}{116} - pH,$$

описывающему процесс разряда ионов H^+ на ртути (φ — по н. к. э.). Поэтому приведенное в работах [2, 3] уравнение (1), естественно, применимо только после введения таких поправок.

Проверка уравнения (2) показала его пригодность для объяснения экспериментальных результатов как работы [1], так и работ [2, 3] в области pH от 1 до 3,8. Такая проверка для данных работ [2, 3] проводилась с учетом того, что эти данные уже включают поправки на токи i_{H^+} . Соответствующая кривая приведена на рис. 2.

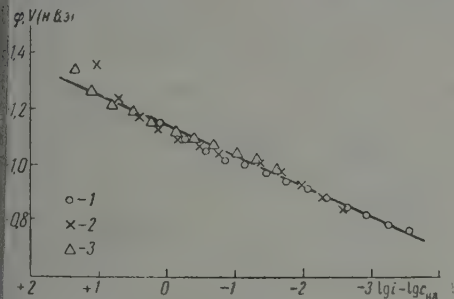


Рис. 1

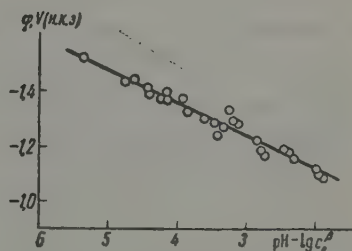


Рис. 2

рис. 1. Проверка применимости уравнения (1) для объяснения данных, полученных в работе [1]. В значения i внесены поправки на реакцию разряда ионов H^+ . Данные относятся к pH: 1 — 1,72, 2 — 2,86; 3 — 3,84

рис. 2. Проверка применимости уравнения (2) для объяснения данных, полученных в работах [2, 3]. Уравнение (2) использовано в форме, не учитывающей доли тока, идущего на выделение водорода [см. ниже уравнения (4) и (5)]

Из сказанного выше следует, что формально оба уравнения могут быть применены для объяснения опытных закономерностей по электровосстановлению щавелевой кислоты. Однако в пользу уравнения (1) говорит наличие в нем всего лишь одной константы, в отличие от двух констант в уравнении (2). Главное же, что может свидетельствовать о лучшей применимости уравнения (1) по сравнению с уравнением (2) для объяснения механизма электровосстановления щавелевой кислоты — это анализ представлений, лежащих в основе выводов того и другого уравнения.

Вывод уравнения (1), как известно [2, 3], основан на пропорциональности скорости катодной реакции концентрации недиссоциированных молекул щавелевой кислоты. При выводе уравнения (2) общий ток рассматривается авторами работы (1) состоящим из двух слагаемых:

$$i_{H^+} = k_1 c_{H^+} e^{-\alpha_1 \varphi F/RT} \quad (3)$$

$$i_{HA} = k_2 c_R' c_{H^+} e^{-\alpha_2 \varphi F/RT}, \quad (4)$$

где i_{HA} — ток электровосстановления щавелевой кислоты, c_{H^+} — концентрация ионов H^+ и c_R' — общая поверхностная концентрация щавелевой кислоты. Далее предполагается, что зависимость c_R' от объемной концентрации щавелевой кислоты c_R подчиняется уравнению Фрейндлиха

$$c_R' = k c_R^\beta, \quad (5)$$

также принимается, что $k \frac{k_2}{k_1} = g$ и $\alpha_1 = \alpha_2$.

Уравнение (2) получается при суммировании уравнений (3) и (4) с учетом уравнения (5). Ошибочность такого вывода состоит в том, что если, как это принимается

авторами работы [1], в реакции восстановления $\text{H}_2\text{C}_2\text{O}_4$ принимают участие все частицы шавелевой кислоты, а суммарная скорость реакции определяется скоростью присоединения ионов H^+ к этим частицам, то ток должен состоять по крайней мере из двух слагаемых

$$i'_{\text{HA}} = k_3 c_{\text{HA}} c_{\text{H}^+} e^{-\alpha_3 \varphi F / RT} \quad (6)$$

и

$$i''_{\text{HA}} = k_4 c_{\text{A}} c_{\text{H}^+} e^{-\alpha_4 \varphi F / RT}, \quad (7)$$

где c_{A} — концентрация анионов шавелевой кислоты. Сумма уравнений (6) и (7) могла бы быть эквивалентной уравнению (4) только при условии $\alpha_3 = \alpha_4$ и $k_3 = k_4 = k_2$. Последнее из этих условий, однако, едва ли может выполняться, что особенно наглядно показано в многочисленных работах чешских авторов.

По поводу высказанного в работе [1] соображения о том, что уравнение (1) в определенных условиях (когда отношение константы диссоциации шавелевой кислоты к концентрации ионов H^+ больше единицы) переходит в уравнение (2), следует заметить, что такой переход был бы действительно возможен при условии $c_{\text{A}} = c_{\text{R}}$, однако, только в том случае, если бы в уравнении (2) не принималась зависимость c'_{R} от c_{R} по формуле Фрейндлиха. Последнее же приводит к появлению в уравнении (2) выражения c_{R}^{β} , которое при $\beta \neq 1$ при любых условиях исключает возможность перехода уравнения (1) в уравнение (2). Кроме того, здесь следует отметить необоснованность применения уравнения Фрейндлиха к случаю адсорбции органических веществ на гладкой поверхности, а тем более для таких слабо адсорбирующихся соединений, как шавелевая кислота.

Исходя из приведенных соображений, можно полагать, что замедленной стадией в процессе электровосстановления шавелевой кислоты на ртутном электроде является одноэлектронный разряд недиссоциированных молекул $\text{H}_2\text{C}_2\text{O}_4$. Такой вывод подтверждается также результатами работ Кута [4], из которых следует, что в рассматриваемом случае восстановлению подвергаются не ионы, а недиссоциированные молекулы шавелевой кислоты. Возможные причины протекания процесса при $\text{pH} < 1,5$ и $\text{pH} > 4$ по другим механизмам, а также непригодность ряда других объяснений этого процесса при $1,5 < \text{pH} < 4$ была показана ранее [3].

Поступила
29.III.1959

ЛИТЕРАТУРА

1. В. В. Листопадов и Л. И. Антропов, Ж. физ. химии, **32**, 2042, 1958.
2. Г. М. Флорианович и А. Н. Фрумкин, Докл. АН СССР, **79**, 997, 1951.
3. Г. М. Флорианович, Ж. физ. химии, **31**, 626, 1957.
4. J. K u t a, Chem. listy, **49**, 261, 1467, 1955; Сб. чехосл. хим. работ «Химия», **21**, 697, 1956; Acta chim. Acad. scient. hung. **9**, 119, 1956.

К ВОПРОСУ О ПЕРЕНАПРЯЖЕНИИ МЕТАЛЛОВ ГРУППЫ ЖЕЛЕЗА

Н. В. Коровин

Электроосаждение металлов группы железа протекает с высокой поляризацией. Так, в сернокислом растворе при плотности тока $2 \cdot 10^{-3}$ А/см² катодная поляризация составляет для никеля 0,339 мВ, железа 180 мВ, а для меди лишь 33 мВ.

Применение новых методов изучения механизма катодного процесса показало, что поляризация при электроосаждении металлов группы железа имеет химический характер.

Быстрый метод снятия поляризационных кривых [2] указал на отсутствие концентриционной поляризации и наличие значительной химической поляризации при электроосаждении никеля. С. В. Горбачев [3], изучая зависимость $\lg i$ от $1/T$, также пришел к выводу, что поляризация при разряде ионов никеля имеет химический характер. В. А. Ройтер, В. А. Юза, Е. С. Полуян и Л. Копыл [4], измеряя токи обмена цинка, меди, никеля и железа, пришли к выводу, что причиной, вызывающей поляризацию этих металлов, является замедленный разряд ионов металла, но скорость электрохимической реакции у металлов группы железа в 10^3 — 10^4 раза меньше, чем у цинка.

Такое относительно медленное протекание процесса разряда ионов железа показывает, что реакция требует значительно большей энергии активации, чем разряд ионов цинка, меди и других металлов.

Уже давно была сделана попытка связать перенапряжение металлов группы железа с энергией гидратации или разницей между энергиями гидратации иона и связи с кристаллической решеткой [5, 6]. Эта точка зрения встретила возражения [7, 8], так как энергии гидратации, а также энергии отрыва ионов от решетки у металлов группы железа мало отличаются от соответствующих энергий других двухвалентных металлов, в частности энергии гидратации у меди даже больше.

Энергия гидратации — величина термодинамическая, а поэтому не обязательно влияет на кинетику процесса, которая обуславливается величиной энергии активации.

Учитывая, что на основании термодинамических величин, например, констант нестойкости комплексных соединений, нередко пытаются судить о скоростях процесса, в случае разряда ионов — о величине перенапряжения, следует остановиться на этом вопросе.

Рассмотрим связь между константами нестойкости комплексных соединений и энергиями активации комплексообразования. Подробный обзор скоростей комплексообразования приведен в статье [9]. На примере реакций комплексообразования Cr^{2+} , CrCl^{2+} и других, Таубе [9] показал, что более устойчивые комплексы не обязательно реагируют медленнее, чем менее устойчивые. Исследования Вьеррума и Паульона [10] по кинетике комплексообразования с некоторыми двухвалентными металлами в низких температурах показали, что наиболее медленно реакция комплексообразования протекает в случае комплексных соединений никеля и кобальта и почти мгновенно в случае соединений марганца, цинка и меди, хотя известно, что константы нестойкости комплексных соединений цинка мало отличаются, а у меди обычно ниже, чем никеля и кобальта. К. Б. Яцимирский [11], применив теорию кристаллических полей, показал, что энергия активации комплексообразования не обязательно имеет прямую связь с константами нестойкости.

Идея теории кристаллических полей, которую еще в 1952 г. Оргель [12] применил для объяснения свойств ионов переходных ионов, заключается в том, что электроны центрального иона избегают тех областей, где отрицательно заряженные адденды (или отрицательные полюсы аддендов — дипольных молекул) создают сильные электрические поля. При расположении аддендов по вершинам октаэдра d -уровни центрального иона расщепляются на два новых уровня: низший — триплет d_e и высший — дуплет

При понижении симметрии электрического поля происходит дальнейшее расщепление энергетических уровней на подуровни d_{xy} и $d_{x^2-y^2}$. От распределения электронов на уровнях и подуровнях зависит константа нестойкости комплексных ионов. По Б. Яцимирскому, в соответствии с теорией кристаллических полей, константа нестойкости комплексов двухвалентных элементов середины четвертого периода уменьшается до меди, после чего возрастает (рис. 1).

Кривая рис. 1 хорошо согласуется с экспериментальными данными Кельвина Мельхиора [13]. Ирвинг и Вильямс [14] для комплексных соединений с аммиаком,

этилендиамином, щавелевой кислотой, глицерином, салициловым альдегидом, т. этилентетраамином и других построили ряд комплексообразователей по величине констант нестойкости



который совпадает с рядом К. Б. Яцимирского.

Подобная закономерность констант нестойкости наблюдается для целого ряда других комплексообразователей [15], например комплексонов [16].

К. Б. Яцимирский объяснил кинетические особенности комплексных соединений на основании теории кристаллических полей. Для реакции замещения шестикординатных соединений им была предложена эмпирическая формула для расчета энергии активации комплексообразования

$$E = \alpha (n_{\varepsilon} - 1,5 n_{\gamma}),$$

где E — энергия активации комплексообразования; n — число электронов, находящихся в d -уровне; n_{γ} — число электронов, находящихся в d_{γ} -уровне; α — коэффициент, зависящий от природы аддендов и степени окисления иона.

На основании этого уравнения подсчитаны относительные значения величин энергии активации и нанесены на рис. 2, которая согласуется с экспериментальными данными, полученными в работе [10].

Сравнение рис. 1 и 2 показывает, что не всегда повышение устойчивости комплексов

комплекса увеличивает энергию активации комплексообразования. Так, Cu^{2+} образует более прочные комплексы, чем никель, в то время как энергия активации комплексообразования у меди в два раза меньше, чем у никеля. Константа нестойкости комплексных соединений цинка обычно мало отличается от константы нестойкости кобальта и никеля (на 1—2 порядка), в то время как имеется значительная разница в энер-

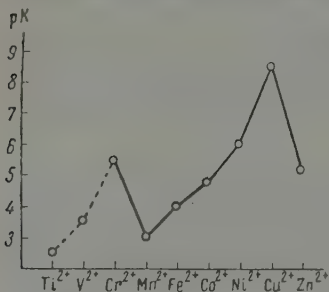


Рис. 1. Значения рК комплексов двухвалентных металлов по [20]

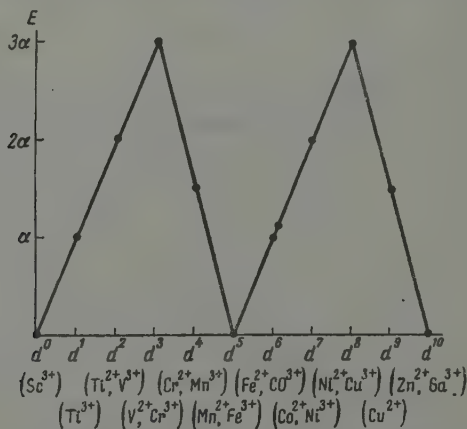


Рис. 2. Относительные значения энергии активации комплексообразования (E) некоторых двух- и трехвалентных ионов по [20]

гиях активации комплексообразования ионов этих металлов. Ионы цинка, у которых d -электронные уровни полностью заполнены, реагируют мгновенно, комплексообразование же ионов никеля и кобальта происходит относительно медленно.

Так как не существует прямой связи между прочностью комплексных соединений и энергиями активации комплексообразования, то не всегда следует связывать изменение поляризации при электроосаждении металлов из комплексных ионов с константами нестойкости последних. Константа нестойкости определяет в первую очередь ра-

есный потенциал, а величина поляризации определяется энергией активации флексообразования, если последняя больше, чем энергия активации десорбции энергии активации диффузии.

Имеющимся опытным материалом можно подтвердить это положение. В. А. Плеси и Н. Б. Миллер [17], изучая токи обмена в растворах комплексных ионов методом индикаторов, не установили параллелизма между обратимым потенциалом электрода и скоростью обмена, введение некоторых комплексообразователей, например аммиака, не уменьшает, а увеличивает ток обмена.

Из работы Н. В. Осетровой и П. С. Титова [8] видно, что в этилендиаминовых комплексах не наблюдается прямой связи между константами нестойкости и поляризацией.

Так, хотя константа нестойкости медного комплекса меньше, чем константа нестойкости никелевого комплекса, поляризация при выделении никеля значительно выше, чем при осаждении меди, разница между константами нестойкости комплексов меди и цинка составляет более пяти порядков, между тем поляризации их мало отличаются. Интересно отметить, что наблюдается параллелизм между поляризацией аллов, выделяющихся из простых солей и этилендиаминовых комплексов, можно предполагать, что наличие параллелизма между величинами энергии активации комплексообразования и гидратации. На отсутствие прямой связи между константой нестойкости и поляризацией также указывают данные А. И. Стабровского [19] и других авторов.

Относительно высокая энергия активации комплексообразования у переходных металлов связана с необходимостью перестройки их электронной структуры.

Если рассматривать гидратацию как частный случай комплексообразования, то вышеприведенные суждения можно распространить и на гидратацию.

Критерием взаимодействия ионов с молекулами является энергия гидратации. На рис. 3 приведены значения теплот гидратации по данным

К. Б. Яцимирского. Как видно, кривая рис. 3 воспроизводит кривую рис. 1. Такую же кривую можно построить, если использовать данные по энергиям гидратации других авторов [21]. Подобные же выводы пришли Оргель [12] и Ирвинг и Вильямс [14]. Следовательно, теорию кристаллических полей можно распространить и на гидратные комплексы.

Учитывая, что имеется параллелизм между pK комплексов и теплотой гидрата, полагаем, что существует параллелизм и между энергией активации комплексообразования и энергией активации гидратации и зависимость энергий активации гидратации от типа ионов будет аналогична кривой на рис. 2. Тогда величины энергии активации дегидратации можно построить в ряд

$$Zn < Fe < Cu < Co < Ni. \quad (2)$$

А. Т. Ваграмян и А. П. Попков [22], измеряя поляризацию быстрым методом, строили ряд

$$Zn < Cu < Fe < Co < Ni. \quad (3)$$

По данным Глестона [23] при одинаковых условиях величина перенапряжения железа равна 0,22 В, кобальта 0,25 В, никеля 0,33 В, что отвечает ходу кривой рис. 2.

Сравнивая ряды (2) и (3), можно заметить, что они совпадают, за исключением меди, которая выпадает из общей закономерности. Последнее можно объяснить, с одной стороны, тем, что величины энергии активации комплексообразования для меди считывались для соединения с координационным числом шесть, в то время как для меди более характерны тетрааquoкомплексы, для которых относительная энергия активации должна быть меньше, чем для гексакомплексов, и близка к энергии активации цинка. Бьеррум и Паульсон [10] показали, что изучаемые ими комплексы меди этилендиамином реагировали в несколько секунд, а с NH_3 , пиридином и тиоцианатом — мгновенно. По скорости комплексообразования они относят медь в одну группу с Zn^{2+} и Mn^{2+} , поэтому ряд (2) следует написать в другом порядке:

$$Zn < Cu < Fe < Co < Ni, \quad (4)$$

соответствует ряду перенапряжения, полученному А. Т. Ваграмяном и А. П. Попковым.

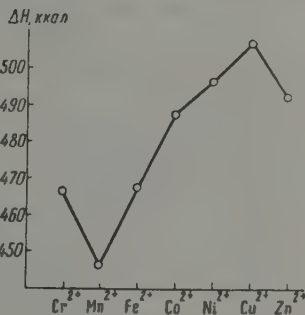


Рис. 3. Энергии гидратации двухвалентных металлов середины четвертого периода

Таким образом можно полагать, что имеется прямая связь между энергией активации комплексообразования, а также энергией активации дегидратации и напряжением металлов.

В последнее время проведены исследования [24], показывающие, что кинетские явления в электролитах зависят от ближней гидратации ионов, в то время энергия гидратации определяется дальней гидратацией.

Высокая энергия активации дегидратации ионов металлов группы железа объясняется особенностью их электронной структуры.

Металлы группы железа относятся к переходным металлам, которые имеют заполненные d -уровни.

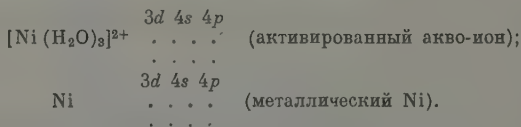
Полностью разработанной теории переходных металлов в настоящее время не имеется. Твердо лишь установлено, что в кристалле электронные полосы np , $n(n-1)d$ -уровней перекрываются, и электроны находятся в гибридном $ns(n-1)d$ -состоянии [25—27].

Незаполненность d -уровней, их гибридизация и незначительная разница между s - и d -уровнями в кристалле обуславливает особые свойства переходных металлов: высокую температуру плавления, относительно низкий коэффициент линейного расширения, каталитическую способность, а также высокое перенапряжение при электроосаждении и т. д.

Еще в 1926 г. Глессон [23] связал перенапряжение металлов группы железа с их электронным строением. Он считал, что эти металлы выделяются на катоде в стабильном электронном состоянии $3d^8 4s^2$, скорость перехода которого в стабильное электронное состояние $3d^9 4s^1$ определяет скорость всего процесса разряда. С этой точки зрения он подтвердил и позднее [28].

Мотт и Джонс [29] считают допустимым разделение s и d частей гибридного состояния. По их представлениям в твердом кристалле атомы никеля, например, имеют в целом по 0,6 электрона в $4s$ и 9,4 электрона в $3d$ -состояниях гибридной $3d4s$ полосы. Согласно их теории, можно представить себе существование атомов с различным числом электронов в $3d$ -оболочке, например, $3d^8$, $3d^9$, $3d^{10}$. С этой точки зрения, можно было бы согласиться с предположением Глессона. Однако из представлений Джонса и Мотта следует, что электронная конфигурация какого-нибудь атома рассматривается непрерывно меняющейся от одного электронного состояния к другому, причем как известно, скорость электронных перегруппировок в металлическом состоянии несоизмеримо велика по сравнению со скоростью химических процессов, поэтому переход из одного электронного состояния в другое в кристалле не может определять скорость всей электрохимической реакции.

Более обоснованную теорию выдвинул Лайонс [30], который считает, что при разряде ионов металлов сначала происходит образование активного комплекса с адсорбцией на катодной поверхности гидратированного иона с происходящей при адсорбции дегидратацией части молекул воды. Затем активированный аква-ион перестраивается до электронной конфигурации, близкой к электронной конфигурации металла. Эта стадия определяет скорость всего процесса, и заключительной стадией является переход необходимого числа электронов с металла на центральный ион, и тогда последних всех или большинства координационных групп. Причиной повышения поляризации у металлов группы железа Лайонс полагает разницу между электронной структурой активированного промежуточного триаковокомплекса и металлическим состоянием, причем электронное строение металла он принимает по Паулину:



Лайонс считает, что активационный процесс происходит не под действием электрического поля на катоде или в результате поверхностного эффекта, а в результате термического эффекта.

Основным недостатком теории Лайонса является то, что она не учитывает влияния двойного электрического поля на кинетику выделения металла и современные представления о химической и электрохимической кинетике.

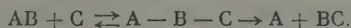
Он предполагает, что разряд металла происходит через активный комплекс, однако, по Лайонсу, медленным процессом является не образование активного комплекса, как принимается по современным представлениям химической кинетики, а дальнейшая перестройка этого комплекса. Кроме того, теория Лайонса не объясняет, почему перенапряжение увеличивается в ряду Fe, Co, Ni.

Хотя теория Лайонса имеет серьезные недостатки, она в большей степени, чем предшествующие теории, объясняет перенапряжение металлов, связывая их с электронным строением.

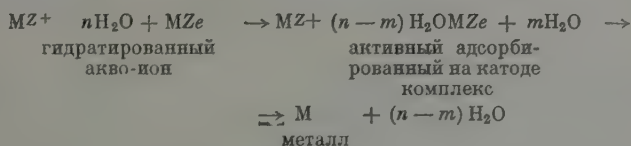
А. Н. Фрумкин [31] применил теорию химической кинетики к разработке теории замедленного разряда ионов водорода и считает, что с соответствующими уточнениями

дополнениями она может быть распространена на другие электрохимические процессы.

Согласно положениям химической кинетики, химическая реакция проходит через переходное состояние или активный комплекс, на образование которого необходима энергия активации



Распространяя это положение на электрохимическую реакцию разряда ионов металла, можно представить процесс разряда из аквокомплекса по схеме:



По нашим представлениям наиболее медленным является процесс образования активированного адсорбированного на катоде комплекса, на образование которого, т. е. ослабление или разрушение старых и образование новых связей, требуется энергия активации. Процессы полного перехода электронов на центральный ион, освобождения оставшихся молекул воды и вхождения атома в решетку происходят одновременно, относительно быстро и для металлов группы железа не определяют скорости всего процесса разряда.

Энергия активации при образовании активированного комплекса складывается из энергии активации дегидратации и энергии вхождения иона в двойной слой за вычитанием энергии связи активированного иона с решеткой металла.

Как мы показали ранее, энергия активации дегидратации должна возрасти по ряду



что соответствует ряду перенапряжений. Высокая энергия активации дегидратации связана с медленностью перестройки электронной структуры при этом. Подобную же электронную структуру имеют металлы платиновой группы. Поэтому они также осаждаются со значительным перенапряжением. Так, при осаждении родия из сернокислого раствора при плотности тока 0,2 А/см² перенапряжение составляет около 800 мВ [32]. Известно, что платина, палладий и иридий также выделяются с высоким перенапряжением.

Особенности электронной структуры металлов группы железа влияют и на энергию вхождения иона в двойной слой, и энергию связи активированного иона с решеткой.

Как показал Л. И. Антропов [33], у металлов группы железа и цинка на поверхности электрода образуется катионный слой вследствие того, что у них φ^0 (потенциал, выраженный по шкале нулевых зарядов) меньше нуля, в то время как у других металлов, в том числе меди, образуется анионный слой, так как $\varphi^0 > 0$.

Наличие катионного слоя создает дополнительный барьер для разряда ионов металлов группы железа и обуславливает поляризацию при осаждении цинка, хотя энергия активации дегидратации для цинка должна быть очень мала.

У металлов группы железа дополнительный энергетический барьер создается вследствие пассивирования поверхности катода, как установил А. Т. Ваграмян [1, 22]. Он полагает, что вследствие пассивирования уменьшается число активных центров. Влияние пассивирования может, по нашему представлению, приводить также к снижению энергии связи активированного иона с решеткой.

Таким образом высокое перенапряжение при электроосаждении металлов группы железа можно объяснить высокой энергией, необходимой для образования промежуточного активного комплекса, адсорбированного на поверхность электрода. Эта энергия складывается из энергии активации дегидратации, энергии активации для преодоления энергетического барьера двойного электрического слоя и пассивного слоя.

Распространяя положение электрохимической кинетики, разработанной А. Н. Фрумкин, можем полагать, что энергия активации разряда иона металлов группы железа будет зависеть от потенциала электрода и выражаться уравнением:

$$E = E_0 + \alpha F (\varphi - \varphi_0),$$

и поэтому, уменьшится со сдвигом потенциала электрода в отрицательную сторону.

ЛИТЕРАТУРА

1. А. Т. Ваграмян, Электроосаждение металлов, Изд-во АН СССР, 1950.
2. А. Н. Фрумкин, В. С. Багодкий, З. А. Иоффа, В. Н. Кабанов, Кинетика электродных процессов, Изд-во МГУ, 1952.
3. С. В. Горбачев, Ж. физ. химии, 24, 888, 1950, Тр. Совещания по электрохимии, Изд-во АН СССР, 1953; С. В. Горбачев, Ю. Юркевич, Ж. физ. химии, 28, 1120, 1954.
4. В. А. Ройтер, В. А. Юза, Е. С. Полуян, Ж. физ. химии, 13, 60, 1939; В. А. Юза, Л. Копыл, Ж. физ. химии, 14, 1075, 1940.
5. Леблан, Электрохимия, ГНТИ, 1931, Le Blanc, J. Chem. Soc., 61, 1429, 1927.
6. M. Volmer, Z. phys. Chem., 139, 597, 1926; М. Фольмер, Ж. физ. химии, 5, 319, 1934.
7. В. С. Иоффе, Успехи химии, 12, 438, 1943.
8. Л. И. Антропов, Ж. физ. химии, 28, 1336, 1954.
9. Н. Таубе, Chem. Rev. 50, 69, 1952.
10. Bjerrum Poulsen, Nature, 463, 1952.
11. К. Б. Яцимирский, Ж. неорган. химии, 1, 2451, 1956.
12. L. Orgel, J. Chem. Soc., 4756, 1952.
13. M. Calvin, N. Melchior, J. Amer. Chem. Soc., 70, 3270, 1948.
14. H. Irving, R. Williams, J. Chem. Soc., 2, 3192, 1953.
15. Stability Constants, p. II, Inorganic Chem. Soc. London, 1958.
16. Комплексометрия, Госхимиздат, М., 1958.
17. В. А. Плесков, Н. Б. Миллер, В сб. Тр. Совещания по электрохимии, Изд-во АН СССР, М., 1953.
18. Н. В. Осетрова, П. С. Титов, Научные доклады высшей школы, химия и химическая технология, № 4, 782, 1958.
19. А. И. Стабровский, Ж. физ. химии, 26, 7, 949, 1952.
20. К. Б. Яцимирский, Термохимия комплексных соединений, Изд-во АН СССР, 1951.
21. H. Strehlow, Z. Elektrochem, 56, 119, 1952.
22. Рефераты докладов и сообщений на VIII Менделеевском съезде. Секция теоретической и прикладной электрохимии, Изд-во АН СССР, М., 1958.
23. S. Glasstone, J. Chem. Soc., 2897, 1926.
24. О. Я. Самойлов, Структура водных растворов и гидратация ионов, Изд-во АН СССР, М., 1957.
25. L. Pauling, Phys. Rev., 54, 899, 1938.
26. Я. И. Френкель, Введение в теорию металлов, Гостеортехиздат, 1950.
27. В. Юм-Розери, Атомная теория для металлургов, Металлургиядат, 1955.
28. С. Глестон, Введение в электрохимию, ИИЛ, 1951.
29. N. F. Mott, H. Jones, The Theorie of the Properties of Metals and Alloys 1936.
30. E. Lyons, J. Electrochem. Soc., 101, 363, 1954.
31. А. Н. Фрумкин, Z. phys. Chem. (A), 160, 116, 1932; 164, 121, 1933; Ж. физ. химии, 24, 244, 1950.
32. В. И. Лайнер, Н. Т. Кудрявцев, Основы гальваностегии, т. II, Металлургиядат, 1957.
33. Л. Антропов, Успехи химии, 25, 1044, 1956.

К ВОПРОСУ О МЕХАНИЗМЕ РЕАКЦИЙ ДИЕНОВОВОГО СИНТЕЗА

М. Г. Гоникберг

Согласно теории переходного состояния, зависимость константы скорости химической реакции от давления определяется величиной изменения объема при образовании активированного комплекса. Таким образом в результате изучения кинетики реакции под давлением оказывается возможным найти объем активированного комплекса при различных давлениях (в частности, при атмосферном давлении) и сопоставить его с ожидаемым на основании тех или иных представлений о механизме реакции и строении переходного состояния. Подобный анализ результатов кинетических исследований значительно упрощается, если изучаемая реакция протекает в отсутствие растворителя, так как в этом случае отпадает необходимость учета изменения объема растворителя, которое может сопровождать образование активированного комплекса. К таким реакциям относятся, в частности, реакции диенового синтеза, механизм которых широко обсуждается в литературе (обзор по этому вопросу см. [1]).

Недавно Уоллинг и Пейсах [2] изучили кинетику димеризации изопрена при 60°C и давлениях от атмосферного до 8000 атм. Оказалось, что в изученной реакции изменение объема при образовании переходного состояния Δv^\ddagger при атмосферном давлении составляет — 24,3 см³/моль при 60° и — 25,6 см³/моль при 75°; в то же время изменение объема при реакции Δv достигает соответственно — 45,5 и — 48,7 см³/моль. Таким образом переходное состояние характеризуется значительно большим объемом, чем продукт реакции (на 21—23 см³/моль). На этом основании авторы делают вывод, что димеризация изопрена протекает через промежуточное образование бирадикала. Подтверждение этого вывода авторы указывают, что переход от шестичленных диенов и лимонена к соответствующим ненасыщенным углеводородам с открытой цепью сопровождается таким же увеличением объема (21—23 см³/моль), что и образование переходного состояния при деполимеризации димеров изопрена.

Таким образом можно предположить, что димеризация изопрена протекает по бирадикальному механизму, причем в первой определяющей скорости стадии образует бирадикал, который затем с меньшей энергией активации переходит в реакционную форму, обеспечивающую дальнейшую его циклизацию. Рассмотрение пространственных моделей показывает, что такой переход вполне возможен.

В конце своей статьи Уоллинг и Пейсах пишут: «Наши заключения о механизме непосредственно применимы, конечно, только к димеризации изопрена. Однако данные димеризации циклопентадиена также согласуются с представлением о промежуточном бирадикале. Здесь $\Delta v^\ddagger = -20,0$ см³/моль по сравнению с — 31,6 см³/моль для общего изменения объема. Снова разность представляется слишком большой для циклического переходного состояния». Следует отметить, что Уоллинг и Пейсах делают этот вывод на основании рассмотрения результатов работы Рэйстрика, Сапиро и Ньюитта о кинетике димеризации циклопентадиена под давлением. В настоящей статье будет показано, что такая интерпретация данных работы [3] ошибочна.

Рэйстрик, Сапиро и Ньюитт изучили кинетику димеризации циклопентадиена при 20, 30 и 40° в интервале давлений от атмосферного до 5000 атм. В этой же работе были получены данные о сжимаемости циклопентадиена, необходимые для расчетов кинетики под давлением. Авторы нашли, что константа скорости изученной реакции быстро возрастает с повышением давления. Позднее М. Г. Гоникберг и Л. Ф. Верещагин [4] измерили сжимаемость дициклопентадиена при 40° и давлениях до 800 атм (при более высоком давлении наблюдалось затвердевание дициклопентадиена). Авторы этой работы сопоставили величины изменения объема Δv при димеризации циклопентадиена при 1500 и 1000 атм и изменения объема при образовании активированного комплекса в этой реакции Δv^\ddagger при тех же давлениях. Значения Δv^\ddagger вычислялись по данным работы [3] по уравнению [5]

$$\Delta v^\ddagger = -RT \left(\frac{\partial \ln k}{\partial P} \right)_T,$$

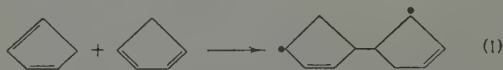
где k — константа скорости реакции.

Оказалось, что в реакции димеризации циклопентадиена величины Δv и Δv^\ddagger весьма близки между собой; расхождение между ними лежит в пределах погрешности

расчета Δv^* по кинетическим данным ($2-3 \text{ см}^3/\text{моль}^*$). Этот вывод справедлив для температур 20, 30 и 40°; лишь данные при 0° дают значительно меньшее (на 7—8 см^3) значение — Δv^* . Мы считаем, что эта изотерма, резко отличающаяся от трех остальных, не может быть использована для расчета Δv^* .

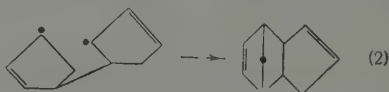
Близость значений Δv и Δv^* , а следовательно, и близость величин объемов циклопентадиена и переходного состояния, находятся в согласии с представлением о циклическом переходном состоянии в реакции димеризации циклопентадиена. Следовательно, можно с полным основанием полагать, что при образовании циклического переходного состояния при обратной реакции деполимеризации дициклопентадиена не должен существенно измениться, так как происходит лишь небольшое разрывание двух связей C—C.

Допустим, что димеризация циклопентадиена происходит с промежуточным образованием бирадикала, причем эта стадия процесса определяет скорость реакции. Очевидно, что преимущественная конформация такого бирадикала должна быть той, которая соответствует конфигурации $\Delta^{2,3'}$ -дициклопентенила:



В этом случае объем переходного состояния в стадии (1) должен быть близким к объему бирадикала, а объем последнего, в свою очередь, не должен существенно отличаться от объема $\Delta^{2,3'}$ -дициклопентенила. В литературе имеются данные [6], позволяющие найти величину молярного объема изомерного $\Delta^{2,2'}$ -дициклопентенила ($149,7 \text{ см}^3/\text{моль}$ при 20°); этот объем на $15 \text{ см}^3/\text{моль}$ больше молярного объема дициклопентадиена. Отсюда следует, что изменение объема при образовании переходного состояния при димеризации циклопентадиена в стадии (1) должно быть приблизительно в 10 раз меньше изменения объема Δv при реакции, составляющего около $-33 \text{ см}^3/\text{моль}$. Как было показано выше, такое заключение противоречит результатам экспериментов.

Таким образом из данных о кинетике димеризации циклопентадиена под давлением следует, что этот процесс не протекает через промежуточную стадию образования бирадикала, обладающего преимущественной (с точки зрения минимальной пространственной затрудненности) конформацией. К такому же выводу мы приходим, попытавшись осуществить на пространственной модели переход $\Delta^{2,3'}$ -дициклопентенильного бирадикала в реакционную конформацию, обеспечивающую его дальнейшую циклизацию с образованием эндо-дициклопентадиена:



Этот конформационный переход оказывается невозможным без разрыва связи, соединяющей два пятичленных цикла.

Из изложенного следует, что переходное состояние при димеризации циклопентадиена по своему характеру отличается от переходного состояния при димеризации изопрена, что свидетельствует, по-видимому, о различии механизма этих двух реакций диенового синтеза. В связи с этим представляет несомненный интерес тот факт, что димеризация изопрена не подчиняется обычным закономерностям в структурной направленности диенового синтеза [7].

Автор благодарен Я. К. Сыркину и А. С. Онищенко за обсуждение положений настоящей статьи.

Академия наук СССР
Институт органической химии
им. Н. Д. Зелинского

Поступило
31. III. 1959

ЛИТЕРАТУРА

1. Я. К. Сыркин, И. И. Моисеев, Успехи химии, **27**, 1321, 1958.
2. C. Walling, J. Peisach, J. Amer. Chem. Soc., **80**, 5819, 1958.
3. B. Raistrick, R. H. Sapiro, D. M. Newitt, J. Chem. Soc. (L), 1939.
4. М. Г. Гоникберг и Л. Ф. Верещагин, Ж. физ. химии, **23**, 1447, 1949.
5. M. Evans, M. Polanyi, Trans. Faraday Soc. **21**, 875, 1935.
6. Р. Я. Левина, Т. И. Танцырева, В. Н. Виноградова, Е. Г. Трецова, Докл. АН СССР, **85**, 107, 1952.
7. И. Н. Назаров, А. И. Кузнецова и Н. В. Кузнецов, Ж. физ. химии, **25**, 307, 1955.

* А на $11,6 \text{ см}^3/\text{моль}$, как пишут Уоллинг и Пейсах.

ПИСЬМА В РЕДАКЦИЮ

СПЕКТР ЭЛЕКТРОННОГО ПАРАМАГНИТНОГО РЕЗОНАНСА СВОБОДНОГО РАДИКАЛА, ПОЛУЧЕННОГО ОБЛУЧЕНИЕМ H_2O_2 УЛЬТРАФИОЛЕТОВЫМ СВЕТОМ

С. Д. Кайтмазов и А. М. Прохоров

В работах [1,2] сообщалось о наблюдении спектра электронного парамагнитного резонанса радикалов, полученных вымораживанием продуктов электрического разряда в H_2O или H_2O_2 . Последующее изучение этих радикалов * не дало возможности определить, какой радикал получается из разряда. Трудность определения обусловилась тем, что в разряде с избытком хватает энергии для разрыва любой связи и, кроме того, имеется широкая возможность для вторичных реакций, особенно, на поверхности.

В работе [3] авторы наблюдали спектр электронного парамагнитного резонанса радикала, полученного облучением 40%-ного раствора H_2O_2 ультрафиолетовым светом. Но в приведенной ими фотографии сигнал был помешан шумами, и поэтому сделать даже очевидные выводы из сравнения спектров не удалось.

В работе [4] на частоте 350 мегц наблюдался радикал, дающий спектр парамагнитного резонанса в виде дублета с расстоянием 10 гс. Он был приписан радикалу OH^\cdot . Этот радикал был получен облучением льда, и мог наблюдаться только при температуре $T = 4^\circ \text{K}$. Нам же радикал наблюдался при $T = 77^\circ \text{K}$. Поэтому мы могли воспользоваться результатами работы [4] для идентификации получаемых нами результатов.

Для определения радикала, получаемого из разряда, мы решили получить радикал H_2O_2 путем облучения ультрафиолетовым светом и сравнить его спектр электронного парамагнитного резонанса со спектром радикала из разряда.

Для получения радикала нами был специально изготовлен кварцевый сосуд Дьюара с впаянными шлифованными окнами для облучения помещенного в сосуд образца. Образцы приготавливались в плоской алюминиевой кювете диаметром 15 мм и глубиной 3 мм, которая охлаждалась жидким азотом. В кювету наливалась 98%-ная вода при температуре замерзания.

После того как вся жидкость промерзала, кювета вместе с образцом полностью погружалась в азот. В большинстве случаев нам удавалось получать прозрачные образцы без трещин.

На стенке кюветы имелся штифт, который вставлялся в мельхиоровую трубку, прикрепленную на крышке кварцевого сосуда Дьюара так, чтобы образец находился на расстоянии $\sim 1 \text{ мм}$ от него.

Источником света служила ртутная лампа сверхвысокого давления СВДШ-1000 (10 W) с полным световым потоком 50 000 лм. Тепловое излучение лампы поглощалось фильтром толщиной 5 см. Свет фокусировался на образец кварцевой линзой диаметром 10 см и фокусным расстоянием 13 см.

Спектр электронного парамагнитного резонанса облученного образца показывает наличие в образце свободных радикалов. Возникает вопрос, какие же радикалы могут получаться при облучении.

Энергия связи $\text{O} - \text{H}$ равна 110 ккал/моль, что соответствует кванту света с длиной волны $\lambda = 2600 \text{ \AA}$. Такие короткие волны практически отсутствуют в спектре ртут

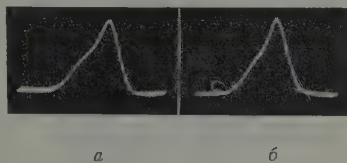


Рис. 1. Магнитное поле возрастает слева направо

* Изучение было проведено нами совместно с А. Б. Ценципер и результаты опубликованы.

на Mn^{2+} , марганец практически не попадал в электроосадок хрома. Замечательно является тот факт, что ион семивалентного марганца восстанавливается до металла, а ион марганца более низкой валентности (Mn^{2+}) в тех же условиях не разряжался на катоде. Это подтверждает высказанное предположение о механизме электроосаждения хрома.

Сплав хрома с селеном. Этот сплав получается из раствора хромовой серной и селеновой кислот. При этом обнаружено, что селен можно вводить как в виде селеновой, так и в виде селенистой кислоты.

Из раствора, содержащего 250 г/л CrO_3 ; 2,5 г/л H_2SO_4 и 36,2 г/л H_2SeO_4 , осаждался сплав следующего состава: 37% Se и 63% Cr. Выход по току сплава мало отличался от выхода по току хрома из того же раствора без добавки селена. Изменение условий электролиза, как и в предыдущем случае, приводило к изменению качества и процентного состава электролитического осадка. Как видно из этого примера, совместное восстановление ионов селена с хромом удается осуществить лишь благодаря введению в раствор селена в виде анионов SeO_3^{2-} и SeO_4^{2-} .

Сплав хрома с рением. Аналогично сплавам Cr — Mn и Cr — Se получается сплав хрома с рением при введении в электролит перренат-иона.

Следует отметить, что аналогичным образом можно получить сплавы, состоящие из трех и более компонентов, однако, не все анионы, как было обнаружено нами, могут быть взаимозаменяемыми, а, следовательно, не все анионы могут войти в пленку. Поэтому для увеличения числа сплавов металлов с хромом необходим индивидуальный подход в каждом отдельном случае.

Резюмируя все вышеизложенное, можно отметить, что на основании развитых представлений на механизм электроосаждения хрома разработан новый подход к решению вопроса электрохимического получения сплавов хрома с другими элементами, а также разработаны способы получения сплавов Cr — Mn, Cr — Se и Cr —

Академия наук СССР
Институт физической химии
Москва

Поступила
5.V.1959

ЛИТЕРАТУРА

1. C. Kasper, J. Res. Nat. Bur., Standards, 14, 693, 1935.
2. S. C. Shome, J. Indian Chem. Soc., 34, 399, 1957.
3. D. G. Rogers, A. A. Burr, J. Electrochem. Soc., 97, 67, 1950.
4. А. Т. Ваграмян и Д. Н. Усачев, Ж. физ. химии, 32, 1900, 1958.
5. А. Т. Ваграмян и Д. Н. Усачев, Докл. АН СССР, 98, 605, 1954. А. Т. Ваграмян, Д. Н. Усачев и Г. И. Червова, Теория и практика электролитического хромирования, Сб. статей, Изд-во АН СССР. М., 1957

ОПРОСУ О КОЭФФИЦИЕНТЕ ИСПОЛЬЗОВАНИЯ РАЗЛИЧНЫХ МЕТОДОВ РАЗДЕЛЕНИЯ ИЗОТОПОВ

А. Н. Мурин

Коэффициентом использования какого-либо процесса, ведущего к разделению изотопов, мы назовем отношение полученного при разделении приращения свободной энергии, вычисленной при стандартных условиях, к максимальной работе, которая может быть реализована при переходе от начального к конечному состоянию в рассматриваемом процессе.

В одной из предыдущих статей [1] мы рассмотрели коэффициент использования термодиффузионного метода разделения изотопов. Употребление нами при этом термина — коэффициент полезного действия — следует считать неудачным.

В предлагаемой статье мы сравним коэффициенты использования трех методов — термической диффузии, метода Герца (обычной диффузии через пористую перегородку) и метода обменных реакций по Юри. Ограничимся хорошо изученным случаем разделения изотопов азота и при том начальной стадией разделения, когда обогащаемый изотоп находится в изотопной смеси в малом количестве. Напомним, что азот состоит из двух стабильных изотопов N^{14} и N^{15} с относительным содержанием в 99,2 и 0,38%.

Сравнение различных методов мы будем вести по максимальному значению коэффициента использования для различных (однократных) процессов. Как было указано ранее, для термической диффузии в газе максимальный коэффициент использования (м. к. и.)

$$\text{м. к. и.} \approx \frac{\alpha^2}{10} \frac{R}{C_v} \frac{T_s}{\bar{T}} \left(\frac{c}{c_0} \right), \quad (1)$$

α — коэффициент термической диффузии ($\alpha = \alpha(\bar{T})$), m_1 — масса тяжелой, m_2 — легкой молекулы; R — газовая постоянная; C_v — молекулярная теплоемкость при постоянном объеме; T_s — стандартная температура 298° K; \bar{T} — средняя температура газа и, наконец, $c/c_0 = n$ — относительная концентрация тяжелого изотопа. Предположим, что в качестве рабочего газа при разделении изотопов азота выбран молекулярный азот N_2 . Значение α для смеси N_2^{14} и $N_2^{14}N^{15}$ можно принять равным 9 при 600° K [3].

В таком случае равенство (1) дает нам для максимального коэффициента использования термодиффузионного метода разделения изотопов N_2^{14} и $N_2^{14}N^{15}$.

$$\text{м. к. и.} \approx 3 \cdot 10^{-6} \left(\frac{c}{c_0} \right). \quad (2)$$

При разделении изотопов диффузией через пористую перегородку (первый метод Герца [3]) мы можем считать, что употребляемые насосы не обладают заметным откачивающим действием. Тогда

$$p_1' - p_1^0 = a \sqrt{m_1} p_1^0; \quad p_2' - p_2^0 = a \sqrt{m_2} p_2^0, \quad (3)$$

$p_{1,2}^{0'}$ — парциальные давления изотопов по разные стороны пористой перегородки (p^0); a — коэффициент, зависящий от параметров пористой перегородки и напора. Приращение свободной энергии из-за разделения изотопов при прохождении через пористую перегородку составляет на одну граммоллекулу газа

$$\Delta F_{\text{изот}} \approx RT_s \Delta n = RT_s \frac{\Delta n}{n} \left(\frac{c}{c_0} \right). \quad (4)$$

Потеря свободной энергии, связанная с расширением газа от давления P_2' давления P_2^0 ($P_1 \ll P_2$), составляет

$$\Delta F = RT \ln \frac{P_2'}{P_2^0}.$$

Заметим, что

$$\left| \frac{\Delta n}{n} \right| = \frac{\frac{P_1'}{P_2'} - \frac{P_1^0}{P_2^0}}{\frac{P_1^0}{P_1'} \cdot \frac{P_2^0}{P_2'}} = \frac{P_1' / P_1^0}{P_2' / P_2^0} - 1 \approx f - 1,$$

где f - фактор разделения при однократном прохождении газа через порист перегородку.

Равенство

$$\Delta F_{\text{изот}} = RT_s (f - 1) \frac{c}{c_0}$$

носит общий характер, не зависящий от метода разделения изотопов.

При помощи уравнений (4), (5) и (6) мы получаем для коэффициента использования (к. и.)

$$\text{к. и.} \approx \frac{1}{2} \frac{\frac{\Delta m}{m} \left(1 - \frac{P_2^0}{P_2'} \right)}{\ln \frac{P_2'}{P_2^0}} \left(\frac{c}{c_0} \right) \text{ при } \left(\frac{\Delta m}{m} \ll 1 \right),$$

Максимальные коэффициенты использования различных методов разделения изотопной смеси N_2^{14} , $N^{14}N^{15}$

Метод	м. к. и. / $\left(\frac{c}{c_0} \right)$
Диффузия (Герца [1])	$2 \cdot 10^{-2}$
Реакция химического обмена	$1 \cdot 10^{-2}$
Термодиффузия	$3 \cdot 10^{-6}$

где

$$\Delta m = m_1 - m_2; \quad m = (m_1 + m_2) / 2.$$

Это выражение достигает максимума при $P_2' / P_2^0 = 1$, т. е. в случае, мыслим только теоретически

$$\text{м. к. и.} \approx \frac{1}{2} \frac{\Delta m}{m} \left(\frac{c}{c_0} \right).$$

Надо отметить, что на практике к. и. отличается от своего максимального значения не больше, чем на порядок. Для разделения изотопов N_2^{14} и $N^{14}N^{15}$ по мето

Герца мы получаем из (9):

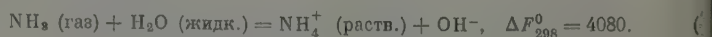
$$\text{м. к. и.} \approx 2 \cdot 10^{-2} \left(\frac{c}{c_0} \right). \quad (9)$$

В качестве примера применения метода обменных реакций мы можем рассмотреть обогащение азота тяжелым изотопом по реакции



Величина фактора разделения может быть получена как теоретически [4], так и из эксперимента. Экспериментально найденное значение $f = 1,031$ [5].

Для оценки величины затрачиваемой в этом случае свободной энергии можно воспользоваться уравнением [6]:



Откуда

$$\text{м. к. и.} = \frac{RT_s (f - 1)}{\Delta F_{298}^0} \left(\frac{c}{c_0} \right) \approx 4,5 \cdot 10^{-3} \left(\frac{c}{c_0} \right). \quad (12)$$

для сравнения м. к. и. для трех методов последний коэффициент [уравнение (12)] должен быть исправлен на разделение изотопов N_2^{14} и $N^{14}N^{15}$, что дает

$$\text{м. к. и.} = 9 \cdot 10^{-3} \left| \frac{c}{c_0} \right| \approx 1 \cdot 10^{-2}. \quad (13)$$

Полученные результаты могут быть сведены в таблицу.

Поступило
17.V.1959

ЛИТЕРАТУРА

- А. Му р и н, Докл. АН СССР, **43**, 400, 1944.
К. Д ж о н с и В. Ф е р р и, Разделение изотопов методом термодиффузии, ИЛ, 1947, стр. 29.
G. Hertz, Z. Physik, **79**, 108, 700, 1932.
H. C. Urey and L. Y. Greiff, J. Amer. Chem. Soc., **57**, 321, 1935.
H. G. Thode, R. L. Graham and J. A. Ziegler, Canad. J. Res. B., **23**, 40, 1945.
Л ь ю и с и Р е н д а л л, Химическая термодинамика, ИЛ, 1936.

НОВЫЙ МЕТОД ИССЛЕДОВАНИЯ РАДИКАЛЬНОЙ РЕАКЦИОННОСТИ ОРГАНИЧЕСКИХ СОЕДИНЕНИЙ

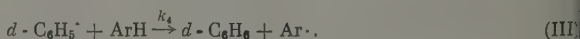
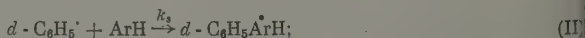
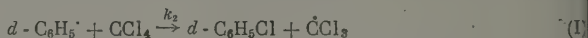
Х. С. Багдасарян и Р. И. Милютинская

В последние годы для количественного исследования радикальной реакционности широкое применение нашел метод конкурирующих реакций. Этот метод позволяет сравнительно простым путем получить ценные данные о связи между скоростью элементарных реакций и строением реагирующих молекул.

Нами разработан новый вариант метода конкурирующих реакций, который в ряде отношений имеет существенные преимущества по сравнению с другими вариантами этого метода. Идея предлагаемого метода заключается в применении меченого радикала R^{\bullet} и определении продуктов реакции путем изотопного разбавления. Эта методика позволяет применить вещества — источники радикалов в малых концентрациях, порядка 0,01 моль/л. В этих условиях можно пренебречь реакциями радикалов R^{\bullet} с продуктами реакции, а также побочными реакциями различных радикалов с веществом, генерирующим радикалы R^{\bullet} . Второе важное преимущество метода заключается в том, что его применение делает излишним количественное выделение продуктов реакции.

Этот метод исследования конкурирующих реакций нами был осуществлен в следующем конкретном варианте при изучении реакций фенильного радикала с ароматическими соединениями.

Перекись бензоила (0,1—0,25 г), содержащая 54,6% дейтерия, подвергалась полному разложению при 100° в смеси четыреххлористого углерода и исследуемого вещества ArH (общий объем 25—30 мл) в отсутствие воздуха. Дейтерофенильные радикалы, возникающие при распаде перекиси бензоила, в основном вступают в следующие три реакции:



Вещество C_6H_5ArH является продуктом присоединения $C_6H_5^{\bullet}$ к ArH .

После окончания реакции к реакционной смеси добавлялись хлорбензол и бензол в количестве 1—3 г (точные навески), и смесь подвергалась разгонке на ректификационной колонке. Бензол отгонялся вместе с четыреххлористым углеродом, а хлорбензол собирался в интервале 0,5°. В зависимости от состава реакционной смеси и эффективности колонки (применялись колонки с эффективностью от 8 до 30 тарелок) удавалось выделить от 0,4 до 1,5 мл хлорбензола с показателем преломления, отличающимся не больше, чем на пять единиц в четвертом десятичном знаке, от показателя преломления исходного хлорбензола. Бензол в смеси с четыреххлористым углеродом нитровался, после чего четыреххлористый углерод отгонялся в вакууме от нитробензола. В воде, полученной после сжигания хлорбензола и нитробензола, определялось содержание дейтерия капельным методом. Было показано, что в условиях наших опытов не протекают обменные реакции, в частности, нитрование бензола протекает без изотопного эффекта [1, 2].

Были поставлены опыты с бензолом, нитробензолом, нафталином и кумолом, полученные результаты собраны в таблице.

В таблице приведены значения констант k_3/k_2 и k_4/k_2 , которые вычислены из следующих очевидных равенств:

$$\frac{\Delta C_6H_5ArH}{\Delta C_6H_5Cl} = \frac{k_3 [ArH]}{k_2 [CCl_4]}$$

$$\frac{\Delta C_6H_6}{\Delta C_6H_5Cl} = \frac{k_4 [ArH]}{k_2 [CCl_4]}$$

Выход продуктов реакции при распаде перекиси бензоила в смеси AgH и CCl_4 при 100°

Молекула AgH	Мол. доля AgH	$\frac{\Delta\text{CO}_2}{\Delta\text{ПБ}}$	$\frac{\Delta\text{C}_6\text{H}_6}{\Delta\text{ПБ}}$	$\frac{\Delta\text{C}_6\text{H}_5\text{Cl}}{\Delta\text{ПБ}}$	$\frac{k_3}{k_2}$	$\frac{k_4}{k_2}$
бензол	0,85	0,85	—	0,365	0,235	—
нитробензол	0,71	0,98	0,072	0,26	1,01	0,11
»	0,80	0,89	0,046	0,17	0,96	0,07
»	0,79	0,89	0,099	0,16	1,04	0,16
нафталин	0,25	0,57	0	0,41	4,4	—
»	0,13	0,76	0	0,53	6,0	—
кумол	0,32	0,775	0,26	0,49	—	1,1

Величина $\Delta\text{C}_6\text{H}_5\text{AgH}$ определялась по разности

$$\Delta\text{C}_6\text{H}_5\text{AgH} = \Delta\text{CO}_2 - \Delta\text{C}_6\text{H}_5\text{Cl} - \Delta\text{C}_6\text{H}_6.$$

Если величину k_3/k_2 для бензола принять за единицу, то для нитробензола и нафталина получим значения 4 и 22. Эти величины очень близки к тем, которые были получены Геом и Виллиамсом [3] другим методом.

Если предположить, что в реакции с нитробензолом бензол образуется по реакции (III), то для отношения k_4/k_2 получим величину 0,11 (среднее из трех опытов). Таким образом для фенильного радикала вероятность присоединения к кольцу нитробензола в ~10 раз больше, чем вероятность отрыва атома водорода от кольца. Этот результат согласуется с нашим исследованием [2], проведенным другим методом. Для нафталина скорости этих реакций отличаются еще больше. Для реакции с кумолом отношение k_4/k_2 равно 1,1. Эта величина в основном характеризует реакционность третичного атома водорода. Если считать что в молекуле нитробензола все атомы водорода отрываются одинаково легко, то реакционность третичного атома водорода в кумоле в 50 раз больше, чем реакционность атомов водорода фенильного кольца.

Приведенные данные показывают некоторые возможности предложенного метода. В настоящее время нами ведутся этим методом систематические исследования.

Физико-химический
институт им. Л. Я. Карпова
Москва

Поступила
18.VI.1959

ЛИТЕРАТУРА

- L. Melander, Nature, 163, 599, 1949.
Р. И. Милютинская, Х. С. Багдасарьян и Л. А. Израилевич,
Ж. физ. химии, 31, 1019, 1957.
D. Hey, G. Williams, Disc. Faraday Soc., 14, 246, 1953.

О ВОССТАНОВЛЕНИИ ГЕОМЕТРИЧЕСКИХ ИЗОМЕРОВ НЕКОТОРЫХ ПРОИЗВОДНЫХ 1,2-ДИБРОМЭТИЛЕНА НА РТУТНОМ КАПЕЛЬНОМ ЭЛЕКТРОДЕ

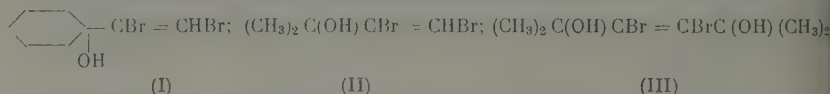
С. Г. Майрановский и Л. Д. Бергельсон

Геометрическая изомерия органических соединений оказывает определенное влияние на их электрохимическое поведение. Различие между изомерами проявляется в стерических препятствиях, затрудняющих подход электрохимически активной группы к поверхности электрода, а также в адсорбционных, сольватационных и других свойствах изомеров, а иногда, особенно, если изомерия затрагивает одинаковые электрохимически активные группы, может меняться и механизм электродного процесса.

В настоящей статье приведены результаты полярографического исследования геометрических изомеров некоторых производных 1,2-дибромэтилена с гидроксильной группой в аллильном положении, и показано, что *цис*- и *транс*-изомеры значительно отличаются по своим деполаризационным свойствам.

Экспериментальная часть

Исследованы три пары соединений: 1-(1'-оксипциклогексил)-1,2-дибромэтилен (I), 3-окси-1,2-дибром-3-метилбутен-1 (II) и 2,5-диоксип-3,4-дибром-2,5-диметилгексен (III) [1]:



Полярограммы снимались в 60%-ном метанольном растворе при 25° на фоне LiBr или $(\text{C}_2\text{H}_5)_4\text{NBr}$ по описанной ранее методике [2]. Капельный электрод имел лопаточку для принудительного отрыва капль [3]; $m = 1,62 \text{ мг/сек}$, $t = 0,35 \text{ сек}$.

Все изученные вещества дают на полярограммах по одной ступени восстановления, предельный ток которых имеет диффузионный характер. При равных концентрациях деполаризатора волны *цис*- и *транс*-изомеров имеют практически одну и ту же высоту. Потенциалы полувыдел *транс*-изомеров всех изученных веществ более положительны, чем $E_{1/2}$ волн *цис*-производных. Это связано, видимо, с более легким *транс*-элиминированием двух соседних атомов брома.

В случае соединения (I) волна *транс*-изомера очень сильно вытянута. Обратная величина наклона графика $E - \lg i / (i_{\text{ур}} - i)$ для волны *транс*-(I) равна $\sim 200 \text{ мВ}$, тогда как для *цис*-(I) она составляет $\sim 165 \text{ мВ}$ [в $0,1N (\text{C}_2\text{H}_5)_4\text{NBr}$]. Наклон волн, как известно, определяется величиной $RT / \alpha n_a F$, следовательно, при переходе от *транс*-(I) к *цис*-форме меняется либо коэффициент переноса α , либо увеличивается число электронов, переносимых в потенциал определяющей стадии n_a . Если справедливо последнее допущение, то при восстановлении *цис*-(I) может частично происходить одновременный перенос двух электронов (т. е. $n_a = 2$) и отрыв сразу обоих атомов Br. Значения $E_{1/2}$ для *транс*- и *цис*-(I) равны, соответственно, $-1,15$ и $-1,80 \text{ В}$ (относительно к. э.).

В случае соединения (II) *транс*-изомер дает в $0,1N \text{ LiBr}$ растянутую (наклон $\sim 140 \text{ мВ}$) волну с $E_{1/2} = -1,42 \text{ В}$, тогда как волна *цис*-(II) сливается с разрядом фоны и определить ее $E_{1/2}$ не удалось.

Цис- и *транс*-изомеры соединения (III) дают в $0,1N \text{ LiBr}$ растянутые волны с почти одинаковым наклоном ($\sim 200 \text{ мВ}$); их $E_{1/2}$ равны $-1,19$ и $0,72 \text{ В}$, соответственно (против н. э.).

Микрокулонометрический электролиз, проведенный на примере *транс*-изомера (III) дал для числа электронов, участвующих в электродном процессе, $n = 2$. Очевидно, при восстановлении изученных нами веществ отщепляются атомы Br и

образуются соответствующие апетиленовые производные. Это подтверждается тем, что исследованный нами в качестве примера 2,5-диметил-гексин-3-диол-2,5 [продукт отщепления двух атомов брома от соединения (III)] на фоне 0.1N (C₂H₅)₄NBr оказался полярографически неактивным.

Академия наук СССР
Институт органической химии
им. Н. Д. Зелинского

Поступила
29.III.1959

ЛИТЕРАТУРА

1. И. Н. Назаров, Л. Д. Бергельсон, Ж. общ. химии, 27, 1540, 1957.
 2. С. Г. Майрановский, А. А. Файнзильберг, С. С. Новиков, В. А. Климова, Докл. АН СССР, 125, 351, 1959.
 3. Е. М. Скобеч, Н. С. Кавецкий, Заводск. лаборатория, 15, 1299, 1949.
-

СОДЕРЖАНИЕ

О. М. Полторак. Термодинамика дисперсных систем	
Л. И. Фрейман и В. А. Титов. Диффузия электролитического водорода через железные пластинки и механизм перенапряжения водорода на железе	2
М. Е. Манжелей и Л. В. Войтенко. Электровосстановление акриловой кислоты	2
А. Н. Кузнецов. Кинетика и механизм восстановления окислов никеля водородом	3
Л. О. Мелешко. Исследование зависимости линейной скорости кристаллизации от толщины слоя	3
В. А. Комаров, Е. А. Черникова, Г. Р. Квятковская и Е. А. Пиганова. Влияние примеси некоторых окислов к окиси алюминия на каталитическую активность последней в реакции разложения изопропилового спирта	4
В. В. Ястребов. Физико-химия концентрированного озона. VIII.	4
В. М. Вдовенко и Д. Н. Суглобов. Изучение растворов солей уранила в органических растворителях при помощи инфракрасных спектров поглощения	5
Г. А. Богдановский и А. И. Шлыгин. О механизме электроокисления спиртов и альдегидов на платине. III.	5
А. М. Сухотин. Об ассоциации ионов в растворах. IV.	6
С. С. Бацанов. Рефракция водородной связи в неорганических соединениях	6
В. Р. Плюснин и Е. П. Бабин. Закономерности замещения атомов водорода в безольном ядре алкильными группами. VI	7
Д. К. Белащенко. Теория влияния группесей на самодиффузию	8
Г. А. Аксельруд. Теория диффузионного извлечения веществ из пористых тел. II.	8
Ю. Каган. О кинетике кипения чистой жидкости	9
III. Д. Заалишвили. Применение интерполирующего полинома эрмита для передачи физико-химических данных. I.	10
А. А. Беркенгейм. О скорости распространения ультразвука в растворах фенола в воде	10
О. К. Давтян. О применении теории групп в квантовой химии. I.	10
Л. И. Кришталек. Скорости элементарных стадий и механизм катодного выделения водорода. II.	11
Н. А. Измайлов и В. С. Черный. Термодинамические свойства электролитов в неводных растворах. VII.	12
Б. П. Татаринев и В. Ф. Фурсенко. Электропроводность сильно разбавленных растворов Na_2HPO_4 и K_2HPO_4	13
В. Т. Славинский. Природа валентных сил связи в структуре стекла и их роль в процессе вязкого течения	13
А. В. Карякин. Сенсибилизация окисления и тушение флуоресценции кислородом органических веществ	14
Ю. М. Полухаров. Исследование строения и магнитных характеристик электролитических осадков ферромагнитных металлов и сплавов в зависимости от условий их получения. II.	15
С. П. Мискиджян. Электролитическая диссоциация в неводных системах. VIII.	15
С. И. Нанко. Каталитическое окисление аммиака в неводных растворах. I.	16
Д. Папоушек и Я. Кучирек. «Структурные вклады» в значения вторых производных термодинамических потенциалов жидкостей	16
О. И. Лейпунский. О зависимости от давления скорости горения черного пороха	17

Методы и техника физико-химического исследования

Л. А. Шапунов, С. И. Кричмар и Э. Г. Сумбаев. Фотоэлектрический прибор для люминесцентных определений	182
Н. А. Иедумов. Высокотемпературный метод бесконтактной термографии	184
А. М. Бродский, Р. А. Калинин и К. П. Лавровский. Метод исследования механизма быстрых реакций в турбулентном реакторе при помощи меченых атомов	192
С. П. Детков. К дифференциальному эффузионному методу определения давления пара	196
К. В. Зотова и А. А. Трапезников. Применение метода уравновешивания пластины для исследования поверхностного натяжения растворов полукolloидных веществ при медленном установлении равновесия	200
Ю. В. Филиппов и Ю. Н. Китнев. Озонаторы из пластмасс	209

Дискуссия

О. С. Варшавский, А. Я. Кипнис и А. Б. Шейнин. Еще раз о приближенном уравнении ван-дер-Ваальса	211
А. А. Решетников. Некоторые вопросы изотермического равновесия раствор—пар по ван-дер-Ваальсу и по Льюису	212
М. Флорианович. К вопросу о механизме катодного восстановления щавелевой кислоты на ртути	216
В. В. Коровин. К вопросу о перенапряжении металлов группы железа	219
Г. Г. Гоникберг. К вопросу о механизме реакций диенового синтеза	225

Письма в редакцию

Д. Кайтмазов и А. М. Прохоров. Спектр электронного парамагнитного резонанса свободного радикала, полученного облучением H_2O_2 ультрафиолетовым светом	227
Н. Усачев и А. Т. Ваграмян. Об условиях электролитического получения сплавов хрома с другими элементами	229
Н. Мури. К вопросу о коэффициенте использования различных методов разделения изотопов	231
С. Багдасарьян и Р. И. Милютинская. Новый метод исследования радикальной реакционности органических соединений	234
Г. Майрановский и Л. Д. Бергельсон. О восстановлении геометрических изомеров некоторых производных 1,2-дибромэтилена на ртутном капельном электроде	236

CONTENTS

M. Poltorak. Thermodynamics of Disperse Systems	3
I. Freiman, V. A. Titov. Electrodiffusion and the Mechanism of Hydrogen Overvoltage on Iron	23
E. Manzhel and L. V. Voitenko. Electroreduction of Acrylic Acid	27
N. Kuznetsov. The Kinetics and Mechanism of Reduction of Nickel Oxide by Hydrogen	32
O. Meleshko. A Study of the Linear Rate of Crystallization as Function of Layer Thickness	39
A. Komarov, E. A. Chernikova, G. R. Kvyatkovskaya and E. A. Piganova. The Effect of Some Oxide Admixtures to Aluminum Oxide on Its Catalytic Activity in the Decomposition of Isopropyl Alcohol	43
V. Yastrebov. The Physical Chemistry of Concentrated Ozone. VIII. On the Thermal Propagation of Flame in Gaseous Mixtures of Ozone	46
M. Vdovenko and D. N. Suglobov. Infra Red Absorption Study of Uranyl Solutions in Organic Solvents. I. The Spectra of Coordination Bound Water in Hydrated Uranyl Nitrate in the Region of Valence Vibration Frequencies	51
A. Bogdanovskii and A. I. Shlygin. Mechanism of the Electrooxidation of Alcohols and Aldehydes on Platinum. III. On the Shape of the Polarization Curves for the Oxidation of Ethyl Alcohol	57
M. Sukhotin. Ion Association in Solutions. IV. The Transference Numbers and the Problem of Ion Triplets	63
S. Batsanov. Refraction of the Hydrogen Bond in Inorganic Compounds	68
G. Plushin and E. P. Babin. The Laws of Alkyl Substitution for Hydrogen in the Benzene Nucleus. VIII. On Equilibrium in the Processes of Benzene Alkylation by Propylene in the Presence of Aluminum and Hydrogen Fluoride	78
K. Belaschenko. The Theory of the Effect of Impurities on Self-Diffusion	83
A. Akselrod. The Theory of the Diffusional Extraction of Substances from Porous Bodies. II. Kinetics of Extraction from a Polydisperse Mixture of Porous Particles	86
I. Kagan. On the Kinetics of Boiling	92
D. Zaalishvili. Application of Hermit's Interpolation Polynomial to Describe Physico-Chemical Data	102
A. Berkengeim. On the Velocity of Ultrasonic Wave Propagation in Aqueous Solutions of Phenol	105

- O. K. Davtyan. On the Possibility of Simplifying the Group Theory Method in Quantum Chemistry. I
- L. I. Krishtalik. The Rate of the Elementary Stages and the Mechanism of the Cathodic Evolution of Hydrogen
- N. A. Izmailov and V. S. Chernov. Thermodynamic Properties of Electrolytes in Non-Aqueous Solutions. VII
- B. P. Tatarinov and V. F. Fursenko. Electroconductivity of Highly Dilute Na_2HPO_4 and K_2HPO_4 Solutions
- V. T. Slavyanskiĭ. The Nature of the Valence Bond Forces in the Structure of Glass and the Part They Play in Viscous Flow
- A. V. Karyakin. Oxidation Sensitization of Organic Substances and Extinction of Their Fluorescence by Oxygen
- Yu. M. Polukarov. Studies of the Structure and Magnetic Characteristics of Electrolytic Deposits of Ferromagnetic Metals and Their Alloys with Respect to the Conditions of Their Formation. II.
- S. P. Miskihzhyan. Electrolytic Dissociation in Non-Aqueous System. VIII
- S. I. Papko. Catalytic Oxidation of Ammonia in Non-Aqueous Solutions. I
- D. Papoušek and J. Kučerek. Structural Contributions to the Values of the Second Derivatives of the Thermodynamic Potentials of Liquids
- O. I. Leipunskiĭ. The Pressure Dependence of the Burning Rate of Black Powder

Experimental Methods and Techniques

- L. A. Shapunov, S. I. Krichmar and E. G. Sumbaev. Photoelectric Instrument for Luminescence Determinations
- N. A. Nedumov. A Method of Contact-less Thermography
- A. M. Brodsky, R. A. Kalinenko and K. P. Lavrovskii. A Method of Investigating Fast Reactions in a Turbulent Reactor with the Aid of Tracer Atoms
- S. P. Detkov. On the Differential Effusion Method of Determining Vapor Pressure
- K. V. Zotova and A. A. Trapeznikov. Application of the Plate Equilibrium (Wilhelmy) Method for Studying the Surface Tension of Solutions of Semi-Colloidal Substances during Slow Equilibration
- Ju. V. Filippov and Ju. N. Zhitnev. Plastic Ozonizers

Discussion

- Yu. S. Varshavskii, A. Ya. Kipnis and A. V. Sheinin. Once Again on the Approximate Equation of Van der Waals
- M. A. Reshetnikov. Some Problems of the Van der Waals and the Lewis Solution-Vapor Equilibria
- G. M. Florianovich. On the Mechanism of Cathodic Oxalic Acid Reduction on Mercury
- N. V. Korovin. On the Overvoltage of the Iron Group Metals

Communications to the Editor

- M. G. Gonikberg. On the Mechanism of the Diene Synthesis
- S. D. Kaitmazov and A. M. Prokhorov. The Electron Resonance Spectrum of the Free Radical Formed during Ultraviolet Irradiation of H_2O_2
- D. N. Usachev and A. T. Vagramyan. On Conditions for the Electrolytic Formation of Chromium Alloys with Other Elements
- A. N. Murin. On the Coefficient of Utilization of Isotope Separation Methods
- Kh. S. Bagdasaryan and R. I. Milutinskaya. A New Method for Investigating the Reactivity of Organic Compounds towards Radicals
- S. G. Mairanovskii and L. D. Bergelson. On the Reduction of the Geometric Isomers of Some 1,2-Dibromoethylene Derivatives on the Dropping Mercury Electrode

К СВЕДЕНИЮ АВТОРОВ

Статьи, направляемые в Журнал физической химии, должны удовлетворять следующим требованиям:

1. Статьи должны быть изложены в наиболее сжатой форме, совместимой с ясною изложением, и тщательно отредактированы в рукописи.
2. Статьи, излагающие результаты работ, проведенных в учреждениях, должны обязательно иметь направление учреждения. В конце статьи автором должно быть указано название научного учреждения, в котором произведена работа.
3. Статья обязательно должна быть подписана автором, причем инициалы и фамилия автора должны быть четко повторены на машинке. К статье должны быть приложены адрес автора, место его работы, № телефона для переговоров.
4. Статьи присылаются в редакцию в двух экземплярах, четко переписанные на машинке без помарок и вставок, на одной стороне листа, через два интервала, с оставшем с левой стороны листа поля в 4 см. Страницы рукописи должны быть пронумерованы по порядку, без литературных наращений (т. е. 7, 8, 9 и т. д., а не 7а, 8, 9а, 9б и т. д.).
5. Формулы и буквенные обозначения величин должны быть написаны четко и по от руки. Особенное внимание следует обращать на тщательное изображение индексов и показателей степеней. Показатели и другие надстрочные знаки отмечаются скобкой \sim , а подстрочные скобкой \sim .
- Необходимо делать ясное различие между заглавными и строчными буквами, и чего заглавные буквы подчеркнуть снизу двумя черточками (например, O), строчные двумя черточками сверху (например, o), 0 (ноль) оставлять без подчеркивания. Это особенно относится к таким буквам, как *c* и *C*, *n* и *N*, *p* и *P*, *i* и *I*, *s* и *S*, *v* и *V*, *w* и *W*. Греческие буквы нужно обводить красным карандашом.
6. Рисунки должны быть выполнены на белой бумаге или на кальке, тушью. Цифры и обозначения на рисунках должны быть сделаны карандашом. В тексте обязательно указать место для рисунков, вынося номер рисунка на поля. На обороте каждого рисунка должны быть поставлены фамилия автора, заглавие статьи, страница, к которой относится рисунок. Подписи к рисункам и фотографиям должны быть собраны на отдельном листе, прилагаемом к рукописи.
7. Следует избегать повторения одних и тех же данных в таблицах, графиках, тексте статьи.
8. Места, предназначенные к набору цетитом, должны быть отмечены вертикальной чертой на полях.
9. Ссылки на литературу должны быть собраны в конце в виде списка и включать инициалы и фамилию автора в подлиннике, название журнала, том (подчеркнуто снизу), страницу и год, а для книг: инициалы и фамилию автора, точное название книги, наименование издательства, место и год издания.
- В тексте ссылки на литературу обозначаются порядковой цифрой в квадратных скобках. Категорически не допускаются ссылки на неопубликованные работы (кроме диссертаций). Иностранные фамилии и термины даются в тексте в русской транскрипции, а в перечне литературы — в оригинальной транскрипции.
10. Не следует употреблять сокращенных слов кроме общепринятых (т. е., п. и т. д.). Надлежит придерживаться следующих сокращений: килограмм — *кг*; грамм — *г*; грамм-молекула — *г-моль*; миллиграмм-молекула — *мг-моль*; метр — *м*; дециметр — *дм*; сантиметр — *см*; миллиметр — *мм*; литр — *л*; миллилитр — *мл*; квадратный сантиметр — *см²*, кубический сантиметр — *см³*; орто-, мета-, пара-, *-о-*, *-м-* и *-п-*; нормальный — *N*, децинормальный — *0,1 N*; молярный — *M*; температура кипения — *кип.*, температура плавления — *т. пл.*
11. Статью обязательно заканчивать формулировкой выводов. Выводы должны содержать не оглавление разделов работы, а краткое изложение ее итогов; кроме выводов представлять резюме на английском языке, можно писать по-русски; в этом случае перевод будет выполнен редакцией.
12. В случае представления двух или более статей одновременно необходимо указать желательный порядок их помещения.
13. Статьи, не отвечающие перечисленным требованиям, возвращаются авторам для переработки.
14. В присылаемой корректуре исправляются только типографские ошибки, никакие изменения и добавления не допускаются.
15. В случае направления автору статьи для согласования внесенных редакцией изменений сохраняется первоначальная дата поступления статьи в редакцию, но при возвращении статьи автору для серьезной переработки и исправления датой представления считается дата принятия редакцией к публикации.
16. Редакция высылает автору бесплатно 50 отдельных оттисков статьи. Несоблюдение перечисленных условий задерживает печатание статьи. Непринятые рукописи авторам не возвращаются.

Технический редактор *Н. А. Колгурина*

Цена 22 руб. 50 коп.